

თბილისის სახელმწიფო სამედიცინო უნივერსიტეტი

## **მარინა ფაილოძე**

საკვერცხის ფოლიკულური აპარატის და ყვითელი სხეულის  
დისგენეზია საშვილოსნოს პროლიფერაციული მიომით დაავადებულ  
რეპროდუქციული პერიოდის ქალებში

**14.00.15. – პათოლოგიური ანატომია**

მედიცინის მეცნიერებათა დოქტორის სამეცნიერო ხარისხის  
მოსაპოვებლად წარმოდგენილი  
**დისერტაცია**

სამეცნიერო კონსულტანტები - გ.დანელია, მედიცინის მეცნიერებათა დოქ-  
ტორი, პროფესორი;  
- პ.კინტრაია, მედიცინის მეცნიერებათა  
დოქტორი, პროფესორი.

თბილისი - 2006 წელი

## შ 0 6 ა ა რ ს 0

შესავალი.

თავი +V ლიტერატურის მიმოხილვა.

1V1V საშვილოსნოს მიომის ეტიო, პათოგენეზი და  
მიომეტრიუმში მიმდინარე მორფოლოგიური  
ცვლილებები.

1V2V საშვილოსნოს მიომით დაავადებულ ქალებში  
საკვერცხების მორფო, ფუნქციური ცვლილებებია.

თავი ++V საკვლევი მასალა I კვლევის მეთოდები და  
მეთოდიკა.

თავი +++V საარქივო მასალა.

3V1V1V საშვილოსნოს მიომის კვანყის სიხშირე I კვანყების  
რაოდენობა და მათი ლოკალიზაცია ანოვულაციური და  
ოვულაციური ციკლისა და ქალის ასაკის მიხედვით.

3V1V2V კვანყების ზომების და რაოდენობის სიხშირე  
ავადმოფის ასაკის და ანოვულაციური და  
ოვულაციური ციკლის გათვალისწინებით  
საშვილოსნოს მიომით დაავადებულ ქალებში.

3V1V3V კვანყების ლოკალიზაცია საშვილოსნოს კედლის  
სხვადასხვა შრეში 4 სმ, მდე დიამეტრის ერთკვანყიანი  
მიომის მქონე სხვადასხვა ასაკის ქალებში.

3V2V1V ანოვულაციური და ოვულაციური ციკლის მქონე  
საშვილოსნოს მიომით დაავადებულ ქალებში  
საკვერცხების მორფოლოგიურ ცვლილებათა ხასიათი  
და სიხშირე კვანყების ზომების და რაოდენობის  
გათვალისწინებით ასაკობრივ ასპექტში.

3V2V2V ძვითელი სხეულის პათოლოგია საშვილოსნოს  
მიომით დაავადებული სხვადასხვა ასაკის ქალებში.

3V2V3V საკვერცხების სხვა პათოლოგია  
ჯორმონდამოკიდებული სტრუქტურების  
ჯიპერპლაზიის სახით საშვილოსნოს მიომით  
დაავადებულ სხვადასხვა ასაკის ქალებში.

3V3V1V მენსტრუაციული ციკლის ხასიათი კვანყების  
ზომების და რაოდენობის მიხედვით საშვილოსნოს  
მიომით დაავადებულ სხვადასხვა ასაკის ქალებში.

3V3V2V პათოლოგიური მენსტრუალური ციკლის სიხშირე  
საშვილოსნოს მიომით დაავადებულ სხვადასხვა ასაკის  
ქალებში ანოვულაციური და ოვულაციური ციკლის  
დროს.

## თავი +:v საკუთარი პლაზის შედეგები.

4V1V რეპროდუქციული პერიოდის საშვილოსნოს  
პოლიფერაციული მიომით დაავადებულ ქალებში  
საკვერცხის და საშვილოსნოს სონოანატომიური  
თავისებურებანი.

4V2V საშვილოსნოს პროლიფერაციული მიომის დროს  
საკვერცხის მორფოლოგიური ცვლილებები.

4V2V1V საშვილოსნოს პროლიფერაციული მიომების დროს  
საკვერცხების ფოლიკულური აპარატის  
მორფოფუნქციური ცვლილებები.

4V3V ფოლიკულის შიდა თეკა გარსის მიკრორფოლოგიური  
თავისებურებანი საშვილოსნოს პროლიფერაციული  
მიომების დროს.

4V4V1V ცისტურად გაგანიერებული ბუშტუკების

გრანულოზური უპრედების მოცულობა.

4V4V2V გრანულოზური უპრედების ბირთვების პლოიდობის

მაჩვენებლები საშვილოსნოს მიომების დროს.

4V5V ცისტურად გაგანიერებულ ბუშტუკებში ექსნერის

სხეულაკების მოცულობა.

4V6V ფოლიკულმასტიმულებელი და მელუთეინიზებელი

ჯორმონების I ესტრადიოლისა და პროგესტერონის

რაოდენობის განსაზღვრა საშვილოსნოს

პროლიფერაციული მიომით დაავადებულ + ჰიუფის

ქალებში.

4V7V ძვითელი სხეულის უპრედების მოცულობა მიომით

დაავადებულ ქალებში.

თავი : V გამოპლევები ეპრ მეთოდით.

5V1V ეპრ სიგნალების განსაზღვრა საშვილოსნოს მიომით

დაავადებულ რეპროდუქციული პერიოდის ქალების

საკვერცხებშიI მიომეტრიუმში და მიომის კვანტები.

5V2V  $Mn^{2+}$ -I  $Fe^{2+}$ - იონების და  $NO^-$  ეპრ სიგნალები

საკვერცხებისძვითელ სხეულში და ფოლიკულის

ცისტის კედელში საშვილოსნოს მიომით დაავადებული

ქალების .

5V3V საკვერცხის პარამაგნიტური ცენტრების

ცვლილებები.

თავი :+ V საკუთარი შეღებების შეპამება და განსპა.

დასპანები.

გამოძენებული ლიტერატურა.

## შესავალი

### თემის აქტუალობა V

საშვილოსნოს მიომა ქალის გენიტალური აპარატის უხშირესი კეთილთვისებიანი სიმსივნეა (Хмельницкий О.К., 1994)I რომელიც გამოირჩევა პათოლოგიური მენსტრუაციული ციკლით და ქალის ორგანიზმში მიმდინარე ნაირსახოვანი დარღვევებით (ანემიაI ჯომეოსტაზის დარღვევებიI წმალმარილოვანი და ცილოვანი ცვლის მოშლა და სხვV) განსაკუთრებულ ინტერესისI ფუნქციონალური თვალსაზრისითI ამ მხრივ იმსახურებს რეპროდუქციული პერიოდიV როგორც ლიტერატურული წმაროებისI ისე ჩვენი მრავალწლიანი კვლევის საფუყველზე შეიყლება ითქვასI რომ საშვილოსნოს მიომამ მკვეთრად იმატა ამ ასაკის ქალებშიV ამასთანI აღსანიშნავიაI რომ არც თუ ისე იშვიათია აღნიშნულ ჰგუფში პროლიფერაციული მიომები (უპირატესად კვანძების სუბმუკოზური ლოკალიზაციით)I რომლებიც გამოირჩევიან თავისი სწრაფადმზარდი ბუნებით (Зайратъянц О.В. с соавт., 2005), საკმაოდ დიდ ზიანს აძენებენ ქალის ორგანიზმსI მოქმედებენ შვილოსნობის უნარზე და წარმოადგენენ რისკ, ფაქტორს ონკოლოგიური თვალსაზრისითV

როგორც ცნობილიაI საშვილოსნოს მიომა ჯორმონდამოკიდებული პროცესია და ყირითადი როლი მის განვითარებაში ეკუთვნის ჯიპოფიზ, ჯიპოთალამუს, საკვერცხე, თირკმელზედა ჰირკვლებში მიმდინარე დარღვევებსI სტეროიდულ დისბალანსს და მათი რეცეპტორების მდგომარეობას საშვილოსნოს კედელშიV ამ პათოლოგიის განვითარებაში მნიშვნელოვანია აგრეთვე სიმსივნური ზრდის ფაქტორისI გენეტიკური მიღრეკილებისI აპოპტოზის და სხვათა როლი (Бурлев В.А. с соавт., 2003;

Ланчинский В.И. с соавт., 2004; Даниленко В.И., 2005; Коган Е.А. с соавт., 2005) V ძოველ შემთხვევაში მკვლევართა უმეტესობა უპირატესად იზიარებს მიომის პათოგენეზში ჯორმონული (ესტროგენები I პროგესტერონი) დისბალანსის და ლოკალური ჯიპერესტროგენემიის როლს V ამ შეხედულებას კიდევ უფრო სარწმუნოს ხდის მონაცემები იმის შესახებ I რომ ესტრადიოლის და პროგესტერონის კონცენტრაცია ბევრად უფრო მაღალია ლოკალურად საშვილოსნოს სისხლყარლვებში I ვიდრე სისხლის მიმოქცევის სისტემის სხვა უბანში V ამასთან არსებობს ჯიპოთეზა I რომ საშვილოსნოს მიომა შემდეგ თავად ხდება ლოკალური ჯიპერესტროგენემიის სტიმულატორი V

სიმსივნური ზრდის პროცესში მნიშვნელოვანია აგრეთვე ოქსიდაციური სტრესის ინტენსიფიკაცია V როგორც ცნობილია I  $Mn^{2+}$  და  $Fe^{2+}$  იონები თავისუფალ, რაღიკალური ჟანგვის მყლავრი პრომოტორები არიან V ჟანგვითი პროცესების ინტენსიფიკაცია თავის მხრივ იწვევს  $NO_2$ -ს სინთეზის გაყლიერებას (Chion J.F. et al., 1999, Cokdeniz R. et al., 2000). საშვილოსნოს მიომით დაავადებულ ქალებში ჯიპერესტროგენემიასთან ერთად V ოქსიდაციური სტრესის შესწავლა იმსახურებს დიდ ინტერესს I რადგანაც ესტროგენი ნორმაში გამოირჩევა ყლიერი ანტიოქსიდანტური თვისებით და თრგუნავს ოქსიდაციური სტრესის განვითარებას V გამომდინარე ზემოხსენებულიდან I მნიშვნელოვანია ამ ორი ფაქტორის ჯიპერსეტროგენემიის და ოქსიდაციურ სტრესის მოქმედების მექანიზმების შესწავლა და მათი როლი  $NO_2$ -ს მეტაბოლიზმში I რომელიც ოქსდაციური სტრესის პირობებში განიცდის ტრანსფორმაციას ციტოტოქსიურ

პეროქსინიტრიტად და წარმოადგენს რისკ,ფაქტორს გაავთვისებიანების  
თვალსაზრისითV

ვინაიდან საშვილოსნოს მიომა წარმოადგენს გლუვი კუნთოვანი  
უპრედების ჯორმონდამოკიდებულ ჯიპერპლაზიასI ამ მხრივ  
მნიშვნელოვანია საკვერცხის ჯორმონმაპროდუცირებელი სტრუქტურებისI  
კერყოდI თეკა,გრანულოზური კომპლექსის როლი ამ სიმსივნის  
განვითარებაში (Сметник В.П. с соавт., 1998; Andersen S. et al., 1997)V

მიუხედავად იმისაI რომ საშვილოსნოს მიომით დაავადებულ ქალებში  
მრავალი მკვლევარის მიერ არის აღწერილი საკვერცხეების ფოლიკულური  
აპარატის და ძვითელი სხეულის მორფო,ფუნქციური ცვლილებებიI ჰერ  
კიდევ არსებობს სირთულეები ამ სიმსივნის მკურნალობისა და პროფილაქ,  
ტიკის საქმეშიV

გამომდინარე ზემოხსენებულიდანI ჩვენ მიგვაჩნია საჭიროდ რეპრო,  
დუქციულ პერიოდში საშვილოსნოს პროლიფერაციული მიომის ზრდის  
ასეთი მაღალი პოტენციალის განსაზღვრისათვის საკვერცხის  
ჯორმონდამოკიდებული (ესტრადიოლდამოკიდებული) სტრუქტურების  
ფუნქციური შეფასებაI რასაც თავის მხრივ დიდი მნიშვნელობა ექნება ამ  
პათოლოგიის მკურნალობაში სწორი სტრატეგიის და ტაქტიკის  
შესამუშავებლადV

### კვლევის მიზანიV

კვლევის მიზანს წარმოადგენდა რეპროდუქციული პერიოდის  
საშვილოსნოს პროლიფერაციული მიომით დაავადებულ ქალებში  
საკვერცხის თეკა,გრანულოზური კომპლექსის მორფოფუნქციური

ცვლილებების და თვით მიომის კვანყში მიოციტების პროლიფერაციული პროცესების პათოგენეზში ჯიპერესტროგენემიისა და ოქსიდაციური სტრესის როლის შესწავლაV

### **კვლევის ამოცანებიV**

აღნიშნული მიზნის მისაღწევად ჩვენ შევისწავლეთ%

IV საკვერცხის მორფოფუნქციური ცვლილებების ხასიათი და სიხშირე კვანყები რაოდენობისI ზომებისI ლოკალიზაციისI ქალის ასაკის და საკვერცხის ციკლის მიხედვით 10 წლის საარქივო (ოპერაციულ) მასალაზე დაძრდნობით (სულ , 705 შემთხვევა)V

2V პროლიფერაციული მიომის პათოგენეზში და მორფოგენეზში ჯიპერესტროგენემიის როლის შეფასების მიზნით რეპროდუქციული პერიოდის ქალებში გამოვიკვლიეთ საკვერცხის ფოლიკულური აპარატის და ძვითელის სხეულის (ყირითადად თეკა, გრანულოზური კომპლექსის) ფუნქციური ცვლილებები კვლევის კომპლექსური მეთოდების გამოძენებით (სულ , 73 შემთხვევა)V მათ შორის შეფასებული იძო%

+V საკვერცხების და საშვილოსნოს სონოანატომიური თავისებურებები და პერიფერიულ სისხლში მენსტრუაციული ციკლის მე, 20 დღეზე ესტრადიოლისI პროგესტერონისI ფმჯ და ლჯ კონცენტრაციაX

++V საშვილოსნოს პროლიფერაციული მიომებით დაავადებული რეპროდუქციული პერიოდის ქალებში საკვერცხების ჯისტოლოგიურიI

ჯისტოქიმიური I ელექტრონულ, მიკროსკოპული და მორფომეტრიული ცვლი, ლებები% ფოლიკულის შიდა თეკა გარსის მიკრომორფოლოგიური თავისებურებები I გრანულოზური უპრედების მოცულობა I მათი ბირთვების პლოიდობა და ექსნერის სხეულების მოცულობა X არასრულფასოვანი ძვითელი სხეულის ლუთეოციტების და მათი ბირთვების მოცულობა X

3V თეკა, გრანულოზური უპრედების და მიომის კვანტიში მიოციტების პროლიფერაციის მექანიზმში ოქსიდაციური სტრესის შეფასების მიზნით ჩატარებულია  $Mn^{2+}$ ,  $Fe^{2+}$  იონების და  $NO$ -ს კონცენტრაციის კვლევა%

+V რეპროდუქციული პერიოდის საშვილოსნოს პროლიფერაციული მიომით დაავალებული ქალების საშვილოსნოს მიომეტრიუმის I მიომის კვანტის და საკვერცხების (ფოლიკულური კისტის კედლის I საკვერცხის სტრომის I არასრულფასოვანი ძვითელი სხეულის) ქსოვილებში  $Mn^{2+}$ ,  $Fe^{2+}$  იონების და  $NO$ -ს კონცენტრაცია X

++V ჯიპერესტროგენემის პირობებში ესტროგენების ანტიოქსიდანტური მექანიზმების რღვევის დასადგენად ექსპერიმენტში ზღვის გოჭებზე ესტრადიოლის სადღელამისო დოზების 5, ჰერადი და 10, ჰერადი დატვირთვის პირობებში მიომეტრიუმში და საკვერცხის ქსოვილში  $Mn^{2+}$ ,  $Fe^{2+}$  იონების და თავისუფალი  $NO$ -ს ეპრ სიგნალების განსაზღვრა V

### მეცნიერული სიახლეები

- პროლიფერაციული მიომების მრავალფაქტორული კვლევის საფუფელზე დადგინდა მიომის პათოგენეზის მულტიფაქტორული მექანიზმების არსებობა I ერთის მხრივ, ჯიპერესტროგენემიის სახით I რომლის მორფოლოგიურ ექვივალენტს წარმოადგენს ფოლიკულური

აპარატის და ძვითელი სხეულის დისგენეზიაI ჯორმონდამოკიდებული სტრუქტურების ჯიპერპლაზიითV ხოლო მეორე მხრივI ოქსიდაციური სტრესის არსებობაV

- საშვილოსნოს პროლიფერციული მიომის დროს რეპროდუქციული პერიოდის ქალებში საკვერცხებში შემთხვევათა 63I01?,ში დადგინდა ფოლიკულური აპარატის დისგენეზია ყირითადად შიდა თეკა გარსის და გრანულოზური უპრედების ჯიპერპლაზიითI რომლის დროსაც შიდა თეკა უპრედები დატვირთულია სუდანოფილური ლიპიდებითI ულტრასტრუქტულად აღინიშნება ბირთვების და ბირთვაკების გადიდება და ენდოპლაზმური ბადის გაგანიერებული ცისტერნების არსებობაV გრანულოზური უპრედების გამრავლების პოტენციალი კი , მკვეთრად იმატებსV შესაბამისად ადგილი აქვს ესტროგენების გაყლიერებულ სინთეზიI ეVიV ვითარდება აბსოლუტური ჯიპერესტროგენემიაV უკანასკნელს ამტკიცებს ექსნერის სხეულაკების მოცულობითი წილის მაღალი მაჩვენებელიV
- საშვილოსნოს პროლიფერაციული მიომის დროს რეპროდუქციული პერიოდის ქალებში დადგინდა ძვითელი სხეულის დისგენეზია 36I99?,შიI რაც ყირითადად გამოიხატება გრანულოზური უპრედების ლუთეოციტებად გარდაქმნის შეფერხებითI ამ ფონზე ერთეული უმწიფარი და მწიფე ლუთეოციტებითI ძვითელი სხეულის რეგრესიის ნაადრევი დასაწმისითI შესაბამისად ცისტების წარმოშობითV ჯორმონალური დისბალანსით და პროგესტერონის კონცენტრაციის დეფიციტითV ეVიV ვითარდება შეფარდებითი ჯიპერსტროგენემიაV

- პროლიფერაციული მიომის დროს რეპროდუქციული პერიოდის ქალების საკვერცხეში და მიომის კვანძში ჩატარებული პარამაგნიტური ცენტრების კვლევის საფუძველზე დადგინდა ლიპიდების პეროქსიდაციული პროცესების ინტენსიფიკაცია და მემბრანული სტრუქტურების რღვევაI რაც  $Mn^{2+}$  და  $Fe^{2+}$  იონების და  $NO$ -ს ეპრ სიგნალების ინტენსივობის მომატებით ვლინდებაV
- საშვილოსნოს პროლიფერაციული მიომის დროს დადგინდა მიომის კვანძში თავისუფალი  $NO$ -ს უკმარისობაV ეს უკანასკნელი ოქსიდა, ციური სტრუსის პირობებში  $NO$ -ს ოქიდაციური ჭრანსფორმაციის და ციტოტოქსიური პეროქსინიტის წარმოქმნის შედეგს წარმოადგენს და შეიყლება განხილული იძოსI როგორც გაავთვისებიანების რისკ, ფაქტორიV
- ექსპერიმენტში ზღვის გოჭებზე ესტროგენების მზარდი დოზებით დატვირთვის პირობებში საკვერცხეში და მიომეტრიუმში ეპრ სპექტომეტრიული კვლევის საფუძველზე დადგინდაI რომ თვით ჯიპერესტროგენემია წარმოადგენს ოქსიდაციური რედოქს,ჯომეოსტზის რღვევის და ოქსიდაციური სტრუსს ინტენსიფიკაციის საფუძველსI რაც  $Mn^{2+}$  იონის და  $NO$ -ს ეპრ,სიგნალების ინტენსივობის მკვეთრი მომატებით ვლინდებაV აღნიშნული ფაქტი ადასტურებსI რომ ნორმაში მყლავრი ანტიოქსიდანტური თვისების მატარებელი ესტროგენის სიჭარბე თავად აყლიერებს ოქსიდაციურ სტრუსსV

## პრაქტიკული ღირებულებაV

IV საშვილოსნოს მიომით დაავადებულ ქალებში საკვერცხების და ენდო, მიომეტრიუმის მრავალფაქტორული კვლევაI რომელიც ითვალისწინებს ექოსკოპიასთან და ბიოფსიური მასალის მორფოლოგიურ გამოკვლევასთან ერთად ჯორმონული სარკის დადგენასI მოგვცემს საშუალებასI რათა შევაფასოთ მიომის ზრდის პოტენციალი და მისი პროლიფერაციის ხარისხიV რასაც უდიდესი მნიშვნელობა ექნება მიომის მკურნალობის სტრატეგიის და ტაქტიკის შემუშავებაშიV

2V კლინიკური და ექსპერიმენტული მასალის კვლევით მიღებული საკვერცხის ჯორმონმაპროდუცირებელი სტრუქტურების მორფოფუნ, ქციური ცვლილებების (ფოლიკულური აპარატის და ძვითელი სხეულის დისგენეზის) სიმპტომოკომპლექსი საშვილოსნოს მიომით დაავადებულ ქალებში წარმოადგენს უდიდესი პრაქტიკული მნიშვნელობის სიახლესI როგორც მორფოლოგიურიI ისე კლინიკური სამსახურისათვისV

### **საჭარო დაცვაზე გასაჭანი დებულებები%**

IV ჩვენ დავადგინეთ საშვილოსნოს პროლიფერაციული მიომის დროს მიოციტების პროლიფერაციის პათოგენეზში ჯიპერესტროგენემიის და ოქსიდაციური სტრესის მულტიფაქტორული მექანიზმებიV

2V საშვილოსნოს პროლიფერაციული მიომების დროს ცვლილებები ვითარ, დება საკვერცხის სამ ფორმაციაში%

, თეკა გარსში , მისი გარეთა და შიდა ფენების უპრედებში მათი გამოხატული პროლიფერაციით და თეკომატოზითI რაც ანდროგენების გაყლიერებულ სინთეზს იწვევსX

, ფოლიკულებში (მათი პრიმორდიული და დომინანტური) გრანულოზური უპრედების ინტენსიური პროლიფერაციით ესტრადიოლის ჭარბი

პროდუქციით I რაც აბსოლუტური ჯიპერესტროგენემის მუდმივ  
წარმოადგენსX

, ფოლიკულებში , თეკა და გრანულოზური უპრედების ძვითელი  
სხეულის უპრედებად ტრანსფორმაციის შეფერხებით არასრულფასო,  
ვანი ძვითელი სხეულის ჩამოძალიბებითI რასაც თან ერთვის  
სრულფასოვანი თეკა,ლუთეოციტების და გრანულოზო,  
ლუთეოციტების სიმცირის ზარპზე პროგესტერონის მკვეთრი  
დეფიციტიV აღნიშნული ფაქტი ქმნის შეფარდებითი  
ჯიპერესტროგენემის საფუყველსV

3V საშვილოსნოს პროლიფერაციული მიომის დროს როგორც მიომის  
კვანძშიI ისე საკვერცხის ქსოვილშიI ადგილი აქვს თავისუფალრადი,  
კალური ჟანგვის პროცესების ინტენსიფიკაციას და მემბრანული  
სტრუქტურების რღვევასV თეკა,გრანულოზურ კომპლექსში და  
მიომატოზურ კვანძში ოქსიდაციური სტრესით ინდუცირებული  
თავისუფალი NO,<sub>2</sub> ოქსიდაციური დეგენერაცია და პეროქსინიტრიტის  
წარმოქმნა რკინის იონების ფერიტინიდან განთავისუფლების და თეკა,  
გრანულოზური უპრედების და მიოციტების Fe,ინდუცირებული  
პროლიფერაციის გაყლიერების ერთ,ერთ ზელშემწმობ ფაქტორს  
წარმოადგენსV

4V ექსპერიმენტში ზღვის გოჭებში ესტრადიოლის მზარდი დოზებით  
დატვირთვის პირობებში დადგინდაI რომ საკვერცხის და მიომეტრიუმის  
ქსოვილში ოქსიდაციური რედოქს,ჯომეოსტაზის დარღვევის ერთ,ერთ  
მაინდუცირებელ ფაქტორს თვით ჯიპერესტროგენემია წარმოადგენსV

## **სადისერტაციო ნაშრომის აპრობაცია**

მიღებული შედეგები მოხსენებულია თბილისის სახელმწიფო სამედიცინო უნივერსიტეტის პათოლოგიური ანატომიის კათედრის და აკად. კ. ჩაჩავას სახ. პერინატალური მედიცინისა და გინეკოლოგიის ს/კ ინსტიტუტის სამეცნიერო საბჭოს გაერთიანებული სხდომაზე (ოქმი №16, 7.03 - 2006 წ.).

### **პუბლიკაციები**

დისერტაციის თემაზე გამოქვეყნებულია 11 სტატიაV

## **დისერტაციის სტრუქტურა და მოცულობა**

სადისერტაციო ნაშრომი წარმოდგენილია კომპიუტერულად ნაბეჭდ 227 გვერდზე და შედგება შემდეგი ნაწილებისგან: შესავალი, ლიტერატურის მიმოხილვა, მასალა და მეთოდები, საარქივო მასალა, საკუთარი კვლევები, მიღებული შედეგები და მათი განხილვა, დასკვნები, გამოყენებული ლი, ტერატურის სია (321 წყარო). ტექსტი ილუსტრირებულია 44 ფოტო-სურათით და 24 ცხრილით, 40 მრუდით და 2 დიაგრამით.

## თავი + ლიტერატურის მიმოხილვა

IVIV საშვილოსნოს მიომის ეტიო, პათოგენეზი და მიომეტრიუმში მიმდინარე  
მორფოლოგიური ცვლილებები

საშვილოსნოს კედლის პათოლოგიის პრობლემა სადღეისოდ გამოირჩევა თავისი განსაკუთრებული აქტუალობით I რაც დაკავშირებულია უკანასკნელ წლებში დისპლაზიური I კეთილთვისებიანი და ავთვისებიანი დაავადებების სიხშირის მნიშვნელოვან ზრდასთან (Бохман Я.В. с соавт., 1979; Левакова С.А., 2001; Сидорова Н.С. с соавт., 2002; Зайратянц О.В. с соавт., 2005; Коган Е.А. с соавт., 2005; Rauzamo L., 1978) და ამ დაავადებათა დიაგნოსტიკასა და მკურნალობაში სადღეისოდ არსებულ სირთულეებთან (Кузин Р.Ф. с соавт., 1979; Вихляева Е.М. с соавт., 1982; Табачкин Б.И., 1985; Паллада Г.И., с соавт., 1986; Бохман Я.В. с соавт., 1987; Савицкий Ф.А. с соавт., 2003)V

მათ შორის საშვილოსნოს მიომა ზემოხსენებულ პათოლოგიათა შორის უხშირესი კეთილთვისებიანი სიმსივნეაV ავტორების მონაცემებით იგი შეადგენს გინეკოლოგიურ დაავადებათა 10,25?,ს (Вихляева Е.М. с соавт., 1981,82; Зыкин В.И., 1984; Фоган Э.Г., 1986)V ბოლო წლებში საგრნენობლად იმატა მიომის სიზურემ 30 წლის ზემოთ ასაკის ქალებშიV ლесакова А.С.(1974) მონაცემებით საშვილოსნოს მიომა რეპროდუქციულ პერიოდში შეადგენს 017?,სI ხოლო მიომით დაავადებული ქალების საშუალო ასაკის 32 წელსV იგივე ფაქტს აღნიშნავენ (Тимошенко Л.В. с соавт., 1980; Уварова Х.С. с соавт., 1980; Анастасьева Н.В., 1986; Conly, 1982)V სადღეისოდ უნდა ითქვასI რომ ბევრად გაიზარდა ამ ასაკის ქალებში საშვილოსნოს მიომის სიხშირეV

აღსანიშნავია I რომ არ არის საკმარისად შესწავლილი მიომის ეტიოლოგია და პათოგენეზი I რასაც უდიდესი მნიშვნელობა ენიჭება აღნიშნული სიმსივნის ნაადრევი დიაგნოსტირებისI მკურნალობისა და პროფილაქტიკის საქმეში (Басин Б.Л., с соавт., 1972; Уткин В.М., с соавт., 1973; Талина И.С., с соавт., 1978 Герасимович Р.И., 1980; Талина И.С., 1980; Акобджянян М.А., 1983; Краснопольский В.И., с соавт., 1987; Мартыш Н.С., с соавт., 1987; Ботвин М.А., 1989; Пашкова В.С., с соавт., 1991; Сидорова И.С. с соавт., 1999; 2003)

სადღეისოლდ დამტკიცდაI ორმ ჯიპერესტროგენემიასთან ერთად მრავლი ფაქტორი არის მნიშვნელოვანი საშვილოსნოს მიომის განვითარებაშიV განსაკუთრებული მნიშვნელოვანი ამ მხრივ არის სიმსივნური ზრდის ფაქტორიI თუმცა უნდა აღინიშნოსI რომ სიმსივნის გამშვები მექანიზმი ჰერპერობით ღიად რჩებაV მნიშვნელოვანია ის ფაქტიცI ომ სიმსივნური ზრდის ფაქტორი წარმოადგენს ესტრონენის მიომეტრიუმზე მოქმედებსი მედიატორს (Коган Е.А. с соавт., 2005).

მნიშვნელოვანია აგრეთვე სიმსივნის განვითარებაში აპოპტოზისა და უპრედის პროლიფერაციის ბალანსის დარღვევაV Коган Е.А. с соавт. (2005) მონაცემებით მარტივი ლეიომიომის დროს დამახასიათებელია აპოპოის დათრგუნვაI რის გამოც მიომა იზრდება არა პროლიფერაციის ხარპზეI არამედ უპრედის სიცოცხლისუნარიანობის გაზრდის შედეგადV პროლიფერაციული ლეიომიომებისთვის კი დამახასიათებელია პროლიფერაციის მაღალი მაჩვენებელიV ანალოგიური შეხედულება აპოპტოზის და პოლიფერაციის დისბალანსზე მოცემულია Olovsson (2005) შრომაშიI იგი ამასთან აღნიშნავსI რომ კვანები უფრო მეტად იზრდება სეკრეტორულ ფაზაშიV

საშვილოსნოს მიომას მოჯდება ქალის ორგანიზმში ნაირსახოვანი დარღვევებიI რომელთა მიზეზს უხშირესად წარმოადგენს ქრონიკული სისხლდენებიV ძოველივე ზემოაღნიშნული განაპირობებს% ანემიასI წმალმარილოვანი და ცილოვანი ცვლის მოშლასI რკინის დეფიციტისI

ჯიპოვოლემიას I ჯომეოსტაზის დარღვევას I ქვეითდება ქალის შრომისუნარიანობა და რიგ შემთხვევებში ზიანდება ცენტრალური ნერვული სისტემა (Селезнева Л.Д., с соавт., 1971; Богданович М., с соавт., 1973; Ландаховская Ю.Д., 1978; Вихляева Е.М., с соавт., 1981, 1982; Дондикува Т.Г., с соавт., 1980, 1981; Зудикова С.И., 1980, 1981, 1987; Вихляева Е.М., 1971; Оглоблин Л.Л., 1987)V მიომის წარმოშობის ადრეულ ეტაპზე აღინიშნება თერმორეგულაციის დარღვევაI ასევე იცვლება მიკროელემენტების (ალუმინი მარგანეცის ტიტანი ცინკი კრემნიუმი სპილენი) შემადგენლობაV ამასთან დიდია მათი კავშირი ესტროგენემიასთან და ამ ბიოქიმიურ მოშლილობათა როლი სიმსივნის წარმოქმნაში (Бенедиков Н.И., 1962; Боровская В.Д., 1974; Гребенникова Е.П., с соавт., 1974; Хмельницкий О.К., 1994)V

საშვილოსნოს მიომით დაავადებულ ქალებს ხშირად აღნიშნებათ ღვიყლისI ფარისებრი ჰირკვლებისI თირკმელზედა ჰირკვლისI საკვერცხების ფუნქციათა მოშლა (Слепов М.М., с соавт., 1967; Бенедиков И.И., и соавт., 1973; Бенедиков И.И. с соавт., 1966; Быковская Л.И., 1978; Трубникова Л.И., Соснева Е.А., 1978)ბ მცირე მენტის ორუს ორგანოთა ჯემოდინამიკის დარღვევაI შარლსაწვეთების და შარლის ბუშტის ფუნქციის მოშლა (Богинская Л.И., 1972; Волкова Л.А., с соавт., 1974; Тебелев Б.Г., 1981; Адамян Л.В., с соавт., 1984). აგრეთვე აღსანიშნავია იმუნური სისტემის დარღვევები ორგანიზმის აუტოიმუნური რეაქციების დაქვეითებით და ლიმფოიდური ქსოვილის სენსიბილიზაციით საშვილოსნოს ანტიგენთანI რაც უთუოდ უნდა ასრულებდეს გარკვეულ როლს მიომის განვითარებაში (Вихляева Е.М., с соавт., 1981; Тихомиров А.Л., с соавт., 1982; Закиров И.З., с соавт., 1987; Зудикова С.И., 1980)V საშვილოსნოს მიომა თავის უარძოფით ზეგავლენას ახდენს შვილოსნობაზეI ამავე დრო იგი იმსახურებს ინტერესს ონკოლოგიური თვასაზრისით (Бохман М.В., 1975, 1977, 1979; Савельева Г.М., 1978; Пшеничникова Т.Я., с соавт., 1982; селезнева Н.Д.,

с соавт., 1983; Олайе-Гберевбие Ф.Г., с соавт., 1985; Мамаева Г.М., 1986; Mackay E.V., et al., 1983) V азტორთა უმრავლესობის აზრით საშვილოსნოს მიომის დროს უნაძოფობა არის ქალის ორგანიზმის ზოგადი და აღგილობრივი დაზიანების შედეგი I რომელიც თავის მხრივ ვითარდება ნეიროჯორმონული თანაფარდობის დარღვევის გამო (Вихляева Е.М., с соавт., 1981; Шилко А.Н., 1981, 1984) V

მკვლევართა მიერ დადგენილია საშვილოსნოს მიომის განვითარებაში ჯიპოფიზ, ოვარიული ფუნქციის მოშლისI პრემორბიდული ფონისI მემკვიდრეობითი განწმობილებისI გენიტალური სისტემის ანთებადი დაავადებებისI გადატანილი გინეკოლოგიური ოპერაციებისI აბორტების და ექსტრაგენიტალური პათოლოგიის და სხვათა როლი (Вихляева Е.М, 1971; Васильевская Л.Н., с соавт., 1971, 1979; Брехман Г.И., 1978; Уварова Е.В., 1978, 1980; Григорьев М.Ю., с соавт., 1979; Дондиукова Т.М., с соавт., 1980; Зудикова С.И., с соавт., 1981; Тубникова Л.И., 1981; Аскерханова Э.Р., с соавт., 1982; Ланчинский В.И. с соавт., 2004; Glikoskala O. et al., 1979) V

Э.Г.Фогам,ის (1986) გამოკვლევით მიომით დაავადებულ ქალებში 83I7?, ში აღინიშნებოდა გადატანილი ინფექციური დაავადებები I 73I1?, ში გენიტალური და 75?, ში ექსტრაგენიტალური პათოლოგიის ფონიV ზოგადი ფსიქიური მდგომარეობის შესაბამისად მიომით დაავადებული ქალები წარმოდგენილია ყირითადად ორი უკიდურესი ტიპით, ქოლერიკები და მელანქოლიკებიI სულ 75?, შიV

ზოგიერთი ავტორი საშვილოსნოს მიომას განიხილავს როგორც ჯორმონ-დამოკიდებულ სიმსივნესI განვითარებულს ჯიპოფიზ, ჯიპოთალამუს, საკვერცხე, თირკმელზედა პირკვლების სისტემაში განვითარებული ღრმა დარღვევებით (Васильевская Л.Н., 1971; Бенедиков И.И., с соавт., 1973, კაც Е.И., 1974; Герасимович Г.И., 1980; Бахман Е.В., 1980; Гаврилов А.С., с соавт., 1981; Вихляева Е.М., с соавт., 1985, Wilson, 1980; Abdalla,

et al., 1985) V Телина С.А.-ს (1980) მიერ შესწავლილი იძო მიომით დავადებული ქალების სისხლში ჯიპოფიზისეული ჯორმონების შემადგენლობა V გამოირკვა I რომ სისხლში მათი თანაფარდობა ატარებდა ციკლურ ხასიათს V დადგენილი იქნა მიომის ზრდა, განვითარება ნორმალური ოკულატორული მენსტრუაციული ციკლის დროს სასქესო სტეროიდული და გონადოტროპული ჯორმონების ზომიერი თანაფარდობის პირობებში V

კლინიკო, ექსპერიმენტული მონაცემებით დადგინდა ჯიპოფიზ, ჯიპოთალამუს, საკვერცხის სისტემის აქტივაცია გამოწვეული ბიოლოგიური ამინებით, დოფამინით I ნორადრენალინით I ადრენალინით და სერატონინით (Алешин Б.В., 1973; Баранова В.Г., 1979; Зудикова С.И., 1981) V კატექოლამინები იწვევს აღნიშნული სისტემის გააქტივებას V სეროტონინს აქვს მათი საწინააღმდეგო ეფექტი (Науменко Е.М., с соавт., 1975; Коренов И.П., 1980) V დამტკიცებულია ბიოგენური ამინების როლი სიმსივნური პროცესების განვითარებაში (Курский М.Д., с соавт., 1974; Коренова Г.П., с соавт., 1980; Девойно Л.В., с соавт., 1983; Балицкий К.П., с соавт., 1983) V

მიომის მორფოლოგიური კვლევები გამოირჩევა თავისი დიდი დიაპაზონით V შესწავლილია საშვილოსნოს მიომის დროს % კვანტების ლოკალიზაციის და მათი ზომების მნიშვნელობა I სხვადასხვა ლოკალიზაციის კვანტების ამოკვეთის შესახებ ორსულობის შენარჩუნების მიზნით I სიმსივნური პროცესების რეციდივები I ჯისტოქიმიური ცვლილებები და აVშV (Мовчан С.И., с соавт., 1979; Железнов Б.И., 1980, 1981; Даниленко В.И. с соавт., 2005; Mchucas B., 1991; Aizenstein R., et al., 1991; Varkauf B.S., 1992; Friedman A.J., et al., 1992; Borghi L., et al., 1993, Fukuda M., et al., 1993; Mierzwinski R., et al., 1978, Mestwerdt W. et al., 1980) V გამოკვლეულია აგრეთვე პროგესტერონის და ესტრადიოლის ჯორმონალური რეცეპტორების რაოდენობრივი ცვლილებები საშვილოსნოს მიომის დროს მიომეტრიუმში და მიომატოზურ კვანტები I მათი მოქმედების მექანიზმის ინტერპრეტაციით

უპრედულ დონეზე (Василевская Л.Н., с соавт., 1978, 1982; Tamaya T., et al., 1979; Wilson E.A., et al., 1980, Gamamoto I., et al., 1984)V დადგენილია ურთიერთკავშირი მიომის ზრდა, განვითარების ხარისხსაI სტეროიდული ჯორმონების რაოდენობას და ესტროგენ და პროგესტერონ რეცეპტორების განაწილებას შორის მიომეტრიუმში (Василевская Л.Н., с соавт., 1982;)V ჯორმონორეცეპტორები წარმოადგენენ მაღალსპეციფიურ ცილოვან სტრუქტურებსI რომლებსაც აქვთ ჯორმონთან ქიმიური შეკავშირების უნარიI რის შედეგადაც წარმოიქმნება ჯორმონ, რეცეპტორის კომპლექსიV ამ კავშირების საშუალებით სტეროიდული ჯორმონები აღწევს ბირთვის ქრომატინში და ახდენს ზეგავლენას ზოგიერთი ნუკლინის მჟავას და ცილების სინთეზზე (Василевская Л.Н., с соавт., 1980; Бохман Я.В., 1989)V დადგინდა ესტრადიოლის ციტოზოლური რეცეპტორების მაღალი კონცენტრაცია მიომის კვანძში შედარებით მიომეტრიუმთან (Wilson E.A., 1980; Olovsson M. et al., 2005) პროგესტერონ რეცეპტორების კონცენტრაცია ასევე აღმოჩნდა უფრო მიომის კვანძებში ვიდრე მიომეტრიუმშიV გამოკვლეულია ესტროგენების შემადგენლობა საშვილოსნოს მიომის დროს მიომის კვანძში და ავადმდოფის შარდშიV ავტორები მივიღნენ დასკვნამდეI რომ შარდში ესტროგენების შემადგენლობის განსაზღვრით მიომეტრიუმში ჯორმონულრი ბალანსის დადგენა შეუყლებელია (Мазитов И.М., 1981)V ასევე დადგინდაI რომ ესტროგენების რაოდენობა 10, პერ მეტია ენდომეტრიუმშიI ვიდრე მიომატოზურ კვანძში და მიომეტრიუმშიI დადგენილია ჯიპერესტროგენემიის როლი მიომეტრიუმის კეთილთვისებიან ჯიპერპლაზიაში (Кленцкий Я.С., 1966; Ирд E.A., 1966; Арсеньева М.Ф., с соавт., 1967; Зудикова С.И., с соавт., 1981)V გარდა ამისაI შესწავლილია ლოკალური ჯიპერესტროგენემიის როლი მიომის ზრდის პროცესზეV მათი აზრით მიომის ზრდას თან ახლავს მიომეტრიუმის ჯიპერპლაზიაI ინდუცირებული ლოკალური ჯიპერგორმონებიით (Савицкий Г.А., с соавт., 2000, 1983, 1985)V

ზოგიერთი მკვლევარის მონაცემების მიხედვით საშვილოსნოს მიომავითარდება არა მხოლოდ ჯიპერესტროგენემიის ზეგავლენითI არამედ ესტროგენების ნორმული მაჩვენებლების დროსV მიომის მქონე ქალთა უმრავლესობას შენარჩუნებული ჯქონდა (ოვარიული) მენსტრუაციული ციკლიI ხოლო ენდომეტრიუმის მორფოლოგიური ცვლილებები შეესაბამებოდა მენსტრუალური ციკლის ფაზებს (Вихляева Е.М., 1978; Железнов Б.И., 1978; 1990; Мазитов И.М., с соавт., 1978; Хакимова С.Х., 1978; Якубович с соавт., 1980)V

ძოველივე ზემოხსენებულიდან გამომდინარე საშვილოსნოს მიომის დროს შეიმჩნევა ჯორმონული თანაფარდობის თავისებური დინამიკაI რომლებიც მთლიანობაში არ გვაყლევს საშუალებას ცალსახად ვიფიქროთ ესტროგენემიის აუცილებლობის შესახებ მიომის განვითარებაშიV

Вихляева Е.М.,ს (с соавт., 1978) გამოკვლევებით მიღებულია ანალოგიური დასკვნებიV მიომით დაავადებულთა უმრავლესობაში ჯიპოფიზური გონადოტროპინების სეკრეცია შეესაბამება ოვულატორულ ციკლს და არ განსხვავდება ამ ჯორმონების სეკრეციისგან ჰანმრთელი ქალების ორგანიზმშიV ავტორმა დაადგინა მიომით დაავადებული ქალების სისხლის პლაზმაში პროგესტერონის დაქვეითება მენსტრუაციული ციკლის ფოლიკულურ ფაზაში და ამ ჯორმონის თანაფარდობა ჰანმრთელი ქალების მენსტრუალური ციკლის სხვადასხვა ფაზაშიV ავტორი ასკვნისI რომ მიომავითარდება ნორმალური ოვულატორული მენსტრუალური ციკლის და ნორმალური ჯორმონალური კორელაციის დროსI ოვულატორული ციკლის, თვის დამახასიათებელი ჯიპოფიზური და სტეროიდული ჯორმონემიის თანაფარდობის პირობებშიV ანალოგიური დასკვნები გაკეთებულია სხვა მკვლევართა მიერ (Талина И.С., с соавт., 1978; Василевская Л.Н., 1979)V

განსხვავებით ზემოხსენებული ავტორებისგან ზოგიერთი მკვლევარის მიერ მიომით დაავადებულ ქალებში დადგენილ იქნა ესტრადიოლის მატება

სისხლის პლაზმაში I ფოლიკულომასტიმულირებელი და ლუთერჯორმონის ციკლური სეკრეციის დარღვევა და პროგესტერონის დაქვეითება ლუთეინურ ფაზაში V აღნიშნული მიუთითებს მიომის დროს ჯიპოფიზის გონადოტოტროპული ფუნქციის მოშლაზე და ჯიპერესტროგენემიის არსებობაზე (Аракелянц А.В., с соавт., 1978; Палади В.Т., с соавт., 1978; Василевская Л.Н., 1979; Григорьев М.Ю., с соавт., 1979; Тубникова Л.И., 1978; Зудикова С.И., с соавт., 1981).

Савицкий Г.А.-ს (с соавт., 1980, 1981) მიერ მიომის დროს დადგენილია ესტრადიოლის მატება საშვილოსნოს არტერიაში V ანალოგიური დასკვნების გაკეთება შეიყლება სხვა ნაშრომებიდანI სადაც გამოკვლეულია ესტროგენები და მათი რეცეპტორები მიომეტრიუმში მიომის დროს და ამასთან აღნიშნულია მიომის პროგესტერონით ჩატარებული ანტიესტროგენული თერაპიის ეფექტურობა (Василевская Л.Н., с соавт., 1979., Wittlinger H., 1976; Poulhes M.J., 1978; Wilson E.A., et al., 1980)V

საშვილოსნოს მიომა აწარმოებს ზეწოლას ირგვლივმდებარე ქსოვილებზეI რაც თავის მხრივ იწვევს მიკროცირკულაციის დარღვევას (Павлович В.Г., 1974; Кулик В.П., с соавт., 1977, Крылова Н.В., с соавт., 1984; Василченко Н.П., с соавт., 1989)V ამ უკანასკნელს კი თან ერთვის შეშუპებაI ნეკრობიოზიI ნეკროზი (Брумштеиш Л.М., 1988)V ზოგი ავტორი ნეკროზის შემთხვევაში გამართლებულად თვლის მკურნალობის ქირურგიულ მეთოდს (Вихляева Е.М., 1982)I თუმცა ავტორთა ნაწილი მკურნალობს კონსერვატიულად (Лисица Г.П., с соавт., 1980; Сидорова И.С., 1985)V

ლიტერატურაში არსებობს მორფოლოგიური შრომები საშვილოსნოს მიომის დროს თვით ამ სიმსივნური ქსოვილის მკვებავი სისხლყარღვთა ანგიოარქიტექტონიკის შესახებV უკანასკნელი ბევრად არის დამოკიდებული მიომის კვანტების ზომებზეI მდებარეობაზეI რაოდენობაზეI სიმსივნის ჯისტოლოგიურ და ჯისტოქიმიურ თავისებურებებზე მიომეტრიუმშიI როგორც

კვანუთან ახლოს ისე საკუთრივ კვანუში (Килимник М.А., 1986; Брехман П.И., с соавт., 1983), საშვილოსნოს მიომის მორფო, ჯისტოქიმიური შესწავლით დადგინდა მიომის სამი ფორმა% + , სიმსივნე შემაერთებელი ქსოვილის სიჭარბითI ++ , სიმსივნე გლუვი კუნთის სიჭარბით და +++, შერეული ფორმაV

დნკ და რნკ შემცველობა მაღალი იძო პროლიფერაციულ მიომებშიI რაც მიუთითებს პროლიფერაციის გაყლიერების დროს ცილების სინთეზის მატებაზეV ასევე იცვლება გლიკოზამინგლიკანების შემცველობა პროლიფერაციის გააქტივების შესაბამისადV (Килимник М.А., 1986; Молжанинов Е.В., 1972). Б.И.Железнова-ს (1990) მონაცემებით გლიკოზამინგლიკანების და გლიკოგენის შემადგენლობა მიომით დაავადებული ქალების მიომეტრიუმში და ენდომეტრიუმში იგივე იძოI რაც ჰანმრთელ ქალებშიV Т.А.Аксенова-ს (1973I 1969) მონაცემებით გლიკოგენი და ნეიტრალური მუკოპოლისაქარიდების შემცველობა მაღალია სწრაფად მზარდ მიომებში და ავთვისებიან ლეიომიმებშიI ხოლო ნაკლებია მიომეტრიუმში და ნელა მზარდ მიომებშიV И.А.Яковлева (с соавт., 1976) მიუთითებს პროლიფერაციული მიომის განსაკუთრებული ფორმის ეVწV პრესარკომის არსებობასV

შესწავლილია გლუვი კუნთოვანი უპრედების თავისებურებები სწრაფად მზარდი მიომის დროს მიომეტრიუმში და მიომის კვანუში მორფომეტრიული და ელექტრონომიკროსკოპული მეთოდებითV В.Н.Шелест (1987) В.Я.Бродский (1981) მიერ ულტრასტრუქტურულად გამოვლინდა განსხვავება მიომეტრიუმის და მიომის კვანუების მიოციტებს შორისV

B.B.Серов,ის (с соавт. 1973) აზრით საშვილოსნოს მიომა ვითარდება სისხლყარღვთა კედლის ან სისხლყარღვთა ირგვლით განლაგებული ზრდის ზონებიდანV იგი მიომის განვითარებაში გამოძოფს სამ სტადიას% 1) აქტიური ზონების წარმოქმნის სტადია მიომეტრიუმში მეტაბოლიზმის დარღვევითX 2)

მიომის ზრდა კუნთოვანი ელემენტების დიფერეციაციის გარეშე და 3) სიმსივნის ზრდა კუნთოვანი ელემენტების დიფერენცირებით და მომწიფებითV

Л.Пресянинов (1972) ანალოგიურად აღნიშნავსI რომ მიომა ჯორმონდამოკიდებული პროცესია და ვითარდება სისხლყარლვთა კედლის ენდოთელური და პერითელური უპრედებისგანV მიომა ავტორის მონაცემებით 35 წლამდე გვხვდება 12?,შიI 36 წლიდან 40 წლამდე 26?,შიI ხოლო 40 წლის ზემოთ ასაკის ქალებში მიომა ვითარდება 62?,შიV Γ.А.Савицкий (с соавт., 1981) მიომის განვითარებაში გამოჯძოფს განვითარებისI აძვავების და რეგრესიის ფაზებსV

Даниленко В.И. с соавт. (2005) მონაცემებით მიომის აქტიური ზრდის ფაზა ხანმოკლეაI შედარებით დიდი კვანტიული იზომება ან ყალიან სტრაფად ან თანდათანI მცირე და დიდი ზომის კვანტიულის სტრუქტურა არ განსხვავდება ერთმანეთისაგანI კვანტიული დაწმებული რეგრესი არ არის კვაშირში კვანტის ზომასთანV

Зайратъянц О.В. с соавт. (2005) მონაცემებით მორფოლოგიურად გამოიძო სუსტი და მაღალი პროლიფერაციული ატივობის მიომებიV სუსტი პროლიფერაციული ატივობისლეიომიომები უპირატესად ინტრამურული და სუბსერობულიაI ჯისტოლოგიურად ამ დრსო ვითარდება მარტივი ფორმის ლეომიომა და აქტიური ზრდის ზონებიც შედარებით გაიშვიათებულიაV მაღალი პროლიფერაციული ატივბის დროს კი კვანტიული უპირატესად უბმუკოზური და ინტრამურულია და აზასიათებთ აქტიური ზრდისზონების სიმრავლეV

მიომის კვანტიულის პათოჯისტოლოგიური შესწავლის შემდეგ A.A.Тихомиров,მა (с соов., 1981) გამოჯძო მიომის 4 ჰგუფი% 1) მიომა გლუკი კუნთის პროლიფერაციის უპირატესობითI 2) მიომა პროლიფერაციის ნიშნებითI ფიბროზით და მეორადი ცვლილებებითI 3) მიომა ფიბროზის უპირატესობით და 4) მიომა მეორადი ცვლილებების უპირატესობით (ცილოვანი შეშუპებაI ნეკროზიI ჯილინოზიI პეტრიფიკაცია)V

ლიტერატურაში აღწერილია ადენოფიბრომის იშვიათი ფორმები (Baratz M., et al., 1980) და სხვადასხვა ჯისტოლოგიური ვარიანტები% ეპითელური ლეიმიომაX კვანძოვანიI ნათელუპრედოვანიI ბაზალური ლეიმიომებიX ლეიომიობლასტომა (Philips Bussell, 1979)V

საშვილოსნოს მიომის დროს ზშირია სისხლდენებიV Я.М.Ландау,ს (с соавт., 1972) მონაცემებით საშვილოსნოს მიომას სისხლდენა თან ახლდა 60?, შიV აქედან 46?, ში ჩატარდა კონსერვატიული მკურნალობაI ზოლო 54?, ში , ქირურგიულიV მენსტუალური ციკლი სუსტადაა გამოხატულიV პროლიფერაციის ფაზა ზანგრყლივდება სეკრეციის ფაზის შემცირების ზარჟზეV ყირითად როლს მიომის დროს სისხლდენების განვითარებაში ასრულებს საკვერცხის ფუნქციის დარღვევები (Захарова Н.Н., 1966)V C.A.Кейлин,ი (1972) მიომის დროს სისხლდენის განვითარებაში დიდი როლს აკუთვნებს კვანძების სუბმუკოზურ ლოკალიზაციასV აღსანიშნავიაI რომ ავტორები ამ შემთხვევაში უპირატესობას ანიჭებენ ენდომეტრიუმის ფართობსI ვიდრე სუბმუკოზურად განლაგებული კვანძების ზომებსV სისხლდენა მიომების დროს თან ახლავს ლორწოვანის ატროფიასაც და დამოკიდებულია ნეირო, ჯუმორულ დარღვევებზეV Я.С.Кленцкий,ის (с соавт., 1966) აზრით ესტროგენების ქრონიკული მოქმედება იწვევს ლორწოვანის ატროფიას მას შემდეგ რაც ამოწურავს ენდომეტრიუმის ციკლურ ტენდენციას პროლიფერაციისკენV მიომის სწრაფი ზრდის დროს მესნტრუალური ციკლი შენარჩუნებულიაI ზოლო ნაკლებად მზარდი მიომების დროს ზშირია სისხლდენები (Брисова Ю.Ф., с. соавт., 1974)V მიომის დროს სისხლდენის განვითარებაში გარკვეულ როლს ანიჭებენ მიომეტრიუმის ქსოვილის ჯემოცირკულაციურ და ფიბრინოლიზურ თვისებებს (Кудрявцева М.И., с соавт., 1980)V

ესტროგენების მეტაბოლიზმში არსებით როლს ასრულებს ღვიყლში არსებული ფერმენტაციული სისტემებიI რომლებიც იწვევენ ესტროგენების

ინაქტივაციას V ღვიყლის ფუნქციური უკმარისობის დროს დამახასიათებელია ესტროგენების არასაკმარისი ინაქტივაცია და ჭარბი რაოდენობით დაგროვება V ღვიყლის დაავადების დროს ირღვევა ჯორმონული ცვლა რასაც თან ახლავს მენორაგია (Кватер Е.И., с соавт., 1961) V მიომით დაავადებულ ქალებში ბენედიქტოვა И.И. (1966) აღნიშნავს ღვიყლის მყიმე ფუნქციურ დაზიანებას V მიომით დაავადებულ ქალებში წშირია ცილოვანი ცვლის მოშლა (Роинченко А.А., 1962) V

საშვილოსნოს მიომას წშირად თან ახლავს საშვილოსნოს ენდომეტრიოზი V მიომის და ენდომეტრიოზის კომბინირებული ფორმები შესწავლილა მრავალი მკვლევარის მიერ (Мазитова И.М., 1985; Уварова Е.В., 1985; Килимник М.А., 1986) V A.Ф.Шинкарева-ს (с соавт., 1980) აზრით I ენდომეტრიოზი წარმოადგენს ნეიროენდოკრინული სისტემის ხანგრძლივი დარღვევების შედეგს V Я.В.Бохман,ის (с соавт., 1979) მონაცემებით ენდომეტრიოზი დისჯარმონიული პროცესია I რომელიც ვითარდება ჯიპერესტროგენემიის და პროგესტერონის უკმარისობის შედეგად V ენდომეტრიოზი აღინიშნება საკვერცხის ჯორმონო,პროდუქტული სტრუქტურების ჯიპერპლაზიის I ფოლიკულური კისტების I საშვილოსნოს მიომების I ენდომეტრიუმის ჯიპერპლაზიის დროს და აVშV ანალოგიურ დასკვნებს ენდომეტრიოზის ჯორმონდამოკიდებული ბუნების შესახებ აკეთებს Мазитова И.М. (1981); Сабсай М.И. с соавт. (1980) V

საშვილოსნოს მიომის კომბინირება ენდომეტრიოზთან აღინიშნება შემთხვევათა 92?,ში (Сабсай М.И., с соавт., 1980) V ენდომეტრიოზის დროს საშვილოსნოში აღინიშნება ხანდაზმული ჯიპერპლაზური და პროლიფერაციული პროცესები V წშირია საშვილოსნოს ლორწოვანის ატიპიური ჯიპერპლაზია და ადენომატოზი V მკვლევართა აზრით ენდომეტრიოზის განვითარების მიზეზად შეიყლება ჩაითვალოს წშირი აბორტები I პათოლოგიური მშობიარობები I გინეკოლოგიური ოპერაციები და

აVშV ზემოხსენებული ფაქტორები იწვევენ საშვილოსნოს კედლის დამცველობითი მექანიზმის დარღვევას და მისი ბარიერების დაზიანებასV

ენდომეტრიოზის დროს შეიმჩნევა უპირატესად ანოვულატორული სისხლდენებიI ერთფაზიანი მენსტრუალური ციკლი და ენდოკრინული უნაძოფობა (M.B.Бохман, с соавт., 1978)V

M.A.Союнова,ს (1985) მონაცემებით ენდომეტრიოზის დროს აღინიშნება მტკივნეული სინდრომიI ზანგრყლივი მენსტრუაციაI რომელიც დაავადების პროგრესირების შემთხვევაში გადადის ყლიერ სისხლდენაშიV

ამრიგადI ლიტერატურული მონაცემების თანახმადI საშვილოსნოს მიომების მორფოლოგიას დაI შეასაბამისადI ჯორმონული ფონის შესწავლას მიეყლენა საკმაოდ მდიდარი ლიტერატურაV მიუხედავად აღნიშნულისაI საკითხის მრავალი ასპექტი ლიტერატურაში ჰქონდება და შეხედულებები რიგ შემთხვევაში დიამეტრულად საწინააღმდეგო ზასიათს ატარებსV

გარდა ზემოხსენებულის ჩვენთვის ყალზედ მნიშვნელოვანია ესტროგენების ანტიოქსიდანტური თვისებაI ვინაიდან ოქსიდაცირ სტრესს უდიდესი მნიშვნელობა ენიჭება სიმსივნის განვითარებაშიV ლიტერატურაში მრავალი მკვლევარის მიერ არის დადგენილი მისი ანტიოქსიდანტური თვისებები (Akota B., 2001).

ზემოხსენებულიდან გამომდინარეI დიდია ოქსიდაციური სტრესის როლი მიომის განვითარებაშიV თუ გავითვალისწინებთ ჯიპერესტროგენემიის როლს მიომის განვითარებაში და ამასთან მის ანტიოქსიდანტურ თვისებებსI ამდენად მნიშვნელოვანია ოქსიდაციური სტრესსა და ჯიპერესტროგენემიას შორის ურთიერთკვეშირის კვლევაV

ესტროგენების უდიდესი მნიშვნელობა აქვს ოქსიდაციური სტრესის თვალსაზრისით (Chung S.C. et al., 1999; Cuerra et al., 1996; Cadenas S. et al., 1995; Nissinen E. et al., 1995; Becker B.F. et al., 1993; Schall R.S. et al.,

1992; Sugino N. et al., 2002) V ესტროგენები აგრეთვე აფერხებს ოქსიდაციური სტრესით გამოწვეულ ენდოთელური უპრედების აპოპტოზს (Sudoh N. et al., 2001; Wassmann S. et al., 2991; Virdis A. et al., 2000) V ესტროგენების ანტიოქსიდანტურობა აღემატება ვიტამინ E, ს ანტიოქსიდურ ეფექტს (Akova B. et al., 2001) V

მკვლევართა მოსაზრებით ესტრადიოლი თრგუნავს ოქსიდაციური სიტრესით გამოწვეულ აპოპტოზს V ოქსიდაციური სტრესით გამოწვეული უპრედის აპოპტოზი იწვევს კორპუს ლუთეუმის რეგრესიას და ფოლიკულის ატრეზიის ერთ, ერთი მექანიზმია (Murdoch W.J., 1998) V

ზემოხსენებულიდან გამომდინარე ნათელი ზდებაI თუ რა დიდია ესტრადიოლის როლი ფიზიოლოგიის პირობებში V სწორედ ოქსიდაციური სტრესით გამოწვეული აპოპტოზი შეიყლება იძოს ძვავილობის სტადიის გარეშე ძვითელი სხეულის ნაადრევი რეგრესიის მიზეზიI რასაც ზოგპერ ადგილი აქვს საშვილოსნოს პროლიფერაციული მიომით დაავადებულ ქალებშიI რომელთაც ახასიათებთ ძვითელი სხეულის პათოლოგიაV

მეტალთა გარდამავალი ჰგუფის  $Mn^{2+}$  და  $Fe^{2+}$ -იონები წარმოადგენენ თავისუფალრადიკალური უანგვის ყლიერ პრომოტორებს V  $Mn^{2+}$ -იონები აუცილებელია მიტოქონდრიული სუპეროქსიდდისმუტაზის ფუნქციონაციისთვისI ეს იონები ზელს უწმობს ჯიდროლაზების და კარბოქსილაზების აქტივაციას და ქმნის აქტიურ კომპლექსებს დაბალ მოლეკულურ ნივთიერებებთანV  $Mn^{2+}$ -შემცველი კომპლექსების ეპრ სიგნალების გამოჩენა მემბრანული სტრუქტურების დაზიანებასა და სუპეროქსიდდისმუტაზის ინაქტივაციაზე მიუთითებს V

ეპრ სპექტრში შეიყლება გამოვლინდეს ჯემოგლობინისა და აზოტის ოქსიდის ნაერთის Hb-NO და ორვალენტიანი რკინის  $Fe^{2+}$ , ეპრ სიგნალებიცI რაც უანგვა, აღდგენითი პროცესების ღრმა დარღვევაზე და მემბრანების შეუქცევად დაზიანებაზე მიუთითებს V

როგორც ცნობილიაI ქსოვილებში მიმდინარე ფიზიკურ,ქიმიური პროცესების თაობაზე წარმოდგენის მისაღებად ჩვენ მიგვაჩნია ამა თუ იმ ნივთიერების (მოლეკულებისI იონების) რაოდენობის განსაზღვრაI გამომდინარე იქიდანI რომ გამოვლენილი მოლეკულის და იონის ფუნქცია და შესაყლებლობა ცნობილიაV ასეთ მეთოდად ჩვენ მიერ შერჩეულია ელექტრონულ,პარამაგნიტური (ეპრ) რეზონანსის მეთოდიV

ელექტრონულ,პარამაგნიტურ რეზონანსის უწოდებენ არაკომპენსირებული ელექტრონული მომენტის მქონე ნაწილაკების მიერ ზემაღალი სიხშირის ელექტრომაგნიტური ველის ენერგიის რეზონანსული შთანთქმის მოვლენასV ეპრ მეთოდის გამოძენებას საფუყვლად უდევს ის ფაქტიI რომ ფერმენტული და ჟანგვა,აღდგენითი პროცესების დროს ქსლოვილებში და უპრედებში წარმოიქმნება პარამაგნიტურ მდგომარეობაში მძოფი ნაერთები ანუ პარამაგნიტური ცენტრებიV პარამაგნიტური ცენტრების წარმოქმნასა და ჟანგვა,აღდგენითი რეაქციების ინტენსივობას შორის რაოდენობრივი ურთიიერთკავშირი არსებობსI ამ ურთიერთკავშირის განსაზღვრა შესაყლებელია ნივთიერებათა პარამაგნიტური ფორმების ეპრ სიგნალების რეგისტრაციითI მაგალითადI მიტოქონდრიების ელექტრონული ტრანსპორტის კომპონენტებს აქვთ პარამაგნიტურ მდგომარეობაში გადასვლის უნარი და ამ მდგომარეობაში შესაყლებელია მათი რეგისტრაცია ეპრ მეთოდის საშუალებით (12I 128I 228)V

გარდა მიტოქონდრიებში მიმდინარეI ელექტრონულ ტრანსპორტში მონაწილე ჟანგვა,აღდგენითი გადამტანებისაI პარამაგნიტურ მდგომარეობაში შეიყლება გადავიდეს ენდოპლაზმურ ბადეშიI ციტოქრომ P-450-ი^ რომლის მონაწილეობით მიმდინარეობენ დეტოქსიკაციის რეაქციებიI ანტიოქსიდანტური ფერმენტებიI დნმ,ის სინთეზში და სხვადასხვა ფერმენტუდ რეაქციებში მონაწილე პარამაგნიტური მეტალების იონების შემცველი ნივთიერებები და აVშV

ქსოვილის დაუანგვის ხარისხის მომატების დროს I რაც შეიყლება განვითარდეს როგორც ენერგეტიკული სუბსტრატის დეფიციტის დროს I ისე მიტოქონდრიების ელექტრონული ტრანსპორტის ჰაჭვში ელექტრონების გადატანის დათრგუნვის შემთხვევაში I წარმოიქმნება უბისემიქინონური რადიკალებიI რომელთაც აქვთ გაუწმვილებელი ელექტრონებიV ფლავინის და ფლავოპროტეიდების სემიუბიქინონურ ფორმებს ქსოვილებში აქვს ეპრ სიგნალიI რომელიც ხასიათდება პარამეტრებით%  $g=2,00$ ;  $\Delta H=14-20$   $\text{kJ}\text{mol}^{-1}$  მიტოქონდრიების ელექტრონული ტრანსპორტის ჰაჭვის პირველ (NAD.H-დეიდროგენაზა)I მეორე (სუქცინატდეჯიდროგენაზა) კომპლექსებშიI დაუანგურ მდგომარეობაშიI პარამაგნიტურ მდგომარეობაში შეიყლება გადავიდეს რკინა, გოგირდოვანი ნაერთებიცI რომლის ეპრ სიგნალი ხასიათდება  $g=1,94$  პარამეტრითV

ქსოვილებში სხვადასხვა პათოლოგიის დროს შეიყლება მოხდეს  $Mn^{2+}$ -იონების შემცველი კომპლექსების ეპრ სიგნალების გამოვლენაცI რომელთა პარამეტრებია%  $g=2,14; 2,10; 2,03; 2,07; 1,92; 1,86.$  მანგანუმშემცველი კომპლექსები მონაწილეობენ ჟანგვა,აღდგენით პროცესებშიI ცილებისI რნმ,ისI დნმ,ისI C და B ვიტამინების სინთეზშიV  $Mn^{2+}$ -ის იონები აუცილებელია მიტოქონდრიული სუპეროქსიდდისმუტაზას ფუნქციობისათვისI დასახელებული იონები ხელს უწმობს ჯიდროლაზების და კარბოქსილაზების აქტივაციასI ქმნის აქტიურ კომპლექსებს დაბალმოლეკულურ ნივთიერებებთანV  $Mn^{2+}$ -შემცველი კლომპლექსების ეპრ სიგნალების გამოჩენა მემბრანული სტრუქტურების დაზიანებასა და სუპეროქსიდდისმუტაზას ინაქტივაციაზე მიუთითებსV

ეპრ სპექტრში შეიყლება გამოვლინდეს არაჯემური რკინისა და აზოტის ოქსიდის კომპლექსური ნაერთის , FeS-NO ( $g=2,03$ ) ეპრ სიგნალიცI რაც  $Ca^{2+}$ -ის იონების სიჭარბის პირობებში NO-სინთაზას გააქტივებაზე და ამის შედეგადI აზოტის ოქსიდის წარმოქმნაზე მიუთითებსV სუპეროქსიდ,

რადიკალთან ურთიერთქმედების შედეგად აზოტის ჟანგი წარმოქმნის პეროქსინიტრიტის და ჯიდროქსილის რადიკალებს I ეს უკანასკნელი კი , მაღალი თავისუფალრადიკალური აქტივობით ხასიათდებაV

გარდა ზემოხსენებულისაI ქსოვილის ეპრ სპექტრში შეიყლება გამოვლინდეს ჯემოგლობინისა და აზოტის ოქსიდის ნაერთის , Hb-NO ( $g_{\text{c}}=2,01$ ) და ორვალენტიანი რკინის  $\text{Fe}^{2+}$  ( $g=2,2$ ) ეპრ სიგნალებიცI რაც ჟანგვა,აღდგენითი პროცესების ღრმა დარღვევაზე და მემბრანების შეუქცევად დაზიანებაზე მიუთითებსV

ცნობილიაI რომ სიმსივნური ზრდის პროცესში ოქსიდაციური ჟანგვის ინტენსიფიკაციას მნივშნელოვანი ადგილი უჭირავსV მეტალთა გარდამავალი ჰგუფის იონები ( $\text{Mn}^{2+}$ - და  $\text{Fe}^{2+}$  იონები) თავისუფალრადიკალური ჟანგვის ყლიერი პრომოტორები არიანV NO-ს აქტივობის ხასიათი აგრეთვე მნიშვნელოვნად დამოკიდებულია ჟანგვითი პროცესების ინტენსივობაზეI აქედან გამომდინარეI მკვლევართა დიდ ინტერესს იმსახურებს თავისუფალი რადიკალების ინტენსიფიკაციისI აზოტის ოქსიდის და ჯიპოქსიის განვითარების პროცესები (Chio J.F. et al., 1999; Denkers C. et al., 2002; Gordeniz R. et al., 2000)V

## IV2V საშვილოსნოს მიომით დაავადებულ ქალებში საკვერცხების მორფო,ფუნქციური ცვლილებებია

საკვერცხე წარმოადგენს შინაგანი სეკრეციის ჰირკვალსI რომლის ფუნქცია და ჯორმონთა პროდუქცია ყირითადში დამოკიდებულია დომინანტურ ფოლიკულაზე და ძვითელ სხეულზეI ამიტომ ბუნებრივიაI რომ მწიფე

ფოლიკულის და ძვითელი სხეულის ჩამოძალიბების საკმაოდ რთული მექანიზმები იმსახურებენ მკვლევართა ცხოველ ინტერესს (Зеленицкая В.С., 1986; Хмельницкий О.К., 1994; Сметник В.П. с соавт., 1998).

საკვერცხეში ფოლიკულური აპარატი ძალიბდება ნაძოფის მუცლადმოფნის პერიოდის მე,20 კვირიდანV მის ქერქოვანაში წარმოიშვება დიდი რაოდენობით პრიმორდიული ფოლიკულებიI თითოეული მათგანი შედგება ოოციტისაგან და მის ირგვლივ კარგად განვითარებული ბაზალურ მემბრაზე განლაგებული ფოლიკულური უპრედების ერთი შრისაგანV მუცლად ძოფნის პერიოდის მე,7 თვიდან ნაძოფის საკვერცხეებში იწმება ცალკეული პრიმორდიული ფოლიკულების მუდმივი ზრდა შემდგომი ატრეზითV ანალოგიური ცვლილებები მიმდინარეობს საკვერცხეში ნაძოფის დაბადების შემდეგ მენარხემდეV მენარხის შემდგომ მთელი რეპროდუქციული პერიოდის განმავლობაში ადგილი აქვს ფოლიკულის მომწიფებას და ოვულაციას (Зеленицкая З.С., 1986; Журавлева М.Б. с соавт., 1976; Петрова Е.И., 1964; Хмельницкий Л.К., 1994), ხოლო დანარჩენი ფოლიკულები განიცდიან ატრეზიას განვითარების სხვადასხვა ეტაპზეV აღნიშნული პროცესის ფონზე იმატეს საკვერცხის სტრომაV უნდა აღინიშნოსI რომ პრიმორდიული ფოლიკულების 90?,ზე მეტი განიცდის ატრეზიასV

მიზეზიI თუ რის საფუფველზე ზდება დომინანტი ფოლიკულის შერჩევა ნორმალური მენსტრუაციული ციკლის დროს დღემდე გაურკვეველი რჩება (Гуртовая Н.Б. с соавт., 1982; Хменльницкий О.К., 1994; Сметник В.П., 1998).

სტეროიდები მიეკუთვნებიან ლიპიდების კლასს და მონაწილეობენ ორგანიზმში მიმდინარე ნაირსახოვან ბიოქიმიურ და ფიზიოლოგიურ პროცესებშიV სტეროიდების წინამორბედს წარმოადგენს დაბალი სიმკვრივის ლიპოპროტეინი , ქოლესტერინიV ამასთან ქოლესტერინი წარმოადგენს შუალედურ პროდუქტს სხვა სტეროიდების სინთეზისათვისV სტეროიდების

სინთეზი ყირითადად წარმოებს თირკმელზედა პირკვლებში I სასქესო პირკვლებში და პლაცენტაში I ამასთან საკმაოდ მრავალფეროვანი სპექტრით (ქოლესტერინი I სტეროიდული ჯორმონები I ნაღვლის მჟავები I ვიტამინი D და სხვV) (Савченко О.Н., 1967; Юдаев Н.А., 1956; Хафтман Э., 1970; Ленинджер Л., 1974; Соффер Л., 1966; Pincus G., 1955). მათ სინთეზში უდიდესი მნიშვნელობა ენიჭება ჯიპოფიზის მიერ გამოძოფილი ლუთეო და ფოლიკულომასტიმულირებელ ჯორმონებს V საკვერცხეში მიმდინარე სტეროიდებენეზში მონაწილეობს ფოლიკულები I ძვითელი სხეული და ინტერსტიციული ქსოვილიV მათში ხდება პროგესტინებისI ანდროგენებისI ესტროგენების წარმოქმნაV ამასთან უნდა აღინიშნოსI რომ საკვერცხის ქსოვილში მდებარე სტრუქტურები I ზოგიერთი აკტორის აზრითI შერჩევითად გამოიმუშავებენ ცალკეულ ჯორმონებს V კერყოდI ფოლიკულებში წარმოიქმნება ესტროგენები I ძვითელ სხეულში , პროგესტერონიI ინტერსტიციაში კი , ანდროგენები I ფოლიკულებში მორფოლოგიური თვალსაზრისით მნიშვნელოვანია გრანულოზური შრე და *Theca interna*. უკანასკნელში ყირითადად ხორციელდება ორი ფუნქცია% კვერცხუპრედის კვება და სეტროიდების გამომუშავებაV ესტროგენების სრულძოფილი სინთეზისათვის აუცილებელია ურთიერთკავშირი საკვერცხეების შრეებს შორისV როგორც ცნობილიაI სტეროიდოგენეზი მიმდინარეობს შემდეგი მიმართულებით (აცეტატი , ქოლესტერინი , პრეგნენოლინი , პროგესტერონი , ანდროგენი , ესტროგენი)I აქედან ზოგიერთი სტეროიდი გამომუშავდება შიდა თეკა გარსში I ზოგი კი გრანულოზურ უპრედებში (Falsh B., 1959; Channing C.P., 1966; Bjersing L., 1967; Ryan K.J. et al., 1966; Short R.U., 1962). მნიშვნელოვანი ესტრადიოლის სინთეზში 17B HSD ჯიდროქსილ სტეროიდ დეჯიდროგენაზა (Manau D. et al., 1998; Wakatsuki A. et al., 2002; Sasano H. et al., 2000; Mueck A.O., et al., 1998; Uarkus M. et al., 1995; Anderssen S. et al., 1995; 1997; Casey M.L. et al., 1994).

ამრიგად I საკვერცხის ფოლიკულის გრანულოზო, ტეკალური კომპლექსი ითვლება სტეროიდულ ფორმაციად I რომელთა მიერ ხდება ძველა სასქესო ჯორმონების სინთეზიV

თანამედროვე ლიტერატურული წმაროების მიხედვით ჯორმონები მეტნაკლები რაოდენობით გამოიძოფა ძველა ფაზაშიV კერყოდV დღეს დადგენილიაI რომ ძვითელი სხეული გამოიმუშავებს ესტროგენების მცირე რაოდენობასI ხოლო ფოლიკულური ფაზის დროს შეიმჩნევა პროგესტერონის გარკვეული რაოდენობაV ამდენად დღეს შეიყლება ვიმსპელოთ რაოდენობრივ მაჩვენებლებზე ესტროგენის , ფოლიკულურI ხოლო პროგესტერონისა , ლუთეინურ ფაზაში (Хмельницкий О.К. с соавт., 1994).

ფოლიკულის მოწიფების პროცესში ულტრასტრუქტურულ დონეზე დადგენილი იქნა მიტოქონდრიების ზომების ზრდა და მასში კრისტების გახშირება (Далмане П.Р., 1967; Motta P. et al., 1970; Лениндже А.А., 1966), რაც საერთოდ დამახასიათებელია ძოველი სტეროიდომასინ, თეზირებელი უპრედისათვის (Хамидов Д.Х. с соавт., 1974; Enders L.C., 1962).

თანამედროვე მონაცემებით ესტროგენების სინთეზი წარმოებს აგრეთვე ძვითელ სხეულში (Greep R.O. et al., 1992). ექსპერიმენტში ვირთაგვებზე გონადოტროპული ჯორმონების ზემოქმედებით ავტორებმა დაადგინეს ძვითელ სხეულში მნიშვნელოვანი რაოდენობის ესტროგენების წარმოქმნა (Armstrong D.I. et al., 1965; Macdonald G.J. et al., 1966).

ზღვის გოჭებშიI კურდღლებში და ყაღლებში ძვითელ სხეულში ესტროგენების სინთეზს ადასტურებს 17B-HCD ჯისტოქიმიური მაჩვენებლები (Ковалевская Г.Б., 1973; Davies I. et al., 1966; Fowler E.N. et al., 1960; Strauss J.E. et al., 1972). გამომდინარე ზემოხსენებულიდანI ძვითელ სხეულში შესაყლებელია ნაირსახოვანი ტიპის სტეროიდული ჯორმონების სინთეზიV

საკვერცხის ერთერთ ჯორმონალურად აქტიურ ნაწილს წარმოადგენს ინტერსტიციული ქსოვილი V ამის შესახებ აზრი საკმაოდ დიდი ხნის წინ გამოთქვა Bouin P., 1902; Limon 1902). ინტერსტიციული ქსოვილი კომპლექსური უპრედული გენეზისაა V ატრეზიული სხეულის ინვოლუციის შემდეგ მათ ადგილას რჩება თეკა უპრედების გროვები I რომლებიც შემდგომი სტრომის შემადგენელი ნაწილი ხდება (Волкова О.В., 1970; Далмане А.Р., 1967). ინტერსტიციული ქსოვილის აღნიშნული შემადგენელი ნაწილები იმძოფება მჭიდრო ფუნქციურ ურთიერთკავშირში V

საექსპერიმენტო ცხოველებში დადგინდა I რომ ეVწV საკვერცხის სტრომალური ჰირკვლოვანი ქსოვილი წარმოიქმნება ატრეზიული ფოლიკულების შიგნითა ტეკა გარსის და მათ ირგვლით მდებარე სტრომის ფიბრობლასტის მაგვარი უპრედებისაგან (Хватов В.П., 1970; Guria S.S., Mori N. et al., 1973; Quatropani S.D., 1973).

ფოლიკულის ატრეზიას თან ახლავს გრანულოზური შრის დისტროფია I რასაც მოჯძვება ოოციტის ტროფიკის მოშლა მისი დაღუპვით V დაღუპული კვერცხუპრედი განიცდის ალაგებას I რაშიც მონაწილეობას იღებენ მაკროფაგები V მიმდინარე ცვლილებებთან ერთად ხდება ფოლიკულის შიგნითა ტეკა გარსის უპრედესი ჯიპერპლაზია I რომლებიც დაღუპული ფოლიკულური ეპითელის რეზორბციის შემდეგ ქმნის ეVწV ატრეზიულ სხეულებს V მიუხედვად ზემოაღნიშნული დეგენერაციული ცვლილებების და სკლეროზისა I ატრეზიული სხეულები წარმოადგენენ ჯორმონალურად აქტიურ ინტერსტიციულ ჰირკვლებს V საკვერცხეში არსებული ფოლიკულების თითქმის 95? განიცდის ატრეზიას სიცოცხლის ამა თუ იმ ვადაზე (დაწმებული მუცლადმოფნის პერიოდის მე,7 თვიდან რეპროდუქციული პერიოდის დასრულებამდე) (Mossan H.W. et al., 1973) პრიმორდიული ფოლიკულების მხოლოდ 5? თუ აღწევს ოვულაციამდე V

მუცლადშიდა ცხოვრების 4I5 თვის შემდეგ ნაძოფში დადგენილია ესტრონენების არსებობაI რომლებიც ახდენენ ზეგავლენას საკვერცხის ფეტალურ რეცეპტორებზეV ამ პერიოდში ესტროგენები არის დედისI პლაცენტის ან ექსტრაფეტალური წარმოშობისV

როგორც ცნობილიაI საკვერცხის ყირითად ფუნქციას წარმოადგენს კვერცხუპრედის მომწიფება და ოვულაციაI გარდა ამისაI იგი გამოიმუშავებს ქალის სასქესო ჯორმონებსV პოსტმენოპაუზაში მძოფი ქალების ჯორმონალური სტატუსის და გონადების ჯისტოქიმიური და ბიოქიმიური გამოკვლევებით დადგინდაI რომ მათ საკვერცხებს მიუხედვად ფოლიკულური აპარატის ანვოლუციისა და ძვითელი სხეულის გაქრობისაI მაინც აქვს გარკვეული პერიოდის განმავლობაში ჯორმონების სინთეზის უნარიV საკვერცხის ჯორმონალური აქტივობა ამ ასაკობრივ ჰგუფში განპირობებულია ინტერსტიციული ქსოვილის უპრედების ჯიპერპლაზიის ხარპზე (Бохман Я.В., 1972; Feinberg R., 1963; 1969; Hertig A.T., 1944; Mattigly R.F. et al., 1962; Novak E.R. et al., 1963; Woll E. et al., 1948). ვარაუდობენI რომ ინტერსტიციული ქსოვილი გარდა ესტროგენებისI წარმოადგენს პრეოვულატორული პროგესტერონის წარმოქმნის წძაროს (Lucasrewsha T.H. et al., 1970). ზოგი ავტორი კი უარძოფს მის როლს პროგესტერონის სინთეზში (Blahe G.C. et al., 1970).

ესტროგენების მეტაბოლიზმის დარღვევა რეპროდუქციულ პერიოდში ზოგიერთი ავტორის აზრით ითვლება სიმსივნის წარმოშობის მიზეზად (Дильман В.М., 1968). შესწავლილია ესტროგენების მეტაბოლიზმი პოსტმენოპაუზაში სხეულის მასასთან კავშირში (Донат И. с соавт., 1982; 1984; Стекольщикова О.Д., 1983).

მრავალი მკვლევარის მიერ არის დადგენილი ესტროგონების როლი სხვადასხვა სისტემის ნორმალური ფუნქციონირების თვალსაზრისითI კერպოდI როგორც ნეიროპროტექტანტულიI კარდიოპროტექტანტულიI ეფექტიV

ესტრადიოლის ეფექტი მნიშვნელოვანია გულზე და ჩოჩნების კუნთებზე (Behl C. et al., 2000; Persky A.M. et al., 2000; Lund S.A. et al., 1999; Sujon N. et al., 2002).

ცნობილია აგრეთვეI რომ ესტროგენების ნორმულ სეკრეციას უდიდესი მნიშვნელობა აქვს ოქსიდაციური სტრესის და მის მიერ გამოწვეული აპოპტოზის დათრგუნვაშიV მრავალი მკვლევარის მიერ არის შესწავლილი ესტრადიოლის მიტოგენური და ანტიოქსიდანტური მექანიზმებიI ესტროგენებთა კავშირი NO-ს კონცენტრაციასთან და სისხლყარლვების მდგომარეობასთან შემდგომი ჯიპერ, ან ჯიპოტენზიის განვითარებით (Wassman S. et al ., 2001; Virdis A. et al., 2000; Behl C. et al., 20000; Hernandez I. et al., 2000; Montilla P. et al., 2000; Persky A.M. et al. 2000; Walsh B.A. et al., 1991; Chung S.C. et al., 1999; Murdoch W.J., 1998; Guerra L. et al., 1996; Cadenas S. et al., 1995; Kelly F.J., 1995; Nissinen E. et al., 1995; Becker B.F. et al., 1993; Sohal B.S., 1992; Sugino N. et al., 2002).

ბოლო წლების გამოკვლევებით დადგენილ იქნა საკვერცხებში არასტეროიდული ბუნების ნივთიერების სინთეზის არსებობაI რომლებიც თავის ბიოლოგიური ქმედებით ახლოს დგას ლΓ-РГ-სთან (ლუთეოჯორმონ, როლიზინჯორმონი)V თვარიული გონადოკრინინი განსხვავდება ჯიპოთალამური ლΓ-РГ-სგან თავისი ქიმიური შენებითI მიუხედავად ამისაI ორივე პეპტიდს აქვს საერთო რეცეპტორიV ამასთან მწიფე ფოლიკულის გონადოკრინინი უფრო მაღალი აქტივობისააI ვიდრე უმწიფარიV შეიყლება დავასკვნათI რომ საკვერცხის გონადოკრინინები წარმოადგენენ ფოლიკულების ატრეზიის ადგილობრივ რეგულატორსI ვინაიდან სავარაუდოაI რომ მზარდი ფოლიკულიდან მისი დიფუზია დამთრგუნველად მოქმედებს ირგვლივ მდებარე ფოლიკულებზეV ვარაუდობენI რომ ფოლიკულური სითხე შეიცავს ფოლიკულის განვითარების და ლუთეინიზაციის როგორც ინჯიბიტორსI ისე სტიმულატორსI რაც გამოწვეულია ამ სითხის მიმართ გრანულოზის მაღალი მგრენობელობითV თოციტის მომწიფების ინჯიბიტორი გამომუშავდება

გრანულოზაში V ფოლიკულის სითხეში იქნა გამოძოფილი აგრეთვე ΦСГ-ს და გრანულოზის უპრედების რეცეპტორს შორის კავშირის დამთრგუნველი ფაქტორი (Зеленицкая В.С., 1986).

მკვლევართა მიერ შესწავლილია აგრეთვე% საკვერცხის ფუნქციური უკმარისობა და მისი კავშირი ორგანიზმის იმუნიტეტთან (Ledger W. et al., 1989; Boyers S.P. et al., 1988; Mignot M.H. et al., 1989). ფოლიკულების ზრდის და ატრეზიის სიხშირე გონადოტროპინის და სტეროიდული ჯორმონების ციკლური ცვლილებების შესაბამისად (Gougeon A., 1984); ფოლიკულური და ლუთეინური კისტების განვითარების მექანიზმები (Уткин Ю.К., 1983); ლუთეინურ ფაზაში ფოლიკულის ზრდის დათრგუნვის მექანიზმები (Baird D.T. et al., 1984); ანოვულაცია და უშვილობის მიზეზები (Lew M.W. et al., 1987; Yoshimura Y. et al., 1989; Liakhonen S. et al., 1984; Donner J. et al., 1987; Devroey P. et al., 1984) და aVშV

საკვერცხის უმყიმეს დაზიანებას წარმოადგენს ლუთეინური ფაზის უკმარისობაI პირობადებული ძვითელი სხეულის ფუნციის დაქვეითებითI რასაც მოჯდება ესტროგენების და პროგესტერონის სეკრეციის დარღვევა (Soules M., 1987; Pugeat M. et al., 1988; Cook C.L., et al., 1983; De Brux I. 1986; Ying Y.K. et al., 1987; Lee C.K. S., 1987; Marchino G.L. et al., 1988).

მრავალ მკლევართა მიერ შესწავლილია% ძვითელი სხეულის ფუნქციური მდგომარეობაI ძვითელ სხეულში არსებული სპეციფიური რეცეპტორების ზრდის ეპიდერმალური ფაქტორი (Ayyagari R.R. et al., 1987), ნერწმვში პროგესტერონის შემადგენლობა (Zorn J.R. et al., 1984), ძვითელი სხეული ჩამოძალიბება და მისი ზომების დამოკიდებულება ესტრადიოლის სისხლის პლაზმაში კონცენტრაციასთან (Deichert U. et al., 1987; Heaty D.L. et al., 1984; Hiang-Ngoc Mink et al., 1983).

გარდა საკვერცხეში მიმდინარე ზემოთ ჩამოთვლილი მრავალფეროვანი პათოლოგიური პროცესებისაI მკვლევართა აზრითI საკმაოდ დიდ ინტერესს

იმსახურებს საკვერცხეში განვითარებული მორფო,ფუნქციური ცვლილებების შესწავლა საშვილოსნოს მიომით დაავადებულ ქალებშიV

შესწავლილია მიომით დაავადებულ ქალებში საკვერცხის ჯორმონალური მდგომარეობა (Инейпалу В.Э. с соавт., 1962; Каландарова Н.А., 1965). ერთეული მკვლევარები ადასტურებს ჯიპერესტროგენების როლს (Каплан А.А., 1954; Lax H. 1956, Каримов Х.Х. с соавт., 1981), ამასთანი გამოკვლევებით დადგინდაI რომ საშვილოსნოს მიომით დაავადებულ ქალებშიI რომელსაც თან ახლავს ესტროგენული აქტივობის მატებაI შეიმჩნევა ჯიპოფიზური ჯორმონების სეკრეციის დარღვევა (Трубникова Л.И., 1981). მკვლევართა ნაწილი აღნიშნავსI რომ ძვითელი სხეული ან არ შეიმჩნევაI ან არასრულფასოვანია (А.А.Лебедев, 1960; Быковская Л.И., 1959; Купрянова Е.М., 1960). ასევე ავტორთა მიერ შესწავლილია მიომის განვითარებაში ესტროგენებისI ძვითელი სხეულის და თირკმელზედა ჰირკვლის ქერქოვანის როლიV დადგინდაI რომ ჯეიპერესტროგენემია არ შეიმჩნევაI დამახასიათებელია სუსტი განვითარების ძვითელი სხეული და თირკმელზედა ჰირკვლებში ჯიპერტროფიული ყვრებიI რაც ყირთადად ატარებს კომპენსატრულ ხასიათს საკვერცხის ჯიპოფუნქციის პირობებში (Лесакова А.С., 1965, 1967).

საშვილოსნოს მიომის დროს საკვერცხეებში ზშირად აღინიშნება წვრილ, კისტოზური გადაგვარებაI რასაც უკავშირებენ ამ ორგანოში ჯორმონული თანაფარდობის დარღვევას - Вихляева Е.М. с соавт., 1982. ზოგიერთი ავტორის აზრითI საკვერცხეების პოლიკიტოზი წარმოადგენს საშვილოსნოში ნებისმიერი სიმსივნის განვითარების უშუალო მიზეზსV

Мовчан С.И. с соавт. (1979) მიერ შესწავლილი იძო ნორმალური მენსტრუაციული ციკლის მქონე 140 ქალის ოპერაციული მასალაV საკვერცხეების კისტოზური დეგენერაცია მიომასთან ერთად აღმოჩნდა მხოლდ 22I?,შიV Gavaller I (1968) მონაცემებით 321 მიომით დაავადებული ქალიდან

ძოველ მესამეში აღინიშნებოდა საკვერცხის ცალმხრივი ან ორმხრივი კისტოზური დეგენერაცია I ამასთან შემთხვევათა 15?,ში დადგინდა უშვილობა V საკვერცხის წვრილკისტოზურ გადაგავარებას და სტრომის ჯიპერპლაზიას მიომით დაავადებულ ქალებში აღნიშნავენ სხვა ავტორებიც (Вихляева Е.М. с соавт., 1981; Bolck P., 1961; Кленцкий М.С., 1966). მათი მონაცემებით საკვერცხის წვრილკისტოზური გადაგვარების სიხშირე მიომით დაავადებულ ქალებში მერძეობს 15,50?,დან 100?,მდე V აქედან გამომდინარე I შეიყლება ვიმსპელოთ მიმდინარე ფონის ეფექტის შესახებV ძოველივე აღნიშნულის მიხედვით საფიქრებელიაI რომ მიომის განვითარებაში მნიშვნელობა აქვს საკვერცხების დაზიანებით პირობადებულ დისჯარმონიულ პროცესებსV

Бохман Я.В. с соавт. (1980) მონაცემებით საკვერცხეში თეკა ქსოვილის ჯიპერპლაზია აღმოჩნდა მიომით დაავადებული ქალების 64?,ში (საშუალო ასაკი შეადგენდა 54 წელს)V მიომით დაავადებულ ქალებში ასაკის მატებასთან ერთად საკვერცხების სტრომის ჯიპერპაზიის სიხშირის ზრდას აღნიშნავენ სხვა ავტორებიც (Мовчан С.И. с соавт., 1979). Железяков Б.И. (1978,80) შეისწავლა 45 წლამდე ასაკის 3123 მიომით დაავადებული ქალიV საკვერცხის ტეკომატოზი და სტრომალური ჯიპერპლაზია ავტორმა დაადგინა მხოლოდ იმ შემთხვევაშიI სადაც მიომასთან ერთად აღინიშნებოდა ენდომეტრიუმის პირკვლოვანი ჯიპერპლაზია , შემთხვევათა 4?,სV ამ მონაცემებიდან გამომდინარე ავტორი უარძოფს კავშირს საშვილოსნოს მიომასა და ესტროგენების შორისV

როგორც ამ მონაცემებიდან ჩანსI საკითხი საკვერცხის სტრომის ჯიპერპლაზიასა და მიომის ურთიერთდამოკიდებულების შესახებ ჰერპერობით საკამათოაV

Лесакова Л.С. (1971) დიდი ზნის განმავლობაში შეისწავლა საკვერცხის მაკრო, და მიკროსკოპულ სურათს მიომის დროსV ავადმმოფთა საშუალო ასაკი იძო  $40I8 \pm 5I7$  წVI შენარჩუნებული ნორმალური მენსტრუაციული რიტმითV 131

რეზეცირებულ საკვერცხეზე მან დაადგინა ერთეულ პრიმორდიული ფოლიკულების არსებობაV ერთეულ შემთხვევაში როგორც პრიმორდიულიI ისე მცირე მზარდი ფოლიკულები არ არსებობდაV ზოგ შემთხვევაში კი იძო დიდ რაოდენობით კისტურად ატრეზიული ფოლიკულებიI თეთრი და ფიბროზული სხეულებიV ტვინოვანში აღინიშნებოდა ფიბროზიI იშვიათად დიდი მზარდი ფოლიკულებიV თეთრი გარსის გასქელება და ჯიალინოზი თან ახლდა წვრილ, კისტოზური გადაგვარების თითქმის ძველა შემთხვევასV

ამრიგადI ავტორის მიერ დადგენილ იქნა მიომით დაავადებულ ქალებში წვრილკისტოზური გადაგვარების მიკრომორფოლოგიური სურათი (თეთრი გარსის გასქელებაI ჯიალინოზი და ატრეზიული ფოლიკულები)V

მეცნიერებაში გამოიკვეთა აზრიI რომ მიომის განვითარება ძოველთვის არ არის დაკავშირებული საკვერცხეებში არსებულ ცვლილებებთან (Железнова Б.И., 1980). შესწავლილია საკვერცხში დამოუკიდებლად არსებული წვრილკისტოზური გადაგვარებისI პოლიკისტოზის შემთხვევებიI რომლებსაც არ მოჯძვა მიომის განვითარებაV არსებობს შრომებიI რომლების მიხედვით პოლიკისტოზი საკმაოდ ხშირია პრაქტიკულად ჰანმრთელ ქალებშიცI ნორმალური მენსტრუაციული ციკლის და სხვა ჯორმონული დარღვევების (ჯიპუსტიზმის) არარსებობის პირობებში (Polson D.W. et al., 1988). დაპირისპირებულია ჰანმრთელ ქალებსა დ პოლიკისტოზით დაავადებულ ქალებს შორის კლინიკური სურათიV აღნიშნული შრომის მიხედვით განსხვავება ამ ჰეთუფებს შორის ბევრად არის დამოკიდებული ანდროგენების და სტეროიდული ჯორმონის სეკრეციაზეI რაც ლაპარაკობს ოვარიო,რენინ, ანგიოტენზინურ სისტემას და საკვრეცხის პოლიკისტოზს შორის არსებულ კავშირზე (Polumbo A. et al., 1993). Mori Y. et al., 1984 მიერ შესწავლილია პოლიკისტოზის დროს საკვერცხის კაფსულაში კოლაგენის და გლიკოზამინგლიკანების შემადგენლობაV ავტორმა დაადგინა ამ ჰაათოლოგიის დროს საკვერცხეში კოლაგენის მკვეთრი მატებაI რომელსაც მოჯძვა

კაფსულის გატლანქების და გასქელების ოვულაციის შეფერხება V შესწავლილია აგრეთვე მიომით დაავადებული ქალების საკვერცხების კაფსულაში ანდროგენდამაკავშირებელი პროტეინის შემადგენლობა I რომელიც დაქვეითებული აღმოჩნდა I საკვერცხეში ამ პროტეინის მოცულობის კავშირი პოლიკისტოზთან ჰქონდა (Ito A. et al., 1985).

Семенов В.В. с соавт. (1983) შეისწავლა სკლეროკისტოზური საკვერცხების და წვრილკისტოზური გადაგვარების დროს ფოლიკულების უპრედული ელემენტების ულტრასტუქტურა საშვილოსნოს მიომის მქონე ქალებში V დადგინდა I რომ ყირითადი მასა ფოლიკულების სკლეროკისტოზის დროს განიცდის ატრეზიას I რომელიც გარკვეული პერიოდის განმავლობაში ინარჩუნებს ფუნქციურ აქტივობას V

საკმაოდ ვრცლად არის შესწავლილი პოლიკისტოზის დროს სტეროიდოგენეზი ამ პათოლოგიის დროს დადგეილია მისი ჯიპერაქტივაცია (Алиева Э.А. с соавт., 1989; Tamura T. et al., 1993; Hamori M. et al., 1987; Laatikainen T.A. et al., 1989). პოლიკისტოზისთვის კლინიკურად დამახასიათებელია პირველადი უნაძოფობა I ქრონიული ანგულაცია I ჯირსუიტიზმი I ამენორეა I ოლიგომენორეა და აVშV (Franks S. et al., 1985; Сираков М., 1986; Abeiele J.P., 1984; Ельцов-Стрелков В.И. с соавт., 1985; Salomin-Bernard I., 1988; Struzziero E. et al., 1988; Paladirski et al., 1985; Seibel M.MN. et al., 1985).

Вихляева Е.М. 1982 მონაცემებით საკვერცხის პათოლოგიების დროს საშვილოსნოში 2,ჰერ მეტად იზრდება პათოლოგიურ მდგომარეობათა სიხშირე V საკვერცხის ავთვისებიანი სიმსივნეები თავის სიხშირით მე,2 ადგილზეა გენიტალური სისტემის სხვა სიმსივნეთა შორის (Краевская И.С., 1978; Гиллерсон Л.Б. с соавт.. 1963). საკვერცხის სიმსივნეების დროს დამახასიათებელია იმუნური სისტემის ცვლილებები ხაშუკოევა А.З. с соавт.,

1982. მაგრამ საკვერცხის სიმსივნეების კავშირი საშვილოსნოს მიომეტრიუმში მიმდინარე ცვლლებებთან ჰერ კიდევ შეუსწავლელიაV

Стафееева Е.М. (1970) მიერ გამოკვლეული მიომის 1164 საოპერაციო შემთხვევიდან 139,ში აღინიშნებოდა საკვრეცხის სხვა შენების სიმსივნეებიV ამ მასალაში 40 წლის ასაკამდე ავალმძოფებში საკვერცხის სიმსივნეები აღინიშნებოდა 10I6?,შიI 41,45 წლამდე 12I3?,შიI ხოლო 56 წლის და ზემოთ 2I5?, შიV მათგან ავთვისებაინი სიმსივნეები იძო აღნიშნულ ზემოხსენებულ ავადმძოფთა ასაკის შესაბამისად 0I3?I 0I6?,ში და 1I4?,შიV ამრიგადI საკვერცხის ავთვისებიანი სიმსივნეების სიხშირე მიომით დაავადებულ ქალებში 5,ჰერ მატულობს 56 წლის ასაკის ზემოთV იგი შედარებით დაბალია 40 წლამდე ასაკის მიომით დაავადებულ ქალებშიI რაც ლაპარაკობს იმის სასარგებლოდI რომ სიმსივნეების განვითარებას სჭირდება ზანგრყლივი ვადებიV

შესწავლილია საკვერცხეების სისხლყარღვთა თავისებურებები საშვილოსნოს მიომით დაავადებულ რეპროდუქციული ასაკის ქალებშიV

Васильченко Н.П. с соавт. 1979 აღნიშნავს მიომის დროს საკვერცხის საშუალო და მცირე ძალიბის არტერიების შევიწროებას (აღნიშნული შედეგია წრიული კუნთოვანი შრის გასქელებისა) და კოლაგენური და ელასტიური შრეების ცვლილებასI რომლებსაც თან ახლავს ვენური სისხლყარღვების სანათურის არათანაბარი გაგანიერებაV არტერიებში და ვენებში ვითარდება სკლეროზული პროცესიI რომელიც თანდათან ვრცელდება მთელ სტრომაზეV ამ შემთხვევაში სისხლყარღვოვანი ქსელის დასკლეროზების ზარჟზე (კაპილარების ჩათვლით) ვითარდება სკლეროზული ქერქოვანი შრისI სტრომის კოლაგენიზაციაI ირკვევა ფოლიკულის მიკროცირკულციაI რაც თავის მხრივ იწვევს ფოლიკულის ზრდის შეფერხებასI ოვულაციის დარღვევას და საკვერცხის წვრილკისტოზურ გაგანიერებასV

საკვერცხეში მიმდინარე ამ მრავალფეროვან ყვრებს მიიომის დროს ავტორთა აზრით I ხელს უწმობს გენიტალური სისტემის ხშირი ანთებადი დაავადებებიV ვასილ'ченко Н.П. ც სიავტ. (1979) თავის გამოკვლევებში სწრაფი ზრდის მქონე მიომებზე აღნიშნავს შემთხვევათა 2/3,ში გენიტალური სისტემის ანთებად დაავადებებსV

საკვერცხეში ჯიპერესტროგენემიას ხელს უწმობს როგორც ფუნქციონალური ცვლილებები (ანოვულაცია)I ისე ორგანული ცვლილებები (თეკა,ქსოვილის ჯიპერპლაზიაI სკლეროკისტოზური დეგენერაცია) (Шинкарева А.Ф. ც სიავტ., 1980; Бадеева Ф.С., 1985). საკვერცხის სკლეროკისტოზის დროს სტეროიდული ჯორმონების ბიოსინთეზის დარღვევა იწვევს ქრონიკულ ანოვულაციასV

მიომით დაავადებულ ქალებში აღნიშნავენ აგრეთვე ღვიყლისა და ფარისებრი ჰიკვლის ფუნქციის მოშლას (Быковская Л.И., 1959; 1978; Журавлева Т.Б., 1964; Савченко О.И., 1967; Яценко Л.А., 1969).

მიომით დაავადებული ქალების (25,55 წV) საკვერცხეების ნერვული აპარატის მორფოლოგიური ცვლილებების შესწავლისას დადგინდა სხვადასხვა სახის დაზიანებები (Семенов И.И., 1970).

ამრიგადI საკითხის ლიტერატურული მიმოხილვიდან ნათლად ჩანსI რომ კვლევებიI რომლებიც შეეხება რეპროდუქციული პერიოდის ქალებში მაღალი პროლიფერაციული აქტივობის მქონე კვანძოვანი მიომის განვითარებას და ამ პირობებში საკვერცხის მორფოფუნქციური ცვლილებების ჩამოძალიბებასI წარმოადგენს იშვიათობასV დღევანდელობიდან გამომდინარე კიI მაშინ როდესაც იმატა პროლიფერაციული ჭიპის კვანძოვანი მიომის სიხირემ + ჰგუფის ქალებშიI რაც გარდა შვილოსნობისაI მნიშვნელოვანია ონკოლოგიური თვალსაზრისითI პრობლემა ინარჩუნებს აქტუალობასV

## თავი ++

### საკვლევი მასალა I კვლევის მეთოდები და მეთოდიკა

IV ჩვენს მიერ გამოკვლეულია პერინატალური მედიცინისა და მეანობა გინეკოლოგიის სამეცნიერო, კვლევითი ინსტიტუტის ქირურგიულ განძოფილებაში 1981, 90 წლებში საშვილოსნოს მიომის დიაგნოზით ნაოპერაციები ქალების კლინიკური ისტორიები და მათი შესაბამისი ქირურგიული მასალა საშვილოსნო დანამატებთან ერთად (სულ 705 შემთხვევა)V

საარქივო მასალაში შერჩეული იძო მიომის მხოლოდ ის შემთხვევები I რომლებსაც თან არ ახლდა საშვილოსნოს რომელიმე სხვა პათოლოგია (მაგალითად I საშვილოსნოს ენდომეტრიოზი I ანთებადი ცვლილებები I ავთვისებიანი სიმსივნეები და სხვ)V როგორც მორფოლოგური კვლევის შედეგები I ისე კლინიკური ისტორიების მონაცემები გაანალიზებულია ჩვენს მიერ შედგენილი ცხრილი 1, ის მიხედვით V ქალის ასაკიდან გამომდინარე გამოძოფილია ოთხი ასაკობრივი ჰეთუფი% + ჰეთუფში გაეორთიანებული იძო 25, 38 წლის ქალები (194 შემთხვევა)I ++ ჰეთუფში , 39,45 წლის ქალები (208 შემთხვევა)I +++ ჰეთუფში , 46,50 წლის ქალები (232 შემთხვევა) და +: ჰეთუფში , 51 წლის ზემოთ (71 შემთხვევა)V

შესწავლილია ძველა ასაკობრვ ჰეთუფში საშვილოსნოს მიომის კვანყების ლოკალიზაცია I ზომები და რაოდენობა V კვანყების ზომები დაძოფილია 3 ჰეთუფად% 4 სმ, მდე დიამეტრის კვანყები I 8 სმ, მდე და 8 სმ, ზე მეტი დიამეტრის მქონე კვანყები V

შესწავლილია საკვერცხების მორფოლოგიური ცვლილებები საშვილოსნოს მიომის დროს როგორც კვანყების ზომების და რაოდენობის მიხედვით I ისე საკვერცხის ანოვულაციური და ოვლაციური ციკლის მიხედვით V

შესწავლილია პათოლოგიური მენსტიურაციული ციკლის ზასიათი და  
სიხშირე ქალის ასაკისI მიომის კვანძების ზომებისI რაოდენობისI  
ლოკალიზაციის და საკვერცხის ციკლის გათვალისწინებითV

## კვლევის ობიექტი

1981, 90 წV საარქივო მასალა (705 შემთხვევა)

ასაკობრივი ჰგუფები	საშვილოსნოს მომის კვანყების ლოკალიზაციაI ომები და რაოდენობა ?,ში			საკვერცხის მორფოლოგიური ცვლილებები კვანყების ზომების და რაოდენობის მიხედვით		მენსტრუაციული ცკლის ხასიათი კვანყების ზომებისI რაოდენობის და ლოკალიზაციის მიხედვით			
+ ჰგუფი	სუბმუკოზური	ერთკვანყიანი	მრავალკვანყიანი	ანოვულაციური ციკლის დროს ?,ში	ოვულაციური ციკლის დროს ?,ში	ანოვულაციური ციკლის დროს ?,ში	ოვულაციური ციკლის დროს ?,ში		
+ ჰგუფი	სუბმუკოზური	ერთკვანყიანი	მრავალკვანყიანი	ანოვულაციური ციკლის დროს ?,ში	ოვულაციური ციკლის დროს ?,ში	ანოვულაციური ციკლის დროს ?,ში	ოვულაციური ციკლის დროს ?,ში		
++ ჰგუფი	ინტრამურული			1) 4 სმ,მდე დიამეტრის კვანყოვანი მიომა	1) 4 სმ,მდე დიამეტრი, რის კვანყოვანი მიომა	1) დისგენეზია ფოლიკულური ხასიათის ცისტებით 2) დისგენეზია პრიმორდიული და მცირე მზარდი დისტროფიული ფოლიკულებით 3) სხვა პათოლოგია (ტეკომატოზიI გრანულოზური შრის ჯიპერპლაზიაI სტრომის ჯიპერპლაზიაI სეროზულიI მუციინოზV ცისტები და სხვV	1) დისგენეზია ფოლიკულური ხასიათის ცისტებით 2) ძვითელი სხეულის პათოლოგია (არასრულფასოვანი ძვითელი სხეულიI ცისტოზური ძვითელი სხეულიI რეგრესიული ძვითელი სხეული) 3) სხვა პათოლოგია ჯორმონდამოკიდებული სტრუქტურის ჯიპერპლაზიის სახითV 4) საკვერცხის ნორმისთვის დამანასიათებელი ცვლილებები	1) ნორმალური მენსტრუაციული ციკლი 2) ჯიპერმენო, რეა 3) ჯიპერპლი, მენორეა 4) აციკლურ სისხლის დენა 5) ამენორეა	1) ნორმალური მენსტრუაციული ციკლი 2) ჯიპერმენო, რეა 3) ჯიპერპლი, მენორეა 4) აციკლურ სისხლის დენა 5) ამენორეა
+++ ჰგუფი	სუბსეროზული			2) 8 სმ,მდე და	2) 8 სმ,მდე და				
+: ჰგუფი				3) 8 სმ,ზე მეტი დიამეტრის კვანყოვანი მიომა	3) 8 სმ,ზე მეტი დიამეტრის კვან, ყოვანი მიომა				

საარქივო მასალის შეპამების საფუძველზე გაკეთებულია სათადო დასკვნებიV

++V საკუთარ კვლევაში შევისწავლეთ საშვილოსნოს პროლიფერაციული ტიპის მიომის დიაგნოზის მქონე + ჰგუფის ქალები (25,38 წ)V

IV გამოკვლეული საშვილოსნოს პროლიფერაციული ტიპის მიომის მქონე ქალებში არასრულფასოვანი ძვითელი სხეულის პირობებში ფოლიკულომასტიმულებელი და მალუთეინიზებელი ჯორმონებისI ესტრადიოლის და პროგესტერონის კონცენტაცია პერიფერიულ სისხლში მენსტრუაციული ციკლის მე,20 დღეზე (სულ 30 შემთხვევა)V კვლევა ჩატარდა აპარატით Fluorimeter 1230 ARCUS-LB WALLAC (შვედეთი,ფინეთი)V

კონტროლის სახით (25,38 წV) ჰანმრთელი ქალი მენსტრუალური ციკლის მე, 20 დღეზე (სულ 3 შემთხვევა)V

2V გამოკვლეულია საშვილოსნოს პროლიფერაციული ტიპის მიომის დროს მიომის კვანძებში და საკვერცხების სონოანატომიური თავისებურებები (სულ 30 შემთხვევა)V შეფასდა პროლიფერაციალი მიომის კვანძისთვის დამახასიათებელი პერიფერიული და შიდა სისხლის მიმოქცევაI რეზისტენტობის ინდექსი ფერადი დოპლეროგრაფიული კარტიონებით და შესაბამისად ამ პირობებში საკვერცხების სონოანატომიური თავისებურებებიV კვლევა ჩატარებულია აპარატით POWER Vision 7000 (TOSHIBA).

შესწავლილია კონტროლის სახით (25,38 წV ასაკის) ჰანმრთელი ქალის საკვერცხების სონოანატომიური თავისებურებანი მენსტრუალური ციკლის მე, 20 დღეზე (სულ 30 შემთხვევა)V

3V ნაწარმოებია საშვილონოს ტანის პროლიფერაციული ტიპის მიომის დროს + ჰგუფის ქალებში საკვერცხების მორფოლოგიური ცვლილებების კვლევა (სულ 73 შემთხვევა) ჯისტოლოგიურიI ჯისტოქიმიურიI ბიომეტრულიI ელექტრონულ,მიკროსკოპული მეთოდებითV

3V1V ჯისტოლოგიური მეთოდებიდან ანათლები შეღებილია ერლიხის ჯემატოქსილინით და ეოზინით ჯისტოლოგიური და ბიომეტრული კვლევისათვისV ვაიგერტის ჯემატოქსილინითა და პიკრინმჟავა ფუქსინით (ვან, გიზგონის წესით) ჯისტოსტერეომეტრიისათვისI ფუქსილინით მიტოზის მდგომარეობაში მძოფი უპრედების უკეთესად გამოვლინებისათვისV

3V2V ჯისტოქიმიური მეთოდიკებიდან ჩატარებულია% ჯისტოქიმიური რეაქცია დნმ,ის გამოვლინებისთვის ფელგენის მეთოდითI სუდანოფილური ლიპიდების გამოსავლენად სუდან +++,ითV

3V3V ბიომეტრული მეთოდიკების გამოძენებით საშვილოსნოს პროლიფერაციული მიომის დროს ნაწარმოებია

- ცისტურად გარდაქმნილი ფოლიკულების შიდა თეკა გარსის სისქე სინათლის მიკროსკოპის საშუალებით (თითოეულ შემთხვევაში 100 მხედველობის ველი)V
- გრანულოზური უპრედების მოცულობის განსაზღვრაV
- გრანულოზური უპრედების ბირთვებში პლოიდობის განსაზღვრა კონტროლის სახით სექციური მასალიდან დამზადებულ ფოლგენის რეაქციით მიღებულ ანათლებში არსებულ სისხლყარღვების სანათურის სისხლში განსაზღვრული იძო მწიფე ლიმფოციტების პლოიდობაV
- ცისტურად გაგანიერებულ ფოლიკულში ექსნერის სხეულაკების მოცულობის განსაზღვრაV
- ძვითელი სხეულის უპრედების მოცულობის განსაზღვრა
- ძვითელი სხეულის უპრედების ბირთვების მოცულობის განსაზღვრა
- კონტროლის სახით ჩატარებულია ნორმალური ფოლიკულის მორფომეტრული კვლევაV მასალა აღებულია სამედიცინო ექსპერტიზის კათედრიდანV ბირთების და ექსნერის სხეულაკების უპრედების მოცულობის განსაზღვრას ვაწარმოებდით ჯემატოქსილინ,ეოზინით

შეღებილ ანათლებში ოკულარო,მიკრომეტრის გამოძენებით 7;90,ზე გადიდების პირობებშიV ოკულარომიკრომეტრის ერთი დანაძოფის აბსოლუტური მნიშვნელობა (ფასი) განისაზღვრა ობიექტმიკრომეტრის დახმარებითV მოცულობის განსაზღვრისათვის გამოძენებული იძო ფორმულა  $V=0,523 LB^2$  ( $L$  - დიდი დიამეტრიI  $B$  - ჩატარა დიამეტრიI  $V$  - ოცულობა)V

- ძველა შემთხვევაში გაზმოილი იძო 100 უპრედის და ბირთვის მოცულობაV მიღებული ვარიაციული რიგიდან გამოძოფილი იძო 10 კლასი შემდეგი ფორმულით

$$K = \frac{\text{მაქსიმალური მოცულობა}}{\text{კლასების რაოდენობა}}$$

მიღებული ციფრები დამუშავებულია ვარიაციული სტატისტიკის მეთოდით ( $P<0,01$ ).

- ელექტრონულ,მიკროსკოპული კვლევა ჩატარებულია საშვილოსნოს მიომის კვანძში პროლიფერაციის ხარისხის შესაფასებლად და საკვერხეში ძვითელი სხეულის და კისტურად ატრეზიული ფოლიკულების ფუნქციური აქტივობის შესაფასებლადV ამ მიზნით აღებული მასადა ფიქსირდებოდა გლუტარალდეჯიდის 215? ხსნარში ( $pH$  - 7,4) და 1?  $O_5O_4$ -ის ხსნარშიV ეპონის ძალიბებიდან მიღებული ანათლები იღებებოდა ტოლუიდინითV ულტრათხელი ანათლების კვლევა ჩატარებულია ელექტრონული მიკროსკოპით Tesla BS 500 (ხელსაწმოს ყაბვის აჩქარებისას 70,90 kvt).

$+++V$   $Mn^{2+}$ ,  $Fe^{2+}$  იონების და  $NO$ -ს ეპრ სიგნალების განსაზღვრაV ნაწარმოებია%

- 1V საშვილოსნოს მიომით დაავადებულ + ჰგუფის ქალებში მიომის კვანტული ნაოპერაციებ მასალაში და მიომეტრიუმშიX საკვერცხის ცისტური ფოლიკულის კედელში და ძვითელ სხეულში (სულ 30 შემთხვევა)V
- 2V ექსპერიმენტში ზღვის გოჭების მიომეტრიუმში და საკვეპცხეში (სულ 30 შემთხვევა)V
- ექსპერიმენტი ტარდებად ზღვის გოჭებზეV მათი წონა მერძეობდა 600, 700 გ,ის ფარგლებშიV Metaoestrus ++,ის პერიოდშიI ეს ის პერიოდი როდესაც ჩამოძალიბებულია ძვითელი სხეულიV ამ პერიოდის დადგენა ზდებოდა ზღვის გოჭის საშოდან აებული და გიმზარომანოვსკის მეთოდის შეღებილი ნაცხის მიკროსკოპიული კვლევითV
- 2VI საკონტროლო ჰგუფში გამოკვლეული იძო ზღვის გოჭის საკვერცხე და მიომეტრიუმი (10 შემთხვევა)V
- 2V2V მეორე ჰგუფში გაერთიანებული იძო შემთხვევებიI სადაც ზღვის გოჭებს 14 დღის განმავლობაში უკეთდებოდათ დღეში ერთპერ ესტროგენების სადღელამისო დოზის 5,ჰერადად გაზრდილი დოზაV მე,15 დღეზე ზოგადი ანესტეზიის პირობებში ვიღებდით საკვერცხეს და მიომეტრიუმს (10 შემთხვევა)V
- 2V3V მესამე ჰგუფში გაერთიანებული იძო შემთხვევებიI სადაც ზღვის გოჭებს 14 დღის განმავლობაში უკეთდებოდათ დღეში ერთპერ ესტრადიოლის სადღელამისო დოზის 10,ჰერადად გაზრდილი დოზაV მე,15 დღეზე ზოგადი ანესტეზიის პირობებში ვიღებდით საკვერცხეს და მიომეტრიუმს (10 შემთხვევა)V
- ეპრ სიგნალის კვლევისავის აღებულ მასალას ვათავსებდით პოლიეთილენის მილებში და ვინახავდით თხევად აზოტში (-196°C). ნიმუშის მასა შეადგენდა დაახლოებით 200,300 მგ,სV ეპრ სპექტრს ვზომავდით რადიოსპექტრომეტრით Re-1307 (რუსეთი) კვარცის დიუარის გამოძენებითI რომელსაც ვათავსებდით სპექტრომეტრის რეზონატორშიV

### **სტატისტიკური ანალიზი**

მიღებული შედეგების სტატისტიკური დამუშავება ტარდებოდა ცვლადთა ანალიზის (ANOVA) პროგრამული პაკეტით, რომლის რეალიზაცია ხორციელდებოდა კომპიუტერული პროგრამის EXCEL-ის მეშვეობით. სხვაობათა სტატისტიკური სარწმუნობა მოწმდებოდა სტიუდენტის t-კრიტერიუმით.

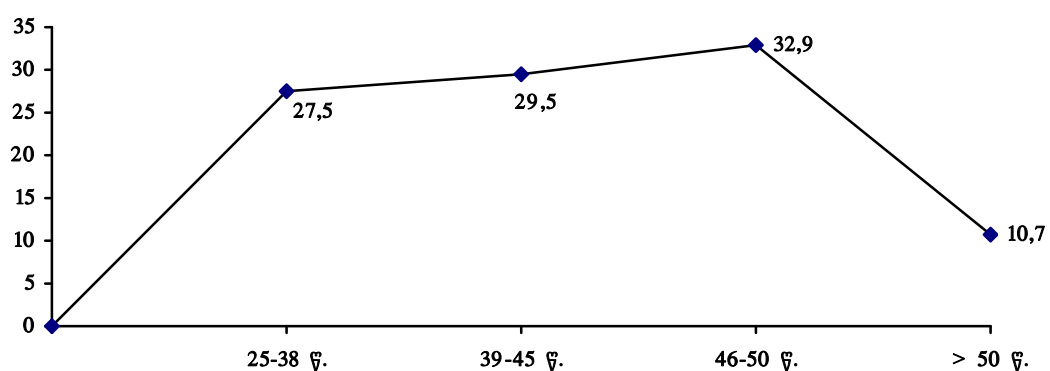
### თავი +++

3V1V1V საშვილოსნოს მიომის კვანტის სიხშირეI კვანტების რაოდენობა და მათი ლოკალიზაცია ანოვულაციური და ოვულაციური ციკლისა და ქალის ასაკის  
მიხედვით

საშვილოსნოს მიომის 705 შემთხვევიდან (მრუდი 1) ეს პათოლოგია ძველაზე ხშირია +++ ჰგუფში , 232 შემთხვევა (32I9?)I მეორე ადგილზეა ++ ჰგუფი , 208 შემთხვევა (29I5?)I მესამე , + ჰგუფი , 194 შემთხვევა (27I5?) და მეოთხე , +: ჰგუფში მძოფი ქალები , 71 შემთხვევა (10I7?)V

საშვილოსნოს მიომით დაავადებულთა სიხშირე ასაკის მიხედვით

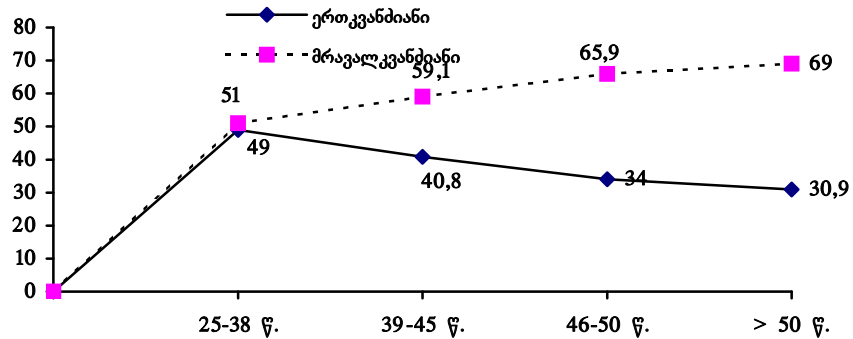
მრუდი 1



424 შემთხვევაში აღინიშნება მრავალკვანტიანობა (60I1?)I ხოლო 281 შემთხვევაში დადგენილია მიომის 1 კვანტის არსებობა (39I8?) (მრუდი 2)V მათ შორის ++ ჰგუფის 208 შემთხვევიდან მრავალკვანიანი მიომა შეგვხვდა 123 შემთხვევაში (59I1?)I ერთკვანტიანი , 85,ში (40I9?)V მენოპაუზის პერიოდის 232 ავადმძოფიდან მრავალკვანტიანი მიომა აღინიშნება 153 შემთხვევაში (65I9?)I 71 შემთხვევიდან მრავალკვანტიანი მიომა აღინიშნება 49 შემთხვევაში (69?)I ერთკვანტიანი , 22,ში (31?)V + ჰგუფის 194 შემთხვევიდან თანაბარი სიხშირით გვხვდება როგორც მრავალკვანტიანი (99 შემთხვევა , 51?)I ისე ერთკვანტიანი (95 შემთხვევა , 48?) მიომებიV

კვანძების რაოდენობრივი სიხშირე საშვილოსნოს  
მიომით დაავადებულ ქალებში

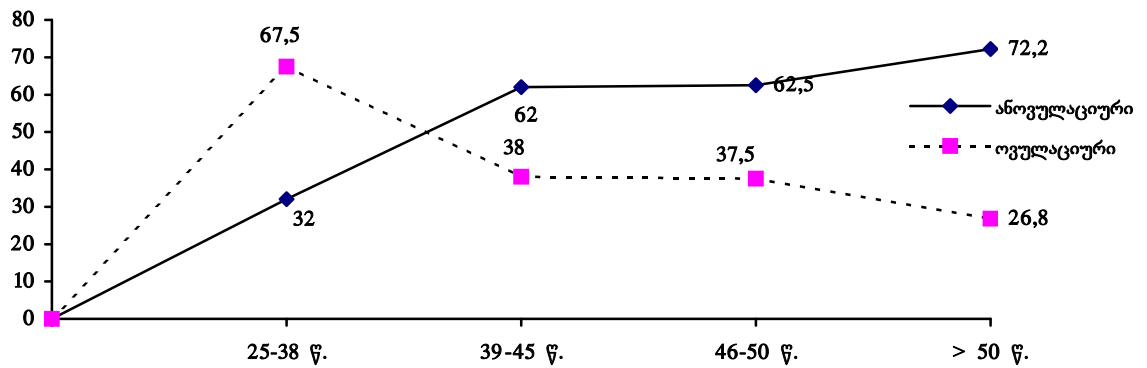
მრუდი 2



საშვილოსნოს მიომით დაავადებული 705 ქალიდან ანოვულაციური ციკლი აღინიშნა 389 შემთხვევაში (55I2?)I ოვულაციური ციკლი კი , 316 შემთხვევაში (44I8?) (მრუდი 3)V ++ ჰგუფის 208 პაციენტიდან ანოვულაციური ციკლი აღინიშნება 129 შემთხვევაში (62?)I ოვულაციური კი 7,ში (38?)V +++ ჰგუფში 232 ავადმძოფიდან ანოვულაციური ციკლი აღინიშნება 145 შემთხვევაში (62I5?)I ოვულაციური კი 87,ში (37I5?)V +: ჰგუფში მძოფი 71 ავადმძოფიდან ანოვულაციური ციკლი აღინიშნება 52 შემთხვევაში (73I2?)I ხოლო ოვულაციური 19,ში (26I8?)V + ჰგუფის 194 ავადმძოფიდან ანოვულაციური ციკლი ჯქონდა 63,ს (32I5?)I ხოლო ოვულაციური ციკლი 131,ს (67I5?) (მრუდი 3)V

მრუდი 3

საშვილოსნოს კვანძოვანი მიომის სიხშირე ანოვულაციური და ოვულაციური ციკლის მიხედვით სხვადასხვა ასაკის ქალებში



ცალკე შევაფასეთ ერთკვანყიანი და მრავალკვანყიანი მიომების სიხშირე ანოვულაციური და ოვულაციური ციკლის პირობებში მაშინI როდესაც რეპროდუქციულ პერიოდში თითქმის თანაბარი სიხშირთი იძო ნანახი მიომის ერთკვანყიანი და მრავალკვანყიანი ფორმები როგორც ანოვულაციურიI ისე ოვულაციური ციკლის დროს% ანოვულაციური ციკლის 63 შემთხვევიდან ერთკვანიანი მიომა აღინიშნება 31 შემთხვევაში (49I2?)I ხოლო მრავალკვანყიანი 33 შემთხვევაში (50I8?)V ოვულაციური ციკლის 131 შემთხვევიდან ერთკვანყიანი მიომა აღინიშნება 69 შემთხვევაში (52I7?)I მრავალკვანყიანი 62 შემთხვევაში (47I3?)V

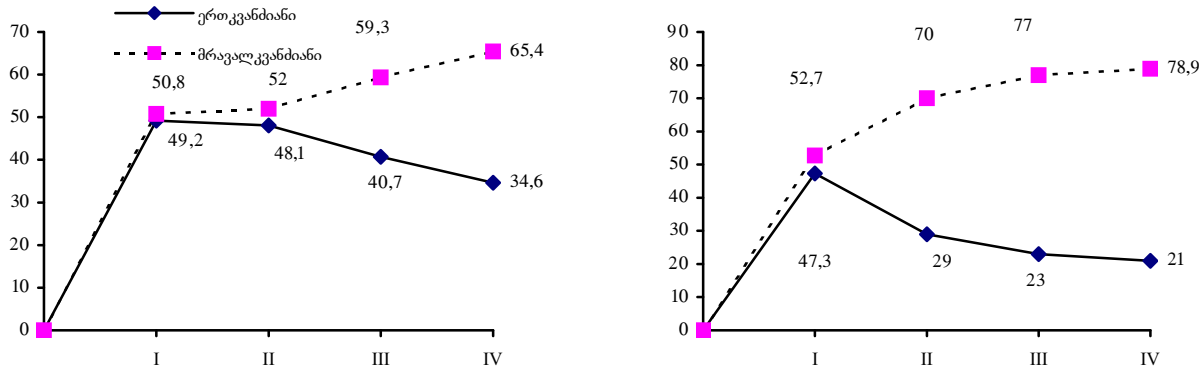
ერთკვანყიანი და მრავალკვანყიანი მიომების სიხშირე სხვადასხვა ასაკობრივ პერიოდში განსხვავებულია და ადგილი აქვს მრავალკვანყიანი მიომების განვითარებას შედარებით ერთკვანყიან მიომებთან ამ ასაკობრივი ჰგუფის ქალებში როგორც ანოვულაციური ციკლის დროსI და კიდევ უფრო ხშირადI ოვულაციური ციკლის დროსV

#### მრუდი 4

კვანყების რაოდენობის სიხშირე ანოვულაციური და ოვულაციური ციკლის მქონე სხვადასხვა ასაკის ქალებში

ანოვულაციური ციკლი

ოვულაციური ციკლი



+ , 25,38 შVI ++ , 39,45 შVI +++ , 46,50 შVI +: , > 50 შV

++ ჰერცოგი ანოვულაციური ციკლის მქონე მიომის 129 შემთხვევიდან 67,ში აღინიშნება ერთკვანყიანი მიომა (52?)I ხოლო 62 შემთხვევაში (48I1?) მრავალკვანყიანი V +++ ჰერცოგი ანოვულაციური ციკლის მქონე 145 შემთხვევიდან ერთკვანყიანი მიომა აღინიშნება 59 შემთხვევაში (40I7?)I მრავალკვანყიანი , 86,ში (59I3?)V

ოვულაციური ციკლის მქონე ქალებში სამივე ასაკობრივ ჰერცოგი უფრო იზრდება სხვაობა მრავალკვანყიან და ერთკვანყიანი მიომის სიხშირეს შორის V ++ ჰერცოგის მიომის 79 შემთხვევიდან 56,ში (70I9?) აღინიშნება მრავალკვანყიანი მიომაI ხოლო 23,ში (29?) ერთკვანყიანი მიომაV მენოპაუზის პერიოდის 87 შემთხვევიდან მრავალკვანყიანი მიომა აღინიშნება 67 შემთხვევაში (77?)I ერთკვანყიანი , 20,ში (23?)V +: ჰერცოგი მძოფი 19 ავადმდოფიდან მრავალკვანყიანი მიომა აღინიშნება 15 შემთხვევაში (78I9?)I ერთკვანყიანი , 4,ში (21?)V

### დასკვნები%

- 1) საშვილოსნოს მრავალკვანყიანი მიომის სიხშირე მატებას იწმებს პრემენოპაუზისI მენოპაუზის და +: ჰერცოგიV როგორც მთლიანად მთელი მასალის ანალიზიდან გამომდინარეI ისე ანოვულაციური და ოვულაციური ციკლის მიხედვითV ზემოხსენებული ადასტურებს ამ ასაკობრივ ჰერცოგის საშვილოსნოს მიომის პათოგენეზში ლატენტურად მიმდინარე ოვარიული

დისფუნქციის როლზე როგორც ანოვულაციური I ისე ოვულაციური ციკლის პირობებში და მის მორეციდივე ხასიათზე V

- 2) საშვილოსნოს მიომით დაავადებული 705 ქალიდან რეპრდუქციულ პერიოდში აღინიშნება მრავალკვანყიანი და ერთკვანყიანი მიომის თანაბარი სიხშირე I ეს კანონზომიერება უცვლელი რჩება ანოვულაციური და ოვულაციური ციკლის პირობებში V აღნიშნული ფაქტი ადასტურებს ამ ასაკობრივ ჰგუფში ფოლიკულურ აპარატში და ძვითელ სხეულში არსებულ დარღვევებზე და მწვავე დისჯორმონული ფონის არსებობაზე V

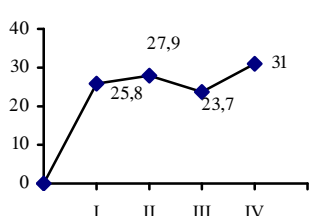
**3V1V2V კვანყების ზომების და რაოდენობის სიხშირე ავადმძლფის ასაკის და  
ანოვულაციური და ოვულაციური ციკლის გათვალისწინებით საშვილოსნოს  
მიომით დაავადებულ ქალებში**

საშვილოსნოს მიომის 705 შემთხვევიდან კვანყების ზომების და ასაკის მიხედვით 4 სმ,მდე დიამეტრის მიომის კვანები აღინიშნება 185 შემთხვევაში (26I2?)V მათ შორის ერთკვანყიანი , 66 შემთხვევა (35I7?)I მრავალკვანყიანი , 119, ში (64I3?)V 4 სმ,მდე დიამეტრის კვანყოვანი მიომის სიხშირე რეპროდუქციულ პერიოდში 194 ავადმძლფიდან აღენიშნება 50,ს (25I8?)I მათ შორის ერთკვანყიანი , 23I2?,სI მრავალკვანყიანი , 28I3?,სV პრე+++ ჰგუფში მძოფი 208 ავადმძლფიდან 4 სმ,მდე დიამეტრის კვანყოვანი მიომა აღენიშნება 58,ს (27I9?)I მათ შორის ერთკვანყიანი 24I7?,შიI მრავალკვანყიანი , 30II?,ში (მრუდი 5I 6)V

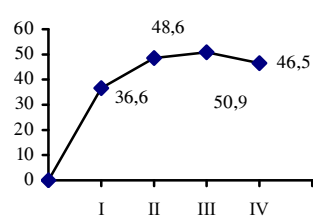
მრუდი 5

საშვილოსნოს მიომით დაავადებულული ქალების სიხშირე ასაკობრივ  
ასპექტში კვანყების ზომების მიხედვით

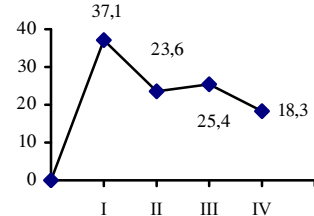
**4 სმ,მდე დიამეტრის  
კვანყები**



**8 სმ,მდე დიამეტრის  
კვანყები**



**8 სმ,ზე მეტი დიამეტრის  
კაგნყები**

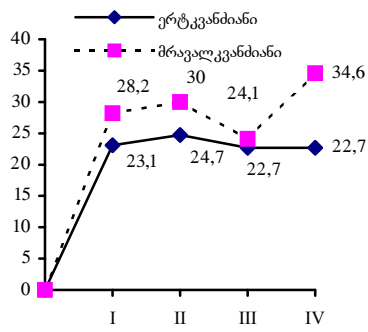


+, 25,38 წVI ++ , 39,45 წVI +++, 46,50 წVI +:, > 50 წV

საშვილოსნოს მიომის კვანძების ზომების და რაოდენობის სიხშირე  
ასაკობრივ ასპექტში

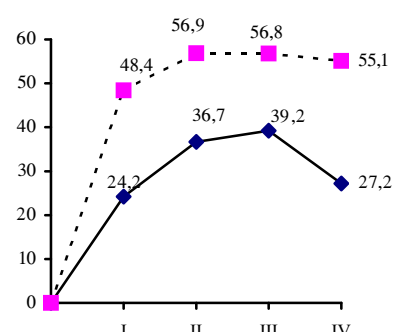
4 სმ,მდე დიამეტრის

კვანძები



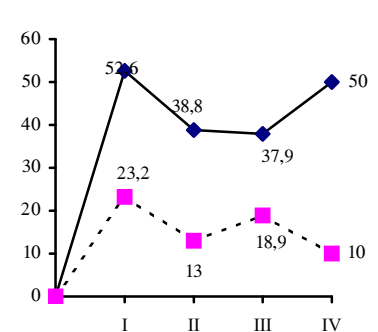
8 სმ,მდე დიამეტრის

კვანძები



8 სმ,ზე მეტი დიამეტრის

კვანძები



+ , 25,38 წVI ++ , 39,45 წVI +++, 46,50 წVI +: , > 50 წV

+++ ჰერცოვინი 232 შემთხვევიდან 4 სმ,მდე დიამეტრის კვანძები აღენიშნება 55, ს (23I7?)V მათ შორის ერთკვანძიანი 22I8?,შიI მრავალკვანძიანი , 24I2?,შიV

პოსტმენტაუზის ჰერიოდში 71 შემთხვევიდან 4 სმ,მდე დიამეტრის კვანძები აღენიშნება 22,ს (31?)V მათ შორის ერთკვანძიანი , 22I7?,შიI მრავალკვანძიანი 34I7?,ში (ცხრილი 1)V

ცხრილი .1

კვანძის ზომები	4 სმ,მდე ?		8 სმ,მდე ?		8 სმ,ზე მეტი ?	
	ერთკვანყV	მრავალკვანყ	ერთკვანყV	მრავალკვანყ	ერთკვანყV	მრავალკვანყ
ქალის ასაკი						
+ ჰერცოვინი	23I1	28I2	24I2	48I4	52I6	23I2
++ ჰერცოვინი	24I7	30I6	36I7	56I9	38I8	13I0
+++ ჰერცოვინი	22I8	24I2	39I2	56I8	37I9	18I9

+: ჰეფთი	22I7	34I7	27I3	55I1	50	10I2
----------	------	------	------	------	----	------

საშვილოსნოს მიომის 705 შემთხვევიდან 8 სმ,მდე დიამეტრის კვანყები აღენიშნება 323,ს (45I8?)V მათ შორის + ჰეფთის 194 შემთხვევაში 8 სმ,მდე დიამეტრის კვანყები აღენიშნება 71,ს (36I6?)I აქედან ერთკვანყიანი 24I2?,შიI მრავალკვანყიანი 48I4?,შიV ++ ჰეფთის 208 შემთხვევიდან 8 სმ,მდე დიამეტრის კვანყები აღენიშნება 101 (48I6?)I მათ შორის ერთკვანიანი 36I4?I მრავალკვანყიანი , 56I9?V მენოპაუზის პერიოდის 232 შემთხვევიდან 8 სმ,მდე დიამეტრის კვანყები აღენიშნება 118,ს (50I9?)V მათ შორის ერთკვანყიანი 39I2?,შიI მრავალკვანყიანი , 56I8?,შიV +: ჰეფთის 71 შემთხვევიდან 8 სმ,მდე დიამეტრის კვანყოვანი მიომა აენიშნება 33,ს (46I5?)V მათ შორის ერთი 27I3?,შიI მრავალკვანყიანი , 55I1?,ში (იხV ცხრილი II მრუდი 5 და 6)V

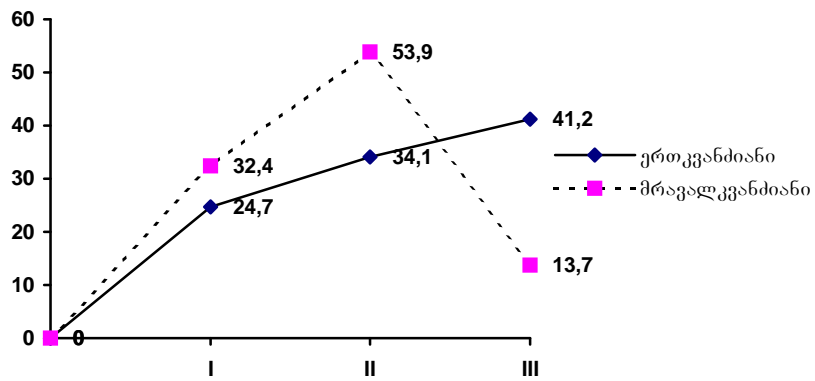
საშვილოსნოს მიომის 705 შემთხვევიდან 8 სმ,ზე დიდი ზომის კვანყები აღენიშნება 197,ს (27I9?)V + ჰეფთის 194 პაციენტიდან 8 სმ,ზე დიდი დიამეტრის კვანყები აღენიშნება 73,ს (37I6?)I მათ შორის ერთკვანყიანი 52I6?,შიI მრავალკვანყიანი , 23I2?,შიV ++ ჰეფთის 208 პაციენტდან 8 სმ,ზე დიდი დიამეტრის კვანყები აქვს 49 პაციენტს (23I6?)V მენოპაუზის პერიოდის 232 პაციენტიდან 8 სმ,ზე მეტი დიამეტრის კვანყოვანი მიომა აქვს 59,ს (25I4?)I მათ შორის ერთკვანყიანი 38?,შიI მრავალკვანყიანი , 18I9?,შიV +: ჰეფთის 72 პაციენტიდან 8 სმ,ზე მეტი დიამეტრის კვანყოვანი მიომა აღენიშნება 16,ს (22I5?)V მათ შორის ერთკვანყიანი 50?,შიI მრავალკვანყიანი , 10I2? (ცხრილი II მრუდი 5 და 6)V

ცალკე განვიხილეთ საშვილოსნოს მიომის კვანყების რაოდენობის და ზომების ზრდის სიხშირის ანოვულაციური და ოვულაციური ციკლის მიხედვით ასაკობრივ ასპექტშიV როგორც ცნობილიაI საშვილოსნოს მიომით დაავადებული 705 შემთხვევიდან 389,ში (55I2?) გვხვდება ანოვულაციური ციკლიV

ანოვულაციური ციკლის პირობებში საშვილოსნოს მიომით დაავადებული 389 შემთხვევიდან 170,ში აღინიშნება ერთი კვანყი (43I7?)V მათ შორის 4 სმ,მდე დიამეტრის 42 შემთხვევაში (24I7?)I 8 სმ,მდე დიამეტრის 59,ში (34I1?)I 8 სმ,ზე მეტი დიამეტრის კვანყები კი აღინიშნება 70 შემთხვევაში (41I2?) (მრუდი 7)V

მრუდი 7V

ერთკვანყიანი და მრავალკვანყიანი მიომების სიხშირე ანოვულაციური  
ციკლის მქონე სხვადასხვა ასაკის ქალებში



+ , 4 სმ,მდე დიამეტრის კვანყებიX ++ , 8 სმ,მდე დიამეტრის კვანყებიX  
+++ , 8 სმ,ზე მეტი დიამეტრის კვანყები

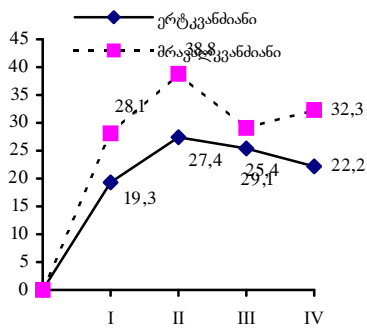
ანოვულაციური ციკლის მქონე 389 შემთხვევიდან მრავალკვანყიანი მიომა აღენიშნება 219 პაციენტს (56?)V მათ შორის 4 სმ,მდე დიამეტრის კვანყები 72 შემთხვევაში (32I4?)I 8 სმ,მდე დიამეტრის , 118 შემთხვევაში (53I9?)I 8 სმ,ზე დიდი დიამეტრის კვანყები 30 შემთხვევაში (13I7?) (მრუდი 7)V

ანოვულაციური ციკლის პირობებში საშვილოსნოს ერთკვანყიანი მიომის 170 შემთხვევიდან სიხშირით პირველ ადგილზეა 8 სმ,ზე მეტი დიამეტრის კვანყები (41I2?)V მათ შორის რეპროდუქციულ პერიოდში 57I7?,შიI ++ ჰგუფიში 39I1?,შიI +++ ჰგუფიში 40?,შიI +: ჰგუფიში 50?,შიV სიხშირის მეორე ადგილზეა 8 სმ,მდე დიამეტრის ერთკვანყიანი მიომები (32I1?)I ზოლო მესამე ადგილზეა და მკვეთრად არის შემცირებული 4 სმ,მდე დიამეტრის ერთკვანყიანი მიომების სიხშირე (24I7?) (მრუდი 8)V

ანოვულაციური ციკლის მქონე საშვილოსნოს მიომით დაავადებული სხვადასხვა  
ასაკის ქალებში კვანყების სხვადასხვა ზომების  
და რაოდენობის სიხშირე

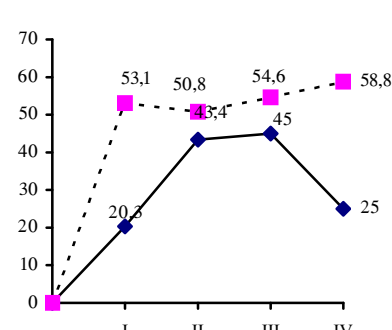
4 სმ,მდე დიამეტრის

კვანყები



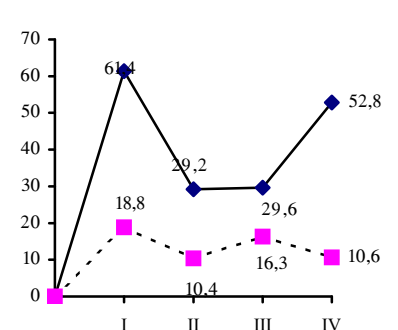
8 სმ,მდე დიამეტრის

კვანყები



8 სმ,ზე მეტი დიამეტრის

კვანყები



+ , 25,38 ♂VI ++ , 39,45 ♂VI +++, 46,50 ♂VI +: , > 50 ♂V

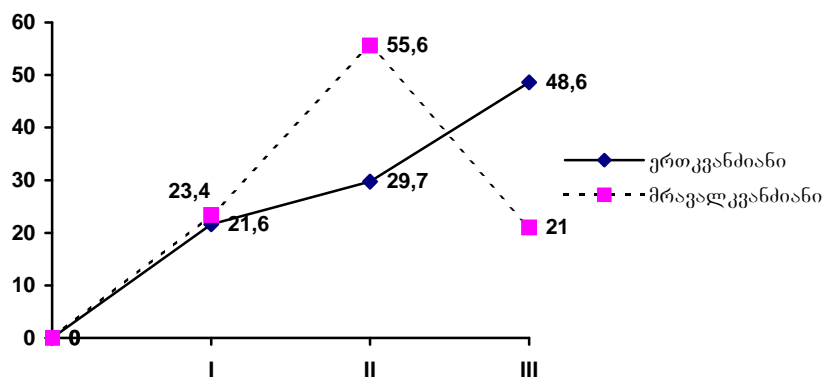
ანოვულაციური ციკლის პირობებში მრავალკვანყიანი მიომების 219 შემთხვევიდან როგორც უკვე აღვნიშნეთ ხშირია 8 სმ,მდე დიამეტრის კვანყები (53I9?)V აქედან რეპროდუქციულ პერიოდში 53I1?,შიI პრემეონპაუზის პერიოდში 50I8?,შიI +++ ჰეთოფი 54I6?,შიI +: ჰეთოფი 58I8?,შიV სიხშირით მეორე ადგილზეა 4 სმ,მდე დიამეტრის მრავალკვანყიანი მიომები (32I4?)I ზოლო მესამე ადგილზეა და მკვეთრად არის შემცირებული 8 სმ,ზე დიდი დიამეტრის მქონე მრავალკვანყიანი მიომები (13I7?)V

ოვულაციური ციკლის მქონე საშვილოსნოს მიომის 316 შემთხვევიდან (44I8?) 205,ში აღინიშნეა მრავალკვანყიანი მიომა (64I9?)V მათ შორის 4 სმ,მდე დიამეტრის კვანყები აღენიშნება 48 პაციენტს (234?)I 8 სმ,მდე დიამეტრის 114,ს (55I6?)I 8 სმ,ზე მეტი დიამეტრის მრავლობითი კვანყები აღინიშნება 43 შემთხვევაში (21?)V

საშვილოსნოს მრავალკვანყიანი მიომებიდან ზშირია 8 სმ,მდე დიამეტრის კვანყები (55I6?)V მათ შორის რეპროდუქციულ პერიოდში 46I3?,შიI ++ ჰგუფში 64I3?,შიI +++ ჰგუფიში , 59I7?,შიI +: ჰგუფიში 44I7?,ში სიხშირით მეორე ადგილზეა 4 სმ,მდე დიამეტრის მრავალკვანყიანი მიომები (23I4?)I ზოლო მესამე ადგილზეა და მკვეთრად არის შემცირებული 8 სმ,ზე მეტი დიამეტრის მრავალკვანყიანი მიომების სიხშირე (21?) (მრუდი 9)V

მრუდი 7V

ერთკვანყიანი და მრავალკვანყიანი მიომების სიხშირე ოვულაციური ციკლის  
მქონე სხვადასხვა ასაკის ქალებში



+ , 4 სმ,მდე დიამეტრის კვანყებიX ++ , 8 სმ,მდე დიამეტრის კვანყებიX  
+++ , 8 სმ,ზე მეტი დიამეტრის კვანყები

ოვულაციური ციკლის მქონე საშვილოსნოს მიომის 316 შემთხვევიდან ერთკვანყიანი მიომა აღინიშნება 111 შემთხვევაში (35I1?)V მათ შორის 4 სმ,მდე დიმეტრის კვანყები 24 შემთხვევაში (21I6?)I 8 სმ,მდე დიამეტრის , 33 შემთხვევაში (29I7?)I 8 სმ,ზე დიდი ზომის კვანყები კი აღინიშნება 54 შემთხვევაში (48I6?)V

სიხშირით გამოირჩევა 8 სმ,ზე მეტი დიამეტრის ერთკვანყიანი მიომა (48I6?)V მათ შორის რეპროდუქციულ პერიოდში 58?I პრე+++ ჰგუფში 39I1?I მენოპაუზის ერიოდში 40?I +: ჰგუფში 50?V სიხშირით მეორე ადგილზეა 8 სმ,მდე დიამეტრის ერთკვანყიანი (29I7?)I ზოლო სიხშირით მესამე ადგილზეა და ბევრად მცირეა ერთკვანყიანი 4 სმ,მდე დიამეტრის მიომის სიხშირე (29I7?)V (მრუდი 8I ცხრილი 1)V

ოვულაციური ციკლის მქონე საშვილოსნოს მიომით დაავადებული სხვადასხვა

ასაკის ქალებში კვანყების სხვადასხვა ზომების და რაოდნეობის სიხშირე

4 სმ,მდე დიამეტრის

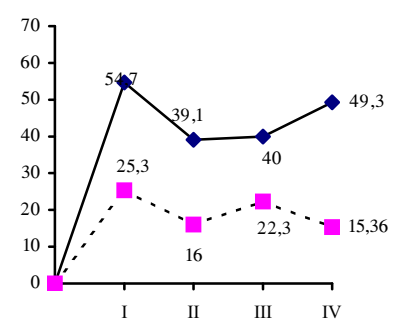
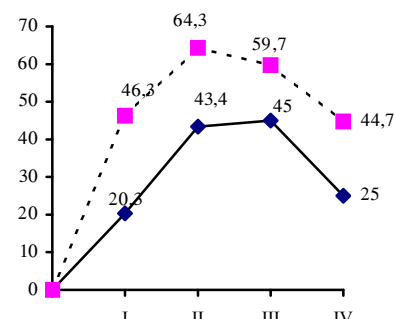
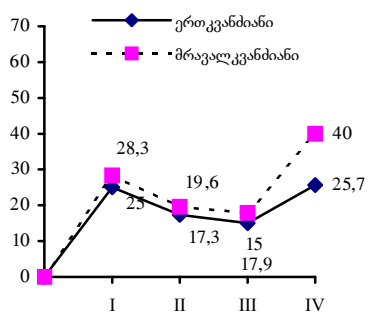
8 სმ,მდე დიამეტრის

8 სმ,ზე მეტი დიამეტრის

კვანყები

კვანყები

კვანყები



+ , 25,38 წVI ++ , 39,45 წVI +++, 46,50 წVI +: , > 50 წV

საშვილოსნოს მიომით დაავადებულ სხვადასხვა ასაკის ქალებში როგორც მთელი მასალის ზოგადი მიმოხილვით I ისე ანოვულაციური და ოვულაციური ციკლის გათვალისწინებით მიომის კვანყების ზომების და რაოდენობის შეფასების მიხედვით დადგინდა შემდეგი%

1) ერთკვანყიანი და მრავალკვანყიანი მიომების სიხშირე კვანყების ზომების მიხედვით ძველა ასაკობრივ ჰგუფში როგორც ანვულაციურიI ისე ოვულაციური ციკლის დროს თანაბარიაV აღნიშნული მიუთითებს საერთო მექანიზმების არსებობაზე როგორც ანოვულაციურიI ისე ოვულაციური ციკლის დროსV

2) 4 სმ,მდე დიამეტრის ერთკვანყიანი და მარვალკვანყიანი მიომების შედარებით დაბალი და თანაბარი ?,ული მაჩვენებლის (ანოვულაციური და ოვულაციური ციკლის პირობებში) საფუძველზე შეიყლება

ვივარაუდოთ I რომ მცირე მზარდი მიომები უპირატესად  
პროლიფერაციული ტიპისაა I რის გამოც სწრაფად იზრდება და აღწევს  
8 სმ, მდე I რაც უნდა ჩაითვალოს მიომის მაქსიმალურ ზომად V 8 სმ, ზე  
დიდი მიომების სიმცირე უნდა აიხსნას იმით I რომ უფრო მეტად  
ახასიათებს ნელი ზრდა V

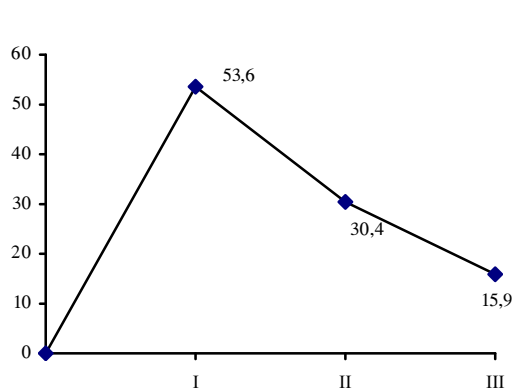
3V1V3V კვანყების ლოკალიზაცია საშვილოსნოს კედლის სხვადასხვა შრეში 4  
სმ, მდე დიამეტრის ერთკვანყიანი მიომის მქონე სხვადასხვა ასაკის ქალებში

ჩვენ შევისწავლეთ კვანყების ლოკალიზაცია მცირე ზომის 4 სმ, მდე  
დიამეტრის ერთკვანყიანი მიომების მიხედვით V აღმოჩნდა I რომ სიხშირით  
პირველ ადგილზეა კვანყების სუბმუკოზური ლოკალიზაცია 53I6?, ში (37) I მეორე  
ადგილზეა ინტრამურული, 30I4?, ში (21) I ხოლო მესამე ადგილზეა და მკვეთრად  
შემცირებულია კვანყების სუბსეროზური I 15I9?, ში (11) (ცხრილი 2 I მრუდი 11) V

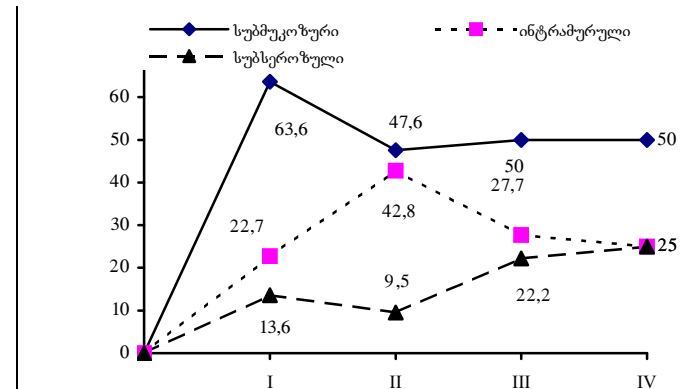
## ცხრილი 2

კვანყების ლოკალიზაცია საშვილოსნოს კედლის სხვადასხვა შრეში

ქალის ასაკი	+ ჰეთი	++ ჰეთი	+++ ჰეთი	+: ჰეთი	ჰამი
კვანყების ლოკალიზაცია					
სუბმუკოზური	63I6?	47I6?	50?	50?	53I6?
ინტრამურული	22I7?	42I8?	27I7?	25?	30I4?
სუბსეროზური	13I6?	9I5?	22I2?	25?	15I9?



+ , სუბმუკოზური I ++ , ინტრამურული  
+++ , სუბსეროზული



+ , + პგუფი I ++ , ++ პგუფი I +++ , +++ პგუფი I +: , +:  
პგუფი

კვანყების სუბმუკოზური ლოკალიზაცია ძველა ასაკობრივ პგუფში სიხშირით პირველ ადგილზეა I მათ შორის რეპროდუქციულ პერიოდში 63I6?I პრემენპაუზაში 47I6?I +++ პგუფიში 50?I +: პგუფიში , 50?V

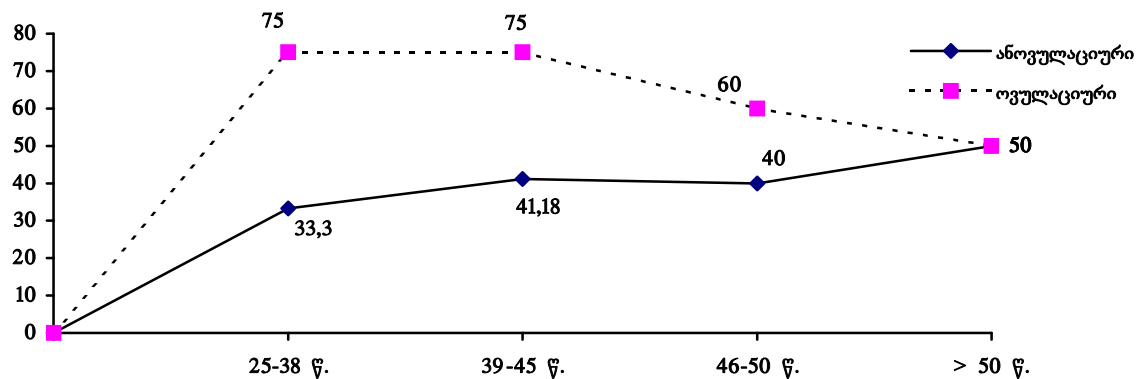
სიხშირით მეორე ადგილზეა კვანყების ინტრამურული ლოკალიზაცია V მათ შორის რეპროდუქციულ პერიოდში 22I7?I ++ პგუფში 42I8?I +++ პგუფიში 27I7?I +: პგუფიში 25?V

კვანყების სუბსეროზული ლოკალიზაცია შემცირებულია ძველა ასაკობრივ პგუფში V მათ შორის რეპროდუქციულ პერიოდში 13I6?I ++ პგუფში 9I5?,ში I +++ პგუფიში 22I2?,ში V +: პგუფიში კი კვანყების სუბსეროზული ლოკალიზაცია არის შედარებით მაღალი და შეადგენს 25?,ს (ცხრილი 2I მრუდი 11)V

კვანყების სუბმუკოზური ლოკალიზაცია საშვილოსნოს კედელში ჩვენ შევაფასეთ ოვულაციური და ანოვულაციური ციკლის გათვალისწინებით სხვადასხვა ასაკის მიომით დავადებულ ქალებში (მრუდი 12)V

კვანძების სუბმუკოზური ლოკალიზაცია საშვილოსნოს კედლის სხვადასხვა  
შრეში ანოვულაციური და ოვულაციური ციკლის დროს სხვადასხვა ასაკის

### ქალებში



აღმოჩნდა I რომ ოვულაციური ციკლის დროს სუბმუკოზური ლოკალიზაცია  
მკვეთრად იმატებს და თანაბარი სიხშირით აღინიშნება რეპროდუქციული (75?) და  
პრემენპაუზის პერიდში (75?) I ანოვულაციური ციკლის დროს მააღლია მათი  
სიხშირე +++ ჰგუფში (60?) I +: ჰგუფში კი სუბმუკოზური ლოკალიზაცია თანაბარი  
სიხშირით აღინიშნება როგორც ანოვულაციური (50?) I ისე ოვულაციური ციკლის  
(50?) დროს (მრუდი 12)V

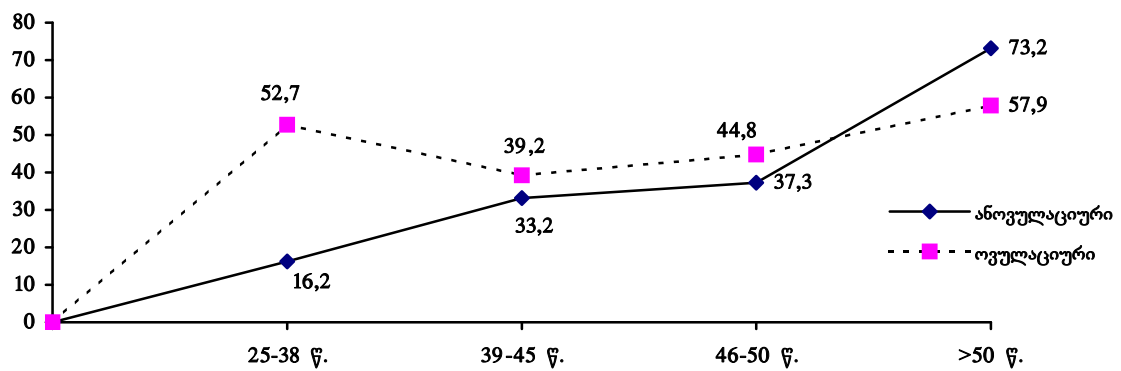
3V1V3V ანოვულაციური და ოვულაციური ციკლის მქონე საშვილოსნოს მიომით დაავადებულ ქალებში საკვერცხეების მორფოლოგიურ ცვლილებათა ზასიათი და სიხშირე კვანყების ზომების და რაოდენობის გათვალისწინებით ასაკობრივ ასპექტში

საშვილოსნოს მიომით დაავადებული 705 პაციენტიდან ანოვულაციური ციკლი აღინიშნება 55I18?,ში (389)I ოვულაციური 44I82?,ში (316)V ანოვულაციური ციკლის მქონე საკვერცხეებში ფოლიკულური აპარატის ღაზიანება და ჯორმონდამოკიდებული სტრუქტურების ჯიპერპლაზია + ჰგუფში აღინიშნება 16I19?,ში (63)I ++ ჰგუფში 33I16?,ში (129)I +++ ჰგუფში , 37I27?,ში (145)I +: ჰგუფში 73I24?,ში (52)V ოვულაციური ციკლის მქონე საშვილოსნოს მიომით დაავადებულ ქალებში კი საკვერცხის ფოლიკულური აპარატის ღისგენეზიაI ჯორმონდამოკიდებული სტრუქტურების ჯიპერპლაზიაI ძვითელი სხეულის პათოლოგია + ჰგუფის ქალებში აღინიშნება 52I67?,ში (69)I ++ ჰგუფში 39I24?,ში (31)I +++ ჰგუფში 44I83?,ში (39)I +: ჰგუფში 57I89?,ში (11)V მრუდი 14V საერთო ჰამში ოვულაციური ციკლის მქონე საშვილოსნოს საკვერცხის პათოლოგია მაღალია +: ჰგუფის (57I89?) და მიომით დაავადებულ ქალებში + ჰგუფში (52I67?)V ანოვულაციური ციკლის დროს კი +: ჰგუფში (73I24?) V

ჩვენ შევადარეთ ერთმანეთს კვანყების რაოდენობის და ზომების და ქალის ასაკის გათვალისწინებით ფოლიკულური აპარატის ღისგენეზის სიხშირე როგორც ანოვულაციურიI ისე ოვულაციური ციკლის პირობებშიV საშვილოსნოს მიომით დაავადებულ ქალებში ჩვენი საარქივო მასალიდან გამომდინარე საკვერცხეების ძველაზე ზშირ პათოლოგიას წარმოადგენს ღისგენეზია ერთ შემთხვევაში ფოლიკულური ზასიათის ცისტების არსებობით (ცხრილი 3)I მეორე შემთხვევაში კი ღისგენეზია პრიმორდული და მცირედ მზარდი ღისტროფიული ფოლიკულებით (ცხრილი 4)I ზშირია აგრეთვე ძვითელი სხეულის პათოლოგია უპრატესად ცისტების არსებობით (ცხრილი 5)V

ანოვულაციური და ოვულაციური ციკლის მქონე საშვილოსნოს მიომით  
დაავადებულ ქალებში საკვერცხების ფოლიკულური აპარატის და ძვითელი  
სხეულის პათოლოგიის სიხშირე სხვადასხვა ასაკის ქალებში V

მრუდი 13



საკვერცხის ფოლიკულური ზასიათის ცისტის სიხშირე ანოვულაციური და ოვულაციური ციკლის მქონე  
სხვადასხვა ასაკის ქალებში კვანძების ზომების და რაოდენობის გათვალისწინებით ?,ში

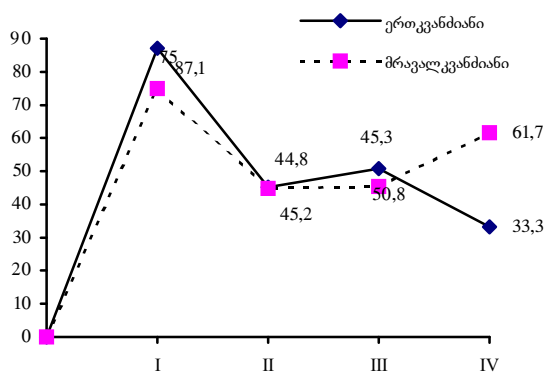
ცხრილი .3

კვანძების ზომებიდა რაოდენობა	ერთკვანყანი		მრავალკვანყანი		4სმ,მდე		8სმ,მდე		8სმ,ზემეტე	
	?,მ	?,მ	?,მ	?,მ	?,მ	?,მ	?,მ	?,მ	?,მ	?,მ
ჰეთერო	ანოვულ	ოვულV	ანოვულ	ოვულV	ანოვულ	ოვულV	ანოვულ	ოვულV	ანოვულ	ოვულV
+ჰეთერო (25,38 წწ)	8711	4814	75	3518	8617	5315	815	4717	7612	4611
++ჰეთერო (39,45 წწ)	4512	3014	4418	2312	410	618	4416	2813	5418	3313
+++ჰეთერო (46,50 წწ)	5018	35	4513	3218	2715	20	5615	3617	5218	1714
+ჰეთერო (50 წელიდა>)	3313	100	6117	3313	4617	5711	64	3715	3313	50

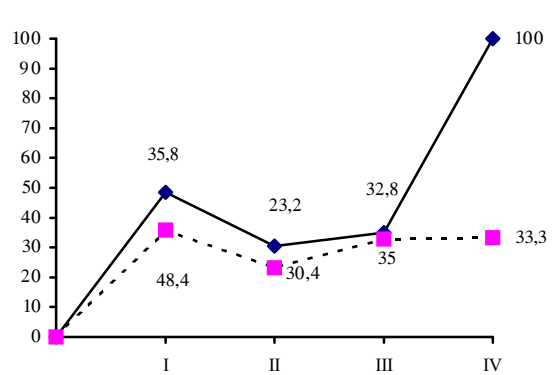
საკვერცხის დისგენეზის (ფოლიკულური ზასიათის ცისტებით) სიხშირე როგორც ანოვულაციური I ისე ოვულაციური ციკლის პირობებში ავადმოწის ასაკის და კვანძების რაოდენობის მიხედვით მოცემულია მრუდზე 15V

მრუდი 14

ანოვულაციური ციკლი



ოვულაციური ციკლი



$$\begin{aligned}
 & + , (25,38 \text{ წV}) \text{I} ++ , (39,45 \text{ წV}) \text{I} \\
 & +++, (45,50 \text{ წV}) \text{I} +: , (50 \text{ წV} \text{ და } >)
 \end{aligned}$$

ანოვულაციური ციკლის პირობებში როგორც ცხრილიდან ჩანს I გამოირჩევა ფოლიკულური ცისტების სიხშირე + ჰგუფის ქალებში I მათ შორის ერთკვანყიანი მიომის დროს 87I1?,შიI მრავალკვანყიანი მიომის დროს 75?,შიV ++ და +++ ჰგუფებში ფოლიკულური ცისტების სიხშირე შემცირებულია და მერძეობს თითქმის თანაბარი სიხშირითI როგორც ერთკვანყიანI ისე მრავალკვანყიან მიომებშიV

ოვულაციური ციკლის პირობებში ფოლიკულური ცისტების სიხშირე მაღალია + ჰგუფში მათ შორის ერთკვანყიანი მიომის დროს 48I4?,შიI მრავალკვანყიანი მიომის დროს 35I8?,სV ++ და +++ ჰგუფებში ფოლიკულური ზასიათის ცისტების სიხშირე შემცირებულია და მერძეობს თითქმის თანაბარი სიხშირით როგორც ერთკვანყიანიI ისე მრავალკვანყიანი მიომის დროსV

აღმოჩნდა I რომ საკვერცხის დისგენეზია ფოლიკულური ცისტებით კვანძების ზომების მიხედვით მაღალია ანოვულაციური ციკლის მქონე + ჰგუფის ქალებში მათ შორის% 4 სმ,მდე დიამეტრის კვანძოვანი მიომის დროს 86I7?,შიI 8 სმ,მდე დიამეტრის კვანძოვანი მიომის დროს 8II5?,შიI 8 სმ,ზე მეტი დიამეტრის კვანძოვანი მიომის დროს ფოლიკულური ცისტები აღინიშნება 76I2?,შიV ოვულაციური ციკლის მქონე + ჰგუფის ქალებში კი მათი სიხშირე 55I5?,ში აღინიშნება 4 სმ,მდე დიამეტრის კვანძოვანი მიომის დროსI 47I7?,ში 8 სმ,მდე დიამეტრისI ხოლო 46I1?,ში 8 სმ,ზე მეტი დიამეტრის კვანძოვანი მიომის დროს +++ და +: ჰგუფებში ფოლიკულური ცისტების სიხშირე როგორც 4 სმ,მდეI ისე 8 სმ,მდე და 8 სმ,ზე მეტი დიამეტრის კვანძოვანი მიომის დროს ხშირია ანოვულაციური ციკლის პირობებში შედარებით ოვულაციურთან (მრუდი 15)V

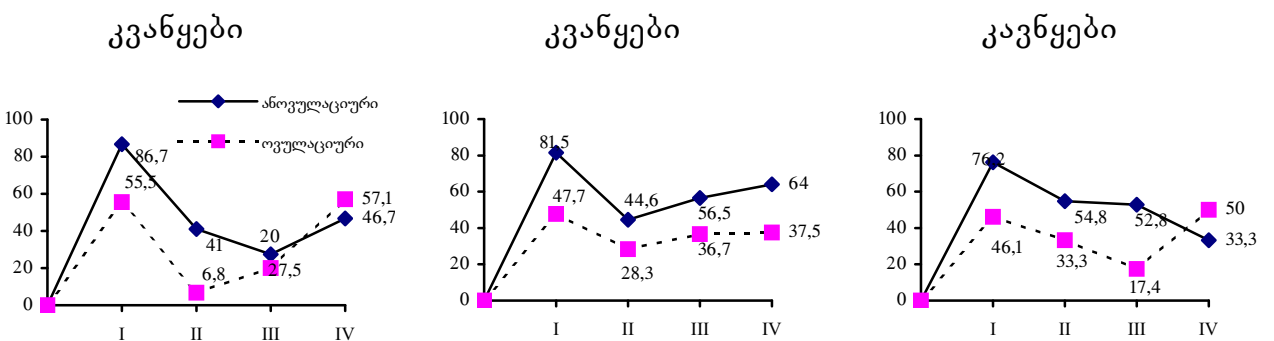
მრუდი 16

ფოლიკულური ცისტების სიხშირე ანოვულაციური და ოვულაციური ციკლის  
პირობებში კვანძების ზომების მიხედვით

4 სმ,მდე დიამეტრის

8 სმ,მდე დიამეტრის

8 სმ,ზე მეტი დიამეტრის



+ , (25,38 წV)I ++ , (39,45 წV)I

+++ , (45,50 წV)I +: , (50 წV და >)

რაც შეეხება +: ჰგუფსI ფოლიკულური ცისტების სიზშირე როგორც კვანების ზომებისI ისე რაოდენობის და ციკლის მიზედვით განსხვავებულია და არავითარ კანონზომიერებას არ ექვემდებარებაV

საკვერცხის დისგენეზია პრიმორდული და მცირედ მზარდი დისტროფიული ფოლიკულებით აღინიშნება მხოლოდ ანოვულაციური ციკლის პირობებში (ცხრილი 4I მრუდი 16) V

საკვერცხის დისგენეზიის ეს ფორმა ++ და +++ ჰგუფებში უფრო ხშირია მრავალკვანებიან მიომებშიV

კვანების ზომების მიზედვით კი (მრუდი 18) აღმოჩნდაI რომ დისგენეზია ჯორმონული და მცირე მზარდი დისტროფიული ფოლიკულებით ხშირია ++ და +++ ჰგუფებში 4 სმ, მდე დიამეტრის კვანეოვანი მიომის დროს და შესაბამისად ტოლია 28I2? და 32I1?, სV

#### ცხრილი .4

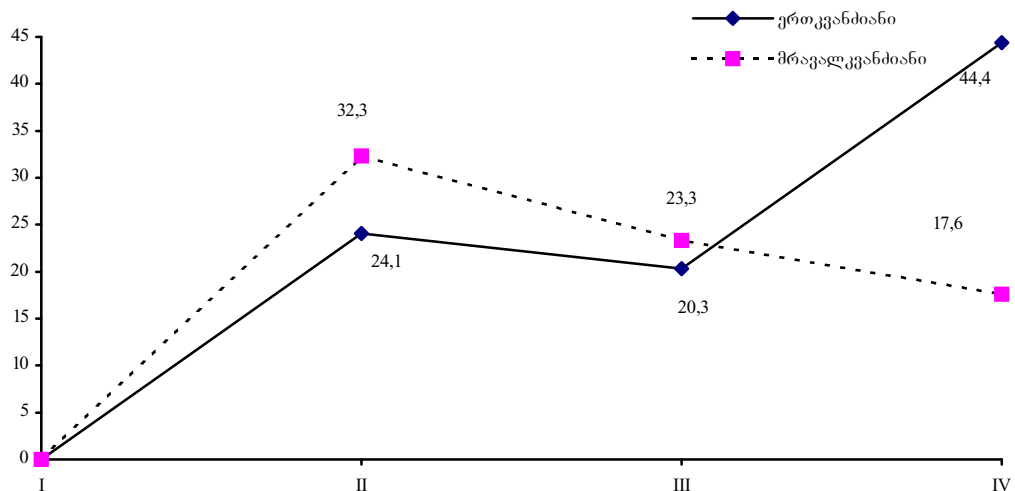
საკვერცხების დისგენეზია პრიმორდული და მცირე მზარდი დისტროფიული ფოლიკულებით ანოვულაციური ციკლის მქონე საშვილოსნოს მიომით დღაავადებლი სხვადასხვა ასაკის ქალებში კვანების ზომების და რაოდენობის გათვალისწინებით ?, ში

კვანების ზომებიდა რაოდენობა	ერთყავნყანი		მრავალყავნყანი		4სმმდე		8სმმდე		8სმ, ზემეტე	
	ანოვულ	ოვულV	ანოვულ	ოვულV	ანოვულ	ოვულV	ანოვულ	ოვულV	ანოვულ	ოვულV
ასკა	V		V		V		V		V	
+ჰგუფი (25,38წწ)	-	-	-	-	-	-	-	-	-	-
++ჰგუფი (39,45წწ)	24I1	-	32I3	-	28I2	-	32I1	-	22I6	-

+++ პეუფი (46,50 წლ)	20I3	-	23I3	-	25	-	2II7	-	19I4	-
+ პეუფი (50 წელიდა>)	44I4	-	17I6	-	20	-	20	-	50	-

მრუდი 16

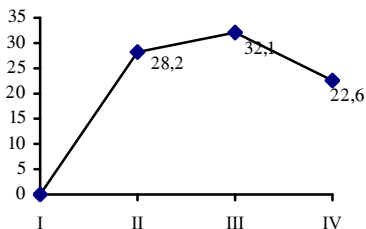
საკვერცხების დისგენეზია პრიმორდიული და მცირე მზარდი დისტროფიული ფოლიკულებით ანოვულაციური ციკლის დოს საშვილოსნოს მიომით დაავადებულ სხვადასხვა ასაკის ქალებში



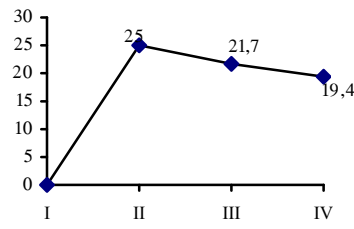
+++ პეუფი მაღალია მათი სიხშირე აგრეთვე 4 სმ, მდე დიამეტრის კვანძოვანი მიომის დროს და ტოლია 25, ის I ხოლო +: პეუფი მაღალია მათი სიხშირე 8 სმ, ზე მეტი დიამეტრის მიომის დროს და ტოლია 50, ის (ცხრილი 4I მრუდი 17)V

საკვერცხების დისგენეზია პრიმორდიული და მცირე მზარდი დისტროფიული ფოლიკულებით ანოვულაციური ციკლის დროს საშვილოსნოს მიომით დაავადებულ სხვადასხვა ასაკის ქალებში კვანყების ზომების მიხედვით

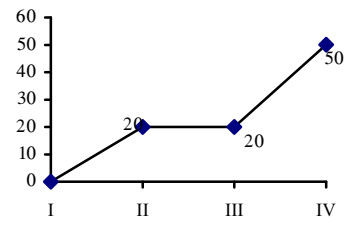
4 სმ,მდე დიამეტრის  
კვანყები



8 სმ,მდე დიამეტრის  
კვანყები



8 სმ,ზე მეტი დიამეტრის  
კვანყები



$$\begin{aligned}
 & + , (25,38 \text{ წV})I ++ , (39,45 \text{ წV})I \\
 & +++, (45,50 \text{ წV})I +: , (50 \text{ წV} \text{ და } >)
 \end{aligned}$$

გარდა ზემოხსენებულია I ანოვულაციური და ოვულაციური ციკლის მქონე +I ++ და ++ ჰგუფებში საშვილოსნოს მიომით დაავადებულ ქალებში დაღვინდა საკვერცხის ფოლიკულური აპარატის დაზიანების ანუ დისგენეზის (ფოლიკულური ზასიათის ცისტებით) სიხშირის შემდეგი კანონზომიერებანი%

- 1) + ჰგუფში როგორც ანოვულაციური I ისე ოვულაციური ციკლის დროს შედარებით ++ და +++ ჰგუფებთან როგორც ერთკვანყიანი I ისე მრავალკვანყიანი სხვადასხვა ზომის მიომებში მაღალია ფოლიკულური ცისტების სიხშირე I განსაკუთრებით ეს შეიმჩნევა (ბევრად უფრო მაღალია) ანოვულაციური ციკლის დროს V აღნიშნული ადასტურებს ამ ასაკობრივ ჰგუფში საკვერცხის მწვავე დისფუნქციის არსებობაზე და სიმსივნური ზრდის მაღალ პოტენციალზე V

- 2) ფოლიკულური ზასიათის ცისტების სიხშირე სამივე ასაკობრივ ჰგუფში როგორც კვანების რაოდენობისI ისე მათი ზომების მიხედვით კანონზომიერად მაღალია ანოვულაციური ციკლის დროს შედარებით ოვულაციურთან და ძველა ასაკობრივ ჰგუფში კანონზომიერად მაღალია ერთკვანებიან მიომებში შედარებით მრავალკვანებიანთანI ეს კანონზომიერება ვრცელდება მიომის კვანების ზომების მიხედვითაცI როგორც 4 სმ,მდეI ისე 8 სმ,მდე და 8 სმ,ზე ზემოთ დიამეტრის კვანეოვანი მიომების დროს სიხშირითV აღნიშნულის საფუყველზე შეიყლება ვივარაუდოთ ამ ასაკობრივ ჰგუფებში ანოვულაციური ციკლის უპირატესობაზე როგორ ფოლიკულური აპარატის დისგენზეის შედეგზეV ერთკვანებიანი მიომების დროს ფოლიკულური აპარატის დისგენეზის მაღალი ფოლიკულური კისტების სიმრავლით მიუთითებს უფრო ხშირადI უწმვეტიI გახანგრყლივებულიI მდგრადიI ქრონიკულ დისფუნქციური ფონის ანუ ჯიპერესტრგენემიის სასარგებლოდV მრავალკვანეოვან მიომებში შედარებით ერთკვანიან ფოლიკულური აპარატის დისგენეზის შედარებით დაბალი მაჩვენებელი (გამომდინარე ძველა ზომის მიომებიდან) კი მიუთითებს შედარებით ნაკლებად საკვერცხის დისფუნქციის ისეთ ზასიათზეI რომელსაც თან ახლავს ხშირი გამწვავებები და აქტიურიI რაც იწვევვს ძველა არსებული კვანების ზრდასთან ერთად ახალი კვანეის წარმოქმნასაცV
- 3) საკვერცხის დისეგენზიის მეორეI შედარებით იშვიათი ფორმაI რომელიც ზასიათდება პრიმორბიდული და მცირე მზარდი დისტროფიული ფოლიკულებით რეპორდუქციული პერიოდის პაციენტებში ჩვენს მიერ მოპოვებულ მასალაში არ დადგინდა ++ და +++ ჰგუფებში კი მათი სიხშირე მაღალია მრავალკვანებიან მიომებში შედარებით ერთკვანებიანთანV აღნიშნიკული ფაქტი კიდევ ერთხელ ადასტურებს საკვერცხის ქრონიკული გახანგრყლივებული დისფუნქციის პირობებში

ტენდენციას მრავლობითი კვანყების განვითარებისკენV აქვე უნდა აღვნიშნოთ საკვერცხის დისგენეზიის ეს ფორმა შედარებით მყიმეა (ალბათ უფრო თანდაძლილი) რის გამოც მას რემისიები არ უნდა ახასიათებდესV

- 4) კვანყების ზომების მიხედვით როგორც ++I ისე +++ ჰგუფში დისგენეზიის ეს ფორმა 4 სმ,მდე დიამეტრის კვანყოვანი მიომის დროს შედარებით ყლიერდება 8 სმ,მდე დიამეტრის მიომებში და კიდევ უფრო მცირდება 8 სმ, ზე დიდ მიომებშიV ეს გამოვლენილი ფაქტი წარმოადგენს კანონზომიერბას და ადასტურებს ჩვენ შეხედულებასI რომ დისგენეზიის ამ მყიმე ფორმის პირობებში მუდმივად მიმდინარეობს ახალი კვანყების წარმოქმნის პროცესიV
- 5) რაც შეეხება +: ჰგუფსI შედარებით რეპორდუქციულიI ++ და +++ ჰგუფებთან საკვერცხების დისეგენეზიის ორივე ფორმა პირველ შემთხვევაში ფოლიკულური ხასიათის ცისტებით და მეორე შემთხვევაში პრიმორდიული და მცირე მზარდი დისტროფიული ფოლიკულებით გვევლინება გასხვავებული ფორმით გვევლინება და არავითარ კანონზომიერებას არ ემძარებაV რაც ადასტურებს ამ ასაკობრივ ჰგუფში გარდა ოვარიული დისფუნქციისა სხვა მექანიზმების არსებობაზეცV

**3V2V2V ძვითელი სხეულის პათოლოგია საშვილოსნოს მიომით დაავადებული  
სხვადასხვა ასაკის ქალებში**

გარდა ფოლიკულური აპარატის დაზიანებისა საარქივო მასალაში საშვილოსნოს მიომით დაავადებულ ქალებში არანაკლებად გვხვდება ძვითელი სხეულის ცისტები და სულ ოვულაციური ციკლის მქონე 316 ქალიდან აღინიშნება 11I7?,ში (37)V მათ შორის + ჰგუფში 10I7?,შიI ++ ჰგუფში , 13I9?,შიI +++ ჰგუფში , 11I5?,შიI +: ჰგუფში 10I5?,შიV

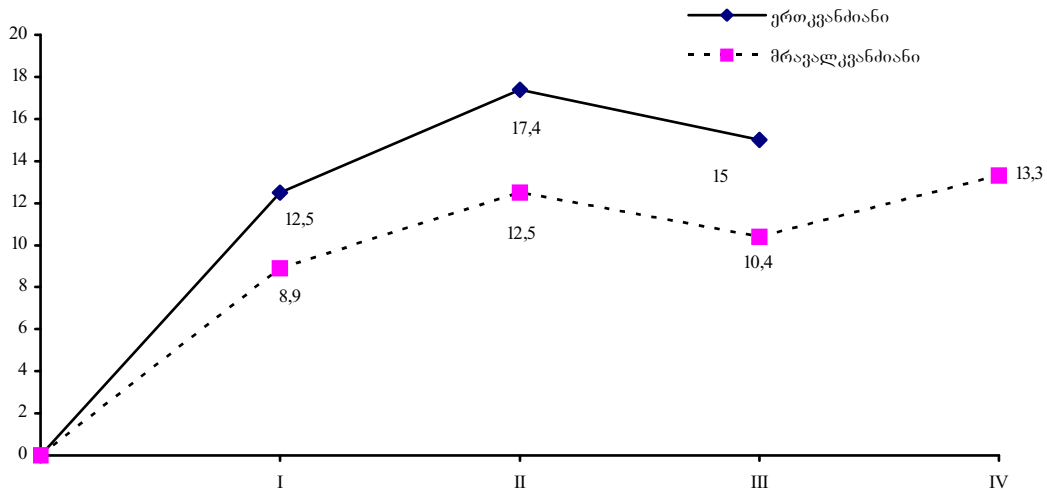
კვანყების ზომების და რაოდენობის მიხედვით ძვითელი სხეულის ცისტების სიხშირე მოცემულია ცხრილში .5V

საკვერცხის ძვითელი სხეულის ცისტების სიხშირე ოვულაციური ციკლის მქონე  
სხვადასხვა ასაკის ქალებში კვანყების ზომების და რაოდენობის  
გათვალისწინებით ?,შიV

ცხრილი .5

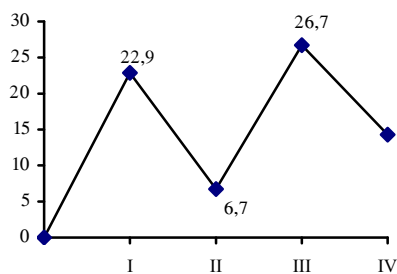
მიომა	ერთკვანყიანი	მრავალკვანყიანი	4 სმ,მდე	8 სმ,მდე	8 სმ,ზე მეტი
ავადმდოფის ასაკი	ანოვV V	ოვულ V	ანოვV V	ოვულ V	ანოვV V
+ჰგუფ (25,38წწ)	-	12I5	-	8I9	-
++ჰგუფ (39,45წწ)	-	17I4	-	12I5	-
+++ჰგუფ (46,50წწ)	-	15?	-	10I4?	-
+ჰგუფ (50წელიდა>)	-	-	-	26I7	-
				10I2	-
				12I5?	-
					4I3
					50?

კვანყების რაოდენობის მიხედვით ერთკვანყიანი მიომის დროს ჭარბობს ძვითელი სხეულის ცისტების სიხშირე შედარებით მრავალკვანყიანთან (მრუდი 19)V

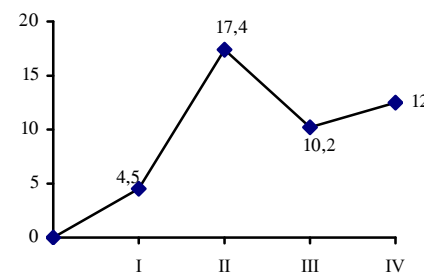


კვანძების ზომების მიხედვით კი აღმოჩნდა (მრუდი 20)I რომ ძვითელი სხეულის ცისტების სიხშირე გამოირჩევა 4 სმ,მდე დიამეტრის კვანძოვანი მიომების დროს + და +++ პგუფში და 8 სმ,მდე დიამეტრის მიომის დროს +: პგუფში V

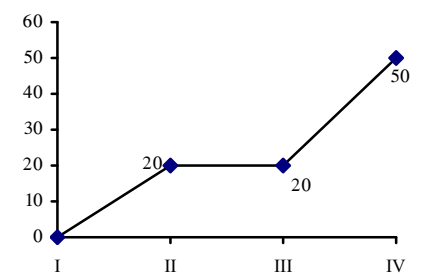
4 სმ,მდე დიამეტრის  
კვანძები



8 სმ,მდე დიამეტრის  
კვანძები



8 სმ,ზე მეტი დიამეტრის  
კავნძები



+ , (25,38 წV)I ++ , (39,45 წV)I +++, (45,50 წV)I +:, (50 წV და >)

დადგინდაI რომ ძვითელი სხეულის ცისტები უპირატესობას ინარჩუნებს ერთკვანყიანი მიომის დროსV კვანყების ზომების მხრივ კი უფრო მაღალია მათი სიხშირე 4 სმ, მდე დიამეტრის კვანყებშიI გამოირჩევა აგრეთვე მაღალი სიხშირით 8 სმ, ზე მეტი დიამეტრის +: ჰერციV აღნიშნული ფაქტებით შეიყლება გამოითქვას მოსაზრებაI რომ ძვითელი სხეულის ცისტები როგორც ჯორმონდამოკიდებული სტრუქტურები წარმოადგენს საშვილოსნოს მიომის განვითარების მექანიზმში მნიშვნელოვან ფაქტორსV

3V2V3V საკვერცხების სხვა პათოლოგია ჯორმონდამოკიდებული  
სტრუქტურების ჯიპერპლაზიის სახით საშვილოსნოს მიომით დაავადებულ  
სხვადასხვა ასაკის ქალებში

აღსანიშნავია ის ფაქტიI რომ საკვერცხეში ანოვულაციური და ოვულაციური ციკლის პირობებში ფოლიკულური აპარატის დისგენეზიის დროს აღინიშნება თითქმის ძველა შემთხვევაში საკვერცხის სხვა პათოლოგიური ცვლილებები% სხვადასხვა ჯორმონდამოკიდებული სტრუქტურების ჯიპერპლაზიის სახითI მათ შორის შიდა თეკა გარსის ჯიპერპლაზია თეკომატოზითI გრანულოზური შრის ჯიპერპლაზიაI სტრომის ჯიპერპლაზიაV სეროზულიI მუცინოზური და დერმოიდული ცისტომები (ცხრილი 6)V

საკვერცხის სხვა პათოლოგია ჯორმონდამოკიდებული სტრუქტურის  
ჯიპერპლაზიის სახით ანოვულაციური და ოვულაციური ციკლის მქონე  
სხვადასხვა ასაკის ქალებში კვანძყების რაოდენობის  
და ზომების მიხედვით ?,ში

#### ცხრილი .6

კვანძის ზომები	ერთკვანძიანი		მრავალკვანძიანი		4 სმ,მდე		8 სმ,მდე		8 სმ,ზე მეტი	
ქალის ასაკი	ანოვV	ოვულ V	ანოვV	ოვულV	ანოვV	ოვულ V	ანოვV	ოვულ V	ანოვV	ოვულ V
+ჰუფი (25,38წწ)	12I9	6I2	3II2	8I9	13I3	13I9	29I6	6I8	19	3I8
++ჰუფი (39,45წწ)	27I4	13	26I9	14I3	35I9	6I7	23I2	17I4	22I6	22I2
+++ჰუფი (46,50წწ)	37I3	20	50	26I9	47I5	26I7	40I6	24I5	50	26I1
+:ჰუფი (50წელიდა>)	22I2		35I3	6I7	53I3	14I3	16	5	33I3	

ძვითელი სხეულის ცისტების დროს შედარებით ნაკლებია მათი  
პროცენტული მაჩვენებელი V

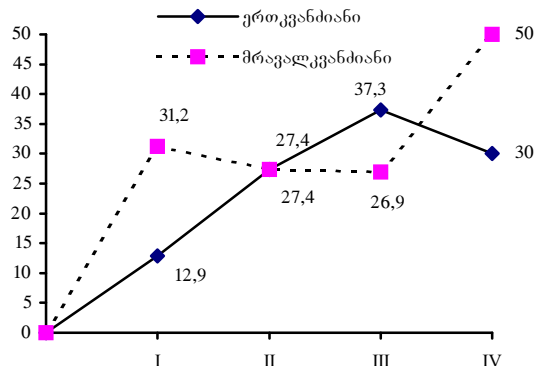
ერთკვანძიანი და მრავალკვანძიანი მიომების დროს მათი სიხშირე  
მოცემულია მრუდზე 20V აღმოჩნდაI რომ საკვერცხის და სხვა პათოლოგია  
ჯორმონდამოკიდებულ სტრუქტურების ჯიპერპლაზიითI მაღალია  
ანოვულაციური ციკლის დროსV მათ შორის ერთკვანძიანი მიომის დროს მათი  
სიხშირე მკვეთრად იმატებს მენპაუზის პერიოდში (37I3?)I ზოლო  
მრავალკვანძიანი მიომების დროს პოსტმენორაუზის პერიოდში (50?)V  
ოვულაციური ციკლის დროს კი საკვერცხის და სხვა პათოლოგიის სიხშირე  
მაღალია მრავალკვანძიანი მიომების დროს შედარებით ერთკვანძიანთანV  
სიხშირით კი გამოირჩევა როგორც მრავალკვანძიანიI ისე ერთკვანძიანი მიომის  
დროს +++ ჰუფი V

კვანყების ზომების მიხედვით საკვერცხის პათოლოგიის სიხშირე მოცემულია მრუდზე 21V აღმოჩნდა I რომ ჯორმონდამოკიდებული სტრუქტურების ჯიპერპლაზია მიომის ძველა განზომილების დროს ბევრად უფრო მაღალია ანოვულაციური ციკლის დროს V პათ შორის 4 სმ, მდე დიამეტრის კვანყებში V

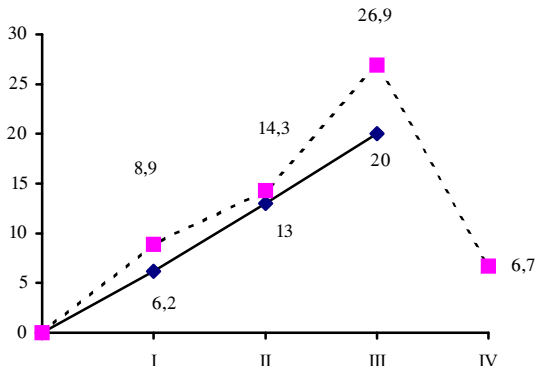
მრუდი 20

საკვერცხის ჯორმონდამოკიდებული სტრუქტურების ჯიპერპლაზია  
ანოვულაციური და ოვულაციური ციკლის დროს  
სხვადასხვა ასაკის ქალებში

ანოვულაციური ციკლი



ოვულაციური ციკლი



+ , (25,38 წვ)I ++ , (39,45 წვ)I +++, (45,50 წვ)I +: , (50 წვ და >)

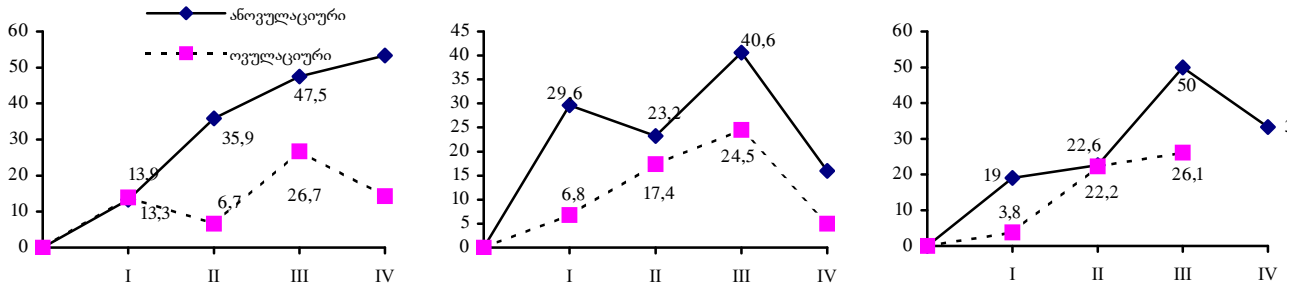
მრუდი 21

საკვერცხის ჯორმონდამოკიდებული სტრუქტურების ჯიპერპლაზია  
ანოვულაციური და ოვულაციური ციკლის დროს სხვადასხვა ასაკის ქალებში  
კვანყების ზომების მიხედვით

4 სმ, მდე დიამეტრის  
კვანყები

8 სმ, მდე დიამეტრის  
კვანყები

8 სმ, ზე მეტი დიამეტრის  
კავნყები



+ , (25,38 წV)I ++ , (39,45 წV)I +++, (45,50 წV)I +: , (50 წV და >)

მათი სიხშირე იმატებს ასაკის შესაბამისად და ძველაზე მაღალია მათი სიხშირე +: ჰგუფში (53I3?)V 8 სმ,ზე დიდი კვანყოვანი მიომის დროს ძველაზე ხშირია საკვერცხის ჯომონდამოკიდებული სტრუქტურების ჯიპერპლაზიით მენოპაუზაში (50?)V 8 სმ,მდე დიამეტრის კვანყოვანი მიომის დროს კი მათი სიხშირე მაღალი +++ ჰგუფში 40I6?V

ოვულაციური ციკლის დროს კი როგორც ცხრილიდან ჩანსI მათი სიხშირე შედარებით დაბალიაV

გამომდინარე ჩვენი კველევიდანI შეიყლება დავასკვნათI რომ

IV ჯორმონდამოკიდებული სტრუქტურების ჯიპერპლაზია არის ფოლიკულური აპარატის დისგენეზიის შედეგად ჩამოძალიბებული პათოლოგიური მდგომარეობაI რომელიც უფრო ხშირად ახლავს ან ანოვულაციურ ციკლს და წარმოადგენს ჯიპერესტროგენემიის მუდმივ წმაროსV

2V აღსანიშნავიაI რომ ჯორმონდამოკიდებული სტრუქტურების ჯიპერპლაზიის მაღალი სიხშირე უფრო დამახასიათებელია ქალის ასაკის მატებასთან ერთადV

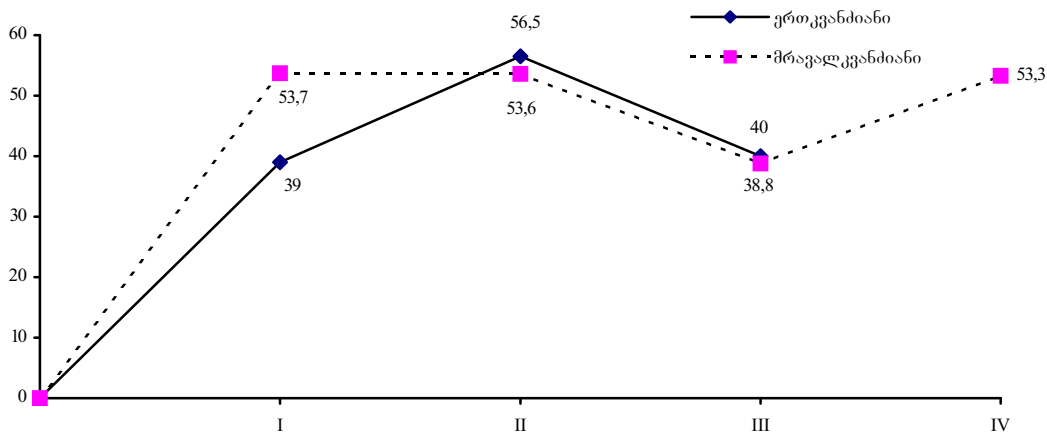
3V2V4V საკვერცხის ნორმული სტრუქტურა ოვულაციური ციკლის მქონე სხვადასხვა ასაკის ქალებში კვანყების ზომების და რაოდენობის გათვალისწინებით ?,შიV

ცხრილი .7

კვანტების ზომები	ერთკვანტიანი	მრავალკვანტიანი	4 სმ,მდე		8 სმ,მდე		8 სმ,ზე მეტი			
ავადმძოფის ასაკი	ანოვV V	ანოვV ოვულV	ანოვV V	ანოვV V	ანოვV V	ანოვV V	ანოვV V			
+პგუფი (25,38წწ)	-	39	-	53I7	-	22I2	-	65I9	-	46I1
++პგუფი (39,45წწ)	-	56I5	-	53I6	-	80	-	50	-	44I4
+++პგუფი (46,50წწ)	-	40	-	38I8	-	40	-	40I8	-	34I8
+პგუფი (50წელიდა>)	-	-	-	53I3	-	14I3	-	62I5	-	50

ოვულაციური ციკლის მქონე საშვილოსნოს მიომით დაავადებული 316 ქადიდან საკვერცხის ნორმალური სტრუქტურა აღინიშნება 146 შემთხვევაში (46I2?) I მათ შორის + პგუფში 46I6?,შიI პრემენპაუზაში 54I4?,შიI მენოპაუზაში 39I1?,შიI პოსტმენპაუზაში 42I1?,შიV კვანტების რაოდენობის მიხედვით მათი სიხშირე უფრო მაღალია მრავალკვანტიანი მიომების დროს (მრუდი 22) რეპროდუქციული (53I7?) და პოსტმენპაუზის (53I3?) პერიოდშიV ერთკვანტიანი მიომის დროს კი ხშირია საკვერცხის ნორმალური სტრუქტურა ++ პგუფში (56I7?)V

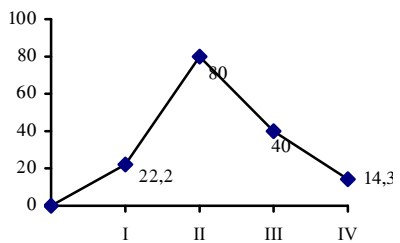
მრუდი 22



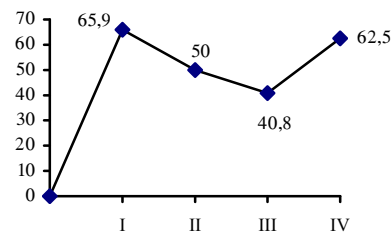
კვანყების ზომების მიხედვით კი (მრუდი 23) აღმოჩნდა I რომ 4 სმ,მდე დიამეტრის კვანყოვანი მიომის დროს საკვერცხის ნორმალური სტრუქტურა მკვეთრად მაღალია პრემენოპაუზაში და ტოლია 80?,ისაV

მრუდი 23

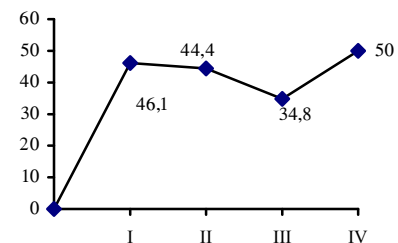
4 სმ,მდე დიამეტრის კვანყები



8 სმ,მდე დიამეტრის კვანყები



8 სმ,ზე მეტი დიამეტრის კავნყები



+ , (25,38 წV)I ++ , (39,45 წV)I +++ , (45,50 წV)I +: , (50 წV და >)

8 სმ,მდე დიამეტრის კვანყოვანი მიომის დროს საკვერცხის ნორმული სტრუქტურა მაღალია თითქმის ძველა ასაკობრივ ჰგუფშიV მათ შორის რეპროდუქციულ პერიოში 65I9? და +: ჰგუფში 62I5?V 8 სმ,ზე მეტი დიამეტრის კვანყოვანი მიომის დროს კი საკვერცხის ნორმა უფრო მაღალია პოსტმენოპაუზაში 50?V

ამრიგადI დადგინდაI რომ

- 1) ოვულაციური ციკლის მქონე საშვილოსნოს მიომით დაავადებულ ქალებში საარქივო მასალაზე საკვერცხის ნორმალური სტრუქტურა აღინიშნება 46I2?,შიV
- 2) კვანყების ზომების და რაოდენობის მიხედვით საკვერცხეების ნორმული სტრუქტურის ვარიაბელობა გვაყლევს საფუფველს ვიფიქროთ მიომის გენეზში ოვარიული დისფუნქციის გარდა ჯიპერესტროგენემიის განვითარების სხვა გზებზე და მექანიზმებზეV

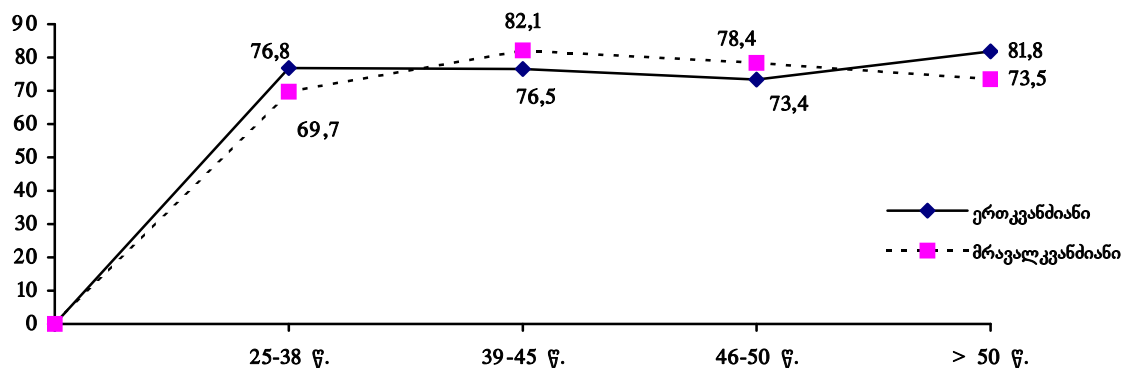
3V3V1V მენსტრუაციული ციკლის ხასიათი კვანყების ზომების და  
რაოდენობის მიხედვით საშვილოსნოს მიომით დაავადებულ სხვადასხვა ასაკის  
ქალებში

პათოლოგიური მენსტრუაციული ციკლი 705 მიომით დაავადებული ქალიდან  
აღენიშნება 533,ს (75I6?)V მათ შორის + ჰემოფილი 72I2?,შიI პრემენორაუზაში  
79I8?,შიI მენოპაუზაში , 74I6?,შიI პოსტმენოპაუზაში , 76?,შიV

ერთკვანყიანი მიომებიდან ძველაზე ხშირია სისხლისდენა +: ჰემოფილი (81II8?)I  
ხოლო მრავალკვანყიანი მიომებიდან კი პრემენოპაუზაში (82II1?)V დანარჩენ  
შემთხვევებში კი პათოლოგიური მენსტრუაციული ციკლი თითქმის თანაბარი  
სიზშირითააI გამონაკლისს წარმოადგენს + ჰემოფილი მრავალკვანყიანი მიომების  
დროს მათი სიხშირე (69I7?) (მრუდი 24)V

მრუდი 24

პათოლოგიური მენსტრუაციული ციკლის საშვილოსნოს მიომით დაავადებული  
სხვადასხვა ასაკის ქალებში კვანყების ზომების მიხედვით



კვანყების ზომების მიხედვით კი აღმოჩნდა (მრუდი 25)I რომ პათოლოგიური  
მენსტრუაციული ციკლი ბევრად უფრო მაღალია ძველა ასაკობრივ ჰემოფილი 8 სმ,  
მდე დიამეტრის კვანყოვანი მიომის დროსV სიხშირით მეორე ადგილზეა  
პათოლოგიური მენსტრუალური ციკლის 4 სმ,მზე დიამეტრის კვანყოვანი მიომის

დროს უპირატესობით გამოირჩევა პოსტ+++ ჰერც 33I3?I 8 სმ,ზე მეტი დიამეტრის მიომების დროს კი სიხშირით გამოირჩევა რეპროდუქციული პერიოდო (34I3?)V

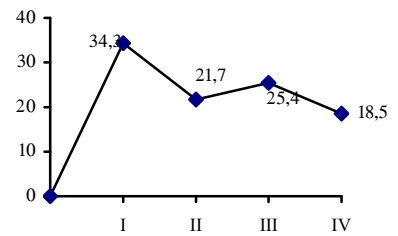
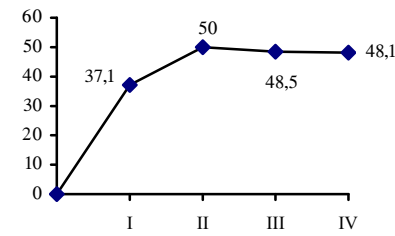
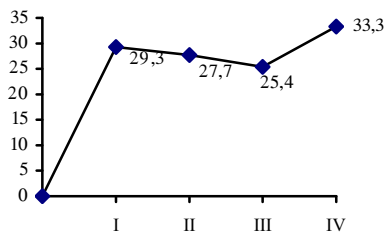
მრუდი 25

პათოლოგიური მენსტრუაციული ციკლის სიხშირე კვანძების ზომების მიხედვით  
საშვილოსნოს მიომით დაავადებულ სხვადასხა ასაკის ქალებში

4 სმ,მდე დიამეტრის  
კვანძები

8 სმ,მდე დიამეტრის  
კვანძები

8 სმ,ზე მეტი დიამეტრის  
კვანძები



+ , (25,38 წV)I ++ , (39,45 წV)I +++, (45,50 წV)I +:, (50 წV და >)

პათოლოგიური მენსტრუაციული ციკლიდან სიხშირით პირველ ადგილზეა  
ჯიპერპოლიმენორეა (43I5?)I მეორე ადგილზეა ჯიპერმენორეა (34I5?)I აციკლური  
სისხლისდენა არის შედარებით მცირე (2II9?)V

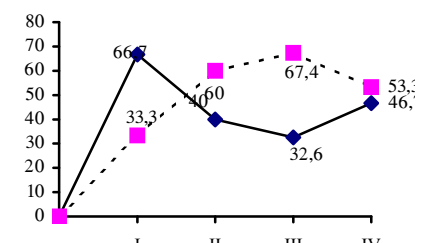
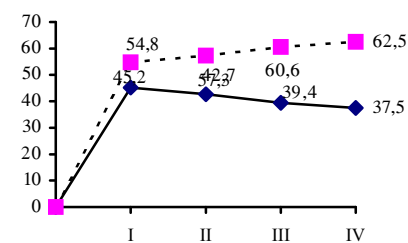
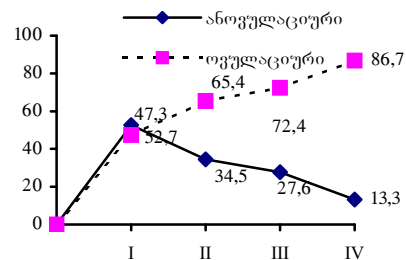
მრუდი 26

პათოლოგიური მენსტრუაციული ციკლის ფორმების სიხშირე საშვილოსნოს  
მიომით დაავადებულ სხვადასხა ასაკის ქალებში კვანძების რაოდენობის  
მიხედვით

ჯიპერმენორეა

ჯიპერპოლიმენორეა

აციკლური სისხლდენა

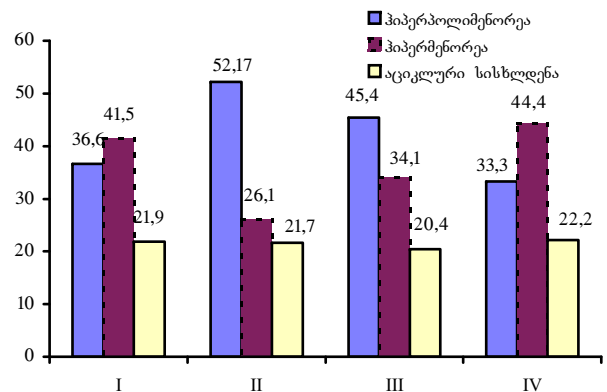


+ , (25,38 %) I ++ , (39,45 %) I +++, (45,50 %) I +: , (50 %) V  $\Rightarrow$ )

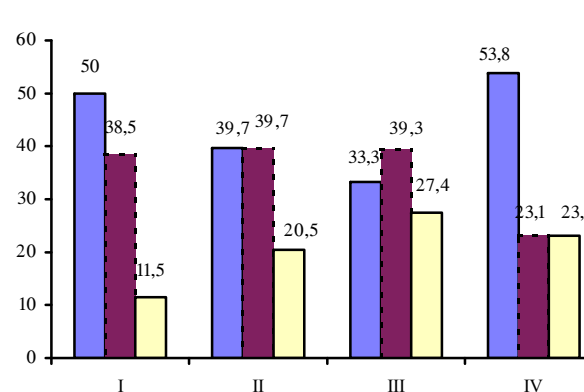
## დიაგრამა .1

პათოლოგიური მენსტრუაციული ციკლის ფორმების სიხშირე კვანძების ზომების მიხედვით საშვილოსნოს მიომით  
დაავადებულ სხვადასხა ასაკის ქალებში

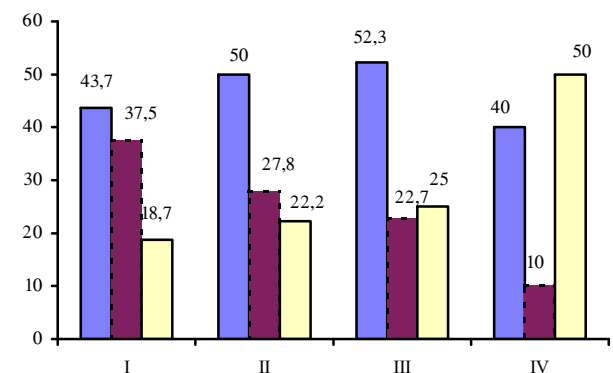
4 სმ,მდე დიამეტრის კვანძები



8 სმ,მდე დიამეტრის კვანძები



8 სმ,ზე მეტი დიამეტრის კვანძები



+ , (25,38 წვ)I ++ , (39,45 წვ)I

+++ , (45,50 წვ)I +: , (50 წვ და >)

კვანყების ზომების მიხედვით აღმოჩნდაI რომ (მრუდი 26) საშვილოსნოს მიომით დაავადებულ ძველა ასაკობრივ ჰგუფში ასაკის მატებასან ერთად მკვეთრად იზრდება სიხშირით როგორც ჯიპერმენორეა და ჯიპერპოლი, მენორეაI ისე აციკლური სისხლისდენაV მრავალკვანყიანი ფორმების დროსI ხოლო შესაბამისად ქვეითდება ერთკვანყიანი მიომების დროს მათი სიხშირეV უნდა აღვნიშნოთI რომ + ჰგუფში ჯიპერმენორეა და ჯიპერპოლიმენორეა სიხშირით მაღალია ერთკვანყიანი მიომების დროსV

კვანყების ზომების მიხედვითI როგორც დიაგრამა 1,ზე ჩანსI თანაბარი სიხშირით მერძეობს პათოლოგიური მენსტრუაციული ციკლის ფორმებიV ძველა ასაკობრივ ჰგუფში სიხშირით პირელ ადგილზეა ჯიპერპოლიმენორეაI შემდეგ ჯიპერმენორეა და ბოლო ადგილზეა აციკლური სისხლდენაI ერთეული გამონაკლისის გარდაV

კვანყების ზომებისა და რაოდენობის მიხედვით სხვადასხვა ასაკობრივ ჰგუფებში პათოლოგიური მენსტრუაციული ციკლის სიხშირის და წასიათის კვლევით დადგინდა%

- 1) პათოლოგიური მენსტრუაციული ციკლის სხვადასხვა ასაკის ქალებში თუ ერთკვანყიანი მიომის დროს რეპროდუქციის და პოსტმენპაუზის პერიოდში გამოირჩევა მაღალი სიხშირით შედარებით მრავალკვანყიანთანI სამაგიეროდ პრემენპაუზის და +++ ჰგუფში იმატებს პათოლოგიური მენსტრუალური ციკლის სიხშირე მრავალკვანყიან მიომებშიV კვანყების ზომების მიხედვით დადგენილი ცვლილებები ამტკიცებს ანალოგიურსI სახელდობრI პათოლოგიური მენსტრუაციული ციკლი ხშირია 8 სმ,მდე დიამეტრის მიომებში ძველა ასაკობრივ ჰგუფშიI ხოლო 4 სმ,მდე და 8 სმ,ზე დიდ მიომებში მათი

სიხშირე მერძეობს თითქმის თანაბრად და პირიქითI ოდნავი უპირატესობით გამოირჩევა 4 სმ,მდე დიამეტრის კვანყოვან მიომებში პათოლოგიური ციკლის სიხშირე 8 სმ,ზე მეტი დიამეტრის მიომებთანV ზემოაღნიშნული ლაპარაკობს იმის სასარგებლოდI რომ პათოლოგიური მენსტრუალური ციკლის ჩამოძალიბება დაავადებულ ქალებში განპირობებულია იგივე მექანიზმებითI რამაც გამოიწვია მიომის განვითარებაV

2) პათოლოგიური მენსტრუალური ციკლიდან მაღალი სიხშირით გამოირჩევა ჯიპერპოლიმენორეაV შედარებით მცირედ არის გამოხატული ჯიპერმენორეაI ბევრად უფრო შემცირებულია აციკლური ხასიათის სისხლდენაV რადგან კვანყების რაოდენობის მიხედვით პათოლოგიური მენსტრუალური ციკლის სამივე ფორმა მკვეთრად იმატებს ქალის ასაკის მატებათან ერათდ მრავალკვანყიან მიომებში და შესაბამისად ქვეითდება ერთკვანიან მიომებშიV აღნიშნული ერთის მხრივ ადასტურებს ქრონიკული მორეციდივე ფონის მნიშვნელობას პათოლოგიური ციკლის ჩამოძალიბებაშიV

3) საშვილოსნოს მიმოით დაავადებულ ქალებში კვანყების ზომების მიხედვით თითქმის ძველა ასკობრივ ჰემიოფილი გამონაკლისის გარდა პათოლოგიური მენსტრუალური ციკლი როგორც 4 სმ,მდეI ისე 8 სმ,მდე და მესახე დიდ მიომებში მერძეობს კანონოზომიერი თანაფარდობითV სიხშირით პირველ ადგილზეა ჯიპერპოლიმენორეაI მეორე ადგილზეა ჯიპერმენორეა და ბოლო ადგილს იკავებს აციკლური სისხლდენაV აღნიშნული ფაქტი კიდევ ერთხელ ადასტურებსI რომ პათოლოგიური მენსტრუაციული ციკლი ნაკლებად არის კორელაციაში კვანყების ზომებთანV ეVიV იგი დაკავშირებულია იგივე

მექანიზმებთან I რასაც ადგილი აქვს მიომის განვითარებაში V ამასთან რადგან მრავალკვანყიან მიომებში ძველა ასაკობრივ ჰგუფში ერთეული გამონაკლისის გარდა შედარებით ერთკვანყიანთან მკვეთრად იზრდება პათოლოგიური მენსტრუაციული ციკლის სიხშირე I ეს ფაქტი კიდევ ერთხელ ადასტურებს პათოლოგიური ციკლის ჩამოძალიბებაში ქრონიკული ფონის როლს V

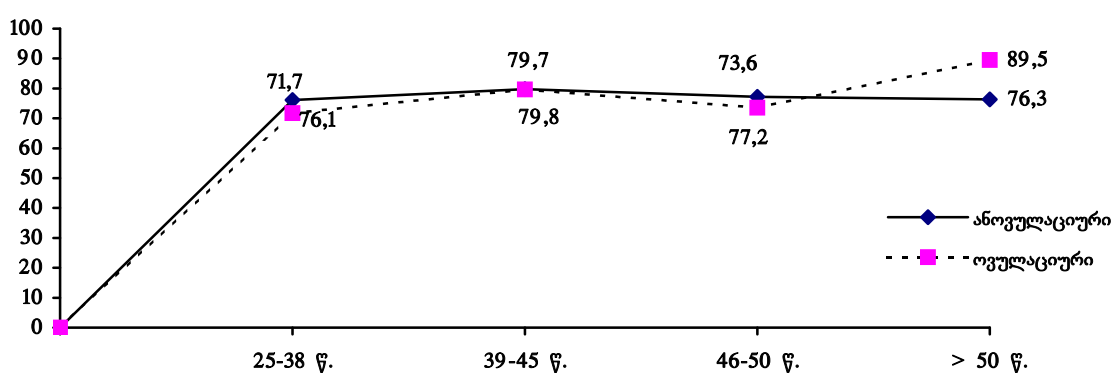
3V3V2V პათოლოგიური მენსტრუალური ციკლის სიხშირე საშვილოსნოს მიომით დაავადებულ სხვადასხვა ასაკის ქალებში ანოვულაციური და

#### ოვულაციური ციკლის დროს

პათოლოგიური მენსტრუაციული ციკლი შეფასებულია ანოვულაციური და ოვულაციური ციკლის პირობებში ასაკობრივ ასპექტში (მრუდი 27)V

მრუდი 27

პათოლოგიური მენსტრუალური ციკლის სიხშირე საშვილოსნოს მიომით დაავადებულ სხვადასხვა ასაკის ქალებში ანოვულაციური და ოვულაციური ციკლის დროს



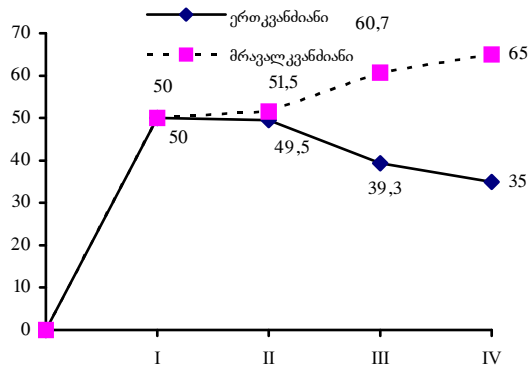
აღმოჩნდა I რომ პათოლოგიური მენსტრუალური ციკლი ანოვულაციური ციკლის პირობებში შედარებით ოვულაციურთან მომატებულია რეპროდუქციულ და მენოპაუზის პერიოდში V პრემენოპაუზაში თანაბარი

სიხშირითაა პათოლოგიური ციკლი I როგორც ანოვულაციური I ისე  
ოვულაციური ციკლის პირობებში V განსხვავებულია მდგომარეობა +: ჰგუფში I  
სადაც მკვეთრად იზრდება პათოლოგიური მენსტრუალური ციკლის სიხშირე  
ოვულაციური ციკლის პირობებში V

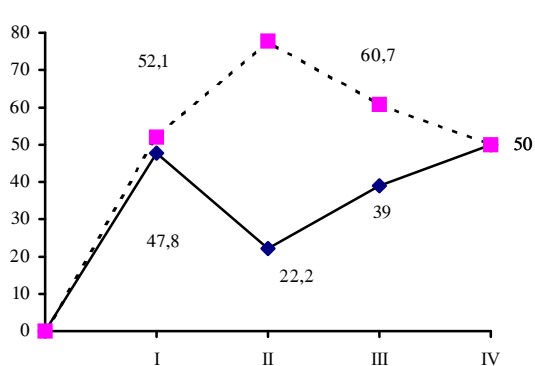
პათოლოგიური ციკლის ზასიათი ანოვულაციური და ოვულაციური  
ციკლის დროს კვანძების რაოდენობის მიხედვით მოცემულია მრუდზე 28V

პათოლოგიური ციკლის ხასიათი ანოვულაციური და ოვულაციური  
ციკლის დროს კვანძების რაოდენობის მიხედვით

**ანოვულაციური ციკლი**



**ოვულაციური ციკლი**



+ , (25,38 ♂V)I ++ , (39,45 ♂V)I +++, (45,50 ♂V)I +: , (50 ♂V და >)

აღმოჩნდა I რომ სიხშირით როგორც ანოვულაციური I ისე ოვულაციური ციკლის პირობებში მაღალია პათოლოგიური მენსტრუალური ციკლი მრავალგვანძიანი მიომების დროს V

ანოვულაციური ციკლის დროს ძველა ასაკობრივ ჰგუფში მაღალია ჯიპერმენორეა შედარებით ოვულაციურ ციკლთან და ასაკის მატებასთან ერთად იკლებს მათი სიხშირე I რაც შეეხეა ჯიპერბოლიმენორეა I მისი სიხშირე საგრუნობლად იმატებს ასაკის მიხედვით I განსაკუთრებით ოვულაციური ციკლის დრწს V აციკლური ხასიათის სისხლისდენა ხასიათდება დაბალი სიხშირით ძველა ასაკობრივ ჰგუფში V

ანოვულაციური და ოვულაციური ციკლის პირობებში კვანძების ზომების მიხედვით შეფასებულია ჩვენს მიერ პათოლოგიური მენსტრუალური ციკლის ხასიათი I რაც მოცემულია ცალკეული ასაკობრივი ჰგუფების განხილვისას შესაბამის თავებში V აღმოჩნდა I რომ ანოვულაციური და ოვულაციური ციკლის

დროს პათოლოგიური მენსტრუალური ციკლი ნებისმიერი სიხშირით უმცირესიდან უმაღლესამდე გვხვდება ძველა ზომის როგორც ერთკვანყიანი ისე მრავალკვანყიან მიომებში ძველა ასაკობრივ ჰგუფში და ეს ცვლილებები არ არის კორელაციაში არც ასაკთანI არც კვანყების ზომებთანI რაოდენობასთან და არც პათოლოგიური ციკლის ფორმებთანV

ანოვულაციური და ოვულაციური ციკლის პირობებში პათოლოგიური მენსტრუალური ციკლის შეფასების შედეგად ასაკობრივ ასპექტში დადგინდა შემდეგი%

1) პათოლოგიური მენსტრუალური ციკლის ხასიათი ნაკლებად არის დამოკიდებული კვანყების ზომებზეI რაოდენობაზე და ქალის ასაკზეV არამედ იგი ძალიბდება და დამოკიდებულია საკვერცხის დისფუნქციაზე სისხლისდენის ხანგრძლივობა კი დაკავშირებულია კვანყების ზომებისI რაოდენობის და ლოკალიზაციის გამო ენდომეტრიუმის გაზრდილ ფართობთანV

## თავი +:

### საკუთარი პოლიცის შედეგები

4V1V რეპროდუქციული პერიოდის საშვილოსნოს პოლიფერაციული მიომით დაავადებულ ქალებში საკვერცხის და საშვილოსნოს ტანის სონოანატომიური თავისებურებანი

როგორც ზემოთ უკვე იძო ნათქვამიI ბოლო წლებში განსაკუთრებით იმატა საშვილონოს ტანის მიომის სიხშირემ რეპროდუქციული პერიოდის ქალებშიV

მაღალია აგრეთვე ამ ასაკში პროლიფერაციული სტრუქტურის მქონე მიომების სიხშირეV

შესაბამისადI სონოსკოპიური კვლევის მიზანს წარმოადგენს პროლიფერაციული მიომისათვის დამახასიათებელი პერიფერიული და შიდა სისხლისმიმოქცევის შეფასებაI რეზისტენტობის ინდექსის დადგენა და აღნიშნულ ავადმძოფებში საკვერცხების ფოლიკულური აპარატისI ოვულაციისI ძვითელი სხეულის და სტრომის სონოანატომიური თავისებურებების დადგენაV

პროლიფერაციული მიომებისათვის დამახასითებელია მიომის კვანტი ფიბროზული სტრუქტურების სიმცირეI მკვეთრად გამოხატული პერიფერიული ვასკულარიზაცია და კვანტის შიდა სისხლის ნაკადის რეზისტენტობის ინდექსის დაბალი მაჩვენებელი დოპლეროგრაფიული ფერადი კარტირებით RI (რეზისტენტობის ინდექსი)  $<0,56$ .

ჩვენ კვლევაში ულტრასონოგრაფიულად საშვილოსნოს პროლიფერაციული მიომის დროს აღნიშნულია საკვერცხის სხვადასხვა სონოანატომიური ცვლილებებიV მათ შორის%

7 შემთხვევაში საკვერცხეში აღინიშნება მულტიფოლიკულოზიI 2 შემთხვევაში ჯიპერანდროგენემიაI 4,ში , ლუტეინიზირებული ფოლიკულიI 3, ში , არასრულფასოვანი ძვითელი სხეულიI 5,ში , ძვითელი სხეულის ცისტა და 9 შემთხვევაში საკვერცხის ნორმისათვის დამახასიათებელი სონოანატომიური თავისებურებებიV

ეVიV პროლიფერაციული მიომის მქონე რეპროდუქციული პერიოდის ქალებში სიხშირით პირველ ადგილზეა საკვერცხის ნორმული სტრუქტურა და შეადგენს შემთხვევათა ერთ მესამედს ანუ 30?,სI სიხშირით მეორე ადგილზეა საკვერცხის მულტიფოლიკულოზი და შეადგენს შემთხვევათა თითქმის ერთ მეოთხედს (23I33?)V

სიხშირით მესამე ადგილზეა საკვერცხეში ცისტური ძვითელი სხეული და შეადგენს 16I67?,სI მე,4 ადგილზეა , ლეტეინიზირებული ძვითელი სხეული და შეადგენს 13I33?,სI მე,5 ადგილზეა არასრულფასოვანი ძვითელი სხეული და შეადგენს 10?,სI სიხშირით მე,6 ადგილზეა საკვერცხის ჯიპერანდროგენემიისათვის დამახასაითებელი სონოანატომიური ცვლილებები და შეადგენს შემთხვევათა 6I67?,სV

ამრიგადI საშვილოსნოს პროლიფერაციული მიომების დროს რეპროდუქციული პერიოდის ქალებში აღინიშნება%

ფერადი დოპლეროგრაფიული კარტირებით აღინიშნება კვანტული ვასკულირაზციის რეზისტენტობის ინდექსის , RI დაბალი მაჩვენებელი და პერიფერიული მკვეთრი ვასკულარიზაცია ვენური სტაზის ნიშნებითI რომელიც უფრო კარგად ვლინდება დოპლერის ენერგეტიკულ რეჟიმზეV მიომურ კვანტი დამახასიათებელია სტრომის ფიბროზული ქსოვილის გაიშვიათებაV

მიომის კვანტის მაღალი პროლიფერაციული აქტივობის დროს აღინიშნება საკვერცხეში მულტიფოლიკულოზისI ჯიპერანდროგენებისI ფოლიკულის ლუთეინიზაციისI არასრულფასოვანი ძვითელი სხეულისI ცისტური ძვითელი სხეულის და ამ ორგანოს ნორმისათვის დამახასიათებელი სონოანატომიური თავისებურებებიV

ექოსკოპიურად საკვერცხის ნორმალური სტრუქტურის შემდგომი მორფოლოგიური კვლევით ზოგიერთ შემთხვევაში დადგინდა მიკროტეკომატოზის არსებობაI გრანულოზური შრის ჯიპეპლაზია და აVშV

შემთხვევა 1V პაციენტი 37 წლის V ინტერსტიციული დიდი ზომის კვანძი I კვანძის შიდა სისხლყარღვებში  $RI < 0,46$ , მაღალი პროლიფერაციული აქტივობით V საკვერცხეში მულტიფოლიკულოზი V

შემთხვევა 2V პაციენტი 30 წლის V პროლიფერაციული მიომაI ფერადი  
დოპლეროგრაფიული კარტინება კვანტის მკვეთრი პერიფერიული  
ვასკულარიზაციითV

შემთხვევა 3V პაციენტი 27 წლის V პროლიფერაციული მიომაV ენერგეტიკული  
დოპლერის რეზიმზე კვანტიდა მკვეთრი ვენური შეგუბებაV

შემთხვევა 4V პაციენტი 36 წვ ინტერსტიციული სუბსეროზული კვანძიV  
მარპვენა საკვერცხის მულტიფოლიკულოზიV

შემთხვევა 5V პაციენტი 39 წვ მრავალკვანყოვანი მიომა RI<0,56V  
საკვერცხეში აღინიშნება სტრომის ჯიპერპლაზიაI საკვერცხის მოცულობის და  
სტრომის მოცულობის შეფარდება ნაკლბია 3I3 ერთეულზეI ეVიV სონოგრაფიულად  
აღინიშნება ჯიპერანდროგენემიის ნიშნებიV

შემთხვევა 6V პაციენტი 23 წლის V სუბმუკოზური პროლიფერაციული მიომაV  
საკვერცხეში ფოლიკულის ლუთეინიზაციაI ოვულაციის გარეშეV

შემთხვევა 7V პაციენტი 29 წV კვანძოვანი მიომა და ძვითელი სხეულის ცისტა  
მარცხენა საკვერცხეშიV

შემთხვევა 8V პაციენტი 30 წV კვანძოვანი პროლიფერაციული მიომაI მკვეთრი პერიფერიული ვასკულარიზაცია ფერადი დოპლეროგრაფიული კარტირებითV მარცხენა საკვერცხეში არასრულფასოვანი ძვითელი სხეულიV

ამრიგადI ექოსკოპიური კვლევა ხშირ შემთხვევაში წარმოადგენს კვლევის მნიშვნელოვან სარწმუნო ტესტს მიომის პროლიფერაციის ხარისხის დასადგენადI რასაც თავის მხრივ დიდი მნიშვნელობა აქვს აღნიშნული სიმსივნის მკურნალობაშიI ვინაიდან ხშირ შემთხვევაში მიომის დროს შეუყლებელი ხდება სხვა მოწოდებული დიაგნოსტიკური ტესტების გამოძენებაI არის შემთხვევებიI როცა ბიოფსიური მასალის კვლევა არ იყლევა საშუალებას შეფასდეს ენდომეტრიუმში (ხშირი სისხლდენების შედეგად მასალის სიმცირის გამოI ან კვანძის ზეწოლის პირობებში ენდომეტრიუმის ატროფიის გამო)V ჯიპერპლაზიური პროცესების ხასიათიI ენდომეტრიუმზე საკვერცხის ლუთეინიზაციის ან არასრულფასოვანი ძვითელი სხეულის ეფექტი და სხვაV

იმ შემთხვევაში კიI სადაც პროლიფერაციული მიომის დროს აღინიშნება საკვერცხის ნორმული სონოანატომიური სურათი აუცილებელ საჭიროებას წარმოადგენს შემდგომი კვლევის სახით დამატებით ჯორმონალური სტატუსის განსაზღვრა ციკლის ორივე ფაზაში და ენდომეტრიუმის მორფოლოგიური კვლევაV

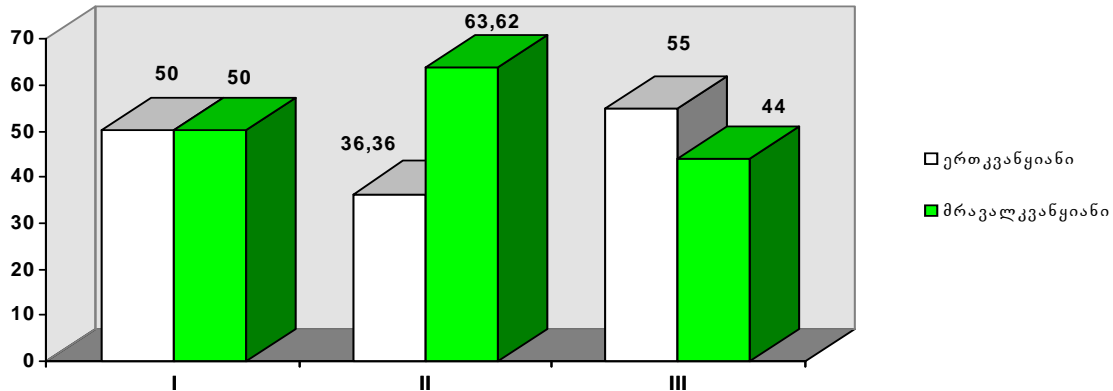
## 4V2V საშვილოსნოს ტანის პროლიფერაციული მიომის დროს საკვერცხის მორფოლოგიური ცვლილებები

საკუთარ კვლევაში ჩვენ შევისწავლეთ საკვერცხებში მიმდინარე მორფოფუნქციური ცვლილებების ხასიათი მხოლოდ საშვილოსნოს ტანის პროლიფერაციული მიომების დროს რეპროდუქციული პერიოდის 25,38 წV ასაკის ქალებშიV სულ შევისწავლეთ 73 შემთხვევაV მათ შორის 25,29 წლის ასაკამდე პაციენტები შეადგენს 8I22?,ს (6 შემთხვევა)I 30,34 წV 30I13?,ს (22 შემთხვევა) და 35,38 წV ასაკამდე პაციენტები შედაგენს 6I64?,ს (45 შემთხვევა)V ეVიV ძველაზე ხშირად საშვილოსნოს ტანის პროლიფერაციული მიომები გვხვდება 35,38 წV ქალებში და შეადგენს ძველა შემთხვევის ნახევარზე ბევრად მეტსI 30,34 წლის პაციენტები სიხშირით შეადგენს ერთ მეოთხედსI ხოლო 25,26 წლის პაციენტები კი გვხდება შედარებით იშვიათადV

საშვილოსნოს ტანის პროლიფერაციული მიომების ერთკვანყიანი და მრავალკვანყიანი ფორმები გვხვდება თანაბარი სიხშირითV მათ შორის ერთკვანყიანი 49I13?,ში (36 შემთხვევა) და მრავალკვანყიანი , 50I68?,ში (37 შემთხვევა)V ავადმდოფის ასაკის გათვალისწინებით ერთკვანყიანი და მრავალკვანყიანი მიომების სიხშირე არის მოცემულ მეორე დიაგრამაზეV

ერთკვანყიანი და მრავალკვანყიანი პროლიფერაციული მიომების სიხშირე  
ავადმძოფის ასაკის გათვალისწინებით

დიაგრამა 2



+ , საშვილოსნოს მიომით დაავადებული 25,29 წV პაციენტები

++ , საშვილოსნოს მიომით დაავადებული 30,34 წV პაციენტები

+++ , საშვილოსნოს მიომით დაავადებული 35,38 წV პაციენტები

თითქმის ძველა შემთხვევაში პაციენტების კლინიკაში შემოსვლის მიზეზი  
არის გაყლიერებული და გახანგრყლივებული სისხლისდენები ,  
ჯიპერპოლიმენორეაI რომელიც შეადგენს 67I12?,ს (49 შემთხვევა)V  
შემთხვევათა 24I66?,ში (18 შემთხვევა) აღინიშნება ჯიპერმენორეაI ხოლო  
8I22?,ში (6 შემთხვევა) მენსტრუაციული ციკლი დარღვეული არ არისV  
პაციეტებიდან მხოლოდ სამმა მიაკითხა კლინიკას მას შემდეგ რაც თვითონ  
იგრყნო მუცელის ღრუში მკვრივი წარმონაქმნიV აღნიშნულ გარემოებას ზაზს  
ვუსვამთ იმდენადI რამდენადაც პაციენტებმა ექიმს მიაკითხეს სიმსივნის  
აქტიური ზრდის ფაზაშიV

ჯისტოლოგიურად მიომის კვანყებში აღინიშნება მიოციტების  
პროლიფერაცია კვანყის პერიფერიაზე სისხლყარღვების ირგვლივI ზრდის  
ზონები ალაგ მკაფიოდ არის გამოხატული V კვანყის ცენტრალური ნაწილი

უპირატესად წარმოდგენილია მიოციტების დიფუზური პროლიფერატებითI  
სტრომა ასეთ შემთხვევებში გაიშვიათებულია (ფოტო II 2)V

ულტრასტრუქტურულად აღინიშნება პიკნოზი და მკვეთრი ვაკუოლიზაცია (ფოტო 3)I ერთეულ შემთხვევაში კვანების უპირატესად ცენტრალურ ნაწილში აღინიშნება ნეკრობიოზი და ნეკროზი (ფოტო 4)V

საშვილოსნოს ტანის პროლიფერაციული მიომებით დაავადებული რეპროდუქციული პერიოდის პაციენტებიდან ოპერაციის შემდეგ აღებულ ქირურგიულ მასალაში საკვერცხებში მიმდინარე პათოლოგიური ცვლილებების მიხედვით ჯორმონდამოკიდებული სტრუქტურების ჯიპერპლაზია (ფოლიკულური ცისტებისI თეკოამატოზისI სტრომის ჯიპერპლაზიის სახით) აღინიშნება 63I01?,ში (46 შემთხვევა)I სეროზულკედლიანი ცისტომა 2I74?,ში (2 შემთხვევა)I ძვითელი სხეულის პათოლოგია კი 36I99?,ში (27 შემთხვევა)V

როგორც აღმოჩნდაI საკვერცხის ქსოვილის ჯორმონდამოკიდებული სტრუქტურების ჯიპერპლაზია ხშირია და შეადგენს ძველა შემთხვევის თითქმის ორ მესამედსV კვანების ზომების მიხედვით კი იგი ხშირია ერთკვანებიან მიომებში და შეადგენს 57I10? (32 შემთხვევა)I მრავალკვანებიან მიომებში კი შეადგენს 42I9?,ს (24 შემთხვევა)V

ჩვენს მიერ შესწავლილი საშვილოსნოს ტანის პროლიფერაციული მიომით დაავადებული პაციენტებიდან ძვითელი სხეულის პათოლოგია აღნიშნება 36I99?,ს (27 შემთხვევა)V მათ შორის არასრულფასოვანი ძვითელი სხეული აღინიშნება 62I96?,ში (17 შემთხვევა)I ხოლო ლუთეინური ცისტები , 37I04?,ში (10 შემთხვევა)V

კვანების რაოდენობის მიხედვით ძვითელი სხეულის პათოლოგია გამოხატულია ცხრილშიV

ძვითელი სხეულის პათოლოგია საშვილოსნოს  
პროლიფერაციული მიომით დაავადებულ ქალებში

ცხრილი .1

ქალის ასაკი	25,29 წV		30,34 წV		35,38 წV	
	ერთ, კვანყიანი	მრავალ, კვანყიანი	ერთ, კვანყიანი	მრავალ, კვანყიანი	ერთ, კვანყიანი	მრავალ, კვანყიანი
ძვითელი სხეულის პათოლოგია						
არასრულფასოვანი ძვითელი სხეული	2		2	4	2	7
ლუთეინური ცისტა	1	1		2	2	4

ძვითელი სხეულის პათოლოგია 25,29 წლის ასაკის პაციენტებში აღინიშნება 66I67?,ში (4 შემთხვევა)I 30,34 წV პაციენტებში 36I4?,ში (8 შემთხვევა) და 35,38 წლის პაციენტებში 33I33?,ში (15 შემთხვევა)V კვანყების ზომების მიხედვით კი ზემოხსენებული პათოლოგია ხშირია მრავალკვანყიან მიომებში და შეაღგენს 66I67?,ს (18 შემთხვევა) ერთკვანყიან მიომებში კი შეაღგენს 33I33?,ს (9 შემთხვევა)V უნდა აღვნიშნოთI რომ ძვითელი სხეულის პათოლოგიის დროს შემთხვევათა 62I96?,ში (17 შემთხვევა) აღინიშნება სისხლჩაქცევები ძვითელ სხეულშიV

ჯისტომორფოლოგიური კვლევის შედეგად საკვერცხებში ზემოხსენე, ბულ ესტრადიოლდამოკიდებულ სტრუქტურების ცვლილებებთან პარალელურად აღმოჩენილია სხვა თანმხლები პათოლოგიური პროცესი% 2 შემთხვევაში აღინიშნება სტრომის ჯიპერპლაზიაI 2,ში ფოლიკულომაI 9,ში ენდომეტრიოიდული ცისტებიI 7,ში ზედაპირული სეროზული პაპილომაI 4 შემთხვევაში , აპოპლექსია საკვერცხის სტრომაშიV

საშვილოსნოს ტანის პროლიფერაციული მიომის დროს საკვერცხების ჯისტოლოგიურიI ჯისტოქიმიურიI ელექტრონულ,მიკროსკოპული და მორფომეტრიული კვლევის საფუფულზე გამოიძო ყირთადად ორი მიმარ,

თულება% პირველი , დიდი უპირატესობით ფოლიკულური აპარატის დისგენეზია და მეორე , ძვითელი სხეულის დისგენეზია

**4V2V1V საშვილოსნოს ტანის პროლიფერაციული მიომების დროს  
საკვერცხების ფოლიკულური აპარატის მორფოფუნქციური ცვლილებები**

ესტრადიოლდამოკიდებული სტრუქტურების ცვლილების სიხშირს და ხასიათის შესახებ ინფორმაცია მოცემულია ცხრილში .10V

**საკვერცხის ჯორმონდამოკიდებული სტრუქტურების ცვლილებების ხასიათი  
საშვილოსნოს ტანის პროლიფერაციული მიომით დაავადებულ ქალებში**

**ცხრილი 10**

საკვერცხის ცვლილებები ავადმოფის ასაკი	ფოლი, კულური ცისტა	წვრილ, ცისტური გადა, გვარება	ცისტურად ატერე, ზიული ფოლი, კულები	ტეკო, მატოზი	ფოლი, კულომა	სტრომი ს ჯიპერ, პლაზია
25,29 წV	2			2		
30,34 წV	10	2	2	4		
35,38 წV	16	3	9	7	2	2
ჰამი	28	5	11	13	2	2

ასაკის მიხედვით ფოლიკულური ხასიათის ცისტები და ჯორმონდამოკიდებული სტრუქტურების ჯიპერპლაზია 25,29 წლის პაციენტებში სულ 6 პაციენტიდან აღენიშნება ორსI ეVიV შემთხვევათა ერთ მესამედს და შეადგენს 33I33?,სV უნდა აღვნიშნოთI რომ ამ ორივე შემთხვევაში ფოლიკულურ ცისტასთან ერთად აღინიშნება ტეკა ინტერნის ჯიპერპლაზიაV 30,34 წV ასაკის 22 პაციენტიდან საკვერცხის ზემოხსენებული ცვლილებები აღენიშნება 14,სI ეVიV ორ მესამედს და შეადგენს 63I64?,სV მათ შორის უნდა აღვნიშნოთI რომ ტეკა ინტერნას ჯიპერპლაზია აღინიშნება 4 შემთხვევაშიV 35,36 წV ასაკის 45 პაციენტიდან ფოლიკულური ცისტები და

ჯორმონდამოკიდებული სტრუქტურების ჯიპერპლაზია აღმოაჩნდა 28 პაციენტს I ეVიV ნახევარს და შეადგენს 62I22?, სV მათ შორის ფოლიკულური ხასიათის ცისტებიდან ტეკა ინტერნას ჯიპერპლაზია თან ახლდა შვიდს I სტრომის ჯიპერპლაზია ორს და ფოლიკულომა ორს (ცხრილი 2)V როგორც აღმოჩნდა I ფოლიკულური ხასიათის ცისტების და მათთან ერთად ჯორმონ, დამოკიდებული სტრუქტურების ჯიპერპლაზია საშვილოსნოს ტანის პროლიფერაციული მიომით დაავადებულ ქალებში ხშირია 35,38 წლის და 30,34 წV პაციენტებში V რაც შეეხება 25,29 წV პაციენტებს I აქ სიხშირით გამოირჩევა ძვითელი სხეულის პათოლოგია I რასაც განვიხილავთ მომდევნო თავში V

რაც შეეხება საკვერცხების ზემოხსენებული პათოლოგიის დროს სხვა თანმხლები პათოლოგია მოცემულია ცხრილში 11V

### საკვერცხის სხვა პათოლოგიური ცვლილებები

ცხრილი 11

საკვერცხის ცვლი, ლებები ასაკი	ენდომეტროიდული ცისტები	ზედაპირული პაპილომა	ცისტომა
25,29 წV			
30,34 წV	2		
35,38 წV	9	7	3
ჰამი	11	7	3

ჩატარებული კვლევის შედეგად გამოირგვა I რომ 25,38 წV პაციენტების საკვერცხები ხასიათდება ცვლილებებით I რომლებიც საძოველთაოდ მიღებული შეფასების მიხედვით დასახელებული ორგანოს დისგენეზიას გამოხატავს V სახელდობრI ძველა შემთხვევაში საკვერცხის სტრომა წარმოდგენილია თეკა

ქსოვილით (ფოტო 5I 6)I რომელიც ხშირად მიკროთეკომებსაც წარმოქმნის I ეVიV განიცდის ჯიპერპლაზიას V ულქტრასტრუქტურულად თეკა უპრედების აქტივაცია მათი ბირთვების ქრომატინი თავმოძრილია პერიფერიაზე მემბრანების ახლოს I ნუკლეოპლაზმაში აღინიშნება ნათელი უბნები I სტრომა მათ გარშემო ჯიპერპლაზი, ურიაI შეიცავს დიდლი რაოდენობით კოლაგენურ ბოჭკოებს (ფოტო 7,8)V ამ ფონზე იშვიათია ჯიალინიზებული ანუ თეთრი სხეულები (ფოტო 9I 10I 11)V ზემოხსენებული თეკა ქსოვილის უპრედების მცირე ნაწილი შეიცავს სუდანოფილურ ლიპიდებს (ფოტო 12)V რომელიც მათი ჯორმონის მორფო, ლოგიურ ექვივალენტს წარმოადგენს V მოხსენებული იმას მიუთითებს I რომ თეკა უპრედების უმცირესობა ჯორმონულად აქტიურია და სპეციფიკურ ფუნქციას ასრულებს V მიუხედავად იმასა I რომ თეკა ქსოვილში ჯორმონების ექვივალენტი სუდანოფილური ლიპიდების შემცველი უპრედები მცირე რაოდენობით ვლინდება I მაინც ჯიპერპლაზიებული თეკა ქსოვილის მიერ ჯორმონების პროდუქცია უფრო ჭარბი იქნება I ვიდრე ნორმალურ საკვერცხეში (კიდევაც I რომ თეკა ქსოვილის ძველა ჯორმნის სინთეზით ხასიათდებოდეს) V

ამგვარად I ჩვენს მიერ ჩატარებული გამოკვლევები უჩვენებს I რომ დისგენეზიურ საკვერცხეებში თეკა ქსოვილის ჯიპერპლაზიას თან ახლავს მეტი ჯორმონული აქტივობა I ვიდრე ნორმული საკვერცხეების თეკა ქსოვილს I მიუხედავად იმისა I რომ ამ უკანასკნელში სუდანოფილური ლიპიდები ვლინდება თითქმის ძველა თეკა უპრედში V გასათვალისწინებელია I რომ დისგენეზიური საკვერცხეების ჯიპერპლაზიებული თეკა ქსოვილის ის ნაწილი I რომელიც სულფანილურ ლიპიდებს არ შეიცავს აუცილებლად გარკვეულ ფუნქციას ასრულებს და არ არის გამორიცხული I რომ მათშიც ხდებოდეს ჩვენთვის უცნობი I თუნდაც ანომალური ნივთიერებების I მათ შორის ჯორმონების სინთეზი V

ნორმულ საკვერცხეში როგორც უკვე ცნობილია მუდმივად მიმდინარეობს პრიმორდიული ფოლიკულების მომწიფება I რომლებიც ქერქოვან შრეში განლაგებული არიან მცირე ჰგუფების სახით V საშვილოსნოს მიომით დაავადებულ ქალებში კი ისინი დისგენეზური საკვერცხეების პირობებში განიცდიან განსაკუთრებულ სიმცირეს (ფოტო 13)V საკვერცხეების ტოტალური

ეკვატორული სერიული მიკროტომით მიღებულ ანათლებში გამოვლინდა I რომ თითოეულ ანათალში გაფანტულად გვხვდება ერთი ან ორი პრიმორდიული ფოლიკული V არსებული პრიმორდიული ფოლიკულების ნაწილი გამოფენილია კუბური ეპითელიუმით I რომლებშიც ბირთვი პოლარიზებულია და ფუყეზეა მოთავსებული I ნაწილი ფოლიკულებისა გამოფენილია დაბალი I კუბური ან ბრტმელი ეპითელიუმით და შეიცავს არაპოლიარიზებულ ცენტრალურად მდებარე ბირთვს V კვერცხუპრედები I რომლებიც კუბური ეპითელიუმით გამოფენილ ფოლიკულებშია I მკვეთრად არის გამოძოფილი ეპითელიუმიდან კვერცხუპრედის გარსის კონტურების სიმკვეთრის გამო (ფოტო 14) V

ასეთი კვარცხუპრედის ბირთვის გარსიც აგრეთვე მკვეთრი კონტურებით განისაზღვრება ციტოპლაზმისაგან V ციტოპლაზმა ეოზინოფილურად ჯომოგენური I ბირთვი მკრთალი ბაზოფილური და ჯომოგენურია კარიოპლაზმაში ქრომატინის თანაბარი განაწილების გამო V იმ ფოლიკულებში I რომლებიც დაბალი კუბური ან ბრტმელი ეპითელიუმით არის გამოფენილი კვერცხუპრედი მდებარეობს ცენტრალურად V გარსს არ აქვს მკვეთრი კონტურები და ამიტომ კვერცხუპრედი არ არ არის გამიპნული გამომფენი ეპითელისაგან V ასევე არამკვეთრი კონტურებით ზასიათდება ბირთვიც (ფოტო 15) V ციტოპლაზმა მკრთალი ეოზინოფილურია I ნაზი მარცვლოვანი I ბირთვი მკრთალი ბაზოფილური ჯომოგენური I მდებარეობს ექსცენტრულად V ეს კვერცხუპრედი და მთლიანად ფოლიკულები ჩვენს მიერ მიჩენულია დისტროფიის I ნეკრობიოზის მდგომარეობაში მძოფ ფოლიკულებად I რომლებსაც შემდგომი განვითარების ანუ ზრდის ნიშნები დაკარგული აქვთ (ფოტო 18 I 19) V

გამოვლენილ პრიმორდულ ფოლიკულათა შორის არის ერთეული მზარდი პირველადი ფოლიკული V თავდაპირველად იწმება კუბური ფორმის გრანულოზური უპრედების პრიზმულ ფორმებში გადასვლა და ოოციტი იზრდება ზომაში ანუ წარმოიქმნება პირველადი ფოლიკული V

ამდენად I ფოლიკულები ზრდის სხვადასხვა ფაზაში იმძოფება % ფოლიკულები ორ ან სამ შრედ ირგვლივ განლაგებული კუბური ეპითელიუმით I

ფოლიკულები სუთ ან ათ შრედI აგრეთვე ირგვლივ განლაგებული კუბური  
ეპითელიუმითI რომელთა ნაწილს აქვს მიღებული გრანულოზური უპრედების  
თვისებებიV ასეთი ფოლიკულები ბორბლისებრი ფოლიკულების  
შთაბეჭდლილებას ტოვებს და მათში მოთავსებული კვერცხუპრედი არ  
ხასიათდება მკვეთრი კონტურებითI ამიტომ არ არის მკვეთრად გამიჰნული  
ეპითელოიუმიდანV მათი ციტოპლაზმა მკრთალი ეოზინოფილურიაI  
ნაზმარცვლოვანი და აქვთ ექსცენტრული მდებარეობაV მკრთალი  
ბაზოფილური ბირთვით იქმნება შთაბეჭდილებაI რომ ამ ეVწV ბორბლისებრ  
ფოლიკულებში კვერცხუპრედი ნეკრობიოზის მდგომარეობაშიაV

აღნიშნულს ადასტურებს ისიც I რომ ერთეული ბორბლისებრი ფოლიკული დეზორგანიზაციის ფაზაში I როდესაც კვერცხუპრედი ლიზისის მდგომარეობაშია და მასში არის ბირთვის კარიოლიზისის ნიშნებიV ეVიV კვერცხუპრედი დანეკროზებულიაI ხოლო ფოლიკულის მრავალრიგად დალაგებული ეპითელიუმიI რომლებიც დეზორგანიზაციას განიცდისI აგროვე შეიცავს დანეკროზებულ კუბურ ეპითელოიუმს და გრანულოზურ უპრედებს (ფოტო 16I 17)V ზოგიერთ შემთხვევაში ზემოხსენებულთან ერთად ვლინდება მწიფე გრაფის ბუშტუკიცI მაგრამ ეს ბუშტუკი არ მდებარეობს საკვერცხის მფარავი სეროზული გარსის ქვეშI შეიცავს დანეკროზებულ და დეზორგანიზებულ კვერცხეპრედსV ამასთან ფოლიკულის ბორცვში არ არის ექსნერის სხეულაკები და გრანულოზურ უპრედთა უმრავლესობა დისტროფიის და ნეკროზის მდგომარეობშიაV

ამასთან ერთად საკვერცეში არის სხვადასხვა ზომის ერთ ან რამდენიმე ცისტიV იმ შემსვევაშიI სადაც ცისტების რიცხვი ხუთს აღწევს გამოხატულია პოლიცისტოზიV ისინი გამოფენილია ერთშრიანი გაბრტბელებული ეპითელიუმითI ხოლო ცისტების შიგთავსი ზოგპერ კოლოიდის სიმკვრივისI ზოგპერ კი თხიერი ეოზინოფილური მასააV

ზემოაღნიგნული კვლევა იყლევა საფუფველს იმის შესახებI რომ საკვერცხის დისგენეზიის პირობებში ფოლიკულები შემდეგნაირად არის წარმოდგენილი%

I V პრიმორდული ფოლიკულების რიცხვი მცირეაI მათი ნაწილი ნეკრობიოზის მდგომარეობაშია და ხდება მათი ატრეზიაV ნაწილი ფოლიკულების იზრდებაI მაგრამ მათგან არ ხდება გრააფის ბუშტუკის ჩამოძალიბება ისინი წმვეტენ ზრდას განვითარების სხვადასხვა სტადიაში (ფოტო 21) და განიცდის ნეკროზს და დეზორგანიზაციასV

2V ზოგპერ მათგან ვითარდება ფოლიკულური ცისტები (ფოტო 22)I შედარებით იშვიათად ხდება გრააფის ბუშტუკების ჩამოძალიბებაI მაგრამ ისიც

არ აღწევს თავის განვითარების ბოლო გასკდომის სტადიას V ვითარდება კვერცხუპრედის ნეკროზი და მათ ადგილას ძალიბდება დიდი ზომის ცისტა (ფოტო 23I 24I 25I 26)V

შესაბამისად ამ ჰგუფის საკვერცხებში აღინიშნება შიგნითა თეკა გარსის ჯიპერპლაზია რობოსომების და პოლისომების ჯიპერპლაზიით I ენდოპლაზმის გაგანიერებული ცისტერნებით და ბირთვის ეუქრომატიზაციით (ფოტო 27)V უკანასკნელის საფუყველზე მიმდინარეობს ესტრიოლის და ესტროგენების სინთეზიI რაც იწვევს გლუკი კუნთის უპრედების გამრავლების ინტენსიფიკაციას და კეთილთვისებიანი სიმსივნური კერების ჩამოძალიბებასV

3V ხშირად ჩვენ შემთხვევაში გრააფის ბუშტუკის ან გრააფის ბუშ, ტუკისგან განსხვავებული ფოლიკულური ცისტის კედელში აღინიშნება გრანულოზურ უპრედოვანი გარსის ჯიპერპლაზია (ფოტო 28)I ულტრასტრუქტურულად აღინიშნება ენდოპლაზმური ბადის გაგანიერებული ცისტერნებიI რიბოსომების და პოლისომების ჯიპერპლაზიით და ბირთვის ეუქრომატინიზაციით (ფოტოტ 29) რის გამოც მოხსენებული გარსი გასქელებულია და შეიცავს ექსნერის სხეულაკების დიდ რაოდენობასI მათ შორის აუზების სახით წარმოდგენილი დიდი ზომის ექსნერის სხეულაკებით (ფოტო 31II 31)V

ამავე ჰგუფის რიგ შემთხვევებში აღინიშნება გრააფის ბუშტუკის ტრასნფორმაცია მენსტრუაციის ძვითელ სხეულადV მაგრამ ძვითელი სხეულის პერიფერიაზე უხვად არის შერჩენილი გრანულოზური უპრედებიI რაც იმას ნიშნავსI რომ გრააფის ბუშტუკის გასკდომის შემდეგ არ ხდება სრულფასოვანი ძვითელი სხეულის წარმოქმნა შერჩენილი გრანულოზურუპრედოვანი გარსის ფუნქციურ,ჯორმონული აქტივობის გამოV

ზემოხსენებული ძვითელი სხეულის უპრედები მცირე ზომისააV აღინიშნება კარიოპიკნოზი V ჩვენ კვლევაში აღებულია ისეთი შემთხვევებიI სადაც ციკლის მიხედვით ძვითელი სხეული უნდა ძოფილიძო მე,2 ფაზის პირველი კვირის დასასრულის შესაბამისიI ეVიV 7,8 დღეV ამ პერიოდისთვის კი ძვითელი სხეული აღწევს თავისი სტრუქტურული და ფუნქციური აძვავების

ფაზას V ამ დროისათვის დამთავრებულია გრანულოზური უპრედების  
ლუთეინიზაცია V

ჩვენ შემთხვევაში გრანულოზური უპრედები არ განიცდიან სრულფასოვან ლუთეინიზაციას და ადგილი აქვს გრანულოზური უპრედების პერსისტენციას (ფოტო 32I 33I 34) აღინიშნება არათანაბარი ლუთეინიზაცია და ვრცელი სისხლჩაქცევები (ფოტო 36I 37I 38)V ერთეული გრანულოზური უპრედები განიცდიან არათანაბარ ლუთეინიზაციასI რის შედეგადაც ულტრასტრუქტურუად დიფერენცირდება უმწიფარიI ხოლო უფრო იშვიათად მწიფე გრანულოციტი (ფოტო 40V უდტრასტრუქტურულად შიდა თეკა შრის უპრედებში აღინიშნება აქტივაცია ბირთვის მემბრანის ღრმა ინვაგინალიზაციებითI ბირთვის ფორების გაგანიერებითI ენდოპლაზმური ბადის გაგანიერებითI რიბოსომების და პოლისომების ჯიპერპლაზიით (ფოტო 35)V აღნიშნულიდან გამომდინარე ნათლად ჩანსI რომ ძალიბდება არასრულფასოვანი ძვითელი სხეული არასრულფასოვანი ლუთეინიზაციითV ერთეულ შემთხვევებში კი რჩება შთაბეჭდილებაI რომ ძვითელ სხეულში წარმოქმნისთანავე იწმება მისი რეგრესიI ანუ უკუგანვითარებაV ულტრასტრუქტურულად აღინიშნება პიკნოზური ბირთვები კოლაგენური კოლაგენური ბოჭკოების პროლიფერაციით (სურV 41I 42I 43I 44)V ორივე შემთხვევაში ადგილი აქვს ძვითელი სხეულის ფუნქციურ უკმარისობასI ეVიV იქმნება პროგესტერონის დეფიციტიV ამ შემთხვევაში ძვითელ სხეულში ჯისტოქიმიურად აღმოჩენილია სუდანოფილური ლიპიდების არსებობა (ფოტო 46)I რაც ადასტურებს რომ შერჩენილ ტეკა, გრაანულოზურ კომპლექსში გრუელდება ესტროგენების სინთეზიV

ჩვენ მასალაზე პროლიფერაციული მიომების დროს ათ შემთხვევაში აღინიშნება ლუთეინური ცისტებიV როგორც ცნობილიაI ლუთეინური ცისტები წარმოიქმნება სოლიტარული ფოლიკულური ცისტის კედელში უპრედების ლუთეინიზაციის შემდეგI ამ დროს ცისტის შიგნითა ზედაპირი ძვითელი ფერისააV ლუთეინური ცისტები აზასიათებს ორსულობას და ვითარდება სისხლში ქორიალური გონადოტროპინის მაღალი კონცენტრაციის გამოV

უკანასკნელი ვლინდება მაშინI როდესაც ტროფობლასტური ავადმძოფობის ან  
მრავალწლიანობის პირობებში ნაძოფის ქსოვილების მიერ არ ხდება მათი  
აღეპვატური ათვისებაV

ლუთეინური ცისტები რეგრესს განიცდის ორსულობის შეწმვეტის შემდეგ V მათი სპონტანური რეგრესი შეიყლება გაგრეულდეს ექვსი თვეI ამ პერიოდში დამახასიათებელია ანდროგენების გაყლიერებული პროდუქცია და შესაბამისად ვლინდება ვირილიზაციის სიმპტომიV ლიტერატურული მონაცემებით ცნობილია აგრეთვე ლუთეინური ცისტების იატროგენული ფორმებიI რაც ძალიბდება ოვულაციის პროცესის არაადეკვატური ეკზოგენური სტიმულაციითV

საკვერცხების ცისტური წარმონაქმნებიდან არსებობს კიდევ ცისტური ძვითელი სხეულიI რომელიც ნორმალური ძვითელი სხეულის ანატმიურ ვარიანტს წარმოადგენსI ამოფენილია ფიბროზული ქსოვილით და გამოხატულია გრანულოზო , თეკა ლუთეინური უპრედებითV ჩვენ შემთხვევებში ლუთეინური ცისტები გამოხატავს ან აბორტის მოვლენას ან ვითარდება ოვულაციის შემდეგ ძვითელი სხეულის ნაადრევი რეგრესის ფონზე განვითარებული დისტროფიულ,ნეკროზული პროცესების დაჩქარების შედეგადV ძველა შემთხვევაში აღვილი აქვს პროგესტერონის დეფიციტისV ამასთან თუ გავითვალისწინებთI რომ ზოგ შემთხვევაში დამახასიათებელია ანდროგენების სტიმულაციაI უკანასკნელი ესტრადიოლის სინთეზის წინამორბედს წარმოადგენსV

- 1) ჯისტოლოგიურიI ჯისტოქიმიური და ელექტრონომიკროსკოპული კვლევის საფუძველზე შეიყლება ითქვასI რომ საშვილოსნოს ტანის პროლიფერაციული მიომების დროს რეპროდუქციული პერიოდის ქალებში საკვერცხებში აღინიშნება შემთხვევათა უმრავლესობაში დამახასიათებელი ფოლიკულური აპარატის დისგენეზია და ტეკა, გრანულოზური კომპლექსის ჯიპერპოლაზიითI რაც შესაბამისად აყლიერებს ესტროგენების სინთეზს და იქმნება ჯიპერსესტროგენემიაV
- 2) შემთხვევათა უმცირესობაში ძალიბდება არასრულფასოვანი ძვითელი სხეული ან ლუთეინური ცისტებიI რის ფონზეც ძალიბდება

პროგესტერონის მკვეთრი დეფიციტი და ყლიერდება ესტროგენების  
სინთეზიV

4V3V ფოლიკულის შიდა თეკა გარსის მიკრორფოლოგიური თავისებურებანი  
საშვილოსნოს ტანის პროლიფერაციული მიომების დროს

როგორც ზემოთ იძო აღნიშნულიI საშვილოსნოს ტანის პროლიფერაციული  
მიომის შემთხვევათა 60I27?,ში 25,38 წV ქალების საკვერცხებში  
გამოვლინებულია ფოლიკულური ცისტები და თეკომატოზებიV  
დასახელებული ცისტების რაოდენობა საშუალოდ სამი ან ოთხიაI ზოლო მათი  
დიამეტრი 115 სმ,ის ფარგლებშიაV ზემოთ ისიც იძო აღნიშნულიI რომ ეს  
საკვერცხები არ წარმოადგენს თანდაძოლი დისგენეზის და მასთან  
დაკავშირებული პოლიცისტოზის გამოხატულებასV ამგვარადI ჩვენს მიერ  
გამოკვლულია შემთხვევებიI როდესაც ნორმალური განვითარების  
საკვერცხებში ფოლიკულების ზრდისI მომწიფებისI ოვულაციის დარღვევის  
ეპიზოდები აღმოჩნდებაI როგორც ჩანს საშივლოსნოს ტანში მიომების  
აღმოცენება და განვითარება მიმდნარეობს ფოლიკულების ზრდისა და  
ფუნქციის დარღვევის პარალელურადV ამიტომ როგორც ზემოთ (იხილე თავი  
3) არის აღნიშნული კვლევის ერთ,ერთი ამოცანა გახდა ფოლიკულების  
მორფოლოგიური და ფუნქციური მდგომარეობის გამოკვლევა საშვილოსნოს  
პროლიფერაციული მიომების დროს რეპროდუქციული პერიოდის ქალებშიV

ჩატარებული კვლევის შედეგად გამოირკვაI ორი მწიფე ფოლიკულისI  
გრააფის ბუშტუკების და ცისტურად გარდაქმნილი გრააფის ბუშტუკების  
თითო შემთხვევის თითო ფოლიკულის 100 მხედველობის ველში საშუალო  
დიამეტრის მაჩვენებლი 1,115 სმ,ია ანუ მკმV დიამეტრს შედაგენსV ამათგან  
შიდა თეკა გარსის საშუალო მაჩვენებელი 30I85 მკმ,იაI მათ შორის მინიმალური  
დიამეტრი 4I7 მკმ,იაI მაქსიმალური , 57 მკმV ამ პირობებში ვარიაციული  
რიგიდან გამოძოფილია 10 კლასი (იხილე ცხრილი 12I მრუდი 33)I რომელთაგან

+ კლასს წარმოადგენს ფოლიკულების რეგიონები I რომლებშიც შიდა თეკა გარსის სისქე 4I7,14I7 მკმ,ს უდრის I ++, ს წარმოადგენს რეგიონები I რომლებშიც შიდა თეკა გარსის სისქე 14I7,19I4 მკმ,ს უდრის I +++ კლასს შედაგენს რეგიონები 19I4,24I1 მკმ,ის დიამეტრის მქონე შიდა თეკა გარსით I +: კლასს 24I1, 22I8 მკმ დიამეტრის სისქის I : კლასს 28I8,33I5 მკმ დიამეტრის I :+ კლასს 33I5, 38I2 მკმ დიამეტრის I :+++ კლასს 38I2,42I9 მკმ ლიამეტრის I :+++ კლასს 42I9, 47I6 მკმ დიამეტრის I +; კლასს , 47I6,52I3 მკმ დიამეტრის და ; კლასს შეადგენს რეგიონები 52I3,57 მკმ დიამეტრის მქონე შიდა თეკა გარსით V აღნიშნული კლასებიდან პირველი სამი კლასი არის თეკა გარსის სისქის მცირე მაჩვენებელი I მე,4,დან მე,8 კლასის ჩათვლით საშუალო I მე,9,10 კლასები კი შიდა თეკა გარსის სისქის მაღალი მაჩვენებელი V

ცისტური ფოლიკულის შიდა თეკა გარსის სისქე საშვილოსნოს ტანის

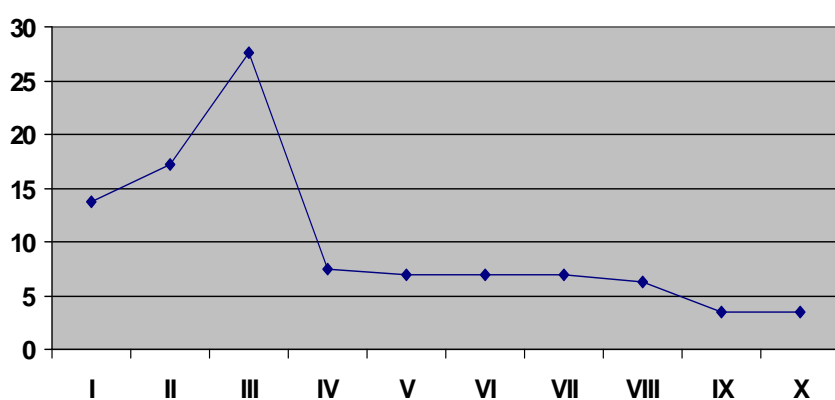
მიომების დროს (მკმ)

ცხრილი 12

რიგი	კლასები	ფოლიკულის შიდა თეკა გარსის სისტე 100 მხედვ V ველიდან
+	4I7,14I7	48 , 13I79?
++	14I7,19I4	60 , 17I24?
+++	19I4 , 24I1	96 , 27I59?
+:	24I1 , 28I8	26 , 7I47?
:	28I8 , 33I5	24 , 6I9?
:+	33I5 , 38I2	24 , 6I9?
:++	38I2 , 42I9	24 , 6I9?
:+++	42I9 , 47I6	22 , 6I32?
:+++	42I9 , 47I6	22 , 6I32?
+:;	47I6 , 52I3	12 , 3I45?

;	52I3 , 57	12 , 3I45?
---	-----------	------------

ცისტური ფოლიკულის შიდა თეკა გარსის სისქე საშვილონოს მიომების დროს  
მრუდი 33



მოხსენებულიდან ირკვევაI რომ დასახელებული კლასებიდან სისხშირით პირველ ადგილზეა მე,3 კლასის რეგიონებიI სადაც შიდა თეკა გარსის სისქე 19I4,24I1 მკმ,იაV ეს კლასი მოდურია და ძველა რეგიონის 27I59?,ს წარმოადგენსV მე,2 ადგილს სიხშირით იჭერს მე,2 კლასის რეგიონებიI რომლებშიც თეკა გარსის სისქე 14I7,19I4 მკმ,ს უდრისV ასეთი სისქის მქონე შიდა თეკას რეგიონები 17I24?,ს წარმოადგენსV მე,3 ადგილი სიხშირით უჭირავს პირველი კლასის რგეიონებსI რომელთა სისქე 4I7,14I7 მკმ,ია და ამ კლასის რგეიონების სიხშირე 13I79?,ით არის წარმოდგენილიV

ამგვარადI გამოკვლეული ფოლიკულების შიდა თეკა გარსი თითქმის 3/5, იაI ეVიV ნახევარზე ბევრით მეტი (58I72?) ხასიათდება სისქითI რომელიც პირველ სამ კლასშიაI ანუ 4I7,24I1 მკმ,ის ფარგლებშიაV ამ კლასებს პირობითად ვუწოდებთ შიდა თეკა გარსის სისქის დაბალი მაჩვენებლების მქონე

რეგიონების ამსახველ კლასებს V შემდეგი მე, 4I 5I 6I 7I 8 კლასების მაჩვენებლებით დახასიათებული რეგიონები ერთნაირი სიხშირით არის წარმოდგენილი და შესაბამისად , 7I47?, სI 6I9?, სI 6I9?, სI 6I9?, სI 6I32?, ს შეადგენენ V ერთად ასეთი სისქის მქონე რეგიონები შეადგენს 1/3, ზე მეტს , 34I38?, სV ამ კლასებს ჩვენ აგრეთვე პირობითად ვუწოდებთ ცისტური ფოლიკულის შიდა თეკა გარსების საშუალო სისქის გამომხატველ მაჩვენებელს V

ვარიაციული რიგიდან გამოძოფილ კლასებს შორის მე, 8 კლასს წარმოადგენს რგეიონები I რომლებშიც შიდა თეკა გარსის სისქე 47I6, 52I3 მკმ, ია და მეათე კლასს რეგიონები I რომლებშიც შიდა თეკა გარსის სისქე 52I3, 57 მკმ, ის უდრის V თითოეული ამ კლასის გამომხატველი რეგიონები შეადგენს 6I9?, სV

ჩვენ მიერ ცისტური ფოლიკულების კვლევის პარალელურად ჩატარდა ნორმალური ფოლიკულის მორფომეტრიული კვლევა V მასალა აღებული იძო სამედიცინო ექსპერტიზის კათედრიდან I გამოძენებული იძო 28, 56 წლის ქალების საკვერცხები V

როგორც გამოკვლევის შედეგებიდან ჩანს I ნორმალური გრააფის ბუშტუკის I ფოლიკულის კედლის სიქე შეადგენს საშუალოდ 0I7, II2 სმ, სV

შიდა თეკა გარსის სისქის საშუალო მავენებელი უდრის 19I1 მკმ, სI მათ შორის მინიმალური დიამეტრი 4I7 მკმ, სI მაქსიმალური დიამეტრი კი 33I5 მკმ V ამ პირობებში ვარიაციული რიგიდან გამოძოფილია 5 კლასი (იზილე ცხრილი 13I მრუდი 34) I რომელთა პირველ კლასს წარმოადგნს ნორმული ფოლიკულების რგეიონები I რომლებშიც შიდა თეკა გარსის სიქე 4I7, 14I7 მკმ, ს უდრის I ++, ს წარმოდაგენს რეგიონები I რომლებშიც შიდა თეკა გარსის სისქე 14I7, 19I4 მკმ, ს უდრის I +++, ს წარმოადგენს რგერონები I რომლებშიც შიდა თეკა გარსის სისქე 14I7, 19I4 მკმ, ს უდრის I +++, ს 19I4, 24I1 მკმ I +:, ს 24I1, 28I8 მკმ და : კლასს

წარმოადგენს რეგიგნებიI რომლებშიც შიდა თეკა გარსის სისქე 28I8,33I5 მკმ,ს უდრისV

მოხსენებული კლასებიდან სიხშირით პირველ ადგილზეა და ნახევარზე მეტს , 53I68?,ს შეადგენს მე,3 კლასის 19I4,24I1 მკმ მაჩვენებლებით წარმოდგენილი შიდა თეკა გარსის რეგიონებიV სიხშირით მეორე ადგილზეა და 1/4,ზე მეტს 28I42?,ს შეადგენს ++ კლასის 14I7,19I4 მკმ,ის მქონე რეგიონებიV ამგვარადI თითქმის ერთნაირი სიხშირით გვჩვდება პირველ და მეოთხე კლასები და შესაბამისად პირველი კლასი შეადგენს 9I47?,ს და მე,4 კლასი 6I31?,ს (4I7,14I7 მკმ და 24I1,28I8 მკმ)V იშვიათად მე,5 კლასის დიამეტრით 28I8, 33I5 მკმ,ის მქონე რეგიონებიI რომელიც შეადგენს 2I10?,სV

ამგვარადI ნორმის პირობებში ნორმალური გრააფის ბუშტუკის შიდა თეკა გარსის სისქე დაბალი მაჩვენებლით ხასიათდება და ასეთი რეგიონების სიხშირე რეგიონების 4/5,ზე მეტს 9I57?,ს შეადგენსV მხოლოდ 8I43?,ით არის წარმოდეგილი შიდა თეკა გარსის საშუალო მაჩვენებლების მქონე რეგიონებიV  
შიდა თეკა გარსის სისქე (მკმ) ნორმალური საკვერცხის ნორმულ

#### ფოლიკულებში

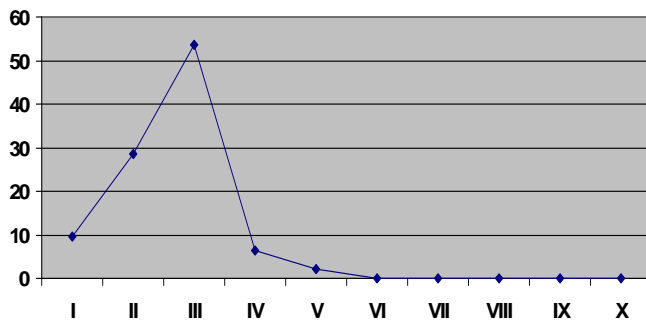
ცხრილი 13

რიგი	კლასები	ფოლიკულის შიდა თეკა გარსის სისქე <sup>100 მხედვV ველიდან</sup>
+	4I7,14I7	9I47?
++	14I7,19I4	28I42?
+++	19I4 , 24I1	53I68?
+:	24I1 , 28I8	6I31?
:	28I8 , 33I5	2I10?
:+	33I5 , 38I2	,
:++	38I2 , 42I9	,
:+++	42I9 , 47I6	,

:+++	42I9 , 47I6	,
+;	47I6 , 52I3	,
;	52I3 , 57	,

შიდა თეკა გარსის სისქე ნორმული საკვერცხის ნორმულ ფოლიკულში

მრუდი 34



გასათვალისწინებელია განსხვავება I რომელიც არსებობს ჩვენ მიერ გამოვლენილ ცისტურად გარდაქმნილი გრააფის ბუშტუკების კედლების სისქესა და გვამური მასიდან ამოკვეთილი საკვერცხების გრააფის ბუშტუკების შიდა თეკა გარსის სისქის მაჩვენებლებს შორის V

შედარების საფუყველზე ირკვევა I როგორც ცისტურად გარდაქმნილი I ისე ნორმალურ გრააფის ბუშტუკებში შიდა თეკა გარსში დიდ უმრავლეობას შეადგენს სისქის დაბალი მაჩვენებლის მქონე რეგიონები I მაგრამ ასეთი რეგიონების სიხშირე გრააფის ბუშტუკებში 1/5, პერ უფრო ხშირია ნორმალურ გრააფის ბუშტუკებში I ვიდრე ცისტურად გარდაქმნილში V საშუალო მაჩვენებლის მქონე რეგიონები 3, პერ უფრო ხშირია ცისტური ფოლიკულები შიდა თეკა გარსში I ვიდრე ნორმულ გრააფის ბუშტუკებში V ისიც უნდა აღინიშნოს I რომ შიდა თეკა გარსის საშუალო რეგიონები ცისტურ ბუშტუკებში წარმოდგენილია მე, 4, 5, 6, 7, 8 კლასებით I ხოლო ნორმულ გრააფის ბუშტუკებში მხოლოდ მე, 4, 5 კლასებით V

რაც შეეხება შიდა თეკა გარსის სისქის მაღალი ნიშნის გამომხატველი მე, 9, 10 კლასების გრააფის ბუშტუკებში ასეთი კლასის რეგიონებში I ისევე

როგორც საშუალო სისქის მაჩვენებელი მე,6,7,8 კლასის რეგიონები გრააფის ბუშტუკებში საერთოდ არ არისV

ძოველივე ზემოთწარმოდგენილი იმას უჩვენებსI რომ საშვილოსნოს ტანის მიომების დროს საკვერცხის ცისტურად გარდაქმნილ ფოლიკულების შიდა თეკა გარსი გაცილებით უფრო სქელიაI ვიდრე ნორმალურ გრააფის ბუშტუკშიV

ჯისტოლოგიური გამოკვლევის საფუყველზე დადგინდაI რომ ნორმალური გრააფის ბუშტუკის შიდა თეკა გარსის უპრედები წარმოდგენილია მცირე ზომის თითისტარის ფორმის ბირთვების შემცველი შედარებით მეჩერად განლაგებული თეკა უპრედებითV ამ უპრედების მნიშვნელვანი ნაწილი შეიცავს სუდანფილურ ლიპიდებსI რომლებიც წარმოდგენილია უპირატესად წვრილი წვეთების სახითI რომლებიც მოთავსებულია უპირატესად ბირთვების სიახლოვეს არსებულ პერიკარიულ სივრცეშიV

ცისტურად განდაქმნილი გრააფის ბუშტუკის შიდა თეკა გარსის უპრედების დიდი უმრავლესობა ზომებით 1/5,ჰერ ან 2,ჰერ დიდიაI ვიდრე ნორმული გრააფის ბუშტუკის ეს უპრედებიI ერთმანეთთან მჭიდროდ მდებარეობენ იმდენადI რომ თხელ ანათალშიI რომლებიც თეკა უპრედების ერთ შრედ არის წარმოდგენილიI ექსტრაცელულური მაქტრიქსი ყნელად ვლინდებაI განსაკუთრებით მნიშვნელოვანია ის გარემოებაI რომ ცისტურად გარდაქმნილი ბუშტუკების თეკა გარსის თითქმის ძველა უპრედი შეიცავს სუდანფილური ლიპიდების საშუალო ზომის წვეთებსI რომლებიც დიფუზურად ავსებს თეკა უპრედის ციტოპლაზმასV

როგორც ცნობილიაI ესტრადიოლიS რომლის სინთეზიც შიდა თეკა უპრედებში ხდება ცხიმოვანი მჟავების ტრიგლიცერიდების და ეVწV ნეირტრალური ცხიმების შემცველი ჯორმონიაI რომელთა გამოვლინებაც ქსოვილში წითელი სუდანით ხდებაV ამგვარადI ზემოთ მოხსენიებული

სუდანოფილური ლიპიდები ესტრიოლის მარკერად ითვლება და მისი რაოდენობა ექვივალენტურია ესტრიოლის რაოდენობისაV

აქედან გამომდინარეI სუდანფილური ლიპიდების შემცველობის სხვადასხვა მაჩვენებელი შიდა თეკა გარსის უპრედებში გრააფის ბუშტუკს და ცისტურად გარდაქმნილ ბუშტუკს შორის განსხვავებულია და ეს განსხვავება მდგომარეობს მასშიI რომ ცისტურად გარდაქმნილი ბუშტუკის შიდა თეკა გარსის თითქმის ძველა უპრედი შეიცავს სუდანოფილურ ლიპიდებსI ეVიV ესტრიოლს და ძველა ასეთი უპრედის ციტოპლაზმა გადავსებულია დასახელებული ლიპიდებითI ხოლო გრააფის ბუშტუკის შიდა თეკა გარსის მნიშვნელოვანი ნაწილი (როგორც ცისტურშიI ისე ნორმაში) შეიცავს სუდანოფილური ლიპიდების წვრილი წვეთების სახითI რომლებიც არ ავსებენ თეკა უპრედის ციტოპლაზმასV ძოველივე ზემოთქმულის საფუყველზე უნდა გაკეთდეს მნიშვნელოვანი დასკვნა%

220ბ საშვილონოს ტანის მიომების დროს ცისტურად გარდაქმნილი გრააფის ბუშტუკის კედლის შიდა თეკა გარსი გასქელებულია და ის ერთნახევარპერ უფრო სქელიაI ვიდრე ნორმალური გრააფის ბუშტუკის შიდა თეკა გარსიV

221ბ ცისტურად გარდაქმნილი გრააფის ბუშტუკის შიდა თეკა გარსი შეიცავს ესტრიოლის მორფოლოგიურ ექვივალენტს სუდანოფილურ ლიპიდების გაცილებით მეტ რაოდენობასI ვიდრე ნორმული გრააფის ბუშტუკის შიდა თეკა გარსიV

222ბ ცისტურად გარდაქმნილი ბუშტუკის თეკა გარსის მეტი სისქე და მასში სუდანოფილური ლიპიდების მეტი რაოდენობის არსებობა ნორმალური გრააფის ბუშტუკის შიდა თეკა გარსთან შედარებით მიუთითებსI რომ ცისტურად გარდაქმნილი გრააფის ბუშტუკის შიდა თეკა გარსში უფრო ინტენსიურია ანდროგენების სინთეზიV

## 4V4V ცისტურად გაგანიერებული ბუშტუკების გრანულოზური უპრედების მოცულობა

ჩატარებული გამოკვლევების შედეგად გამოირკვაI რომ ცისტურად გაგანიერებული ბუშტუკების გრანულოზური შრის სისქის საშუალო მაჩვენებელი ტოლია 44I2 მკმ, სV მათ შორის მინიმალური მაჩვენებელია 19I4 მკმI მაქსიმალური, 69 მკმV გრანულოზური შრის უპრედების მოცულობის საშუალო მაჩვენებელი ტოლია 196I48 მკმ<sup>3</sup>V მათ შორის მოცულობის მიმნაილური მაჩვენებელი ტოლია 1I36 მკმ<sup>3</sup>, ისI მაქსიმალური ტოლია 391I6 მკმ<sup>3</sup>, ისV მიღებული ვარიაციული რიგიდან გამოიძო 10 კლასი% +I ++I +++I +:I :+I :++I :+++:I +; და ; კლასებიV + კლასს შეადგენს გრანულოზური უპრედებიI რომელთა მოცულობა ტოლია 1I36,40I42 მკმ<sup>3</sup>, ისI ++ კლასს შეადგენენ გრანულოზური უპრედები მოცულობით 40I42,79I26 მკმ<sup>3</sup>I +++ კლასს, 79I26, 118I32 მკმ<sup>3</sup>, ისI +: კლასს 118I32,157I38 მკმ<sup>3</sup>, ისI : კლასს 157I38,196I44 მკმ<sup>3</sup>, ისI :+ კლასს, 196I44,235I5 მკმ<sup>3</sup>, ისI :++ კლასს 235I5,274I56 მკმ<sup>3</sup>, ისI :+++ კლასს, 274I56,313I62 მკმ<sup>3</sup>, ისI +; კლასს 313I62,352I68 მკმ<sup>3</sup>, ის და ; კლასს შეადგენენ გრანულოზური უპრედებიI რომელთა მოცულობა ტოლია 352I68,3916 მკმ<sup>3</sup>, ის (ცხრილი 14I მრუდი 35)V

+ კლასში შემავალი გრანულოზური უპრედებიI რომელთა მოცულობა ტოლია 1I36,40I62 მკმ<sup>3</sup>, ის ჩაითვალა მცირე ზომის უპრედებადV ++ და +++ კლასში შემავალი გრანულოზური უპრედებიI რომელთა მოცულობა ტოლია 40I42,118I32 მკმ<sup>3</sup>, ისI ჩაითვალა საშუალო ზომის უპრედებადV +:I :+ კლასში შემავალ გრანულოზური უპრედებიI რომელთა მოცულობა ტოლია 118I32,235I5 მკმ<sup>3</sup>, ისI ჩაითვალა შედარებით დიდი ზომის უპრედებადV :++,:+++,+; და ; კლასში შემავალი გრანულოზური უპრედებიI რომელთა მოცულობა ტოლია (235I5,3916) მკმ<sup>3</sup>, ისI ჩაითვალა დიდი ზომის უპრედებადV

ჩამოთვლილი კლასებიდან მოდურია და სიხშირით პირველ ადგილზეა  
საშუალო ზომის +++ კლასის უპრედები მოცულობით 79I26,118I32 მკმ<sup>3</sup> ,  
42I87?V

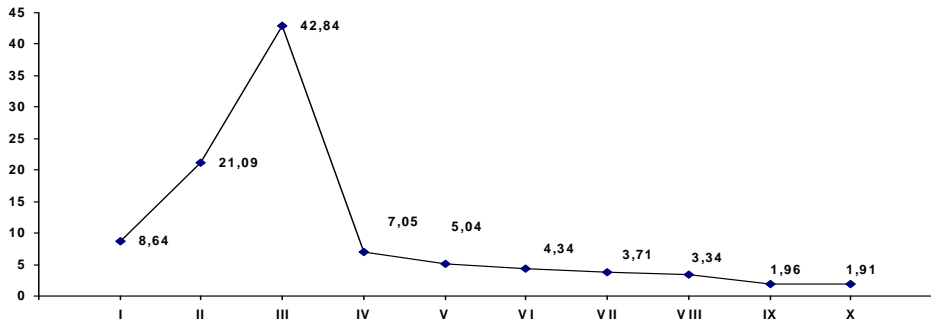
ცისტურად გაგანიერებულიბუშტუკის  
გრანულოზური უპრედების მოცულობა

ცხრილი 14

რიგი	კლასები	გრანულოზური უპრედების მოცულობა
+	II36 , 40I42	163 , 8I64?
++	40I42 , 79I26	398 , 21I09?
+++	79I26 , 118I32	809 , 42I87?
+;	118I32 , 157I38	133 , 7I05?
:	157I38 , 196I44	96 , 5I07?
:+	196I44 , 235I5	82 , 4I34?
:++	235I5 , 274I56	70 , 3I71?
:+++	274I56 , 313I62	63 , 3I34?
+;	313I62 , 352I68	37 , II96?
;	352I18 , 39I16	36 , II91?

ცისტურად გაგანიერებული გრააფის ბუშტუკების გრანულოზური უპრედების  
მოცულობა

მრუდი .35



სიხშირით მეორე ადგილზეა ++ კლასის საშუალო ზომის უპრედები მოცულბით 40I42,79I26 მკმ<sup>3</sup> და შეადგენს 21I09?,სV დანარჩენ კლასებში თანაბრად და თანდათანობით იკლებს გრანულოზური უპრედების სიხშირეV აქედან + და +: კლასში გრანულოზური უპრედებიI რომელთა მოცულობაა 16I36, 40I42 მკმ<sup>3</sup> და 118I32,157I38 მკმ<sup>3</sup> შეადგენენ 8I64? და 7I05?,სX :I :+I :++ და :+++ კლასებში გრანულოზური უპრედებიI რომელთა მოცულობა შესაბამისად არის 157I38,196I44 მკმ<sup>3</sup>I 196I44,235I5 მკმ<sup>3</sup>I 235I5,274I56 მკმ<sup>3</sup>I 274I56,313I62 მკმ<sup>3</sup> შეადგენენ შესაბამისად 5I07?I 4I34?I 3I71? და 3I34?,სV +; და ; კლასებში გრანულოზური უპრედებიI რომელთა მოცულობა ტოლია 313I62,352I8 მკმ<sup>3</sup>,ს და 352I68,391I6 მკმ<sup>3</sup>,ს სიხშირით არის მკვეთრად შემცირებული 1I96? და 1I91?V

ჩატარებული გამოკვლევის შედეგად გამოირკვაI რომ ცისტურად გაგანიერებულ ბუშტუკებში გრანულოზური უპრედების ნახევარზე ბევრად მეტს , 63I96?,ს შეადგენს ++ და +++ კლასის საშუალო ზომის უპრედებიX 16I48?,ს ანუ ერთ მეხუთედზე ცოტა ნაკლებს შეადგენს +:I : და :+ კლასის შედარებით დიდი ზომის უპრედებიX მცირე რაოდენობით არის :++,:+++,+;; კლასის დიდი ზომის გრანულოზური უპრედები და შეადგენს 10I82?,სV მცირე რაოდენობით არის აგრეთვე + კლასის მცირე ზომის უპრედები და შეადგენს 8I64?,სV

პარალელურად კონტროლის მიზნით გამოვიყვლიეთ ნორმული ფოლიკულის გრანულოზური უპრედების მოცულობაV საშუალო მაჩვენებელი არის 59I78 მკმ<sup>3</sup>V მათ შორის მინიმალური მაჩვენებელი 1I36 მკმ<sup>3</sup>,I მაქსიმალური

118I32 მკმ<sup>3</sup>, V მიღებული ვარიაციული რიგიდან გამოიძო 3 კლასი% +I ++I +++V 1 კლასს შედაგენენ გრანულოზური უპრედები I რომელთა მოცულობა ტოლია II36,40I42 მკმ<sup>3</sup>, I ++ კლასი შეადგენს გრანულოზური უპრედები მოცულობით 40I42,79I26 მკმ<sup>3</sup>, I +++ კლასს, გრანულოზური უპრედები მოცულობით 79I26, 118I32 მკმ<sup>3</sup>, (ცხრილი 15I მრუდი 36)V

ჩამოთვლილი კლასებიდან მოდურია და სიხშირით პირველ ადგილზეა მცირე ზომის + კლასის უპრედები მოცულობით II36,40I42 მკმ<sup>3</sup>, და ტოლია 58I89?, სI სიხშირით მეორე ადგილზეა საშუალო ზომის ++ კლასის უპრედები მოცულობით 40I42,79I26 მკმ<sup>3</sup> და ტოლია 23I89?V სიხშირით მესამე ადგილზეა საშუალო ზომის +++ კლასის უპრედები მოცულობით 79I26, 118I32 მკმ<sup>3</sup> და ტოლია 17I22?, ისV

ჩატარებული გამოკვლევის შედგად გამოირკვა I რომ ნორმული საკვერცხის ნორმული ფოლიკულის გრანულოზური უპრედების ნახევარზე მეტი 58I89? წარმოდგენილია მცირე ზომის უპრედებით I დანარჩენი 41? შეადგენს საშუალო ზომის ++ და +++ კლასის უპრედებს V

### ნორმალური გრააფის ბუშტუკის გრანულოზური უპრედების მოცულობა

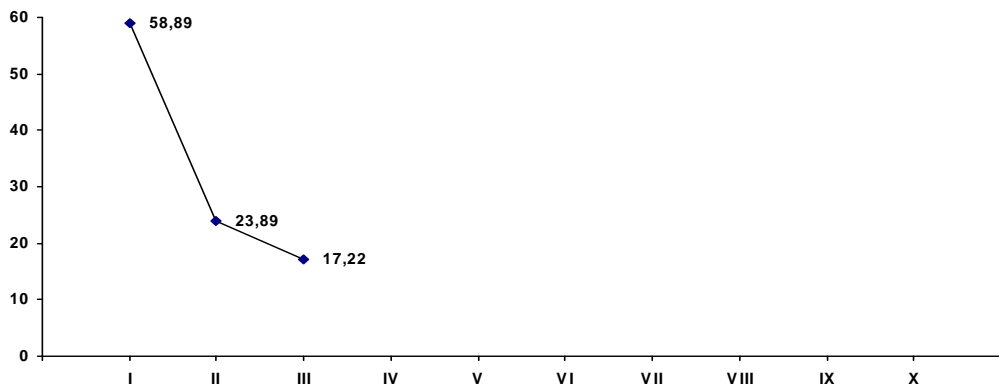
ცხრილი 15

რიგი	კლასები	გრანულოზური უპრედების მოცულობა
+	II36 , 40I42	106 , 58I89?
++	40I42 , 79I26	43 , 23I89?
+++	79I26 , 118I32	31 , 17I22?
+;	118I32 , 157I38	,
:	157I38 , 196I44	,
:+	196I44 , 235I5	,
::++	235I5 , 274I56	,

:+++	274I56 , 3I3I62	,
+;	3I3I62 , 352I68	,
;	352I18 , 39I6	,

ნორმალური გრააფის ბუშტუკების გრანულოზური უპრედების მოცულობა

მრუდი .36



#### 4V4V2V გრანულოზური უპრედების ბირთვების პლოიდობის მაჩვენებლები საშვილოსნოს ტანის მიომების დროს

ოპერაციულ მასალაში (საშვილოსნოს ტანის მიომით დაავადებული 73 გამოკვლეული პაციენტიდან) საკვერცხებში 26 შემთხვევაში აღმოჩნდა მოზარდი ან გრააფის ბუშტუკის სტადიაში მძოფი ფოლიკულიV გამომდინარე იქიდანI რომ ფოლიკულების გამომფენ გრანულოზურ უპრედებში მთავრდება ესტრადიოლის სინთეზის პროცესიI ხოლო ესტრადიოლიI როგორც დღეს საბოლოოდ გადაწყვეტილიაI არის ჯორმონიI რომლის რაოდენობის მატება აპირობებს მიობლასტების კეროვან ინტენსიურ გამრავლებასI რასაც მოჯდვება მიომის ჩამოძალიბებაV ჩვენ ვისარგებლეთ ზემოხსენებული დამთხვევით და მიომის პირობებში გამოვლენილი მზარდ ფოლიკულსა და გრააფის ბუშტუკებში განვსაზღვრეთ გრანულოზური უპრედების გამრავლების აქტივობაI რადგან თუ გამოკვლეულ გრანულოზურ უპრედთა

შორის საშვილოსნოს ტანის მიომების დროს აღმოჩნდება დასახელებული უპრედების გამრავლების უფრო მაღალი პოტენციალი I ვიდრე მიომების გარეშე შემთხვევებში V მაშინ კიდევ უფრო მეტად შეიყლება მტკიცება იმისა I რომ საშვილოსნოს ტანის მიომები ესტრადიოლდამოკიდებული სიმსივნეებია V ასეთი გამოკვლევების ჩატარებას სჭირდებოდა მოსამზადებელი მუშაობა იმის გამოსავლენად I თუ როგორია გრანულოზური უპრედების გამრავლების მაჩვენებლი მოზარდ ფოლიკულსა და გრააფის ბუშტუკში მიომების არ არსებობის შემთხვევაში V ასეთი ეტალონი უნდა შეგვექმნა იმიტომ I რომ ხელმისაწვდომ ლიტერატურაში ვერ ვნახეთ ცნობები გრანულოზური უპრედების გამრავლების პოტენციალის კვლევის შედეგების შესახებ V საჭირო იძო საკუთარი ეტალონის შემუშავება I ვინაიდან ასეთი მასალის მიღება გასაგები მიზეზების გამო ოპერაციულ მასალაში შეუყლებელია I ამიტომ ჩვენ მიერ მასალა აღებულია სასამართლო ექსპერტიზის ბიუროში გაკვეთილი ახალი ტრავმისაგან სწრაფად გარდაცვლილი 28,40 წ V ასაკის 11 ქალისაგან I რომლებსაც არ ჯქონდათ არც საშვილოსნოს და არც საკვერცხების პაოლოგია და რომლებშიც აღმოჩნდა 9 შემთხვევაში გრააფის ბუშტუკი I 2 შემთხვევაში მოზარდი ფოლიკული V

გრანულოზური უპრედების ბირთვების პლოიდობის მაჩვენებლების განსაზღვრისათვის საჭირო იძო პერიფერიულ სისხლში არსებული მცირე ზომის ლიმფოციტებში დნმ,ის რაოდენობის განსაზღვრა V ამ მიზნით როგორც ოპერაციული I ისე სექციური მასალისაგან დამზადებულ ფოლგენის რეაქციით მიღებულ ანათლებში არსებულ სისხლის მიღების სანათურის სისხლში TAS

Laits აპარატით განსაზღვრული იძო 25 მწიფე ლიმფოციტის პლოიდობაV გამოირკვაI რომ დასახელებულ ლიმფოციტებში დნმ,ის რაოდენობის საშუალო მაჩვენებელია 0I1I პეV (2n) დასახელებული ციფრი მიჩნეულია მცირე ზომის მწიფე ლიმფოციტების დნმ,ის დიპლოიდური რაოდენობის მაჩვენებლის ეტალონადV

ჩატარებული კვლევის შედეგად გამოირკვაI რომ სექციური მასალის გრააფის ბუშტუკებსა და მოზარდ ფოლიკულში ერთნაირია დიპლოიდური და ტეტრაპლოიდური ბირთვების შემცველი გრანულოზური უპრედების რაოდენობაV დიპლოიდური ბირთვების რაოდენობა შეადგენს 92?,სV ტეტრაპლოიდური ბირთვების რაოდენობაI რომელშიც დნმ შეადგენს 0I22 პVეV უდრის 4?,სV (1 და 3) n,ის მაჩვენებლებით დახასიათებული ლიმფოციტები ერთად წარმოადგენდა 8?V

სექციური მასალიდან მიღებული საკვერცხების მოზარდ და მწიფე გრააფის ბუშტუკებში დიპლოიდური 0I1I პეV დნმ,ის რაოდენობით დახასიათებელი ბირთვები შეადგენს 88?,სI 8?,ით არის წარმოდგენილი ტეტრაპლოიდური ბირთვების შემცველი გრანულოზური უპრედებიV გრანულოზური უპრედების ბირთვების მოცულობის განსაზღვრამ გამოარკვიაI რომ სექციურ მაალაში მოზარდ და გრააფის ბუშტუკის გრანულოზური უპრედების ბირთვების გრააფის ბუშტუკის საშუალო მაჩვენებელი უდრის 14I8 მკმ<sup>3</sup>,სV მინიმური 38 მკმ<sup>3</sup>,სI მაქსიმური 39I16 მკმ<sup>3</sup>,სV ვარიაციული რიგიდან გამოძოფილია 10 კლასიI რომელთაგან მცირე ზომის ბირთვების შემცველ კლასებად მივიჩნიეთ მე,3,4 კლასებიI რომლბშიც ბირთვების მოცულობა 79I 26 , 157I38 მკმ<sup>3</sup>,იაV საშუალო ზომის კლასებად მიჩნეულია მე,5,6,7 ჰემიფის კლასებიI რომლებსაც მიეკუთვნება 157I38,274I56 მკმ<sup>3</sup>,ს მოცულობის მქონე ბირთვებიV მე,8,9,10 კლასში შემავალი ბირთვებიI რომელთა მოცულობა 274I56, 39I16 მკმ<sup>3</sup>,ის ტოლიაI მიეკუთვნეა დიდი ზომის ბირთვებსV

გრანულოზური უპრედების ბირთვების მოცულობის მაჩვენებლებისა და პლოიდობის მაჩვენებლების შეადრებამ გამოარკვიაI რომ სექციურ მასალაში საშუალო ზომის ბირთვებიI რომლებშიც დნმ,ის რაოდენობა 2 და 3,ით განისაზღვრებაI შეადგენს 92?,სI დიდი ზომის ბირთვებიI რომლებშიც დნმ,ის რაოდენობა 0122 პVეV ანუ 4 ი,ით განისაზღვრება და შეადგენს 8?,სV

თუ გავითვალისწინებთI რომ ტეტრაპლური ბირთვები დნმ,ს გაორმაგებული რაოდენობის შემცველიაI ხოლო დნმ,ის გაორმაგების დროს ანუ მტოზის ციკლში ჩართვის პროცესში უპრედის ზომები დიდიაI სრულიად ნათელიაI რომ ჯიპერდიპლოიდური ანუ ტეტრაპლოიდური და საშუალო მოცულობის ბირთვები ერთი და იგივეა და გრანულოზურ უპრედებში ბირთვებიI რომელთა მოცულობა 157I38 , 235I5 მკმ<sup>3</sup>,ის ტოლიაI წარმოადგენს დიპლოიდურს და შეადგეს 88?,სV ხოლო ტეტრაპლოიდური ანუ მიტოზის ციკლში ჩართული ბირთვების რაოდენობაM რომელთა მოცულობაც 274I56, 39I16 მკმ<sup>3</sup>,ის ტოლიაI შეადგინა 8?V

ოპერაციული მასალის კვლევის შედეგად გამოირკვაI რომ 26 შემთხვევიდან 18,ში ერთდოულად არის გამოვლენილი მოზარდი ფოლიკული და გრააფის ბუშტუკიI 8 შემთხვევაში მხოლოდ გრააფის ბუშტუკი 4,5 გააქტივებული პრიმორტული ფოლიკულითI რომელთა შორისაც დომინანტი ფოლიკულის იდენტიფიკაცია არ მოხერხდაV გრანულოზური უპრედების ზომები და მათი ბირთვების პლოიდობის მაჩვენებელი მოზარდ ფოლიკულებსა და გრააფის ბუშტუკებში ერთნაირი სიხშირით გამოვლინდა (რამოდენიმე შემთხვევაში განსხვავება იძო  $\pm$  1 ან 2)V ასეთი იდენტურობის გამო ბირთვების გრანულოზური უპრედების ბირთვების მოცულობა და პლოიდობის მაჩვენებლების ცალ,ცალკე წარმოდგენა წინამდებარე ნაშრომში ფორმალური იქნებოდა და ამიტომ ზედმეტიაV აღნიშნულის გამო ოპერაციული მასალის კვლევის შედეგების ოპერაციულ მასალაში მზარდი ფოლიკულსა და გრააფის

ბუშტუკის გრანულოზური უპრედების ბირთვების მოცულობის და პლოიდობის განსაზღვრის შედეგები წარმოდგენილია ერთადV

ჩატარეული კვლევის შედეგად გამოირკვა ოპერაციულ მასალაში მოზარდ და ზრდასრული ფოლიკულის დიპლოდური ბირთვების მაჩვენებელი 78?,იაI ტეტრაპლოიდური , 19?V

თუ დავუშვებთI რომ 3n-ით დახასიათებელი ბირთვები ჯიპერდიპლოი, დურია და ტეტრაპლოიდურად ტრანსფორმაციის ფაზაშიაI მაშინ ისიც დაუშვათI რომ ჯიპერდიპლოიდურ ბირთვებს შეიცავს გრანულოზური უპრედების 22? ანუ ამ უპრედების თითქმის 1/5V გრანულოზური უპრედების ბირთვების მოცულობის განსაზღვრის საფუყველზე ირკვევაI რომ საშუალო ზომის უპრედებიI რომელთა მოცულობაც 157I38,274I56 მკმ<sup>3</sup>,ია დიპლოიდურ უპრედებს ესადაგება და არ ახასიათებს მიტოზის ციკლში ჩართვის მორფოლოგიური ნიშნებიI ხოლო დიდი ზომის გრანულოზური უპრედებიI რომელთა მოცულობა 2355,39I16 მკმ<sup>3</sup>,იაI დნმ,ის რაოდენობა 0I22,ია და ახასიათებს მორფოლოგიურად ტეტრაპლოიდურობის ნიშნებიV

ამგვარადI საშვილოსონს ტანში მიომების არსებობის დროს საკვერცხეში მოზარდ და გრააფის ბუშტუკის გრანულოზური უპრედების გამრავლების პოტენციალი მაღალია და გამრავლებადი უპრედები შეადგენს ძველა დასახელებული უპრედის 1/4,სV

ზემოთ წარმოდგენილი მონაცემების შედარება სხვა ავტორების მონაცემებთან სამწუხაროდ შეუყლებელი ზღებაI რადგან როგორც უკვე ვთქვითI გრანულოზური უპრედების გამრავლების პოტენციალი ანუ პლოიდობის განსაზღვრა დღემდე არავის უწარმოებიაV მიუხედავად ამისაI გამომდინარე იქედანI რომ მიომების გამომწვევი ესტრადიოლის ჭარბი რაოდენობა შეიყლება წარმოიქმნას მხოლოდ გრანულოზური უპრედების ჯიპერფუნქციის შემთხვევაში ჩვენს მიერ ჩატარებული კვლევის შედეგები პირველიაI რომელიც ფაქტობრივად მძარ საფუყველს უქმნის დებულებას იმის

თაობაზეI რომ მიომები ესტრადიოლამოკიდებული სიმსივნეებიაV ჩვენ მიერ მიღებული შედეგებს დიდი მნიშვნელობა ეყლევა უკანასკნელი თაობის პაციენტების ექოსკოპიური კვლევის პირობებშიI რადგან უახლესი ექოსკოპის შედეგები ავლენს ფოლიკულის მდგომარეობას მისი პერსისტენციის რეალობსI დომინანტური მოზარდი ფოლიკულების თავისებურებებსI ერთდროულად რამოდენიმე დომინანტური ფოლიკულის და ძველა ამ მონაცემის ეკვივალენტია ჩვენ მიერ გრანულოზური უპრედების კვლევის შედეგებიV

I V საშვილოსნოს მიომების დროს მოზარდი და გრააფის ბუშტუკის უპრედების გამრავლების პოტენციალი 215,ჰერ მაღალია ანალოგიურ მაჩვენებლებთან შედარებითI რომლებიც ახასიათებს მოზარდ და გრააფის ბუშტუკის საშვილოსნოს ტანში მიომების არარსებობის შემთხვევაშიV

2V ჩვენ მიერ გამოვლენილი ფაქტი გრანულოზურ უპრედებში ბირთვების პლოიდობის მაღალი მაჩვენებლების შესახებ მიუთითებს ამ უპრედების ჯიპერფუნქციასI რაც ესტრადიოლის გაყლიერებული სინთეზის ეკვივალენტურიაV

#### 4V5V ცისტურად გაგანიერებულ ბუშტუკებში ექსნერის სხეულაკების მოცულობა

ჩატარებული მორფომეტრული გამოკვლევის შედეგად გამოირკვაI რომ ცისტურად გაგანიერებულ გრააფის ბუშტუკებში ექსნერის სხეულაკების მოცულობის საშუალო მაჩვენებელი უდრის 1698 მკმ<sup>3</sup>,სV მათ შორის მინიალური 108 მკმ<sup>3</sup>,სI მაქსიმალური 3290 მკმ<sup>3</sup>,სV მიღებული ვარიაციული რიგიდან გამოძოფილია 10 კლასი% +I ++I +++I +:I :+I :++I :+++I +; და ;V + კლასს შეადგენს ექსნერის სხეულაკებიI რომელთა მოცულობა არის 108,426I2 მკმ<sup>3</sup>I ++ კლასს ექსნერის სხეულაკები , 426I2,744I4 მკმ<sup>3</sup> მოცულობითI +++ კლასს

744I4,1068I6 მკმ<sup>3</sup>,ითI +: კლასს 1068I6,1380I8 მკმ<sup>3</sup>,ითI : კლასს 1380I8 , 1699 მკმ<sup>3</sup>, ითI :+ კლასს 1699,2017I2 მკმ<sup>3</sup>,მთI :++ კლასს 2017I2 , 2335I4 მკმ<sup>3</sup>,ითI :+++ კლასს 2335I4,2653I6 მკმ<sup>3</sup>,ითI +; კლასს 2653I6,297I8 მკმ<sup>3</sup>,ითI ; კლასს კი შეადგენენ ექსრნერის სხეულაკები 297I8,3290 მკმ<sup>3</sup>,ით მოცულობითV

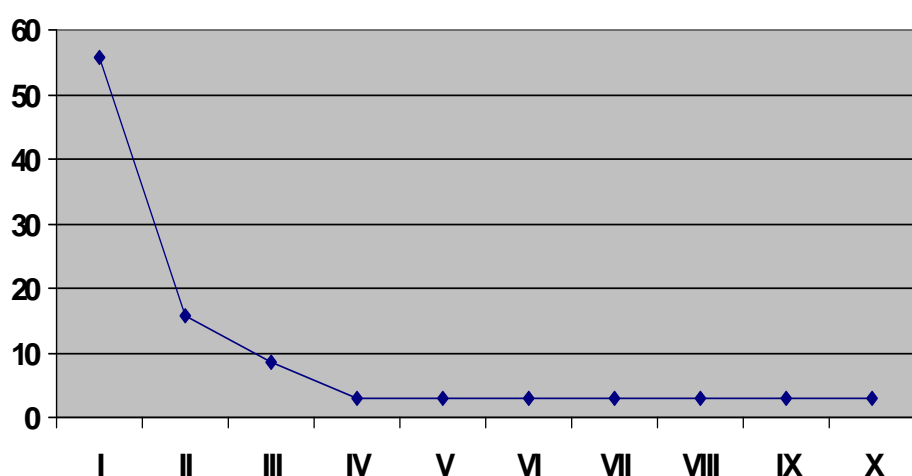
ჯისტოლოგიურიI ელექტრონული მიკროსკოპით და მორფომეტრიული კვლევის შედეგად კლასები შეფასდა შემდეგნაირად% + კლასში შემავალი ექსნერის სხეულაკებიI რომელთა მოცულობა 108,426I2 მკმ<sup>3</sup> ჩაითვალა მცირე ზომირს სხეულაკებადX ++ და +++ კლასში შემავალი ექსნერის სხეულაკებიI რომელთა მოცულობა 426I2,1068 მკმ<sup>3</sup>,ია ჩაითვალა საშუალო ზომის სხეულაკებადX +:I :+ კლასის სხეულაკები მოცულობით 1068I6,2017I2 მკმ<sup>3</sup> შეფასდა შედარებით დიდი ზომის სხეულაკებადX :+:I :+++:I +; და ; კლასის ექსენერის სხეულაკები კიI რომელთა მოცულობაა 2017I2,3290 მკმ<sup>3</sup> შეფასდა დიდი ზომის სხეულაკებად (ცხრილი 16 და მრუდი 37)V

ჩამოთვლილი კლასებიდან მოდურიაI სიხშირით პირველ ადგილზეა და შეადგენს ნახევარზე მეტს , 55I71?,ს + კლასის მცირე ზომის ექსნერის სხეულაკებიI რომელთა მოცულობა ტოლია 108,426I2 მკმ<sup>3</sup>,ისV

ცისტურად გაგანიერებულ გრაფის ბუშტუკის გრანულოზურ  
შრეში ექსნერის სხეულაკების მოცულობა

რიგი	კლასები	ექსნერის სხეულაკების მოცულობა მკმ <sup>3</sup> , ში
+	108,426I2	468 , 55I71?
++	426I2,744I4	132 , 15I71?
+++	744I4,1062I6	72 , 8I57?
+:	1062I6,1380I8	24 , 2I86?
:	1380I8,1699	24 , 2I86?
:+	1699,2017I2	24 , 2I86?
:++	2017I2,2335I4	24 , 2I86?
:+++	2335I4,2653I6	24 , 2I86?
+;	2653I6,2971I8	24 , 2I86?
;	2971I8,3290	24 , 2I86?

ცისტურად გაგანიერებული გრაფის ბუშტუკების გრანულოზურ შრეში  
ექსნერის სხეულაკების მოცულობა



სიხშირით მე,2 ადგილზეა ++ კლასის ექსნერის სხეულაკები მოცლობით 426I2,744I4 მკმ<sup>3</sup> და შეადგენს 15I71?,სV სიხშირით მე,3 ადგილზეა +++ კლასის ექსნერის სხეულაკები მოცულობით 744I4,1062I6 მკმ<sup>3</sup> და შეადგენს 8I57?,სV დანარჩენ კლასებში +:I :I :+I :++I :+++I +; და ; არის გაერთიანებული ერთნაირი სიხშირის მქონე ექსნერის სხეულაკები მოცულობით% +; კლასში 1062I6,1380I8 მკმ<sup>3</sup>I : კლასში 1380I8,1699 მკმ<sup>3</sup>I :+ კლასში 1699,2017I2 მკმ<sup>3</sup>I :++ კლასში 2017I2, 2335I4 მკმ<sup>3</sup>II :+++ კლასში 2335I4,2653I6 მკმ<sup>3</sup>I +; კოასში 2653I6,2971I8 მკმ<sup>3</sup>I და ; კლასში 2971I8,3290 მკმ<sup>3</sup> ექსნერის სხეულაკებიV

ჩატარებული გამოკვლევების შედეგად გამოირკვაI რომ ცისტურად გაგანიერებული ბუშტუკების გრანულოზურ შრეში ექსნერის სხეულაკებს შორის ნახევარზე მეტს , 55I71?,ს შეადგენს + კლასის მცირე ზომის სხეულაკებიI 24I29?,ს ანუ ერთ მეოთხედს შეადგენს ++,+++ კლასების საშუალო ზომის ექსნერის სხეულაკებიVI ხოლო დანარჩენი შედარებით დიდი და დიდი ზომის ექსნერის სხეულაკები გვხვდება თანაბარი სიხშირითV

ჩვენ მიერ პარალელურად ცისტური ფოლიკულების გრანულოზურ შრეში ექსნერის სხეულაკების მოცულობის გაზომვა ჩატარდა გვამური მასალიდან აღებულ ნორმულ საკვერცხებში ნორმული ფოლიკულების და გრააფის ბუშტუკის გრანულოზური შრის ექსნერის სხეულაკების მოცულობის კვლევაV როგორც გამოკვლევებიდან ჩანსI ნორმული ბუშტუკის ექსნერის სხეულაკების საშუალო მოცულობა უდრის 585I3 მკმ<sup>3</sup>,სV მათ შორის მინიმალური მაჩვენებელი ტოლია 108 მკმ<sup>3</sup>,ისI მაქსიმალური მაჩვენებელი ტოლია 1062I6 მკმ<sup>3</sup>,ისI მიღებული ვარიაციული რიგიდან გამოძოფილია 3 კლასი% +I ++ და +++ კლასებიV + კლასს შეადგენს ნორმული ბუშტუკების ექსნერის სხეულაკები მოცულობით 108 , 426I2 მკმ<sup>3</sup>I ++ კლასს , 426I2,744I4 მკმ<sup>3</sup>,ისI +++ კლასს 744I4,1068I6 მკმ<sup>3</sup>,ის მოცულობის მქონე ექსნერის სხეულაკები (ცხრილი 17I მრუდი 38)V

ჩამოთვლილი კლასებიდან მოდურიაI სიხშირით პირველ ადგილზეა და შეადგენს თითქმის სამ მეოთხედს 14I42?,ს + კლასის მცირე ზომის ექსნერის სხეულაკებიI რომელთა მოცულობა ტოლია 108 , 426I2 მკმ<sup>3</sup>,ისV სიხშირით მეორე ადგილზეა და შეადგენს ერთ მეოთხედს 30I8?,ს ++ კლასის საშუალო ზომის ექსნერის სხეულაკებიI რომელთა მოცულობა 426I2,744I4 მკმ<sup>3</sup>,ის ტოლიაV უმცირესი რაოდენობით არის +++ კლასის საშუალო ზომის ექსნერის სხეულაკები და შეადგენს 4I8?,სI რომელთა მოცულობა ტოლია 744I4,1068I6 მკმ<sup>3</sup>,სV

გამოკვლევით დადგინდაI რომ ნორმული ბუშტუკის ექსნერის სხეულაკები არის თითქმის სამ მეოთხედში , 64I4?,ში მცირე ზომისI ხოლო 35I6?,შიI ეVიV შემთხვევათა ერთ მესამედზე მეტში , საშუალო ზომის უპრედებიV

გასათვალისწინებელია ის სხვაობაI რომელიც არსებობს ცისტურად გარდაქმნილი გრააფის ბუშტუკების ექსნერის სხეულაკებსა და გვამური მასალიდან ამოკვეთილი ნორმული საკვერცხეების გრააფის ბუშტუკის ექსნერის სხეულაკების მაჩვენებლებს შორისV

შედარების საფუფველზე ირკვევა როგორც ცისტურად გარდაქმნილიI ისე ნორმული გრააფის ბუშტუკების ექსნერის სხეულაკების მოცულობა შემოიფარგლება დაბალი მაჩვენებლებითV

ნორმული ფოლიკულასI გრააფის ბუშტუკების ექსნერის  
სხეულაკების მოცულობა

ცხრილი 17

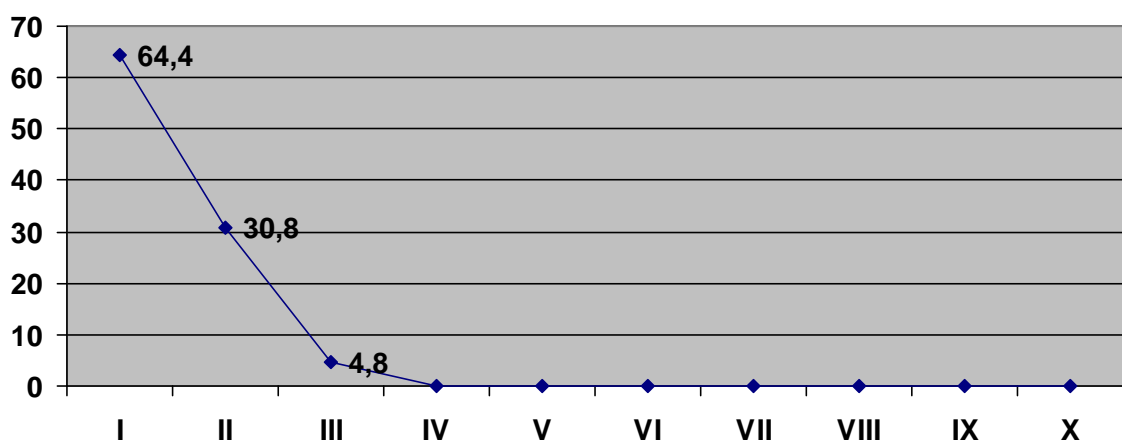
რიგი	კლასები	ექსნერის სხეულაკების მოცულობა მკმ <sup>3</sup> ,ში,
+	108,426I2	67 , 64I4?
++	426I2,744I4	32 , 30I81?
+++	744I4,1068I6	5 , 4I8?
+:	1068I6,1380I8	,

:	1380I8,1699	,
:+	1699,2017I2	,
:++	2017I2,2335I4	,
:+++	2335I4,2653I6	,
:+++	2335I4,2653I6	,
+;	2653I6,2971I8	,
;	2971I8,3290	,

ნორმული ფოლიკულის I გრააფის ბუშტუკის გრანულოზურ შრეში

ექსნერის სხეულაკების მოცულობა

მრუდი 38



ცნობილია I რომ ექსნერის სხეულაკები შეიცავენ გრანულოზური უპრედების სეკრეტს I სეკრეტის შემაღვენლობის თვალსაზრისით დადგენილია I რომ მასში უპირატესი რაოდენობით არის ესტრადიოლი I ეVიV ჯორმონი I რომლის სინთეზის მთავარ ადგილად მიჩნეულია გრანულოზური უპრედები V

ექსნერის სხეულაკები ფაქტობრივად წარმოადგენენV უუპრედო რეგიონებს I მხოლოდ ჯორმონის შემცველ რეგიონებსV ეს რეგიონები მკრთალი ეოზინოფილური მასის სახით არის წარმოდგენილი I რომელში წშირად ვლინდება ლიპიდოგენური წვეთებიV

აღნიშნული უკრედო რეგიონების ირგვლივ თითქმის კანონზომიერად  
 წრიულად არის განლაგებული გრანულოზური უკრედებიV შეიყლება  
 პირიქითაც ითქვასI რომ გრანულოზური უკრედების ჰემოფილი ცენტრში  
 გროვდება ზემოხსენებული მკრთალი ეოზინოფილური სეკრეტიV პირველი  
 უფრო ასახავს ჭეშმარიტებას თუ მეორე არსებითი ის არისI რომ  
 სტრუქტურულად , ჯისტოლოგიური თვალსაზრისით ისინი წარმოადგენს  
 როზეტების მსგავს მორფოლოგიურ ელემენტებსV ფაქტობრივად ექსნერის  
 სხეულაკები ჩნდება გრააფის ბუშტუკების მომწიფების პერიოდში და მათი  
 რაოდენობა თანდათან იმატებს ოვულაციის პერიოდის დადგომამდეV ნორმის  
 პირობებში ექსნერის სხეულაკების ფართობი მერძეობს  $100 \text{ მკმ}^2$   $1000 \text{ მკმ}^2$ , ის  
 ფარგლებშიV ჩვენს ვარიაციულ რიგში ექსნერის სხეულაკების ფარობთის  
 მინმაილური მაჩვენებელი უდრის  $108 \text{ მკმ}^2$ , სI მაქსიმალური მაჩვენებელი  $106216$   
 $\text{მკმ}^2$ , სV ამათგან თითქმის სამ მეოთხედს ,  $6414?$ , ს შეადგენს ექსნერის  
 სზეულაკების პირველი კლასის მაჩვენებლებიI რომელთა მოცულობა უდრის  
 $108,42612 \text{ მკმ}^3$ , სV დანარჩენი ერთი მეოთხედი წარმოდგენილია ++ და +++,  
 კლასებითI რომელთა შორის  $3516?$ , ით  $42612 \text{ მკმ}^3$ ,  $74414 \text{ მკმ}^3$  მქონე ექსნერის  
 სხეულაკებიV და მხოლოდ  $418?$ , ს წარმოადგენს  $74414,106216 \text{ მკმ}^3$  მოცულობის  
 მქონე სხეულებიV ამგვარადI ნორმაში ექსნერის სხეულაკების მაჩვენებლები  
 დაბალია (პირველი სამი კლასით შემოიფარგლება)I რაც როგორც ჩანს ( $108,$   
 $106216 \text{ მკმ}^3$ ) გამოხატავს გრააფის ბუშტუკის გრანულოზური უკრედების  
 ნორმალურ ფუნქციონასV

საშვილოსნოს ტანის მიომების დროს ფოლიკულების სისტემის  
 გრანულოზური უკრედების გარსშიI რომელიც როგორც ზემოთ იძო  
 აღნიშნული საკმაოდ სქელია და უფრო სქელიI ვიდრე ნორმალურ გრააფის  
 ბუშტუკშიI ექსნერის სხეულაკების მოცულობის მაჩვენებლები  
 წარმოდგენილია  $10 \text{ კლასით} \% +I ++I +++I +:I :I :+I :++I :++I +;I$ ; და არა

მხორლოდ პირველი სამი კლასითI როგორც ეს ნორმალურ გრააფის ბუშტუკშიაV

ცისტურად გარდაქმნილი გრააფის ბუშტუკებშიც ექსნერის სხეულაკები უმრავლესობა წარმოდგენილია ოთხი მეხუთედით , 70I9?V მაგრამ განსხვავებით ნორმალური გრააფის ბუშტუკებისგან თითქმის თანაბარი რაოდენობით არის მე,4,დან მე,8,მდე კლასის ექსნერის სხეულაკებიI რომელთა მოცულობაც 1062I6,3290 მკმ<sup>3</sup>,ია 20?,ს შეადგენსV განსაკუთრებით მნიშვნელოვანია +; და ; კლასის მაჩვენებლების ქმონე 2653I07,3290 მკმ<sup>3</sup>,ის ფარგლებშიაI რომელთა სიხშირე 6?,მდე (5I72?) აღწევსV ამ მაღალი მაჩვენებლების პირობებში ფოლიკულური ცისტების კედლების გრანულოზურ, უჰრელოვან გარსში მკრთალი ეოზინოფილური ჯომოგენური მასის აუზებიაI რაც დამახასიათებელად უნდა ჩაითვალოს საშვილოსნოს ტანის მიომების დროს ცისტურად გარდაქმნილი ფოლიკულებისათვისV აღნიშნულს ადასტურებს ის გარემოებაI რომ ძველა გამოკვლეულ ფოლიკულურ ცისტაში ერთი ან ორი მაინც არის დიდი ზომის თუ მოცულობის მაღალი მაჩვენებლების მქონე ექსნერის სხეულაკიV თუ ვირწმუნებთ იმასI რომ ექსნერის სხეულაკები გრანულოზური უჰრელების სეკრეტიაI რომელიც ესტრადიოლს შეიცავსI რაც უკვე საძოველთაოდ არის აღიარებულიI მაშინ უნდა ვირწმუნოთ ისიცI რომ დიდი მოცულობის მქონე ექსნერის სხეულაკების შემცველობა ფოლიკულის ცისტის კედელში მიუთითებს ესტრადიოლის ჯიპერპროდუქციას მოხსენებულ ცისტებშიI ხოლო რადგან ნორმალურ გრააფის ბუშტუკში შედარებით დიდი და დიდი მაჩვენებლების მქონე ექსნერის სხეულაკები არ ვლინდებაI მაშინ სრულიად სარწმუნოაI რომ ცისტურად გარდაქმნილი გრააფის ბუშტუკები არ წარმოადგენს უმოქმედო წარმონაქმნისI რომელშიც პარენქიმა ატროფიას განიცდის როგორც ეს სხვადასხვა ორგანოთა პირკვლებსა და მათ სადინარებში ხდებაI ეVწV რეტენციული ცისტების ჩამძალიბების დროსI არამედ გრააფის ბუშტუკისგან განვითარებულ ცისტებში ხდება ფოლიკულის არა უფუნქციო

ნაშთის შერჩენა, რეტენცია I არამედ გრააფის ბუშტუკის ისეთ ცისტად გარდაქმნა I რომელშიც პარენქიმა პროლიფერაციას განიცდის I ის მოცულობაში იმატებს I აქტიურად ფუნქციობს და შესაბამისად ნორმალურ გრააფის ბუშტუკთან შედარებით უფრო მეტი რაოდენობის სეკრეტის , ესტრადიოლის სეკრეციას აწარმოებს I რაც დამახასიათებელად ითვლება სიტუაციისათვის I რომელიც წინ უყღვის მიომის აღმოცენებას V ამგვარად ჩვენ მიერ ჩატარებული კვლევის შედეგად გამოლენილია მნიშვნელოვანი ფაქტი ესტრადიოლის ჭარბი რაოდენობის პროდუქციის ერთ, ერთი წმაროს მორფოლოგიური სუბსტრატის სახით V

ზემოხსენებულის საფუყველზე შეიყლება გამოტანილი იქნეს შემდეგი დასკვნა %

220d საშვილოსნოს ტანის პროლიფერაციული მიომების დროს გრააფის ბუშტუკებიდან წარმოქმნილ ცისტებში I რომელთა კედლის გარნულოზურუჟრედოვანი გარსი უფრო სქელია I ვიდრე ნორმალური გრააფის ბუშტუკის გრანულოზურ უჟრედოვანი გარსი V ექსნერის სხეულაკების 20? (20I02?) ანუ ერთი მეხუთედი არის საშუალო და დიდი ზომის I რომელთა მსგავსი ზომის ექსნერის სხეულაკები ნორმალურ გრააფის ბუშტუკებში არ ვლინდება V

221d გამომდინარე იქედან I რომ ექსნერის სხეულაკები ესტრადიოლის შემცველია I არ შეიყლება არ მივიჩნიოთ ესტრადიოლის ჭარბი პროდუქციის ერთ, ერთ მნიშვნელოვან წმაროდ V

საშვილოსნოს ტანის მიომების დროს გრააფის ბუშტუკებიდან განვითარებული ცისტების კედლის ჯისტოლოგიური და მორფომეტრიული კვლევის საფუყველზე გამოვლინდა I რომ დასახელებული ცისტების კედელში მიმდინარეობს შიდა თეკა გარსში პროლიფერაცია მათში სეკრეტის I კერყოდ I ანდროგენების ჯიპერპროდუქციით V პარალელურად გრყელდება

გრანულოზური უპრედების პროლიფერაციაცI რომელშიც ხდება ესტრიოლიდან ესტრადიოლის წარმოქმნაV როგორც ჩანსI თეკა გარსის უპრედებისა და გრანულოზური უპრედების პროლიფერაცია ერთმანეთის ექვივალენტურიI რაც დასტურდება ექსნერის სხეულაკების წარმოქმნითI რომელთა ერთი მეხუთედიც გაცილებით უფრო დიდი ზომის არისI ვიდრე ნორმალურ გრააფის ბუშტუკებშიI ხოლო მათი თითქმის 6? (5I72?) „აუზებით“ არის წარმოდგენილიV

ზემოაღნიშნული წარმოადგენს საშვილოსნოს მიომების დროს არსებული ჯიპერესტროგენემისI კერყოდI ჯიპერესტრადიოლემიის მორფოლოგიური სუბ, სტრატის ძველაზე მნიშვნელოვანი რგოლის მორფოლოგიურ გამოხატულებასV ეს დებულება მით უფრო მნიშვნელოვანიაI რომ მსგავსი ფაქტის შესახებ მონაცემები ჩვენ მიერ მოყიებულ ლიტერატურაში მითითებული არ არისV

4V6V ფოლიკულმასტიმულებელი და მელუთეინიზებელი ჯორმონების I  
ესტრადიოლისა და პროგესტერონის რაოდენობის განსაზღვრა საშვილოსნოს  
პროლიფერაციული მიომით დაავადებულ  
+ ჰიფის ქალებში

ჩვენ მიერ შესწავლილია საშვილოსნოს პროლიფერაციული მიომის დროს  
ფოლიკულმასტიმულებელი და მალუთეინიზებელი ჯორმონების I  
ესტრადიოლის და პროგესტერონის რაოდენობა პერიფერიულ სისხლში  
მენსტრუაციული ციკლის მე,20 დღეზეV

გამოკვლევა ჩატარდა 30 შემთხვევაშიV სისხლის აღება წარმოებდა დღის  
ერთსა და იმავე დროზე 11 სთზ,ზე (ცხრილი 8)V

დადგინდაI რომ რეპროდუქციულ პერიოდში მენსტრუაციული ციკლის მე,  
20 დღეზეI ფოლიკულმასტიმულაციები ჯორმონის დონე შეესაბამება ნორმის  
ზედა ზღვარს და ჭოლია  $12165 \pm 0154$  U/l.

მალუთეინიზებელი ჯორმონი არის მომატებული და შეადგენს  $22175 \pm 1143$   
U/lV ესტრადიოლის კონცენტრაცია საშვილოსნოს პროლიფერაციული მიომის  
მქონე რეპროდუქციული პერიოდის ქალებში შეადგენს  $01281 \pm 0112$  nmol/lV

პროგესტერონის რაოდენობის შეფასებისას აღმოჩნდაI რომ იგი ნორმასთან  
შედარებით მკვეთრად არის დაქვეითებულია და შეადგენს%  $01947 \pm 0127$  nmol/lV

ფოლიკულომასტიმულებელი და მალუთეინიზებელი ჯორმონების  
ესტროგენის და პროგესტერონის რაოდენობა სისხლში საშვილოსნოს  
პროლიფერაციული მიომით დაავადებულ რეპროდუქციული ასაკის ქალებში

### ცხრილი 8

გამოსაკვლევი	ჯორმონების რაოდენობა	
	პერიფერიულ სისხლში ნორმაში (ერთეულებში)	რეპროდუქციული პერიოდი
ფოლიკულმას, ტიმულებელი	2-12 opt 3-5 ovul 10-20 U/l	12,65±0,54
ესტრადიოლი	0,2=0,9 opt - 0,4-0,5 ovul 0,8-1,2 nmol/l	0,281±0,12
მალუთეინი, ზებელი	2-12, opt 3-5, ovul 20-50 U/l	22,75±1,43
პროგესტერონი	+ ფაზა $314\pm210$ ++ ფაზა $34\pm10$ ovul 3-15 nmol/l	0,947±0,27

ჩვენი კვლევიდან გამომდინარეI მივიღეთ შემდეგი დასკვნები%

- 1) საშვილოსნოს პროლიფერაციული მიომით დაავადებულ რეპროდუქციული პერიოდის ქალებში არასრულფასოვანი ძვითელი სხეულის დროს მენსტრუაციული ციკლის მე,20 დღეზე ადგილი აქვს ფოლიკულომასტიმულებელი და მალუთეინიზებელი ჯორმონების მაღალი კონცენტრაციის შენარჩუნებას და ორივე ჯორმონი აღწევს ოვულაციის დროს არსებულ პიკის ზღვარსV
- 2) საშვილოსნოს მიომით დაავადებულ ქალებში მენსტრუაციული ციკლის მე,20 დღეზე მეკვეთრად დაბალია პროგესტერონის კონცენტრაციაI ხოლო ესტრადიოლი ინარჩუნებს ნორმის ქვედა ზღვარსV

3) პროგესტერონის დეფიციტის მიხედვით თუ ვიმსპელებთ I ეVიV ოვულაციის  
შემდეგ ნაცვლად ძვითელი სხეულის ლუთეინიზაციისა სწრაფად იწმება  
რეგრესის ფაზაI რასაც მოძვება პროგესტერონის მკვეთრი დეფიციტიI რის  
გამოც მენსტრუაციული ციკლის ორივე ფაზა (მეორე ფაზაში მიუხედავად  
ესტრადიოლის ნორმული მაჩვენებლებისა) ასტიმულირებს პროლიფერაციულ  
და ჯიპერპლაზიურ პროცესებსI ეVიV ადგილი აქვს შეფარდებულ

ჯიპერესტროგენემიასV

## 4V7V ბვითელი სხეულის უპრედების მოცულობა მიომით დაავადებულ ქალებში

ბვითელი სხეულის უპრედების მოცულობის საშუალო მაჩვენებელი უდრის 1583 მკმ<sup>3</sup>V მათ შორის მოცულობის მინიმალური მაჩვენებელი ტოლია 37 მკმ<sup>3</sup>, ისI ხოლო მაქსიმალური , 3133 მკმ<sup>3</sup>,ისV მიღებული ვარიაციული რიგიდან გამოძოფილია 10 კლასი% +I ++I +++I +:I :I :+I :++I :+++I +; და ;V

+ კლასში შემავალი ლუთეინური უპრედებიI რომელთა მოცულობა ტოლია 37,350 მკმ<sup>3</sup>,ის ჩაითვალა მცირე ზომის უპრედებადV ++ და +++ კლასის უპრედები მოცულობით (350,976)მკმ<sup>3</sup> ჩაითვალა საშუალო ზომის უპრედებადV +:I :I :+ კლასში შემავალი ლუთეინური უპრედები მოცულობით (976,1915)მკმ<sup>3</sup>I ჩაითვალა შედარებით დიდი ზომის უპრედებადV :++I :+++I +; და ; კლასის უპრედები მოცულობით (1915,3133) ჩაითვალა დიდი ზომის უპრედებადV

+ კლასში გაერთიანებულია მცირე ზომის უპრედებიI ++ და +++ კლასებში , საშუალო ზომისX +:I :+ კლასებში შედარებით დიდი ზომის და :++I :+++I +; და ; კლასებში კი გაერთიანებულია დიდი ზომის უპრედებიV + კლასს შეადგენს ბვითელი სხეულის უპრედები მოცულობით 37,350 მკმ<sup>3</sup>V ++I +++ და +: კლასის უპრედები შესაბამისად მოცულობებით (350,663)მკმ<sup>3</sup>I (663,976)მკმ<sup>3</sup>I (976, 1289)მკმ<sup>3</sup> არ აღინიშნებაV :I :+I :++I :+++I +; და ; კლასის უპრედები შესაბამისი მოცულობებით (1289,1602)მკმ<sup>3</sup>I (1602,1915)მკმ<sup>3</sup>I (1915,2228)მკმ<sup>3</sup>I (2228,2541)მკმ<sup>3</sup>I (2541,2854)მკმ<sup>3</sup> და (2854,3133)მკმ<sup>3</sup> , კი აღინიშნება თანაბარი სისშირით და ბველა კლასში მისი რაოდენობა ტოლია 2I63?,ისV

ჩამოთვლილი კლასებიდან მოდურია და სისშირით პირველ ადგილზეა მცირე ხომის + კლასის უპრედები მოცულობით 37,350 მკმ<sup>3</sup> და შეადგენს 84I21?, ს (ცხრილი 18I მრუდი 39)V

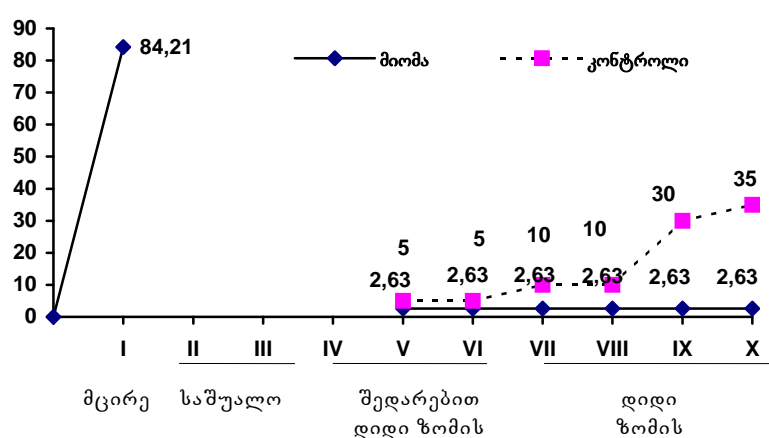
ძვითელი სხეულის უპრედების მოცულობა მიომით დაავადებულ ქალებში და  
საკონტროლო ჰგუფში (მიღის დარღვეული ორსულობის დროს)

ცხრილი 18

კლასი	კლასების ფასი	რაოდენობა ?, ში	
		მიომით დაავადებულ ქალებში	კონტროლი
+	37,350	8412?	
++	350,663		
+++	663,976		
+:	976,1289		
:	1289,1602	2163?	5?
:+	1602,1915	2163?	5?
:++	1915,2228	2163?	5?
:+++	2228,2541	2163?	5?
+;	2541,2854	2163?	5?
;	2854,3133	2163?	5?

ძვითელი სხეულის უპრედების მოცულობა საშვილოსნოს მიომით  
დაავადებულ ქალებში

გრუდი 39



სიხშირით მეორე ადგილზეა დიდი ზომის :++I :++I +; და ; კლასის უპრედები მოცულობით (1915,3133)მკმ<sup>3</sup> და 10152?,სV სიხშირით მესამე ადგილზეა შედარებით დიდი ზომის :I :+ კლასის უპრედები მოცულობით (1289,1915)მკმ<sup>3</sup> და შეადგენენ 5126?,სV

როგორც ცნობილიაI ლუთეინური უპრედები მიიღება ოვულაციის შემდეგ გრანულოზური უპრედების გარდაქმნის შედეგად და ბევრად უფრო დიდია მოცულობითI ვიდრე საწმისი გრანულოზური უპრედებიV

ჩვენ მასალაზე საშვილოსნოს მიომით დაავადებული რეპროდუქციული პერიოდის ქალების საკვერცხებიდან აღებული არასრულფასოვანი ძვითელი სხეულის უპრედების ოთხ მეზუთედზე მეტიI გაერთიანებულია მცირე ზომის (37,350)მკმ<sup>3</sup> მოცულობით + კლასში და შეადგენენ 84I21?,სV უნდა აღვნიშნოთI რომ ამ პაციენტების საკვერცხებში გრანულოზური უპრედების ზომები მერძეობს (1136,39116)მკმ<sup>3</sup> მოცულობითV +,დან ; კლასის ჩათვლითV ამდენადI ძვითელი სხეულის უპრედები შეიყლება ითქვასI რომ (თითქმის ერთი მეზუთედის გარდა) ოვულაციის შემდეგ არ განიცდის სრულფასოვან ტრანსფორმაციას და თუ გრანულოზური უპრედები ათივე კლასში (მცირეI საშუალოI შედარებით დიდი და დიდი ზომის უპრედების სახით) მერძეობს (1136, 39116)მკმ<sup>3</sup> მოცულობითI ოვულაციის შემდეგ მათგან წარმოშობილი არასრულფასოვანი ძვითელი სხეულის უპრედების უმრავლესობაI ოდნავ იცვლება ზომებში და გაერთიანებულია ძვითელი სხეულის უპრედების + კლასში მოცულობით (37,350)მკმ<sup>3</sup>I რომელიც წარმაოდგენენ მცირე ზომის უპრედებსV მხოლოდ ერთეული გრანულოზური უპრედები თუ აღწევს ზრდასრული ძვითელი სხეულის უპრედებამდეV

ის შემთხვევებიI სადაც გაკეთებული იძო საშვილოსნოს ამპუტაცია დანამატთან ერთად არასწორი კლინიკური დიაგნოზითI ძვითელი სხეულის

მოცულობის საშუალო მაჩვენებელი ტოლია  $2211 \text{ მკმ}^3/\text{V}$  მათ შორის მინიმალური მაჩვენებელი ტოლია  $1289 \text{ მკმ}^3/\text{V}$  მაქსიმალური  $3133 \text{ მკმ}^3/\text{V}$

+,: კლასების ჩათვლით უპრედები მოცულობით  $37,1289 \text{ მკმ}^3$  არ აღინიშნებაV : და :+ კლასის უპრედები შესაბამისად მოცულობით ( $1289,1602$ ) მკმ<sup>3</sup> და ( $1602,1915$ )მკმ<sup>3</sup> აღინიშნება თანაბარი სიხშირით და ორივე კლასში ცალ, ცაკლკე მისი რაოდენობა ტოლია  $5?/\text{V}$  :++ კლასში ძვითელი სხეულის უპრედები მოცულობით ( $1915,2228$ )მკმ<sup>3</sup> შეადგენს  $10?/\text{V}$  :+++ კლასში , მოცულობით ( $2228,2541$ )მკმ<sup>3</sup>  $15?/\text{V}$  +; კლასში , ( $2541,2854$ )მკმ<sup>3</sup>  $30?/\text{V}$  და ; კლასში უპრედები მოცულობით ( $2854,3133$ )მკმ<sup>3</sup> შეადგენს  $35?/\text{V}$  , ერთ მესამედზე მეტსV

ჩამოთვლილი კლასებიდან მოღურია და სიხშირით პირველ ადგილზეა ; კლასის ( $2854,3133$ )მკმ<sup>3</sup> მოცულობის დიდი ზომის ძვითელი სხეულის უპრედები და შეადგენს  $35?/\text{V}$  სიხშირით მეორე ადგილზეა დიდი ზომის ( $2541,2854$ )მკმ<sup>3</sup> მოცულობის უპრედები და შეადგენს  $15?/\text{V}$  დანარჩენი :+I :+ და : კლასის უპრედები წარმოადგენენ უმცირესობასV

საშვილოსნოს ტანის მიომის დროს მენსტრუაციული ძვითელი სხეულის ბირთვების მოცულობის განსაზღვრისათვის აუცილებელი იძო საკონტროლო მაჩვენებლის დადგენაცV ამიტომ ჩვენს მიერ ძვითელი სხეულის ბირთვების მოცულობა გამოანგარიშებულია ციფრებიდანI რომლებიც მიღებულია საშვილოსნოს ტანის გაურთულებელი მიომისა და შეწმვეტილი საშვილოსნოს გარე ორსულობის შემდეგV სულ მიღებულია 10 ვარიაციული რიგიI რომელშიც მინიმალური მაჩვენებელი  $11104 \text{ მკმ}^3/\text{V}$  მაქსიმალური მაჩვენებელი  $29314 \text{ მკმ}^3/\text{V}$  ვარიაციული რიგიდან მიღებულია 10 კლასი , +I ++I +++I +:I :+I :++I :++I +; და ;V + კლასს შეადგენს ძვითელი სხეულის ბირთვებიI რომელთა მოცულობა

უდრის V 11I04,39I6 მკმ<sup>3</sup>,სI ++ კლასით წარმოდგენილია ბირთვები I რომელთა  
მოცულობაც უდრის 39I6,67I8 მკმ<sup>3</sup>,სV +++ კლასი დაიკავა ბირთვებმა I  
რომელთა მოცულობა 67I8,96 მკმ<sup>3</sup>,იაV +: კლასს შეადგენენ 96,124I2 მკმ<sup>3</sup>,ის  
მოცულობის მქონე ბირთვები V : კლასის ბითრვები არის 124I2,152I4 მკმ<sup>3</sup>,ის  
მოცულობის მქონე I :+ კლასის , 152I4,180I6 მკმ<sup>3</sup>,ის მოცულობის მქონე I :++  
კლასის არის 180I6,208I8 მკმ<sup>3</sup>,ის მოცულობის მქონე I :+++ კლასის არის 208I237  
მკმ<sup>3</sup> მოცულობის მქონე I +; კლასი 237,265I2 მკმ<sup>3</sup>,ის და ; კლასში შედის  
ბირთვები I რომელთა მოცულობაც შეადგენს 265I2,293I4 მკმ<sup>3</sup>,სV

დასახელებული კლასები ჩვენ მიერ პირობითად მიჩნეულია +,++ კლასის  
ბირთვები მცირე ზომის ბირთვებად I +,: კლასის ბირთვები საშუალო ზომის  
ბირთვებად I :+,:+++ კლასის ბირთვები შედარებით დიდი ზომის ბირთვებად I +;;;  
კლასის ბითრვები დიდი ზომის ბირთვებად V

წარმოდგენილი მონაცემების ანალიზის საფუყველზე ირკვევა I რომ  
ძვითელი სხეულის ბითრვები საშვილოსნოს მიომის დროს მცირე ზომის  
კლასებშია განთავსებული V ეVიV ძველაზე მცირე ზომის 11I04,39I6 მკმ<sup>3</sup>,ის  
მოცულობის მქონე ბირთვები I რომლებიც 58I37?,ით არის წარმოდგენილი I  
მეორე ადგილზეა სიხშირით +++ კლასის ბითრვები I რომელთა მოცულობა  
უდრის 67I8,96I მკმ<sup>3</sup>,ს და შეადგენს 25?,სV მესამე ადგილზეა ++ კლასის  
ბირთვები I რომელთა მოცულობა შეადგენს 39I6,67I8 მკმ<sup>3</sup>,ს და წარმოდგენილია  
16I7?,ით (ცხრილი 19)V

საკონტროლო ჰესუფში ძვითელი სხეულის ბირთვების მოცულობა  
წარმოდგენილია საშუალო ზომის +,: კლასებით I შედარებით დიდი ზომის :+,  
:+++ კლასებით და დიდი ზომის +;; კლასებით V დასახელებულ კლასებს შორის  
მოდურია საშუალო ზომის : კლასის ბირთვები I რომელთა მოცულობაც უდრის

124I2,152I4 ბკბ<sup>3</sup>,ნI ეს კლასი წარმოდგენილია 33I3?,ით ანუ ძველა ბირთვის  
ერთი მესამედიაV

ძვითელი სხეულის ბირთვების მოცულობა

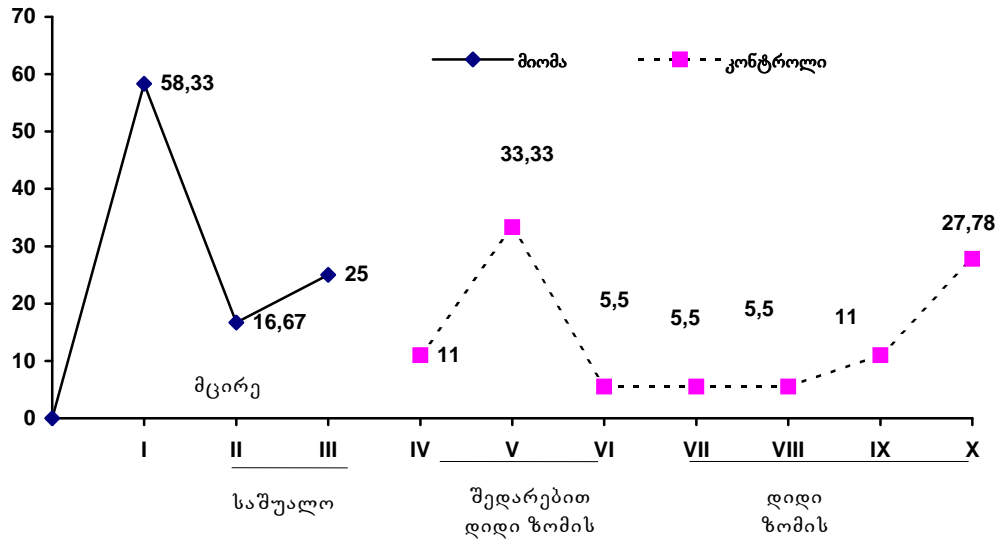
ცხრილი 19

.	კლასები	საშვილოსნოს მიომა	დარღვეული ორსულობა
+	11I4,39I62	58I33?	
++	39I62,67I82	16I67?	
+++	67I82,96I02	25?	
+:	96I02,124I2		11?
:	124I2,152I4		33I33?
:+	152I4,180I6		5I55?
:++	180I6,208I8		5I55?
:+++	208I8,237		5I55?
+:;	237,265I2		11?
;	265I2,293I4		27I78?

ძვითელი სხეულის ბირთვების მოცულობა საშვილოსნოს მიომით

დაავადებულ ქალებში და კონტროლში

გრული 40



მეორე ადგილზე სიხშირით არის დიდი ზომის ; კლასის 265I2,293I4 მკმ<sup>3</sup>,ის მოცულობის მქონე ბირთვები და შეადგენს 27I8?,სI ანუ ერთ მეოთხედზე მეტსV ამგვარადI ძვითელი სხეულის უპრედთა სამი მეხუთედი 60I1? არის საშუალო და დიდი ზომის ბირთვებიV 16I8?,ს შეადგენს შედარებით დიდი ზომის ბითრვებიI რომელთა მოცულობაც არის 124I2,237 მკმ<sup>3</sup>V 22? ანუ ერთ მეხუთედზე ცოტა მეტი ძვითელი სხეულის ბირთვებისა წარმოდგენილია საშუალო 96,124I2 მუმ<sup>3</sup>, ის მოცულობის და დიდი ზომის 237,265I2 მკმ<sup>3</sup>,ის მქონე ბირთვებითV საინტერესოაI რომ :+I :++ და :+++ კლასის ბირთვები ერთნაირი სიხშირით არის :+ და +; კლასის ბირთვები და თითოეული მათგანი შეადგენს 11?,სV

ამგვარადI ჩატარებული კვლევის შედეგად გაირკვაI რომ მენსტრუაციული ძვითელი სხეულის უპრედები შეიცავს მხოლოდ მცირე ზომის , +,+++ კლასის ბითრვებსI ხოლო შეწვეტილი საშვილოსნოს გარეშე ორსულობის დროს ძვითელი სხეულის ბითრვების მოცულობა ვარიაბელურია და წარმოდგენილია +:I :I :+I :++I :+++I +;I ; კლასის ბითრვებითV მათ შორის არ არის მცირე ზომის +I ++ და +++ კლასის ბირთვებიV ვარიაბელობის ფონზე მოდურია საშუალო

ზომის +;: კლასის ბირთვები I რომელთა რაოდენობაც ერთად 4413?, ის ჭოლია VI  
ზემოხსენებულიდან გამომდინარე ნათელია I რომ გაურთულებელი  
საშვილოსნოს მიომის დროს მენსტრუაციული ძვითელი სხეულის ბირთვები  
უფრო მცირე ზომისაა I ვიდრე საშვილოსნოს გარე ორსულობის დროს  
ორსულობის ძვითელი სხეულის ბირთვები V

საშვილოსნოს ტანის პროლიფერაციული მიომით დაავადებულ ქალებში  
ძვითელი სხეულის უპრედებისა და მათი ბირთვების მოცულობის დაბალი  
მაჩვენებლები კონტროლთან შედარებით ადასტურებს თეკალუთეინური და  
გრუნულოზოლუთეინური უპრედების განვითრების შეფერხებას V  
მენსტრუაციული ციკლის მე, 20 დღეზე (რომელიც შეესაბამება ძვითელი  
სხეულის ძვავილობის სტადიას) ძვითელ სხეულში შერჩენილი მცირე  
მოცულობის მქონე გრანულოზური უპრედების არსებობა ადასტურებს  
არასრულფასოვანი ძვითელი სხეულის არსებობას V

## თავი :

5V1V ეპრ სიგნალების განსაზღვრა საშვილოსნოს მიომით დაავადებულ  
რეპროდუქციული პერიოდის ქალების საკვერცხებში მიომეტრიუმში და  
მიომის კვანძები

ცხრილი 20

მიომეტრიუმი და მიომის კვანძის პარამაგნიტური ცენტრები

	მიომეტრიუმი	მიომა
Mn <sup>2+</sup>	3210±314	47±216
Fe <sup>2+</sup>	58±117 ΔH=	100±213 ΔH= P<0,001
NO	2613±215	1513±115
Hb NO	,	+

მიომის და მიომეტურიმის პარამაგნიტური ცენტრების შედარებითი ანალიზის შედეგად გამომდინარეობსI რომ მიომის ქსოვილში მკვეთრად იზრდება Mn<sup>2+</sup> შემცველი დაბალმოლეკულური კომპლექსების კონცენტრაციაV როგორც ცნობილია Mn<sup>2+</sup> სხვა ცვალებადვალენტოვანი მეტალთა იონების მსგავსად ფენტონის და ჯაბერ,ვაისის რეაქციების აქტიური მონაწილენი არიან და ამ გზით განაპირობებენ ორგანიზმში (ქსოვილში) თავისუფალრადიკალური რეაქციების ინტენსიფიკაციას (ცხრილი 20)V

ცხრილიდან აგრეთვე ჩანსI რომ მიომის ქსოვილში მკვეთრად მომატებულია რკინის იონების (Fe<sup>2+</sup>) შემცველობაV ამასთან აღსანიშნავიაI რომ თუ მიომეტრუმის ქსოვილში თავისუფალი რკინის ეპრ სიგნალის (g=2,02) ნახევარგანი ΔH=250 ჯს-ის თолიაI მიომის ქსოვილში აღნიშნული სიგნალის ნახევარგანი ვიწროვდება და შეადგენს ΔH= 20 ჯსV მიომეტრიუმში რეგისტრირებული ეპრ სიგნალი g=2,02 ΔH=250 ჯს ჩვენ შეგვიყლია მივაკუთვნოთ ფერიტინშეკავშირებულ რკინასV ეს სიგნალი ზშირად

რეგისტრირდება სხვადასხვა ქსოვილების ეპრ სპექტრებში ნორმასა და პათოლოგიის დროს და შესაყლოა ასახავს ქსოვილში ფერიტინში შეკავშირებული რკინის კონცენტრაციას V როგორც ცნობილია I სხვადასხვა ლიგანდები და მათ შორის ასკორბინის მჟავა I წძალბადის ზეჟანგი  $H_2O_2$  ზელს უწმობენ ფერიტინიდან ორვალენტიანი რკინის გამოსვლას და  $Fe^{2+}$  დაბალმოლეკულური კომპლექსების წარმოქმნას V ეს ნაერთი ხასიათდება ეპრ სიგნალით  $g=2,20$ ;  $\Delta H= 20$  ჯს ანუ შეგვიყლია დავასკვნათ I რომ მიომის ქსოვილს მიომეტრიუმისაგან განსხვავებით ახასიათებს ფერიტინიდან განთავისუფლებული რკინის იონების  $Fe^{2+}$  სიჭარბე ( $P<0,001$ ) I რომლებიც  $Mn^{2+}$  იონებთან ერთად თავისუფალრადიკალური ჟანგვისა და ლიპიდების ზეჟანგური ჟანგვის მყლავრი პრომოტორები არიან და ზელს უწმობენ მიომის ქსოვილში ოქსიგენური სტრესის განვითარებას I რაც დასტურდება ლიტერატურული მონაცემებით (Foksinski et al., 2000; Chiou F, Hu M.O.L., 1999).

ამას გარდა I მიომეტრიუმის და მიომის ქსოვილში შესწავლილია თავისუფალი აზოტის ოქსიდის შემცველობა I როგორც ცხრილში მოძვანილი მონაცემებიდან გამომდინარეობს I თუ მიომეტრიუმის ქსოვილში თავისუფალი  $NO_2$ -ს ეპრ სიგნალის ინტენსივობა წარმოადგენს  $26I3\pm2I5$  მმ/მგ I მიომის ქსოვილში ამ სიგნალის ინტენსივობა მკვეთრად მცირდება  $15I3$  მმ/მგ (40?,ით) V

**5V2V  $Mn^{2+}$ -I  $Fe^{2+}$ - იონების და  $NO$ -ს ეპრ სიგნალები საკვერცხეებისძვითელ  
სხეულში და ფოლიკულის ცისტის კედელში საშვილოსნოს მიომით  
დაავადებული ქალების**

როგორც ცნობილიაI საკვერცხე ჯორმონდამოკიდებული ორგანოაI რომელიც გამოიმუშავებს ჯორმონებს ესტრდიოლს და პროგესტერონსV ამ ჯორმონების შემცველობაზეა დამოკიდებული გენიტალური აპარატის ციკლური ფიზიოლოგიური ცვლიებებიV

აგრეთვეI ცნობილიაI რომ საშვილოსნოს მიომა წარმოადგენს ჯორმონდამოკიდებულ სიმსივნესI რომელიც ვითარდება ჯიპერესტროგენემიის საფუყველზეV ჯიპერესტროგენემიის საფუყველს ქმნის საკვერცხის ფოლიკულური აპარატის ცვლილებები და ამასთან არასრულფასოვანი ძვითელი სხეულის არსებობაV სადღეისოდ არსებულ შრომებში ნაკლებად არის წარმოდგენილი საშვილოსნოს მიომების დროს საკვერცხის ფოლიკულური აპარატისI მათ შორის თეკა გარსისI გრანულოზური უპრედებისI ექსნერის სხეულაკებისI გრანულოზური უპრედების პლოიდობის მაჩვენებელი და ძვითელი სხეულის უპრედების მორფომეტრიული ცვლილებების ხასიათიV ჩენს მიერ ჩატარებულ კვლევაში ზემოხსენებული პარამეტრები არის განსაზღვრულიV კერყოდI როგორც უკვე იძო აღნიშნული აღმოჩნდაV

გარდა ზემოხსენებულისაI ჩვენთვის მნივშნელოვანია ჯიპერესტროგე, ნემიის დროს მეტაბოლიზმის ხასიათის და მისი ცვლილებების შეფასებაV ჩვენ მიერ შესწავლილი იქნა  $Mn^{2+}$ -I  $Fe^{2+}$ -იონების და  $NO$ -ს ეპრ სიგნალები I ფოლიკულას კედლებში და ძვითელ სხეულში საკვერცხის სხვადასხვა პათოლოგიის დროსV

+ ჰერცი გაერთიანდა არასრულფასოვანი ძვითელი სხეულის მქონე შემთხვევები და დადგინდა ძვითელი სხეულის ქსოვილის  $Mn^{2+}$ ,  $Fe^{2+}$  და  $NO$ -ს ეპრ სიგნალებიV

++ ჰერცი შევიდა ნორმალური საკვერცხეები ნორმალური ძვითელი სხეულითV დადგინდე ზემოხსენებული ეპრ სიგნალებიV

+++ ჰერცი შევიდა ფოლიკულური ცისტის მქონე საკვერცხეები და დადგინდა ფოლიკულური ცისტის კედელში  $Mn^{2+}$ ,  $Fe^{2+}$  და  $NO$ -ს ეპრ სიგნალებიV

$Mn^{2+}$ ,  $Fe^{2+}$  და  $NO$ -ს შემადგენლობა ნორმულ და არასრულფასოვან ძვითელ

სხეულში საშვილოსნოს მიომით დაავადებულ ქალებშიV

#### ცხრილი .1

საკვერცხე	არასრულფასოვანი ძვითელი სხეული			ნორმალური ძვითელი სხეული		
	$Mn^{2+}$	$Fe^{2+}$	$NO$	$Mn^{2+}$	$Fe^{2+}$	$NO$
ეპრ სიგნალები	$23 \pm 1134$	$4416 \pm 2103$	$2313 \pm 1126$	$1616 \pm 0163$	$2414 \pm 1130$	$20 \pm 0183$
ძვითელი სხეული						

როდესაც შევადარეთ ერთმანეთს საშვილოსნოს მიომით დაავადებულ ქალებში არასრულფასოვანი ძვითელი სხეულის მქონე საკვერცხეების ეპრ საექტებიI ძვითელ სხეულში  $Mn^{2+}$ ,  $Fe^{2+}$  და  $NO$ -ს ეპრ სიგნალების ინტენსივობაI აღმოჩნდა შემდეგი (ცხრილი 21)% არასრულფასოვან ძვითელ სხეულში ნორმული ძვითელი სხეულთან შედარებით მკვეთრად იმატებს  $Mn^{2+}$  ( $P < 0,001$ ) და  $Fe^{2+}$  ( $P < 0,001$ ) იონების ეპრ სიგნალებიV  $NO$  კი იმატებს ( $P < 0,02$ ) შედარებით მცირედV

$Mn^{2+}$ ,  $Fe^{2+}$  იონების და NO-ს ეპრ სიგნალები ფოლიკულური

### ცისტის კედელში

ცხრილი 22

საკვერცხე	$Mn^{2+}$	$Fe^{2+}$	NO
ფოლიკულური	$100 \pm 319$	$90 \pm 2173$	,
კისტის კედელი			

რაც შეეხება საშვილოსნოს მიომით დაავალებულ ქალებსI იმ შემთხვევებშიI სადაც საკვერცხეებში აღინიშნება ფოლიკულური კისტების არსებობაI აღმოჩნდაI რომ  $Mn^{2+}$  და  $Fe^{2+}$  იონების კონცენტრაცია მკვეთრად იმტებსV

NO-ს ეპრ მაჩვენებლები ფოლიკულური კისტის კედელში კი არ იქნა აღმოჩენილიV

ამრიგადI არასრულფასოვან ძვითელ სხეულში და უფრო მეტად კი ფოლიკულური ცისტის კედელში  $Mn^{2+}$  და  $Fe^{2+}$  იონების ეპრ სიგნალების მკვეთრი მატება ნიშნავს მემბრანული სტრუქტურების მთლიანობის დარღვევასV NO-ს უმნიშვნელო რაოდენობა კი ამ ნაერთის წარმოქმნის ინტენსივობაზე ან სწრაფ გარდაქმნაზე მიუთითებსV

5V3V ზღვის გოჭის მიომეტრიუმში და საკვერცხებში  $Mn^{2+}$ ,  $Fe^{2+}$  იონების და პარამაგნიტური ცენტრების ცვლილებები ესტრადიოლით დატვირთვის პირობებში

ზღვის გოჭის მიომეტრიუმში ეპრ სპექტრომეტრიული ცვლილებები ესტრადიოლით დატვირთვის დროს

ჰგუფები	$Mn^{2+}$	$Fe^{2+}$	NO
კონტროლი	$10 \pm 0.13$	,	$14.17 \pm 0.193$
5,ჰერადი	$11 \pm 0.142$	,	$21.14 \pm 1.21$
10,ჰერადი	$15.01 \pm 0.19$	,	$21.19 \pm 1.19$

როგორც ცხრილიდან ჩანს I ზღვის გოჭების ესტრადიოლით 5,ჰერადი დატვირთვის დროს მიომეტრიუმში  $Mn^{2+}$  იონების ეპრ სიგნალის ინტენსივობა მცირედ იმატებს (რაც არ არის სარწმუნო)I აზოტის უანგის შემადგენლები კი იმატებს 46?,ით ( $P<0,001$ ). (ცხრილი 22)V

ესტრადიოლის 10,ჰერადად გაზრდილი დოზით დატვირთვის შემთხვევაში ზღვის გოჭის მიომეტრიუმში  $Mn^{2+}$ -იონების შემადგენლობა ნორმასთან შედარებით იზრდება 50?,ით ( $P<0,001$ ), თავისუფალი აზოტის ოქსიდის შემადგენლობა მომატებულია 46?,ით ( $P<0,001$ ).

როდესაც შევადარეთ ზღვის გოჭების მიომეტრიუმში მიმდინარე ცვლილებები ესტრადიოლით 5,ჰერადადი და 10,ჰერადი დატვირთვის პირობებში აღმოჩნდაI რომ  $Mn^{2+}$ -იონები 10,ჰერადი დატვირთვის დროს 5, ჰერადთან შედარებით საგრძნობლად იმატებს ( $P<0,001$ ), აზოტის ოქსიდის შემცველობა კი უცვლელი რჩება ( $P<0,01$ ).

## 5V4V საკვერცხის პარამაგნიტური ცენტრების ცვლილებები

საკვერცხის პარამაგნიტური ცენტრების ცვლილებები ესტროგენებით  
დატვირთვის შემდეგ

ცხრილი .24

	$Mn^{2+}$	$Fe^{2+}$	NO
კონტროლი	$4I0 \pm 0I5$	,	$5 \pm 0I5$
5,ჰერ	$1I \pm 2I5$	,	$15 \pm 0I8$
10,ჰერ	$1I \pm 2I0$	,	$30 \pm 1I2$

ცხრილში მოძვანილია პარამაგნიტური ცენტრების ცვლილებები ზღვის  
გოჭების ესტროგენებით 5,ჰერადი და 10,ჰერადი დატვირთვის შემდეგ V  
როგორც ცხრილიდან გამომდინარეობს კონტროლში საკვერცხის ეპრ  
სპექტრში რეგისტრირებულია  $Mn^{2+}$ -I  $Fe^{2+}$ -იონების და აზოტის ჟანგის ეპრ  
სიგნალები V ზღვის გოჭების ესტროგენებით 5,ჰერადი დატვირთვის შემდეგ  
აზოტის ჟანგის ეპრ სიგნალის ინტენსივობა 3,ჰერ იზრდება საკონტროლო  
მაჩვენებლებთან შედარებით I ხოლო  $Mn^{2+}$ -იონების ეპრ სიგნალის ინტენსივობა  
იზრდებოდა 2I7,ჰერ V

ზღვის გოჭების ესტროგენებით 10,ჰერადი დატვირთვის შემდეგ აზოტის  
ჟანგის ეპრ სიგნალის ინტენსივობა იზრდებოდა 6,ჰერ საკონტროლო  
მაჩვენებლებთან შედარებით I მომატებული იძო აგრეთვე  $Mn^{2+}$ -იონების ეპრ  
სიგნალის ინტენსივობა V

როგორც ცნობილია I ესტროგენები ასტიმულირებენ ინდუცირებული NO  
სინთაზას (iNOS) აქტივობას V მაშასადამე NO ეპრ სიგნალის ინტენსივობის

მომატება ესტროენების დატვირთვის შემდეგ ამ ჯორმონების iNOS მასტიმულირებელი მოქმედებითაა განპირობებული V  $Mn^{2+}$  იონების ეპრ სიგნალის მომატება საკვერცხის ქსოვილში კი მემბრანული სტრუქტურების რღვევის მაუწმებელია V ანუ შეგვიყლია დავასკვნათ I რომ ზღვის გოჭების ესტროგენებით დატვირთვის დროს საკერცხის ქსოვილში ადგილი აქვს აზოტის ჟანგის სინთეზის ინტენსიფიკაციას და მემბრანული სტრუქტურების მთლიანობის დარღვევას V

## თავი +:

### საკუთარი პვლევის შედეგები

4V1V რეპროდუქციული პერიოდის საშვილოსნოს პოლიფერაციული მიომით დაავადებულ ქალებში საკვერცხის და საშვილოსნოს ტანის სონოანატომიური თავისებურებანი

როგორც ზემოთ უკვე იძო ნათქვამი I ბოლო წლებში განსაკუთრებით იმატა საშვილონოს ტანის მიომის სიხშირემ რეპროდუქციული პერიოდის ქალებში V მაღალია აგრეთვე ამ ასაკში პროლიფერაციული სტრუქტურის მქონე მიომების სიხშირე V

შესაბამისად I სონოსკოპიური კვლევის მიზანს წარმოადგენს პროლიფერაციული მიომისათვის დამახასიათებელი პერიფერიული და შიდა სისხლისმიმოქცევის შეფასება I რეზისტენტობის ინდექსის დადგენა და აღნიშნულ ავადმძოფებში საკვერცხეების ფოლიკულური აპარატის I ოვულაციის I ძვითელი სხეულის და სტრომის სონოანატომიური თავისებურებების დადგენა V

პროლიფერაციული მიომებისათვის დამახასითებელია მიომის კვანუში ფიბროზული სტრუქტურების სიმცირეI მკვეთრად გამოხატული პერიფერიული ვასკულარიზაცია და კვანუში შიდა სისხლის ნაკადის რეზისტენტობის ინდექსის დაბალი მაჩვენებელი დოპლეროგრაფიული ფერადი კარტინებით RI (რეზისტენტობის ინდექსი)  $<0,56$ .

ჩვენ კვლევაში ულტრასონოგრაფიულად საშვილოსნოს პროლიფერაციული მიომის დროს აღნიშნულია საკვერცხის სხვადასხვა სონოანატომიური ცვლილებებიV მათ შორის%

7 შემთხვევაში საკვერცხეში აღინიშნება მულტიფოლიკულოზიI 2 შემთხვევაში ჯიპერანდროგენემიაI 4,ში , ლუტეინიზირებული ფოლიკულიI 3, ში , არასრულფასოვანი ძვითელი სხეულიI 5,ში , ძვითელი სხეულის ცისტა და 9 შემთხვევაში საკვერცხის ნორმისათვის დამახასიათებელი სონოანატომიური თავისებურებებიV

ეVიV პროლიფერაციული მიომის მქონე რეპროდუქციული პერიოდის ქალებში სიხშირით პირველ ადგილზეა საკვერცხის ნორმული სტრუქტურა და შეადგენს შემთხვევათა ერთ მესამედს ანუ 30?,სI სიხშირით მეორე ადგილზეა საკვერცხის მულტიფოლიკულოზი და შეადგენს შემთხვევათა თითქმის ერთ მეოთხედს (23I33?)V

სიხშირით მესამე ადგილზეა საკვერცხეში ცისტური ძვითელი სხეული და შეადგენს 16I67?,სI მე,4 ადგილზეა , ლეტეინიზირებული ძვითელი სხეული და შეადგენს 13I33?,სI მე,5 ადგილზეა არასრულფასოვანი ძვითელი სხეული და შეადგენს 10?,სI სიხშირით მე,6 ადგილზეა საკვერცხის ჯიპერანდროგენემიისათვის დამახასიათებელი სონოანატომიური ცვლილებები და შეადგენს შემთხვევათა 6I67?,სV

ამრიგადI საშვილოსნოს პროლიფერაციული მიომების დროს რეპროდუქციული პერიოდის ქალებში აღინიშნება%

ფერადი დოპლეროგრაფიული კარტირებით აღინიშნება კვანუშიდა ვასკულირაზციის რეზისტენტობის ინდექსის , RI დაბალი მაჩვენებელი და პერიფერიული მკვეთრი ვასკულარიზაცია ვენური სტაზის ნიშნებითI რომელიც უფრო კარგად ვლინდება დოპლერის ენერგეტიკულ რეჟიმზეV მიომურ კვანუში დამახასიათებელია სტრომის ფიბროზული ქსოვილის გაიშვიათებაV

მიომის კვანუის მაღალი პროლიფერაციული აქტივობის დროს აღინიშნება საკვერცხეში მულტიფოლიკულოზისI ჯიპერანდროგენებისI ფოლიკულის ლუთეინიზაციისI არასრულფასოვანი ძვითელი სხეულისI ცისტური ძვითელი სხეულის და ამ ორგანოს ნორმისათვის დამახასიათებელი სონოანატომიური თავისებურებებიV

ექოსკოპიურად საკვერცხის ნორმალური სტრუქტურის შემდგომი მორფოლოგიური კვლევით ზოგიერთ შემთხვევაში დადგინდა მიკროტეკომატოზის არსებობაI გრანულოზური შრის ჯიპეპლაზია და აVშV

შემთხვევა 1V პაციენტი 37 წლის V ინტერსტიციული დიდი ზომის კვანძი კვანძის შიდა სისხლყარღვებში  $RI < 0,46$ , მაღალი პროლიფერაციული აქტივობით V საკვერცხეში მულტიფოლიკულოზი V

შემთხვევა 2V პაციენტი 30 წლის V პროლიფერაციული მიომაI ფერადი  
დოპლეროგრაფიული კარტინება კვანძის მკვეთრი პერიფერიული  
ვასკულარიზაციის V

შემთხვევა 3V პაციენტი 27 წლის V პროლიფერაციული მიომაV ენერგეტიკული  
დოპლერის რეზიმზე კვანძშიდა მკვეთრი ვენური შეგუბებაV

შემთხვევა 4V პაციენტი 36 წვ ინტერსტიციული სუბსეროზული კვანძიV  
მარპვენა საკვერცხის მულტიფოლიკულოზიV

შემთხვევა 5V პაციენტი 39 წვ მრავალკვანყოვანი მიომა RI<0,56V  
საკვერცხეში აღინიშნება სტრომის ჯიპერპლაზიაI საკვერცხის მოცულობის და  
სტრომის მოცულობის შეფარდება ნაკლბია 3I3 ერთეულზეI ეVიV სონოგრაფიულად  
აღინიშნება ჯიპერანდროგენემიის ნიშნებიV

შემთხვევა 6V პაციენტი 23 წლის V სუბმუკოზური პროლიფერაციული მიომაV  
საკვერცხეში ფოლიკულის ლუთეინიზაციაI ოვულაციის გარეშეV

შემთხვევა 7V პაციენტი 29 წV კვანძოვანი მიომა და ძვითელი სხეულის ცისტა  
მარცხენა საკვერცხეშიV

შემთხვევა 8V პაციენტი 30 წV კვანძოვანი პროლიფერაციული მიომაI მკვეთრი პერიფერიული ვასკულარიზაცია ფერადი დოპლეროგრაფიული კარტირებითV მარცხენა საკვერცხეში არასრულფასოვანი ძვითელი სხეულიV

ამრიგადI ექოსკოპიური კვლევა ხშირ შემთხვევაში წარმოადგენს კვლევის მნიშვნელოვან სარწმუნო ტესტს მიომის პროლიფერაციის ხარისხის დასადგენადI რასაც თავის მხრივ დიდი მნიშვნელობა აქვს აღნიშნული სიმსივნის მკურნალობაშიI ვინაიდან ხშირ შემთხვევაში მიომის დროს შეუყლებელი ხდება სხვა მოწოდებული დიაგნოსტიკური ტესტების გამოძენებაI არის შემთხვევებიI როცა ბიოფსიური მასალის კვლევა არ იყლევა საშუალებას შეფასდეს ენდომეტრიუმში (ხშირი სისხლდენების შედეგად მასალის სიმცირის გამოI ან კვანძის ზეწოლის პირობებში ენდომეტრიუმის ატროფიის გამო)V ჯიპერპლაზიური პროცესების ხასიათიI ენდომეტრიუმზე საკვერცხის ლუთეინიზაციის ან არასრულფასოვანი ძვითელი სხეულის ეფექტი და სხვაV

იმ შემთხვევაში კიI სადაც პროლიფერაციული მიომის დროს აღინიშნება საკვერცხის ნორმული სონოანატომიური სურათი აუცილებელ საჭიროებას წარმოადგენს შემდგომი კვლევის სახით დამატებით ჯორმონალური სტატუსის განსაზღვრა ციკლის ორივე ფაზაში და ენდომეტრიუმის მორფოლოგიური კვლევაV

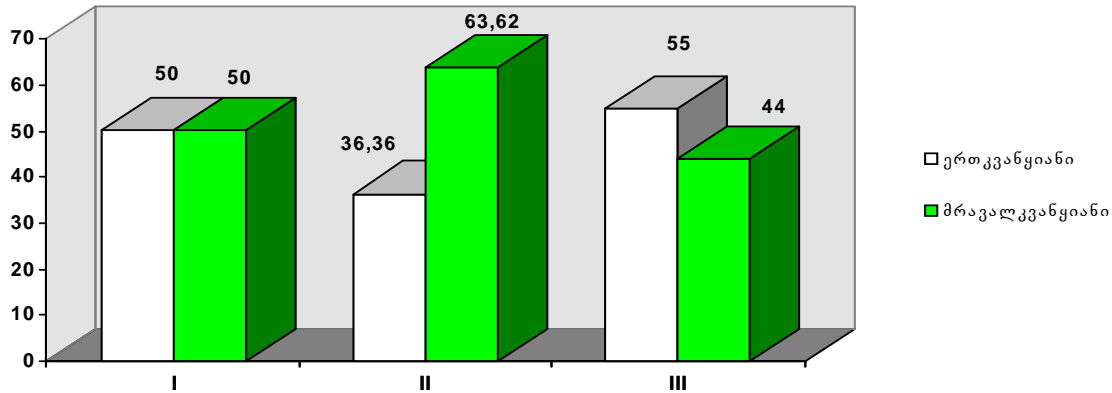
## 4V2V საშვილოსნოს ტანის პროლიფერაციული მიომის დროს საკვერცხის მორფოლოგიური ცვლილებები

საკუთარ კვლევაში ჩვენ შევისწავლეთ საკვერცხებში მიმდინარე მორფოფუნქციური ცვლილებების ხასიათი მხოლოდ საშვილოსნოს ტანის პროლიფერაციული მიომების დროს რეპროდუქციული პერიოდის 25,38 წV ასაკის ქალებშიV სულ შევისწავლეთ 73 შემთხვევაV მათ შორის 25,29 წლის ასაკამდე პაციენტები შეადგენს 8I22?,ს (6 შემთხვევა)I 30,34 წV 30I13?,ს (22 შემთხვევა) და 35,38 წV ასაკამდე პაციენტები შედაგენს 6I64?,ს (45 შემთხვევა)V ეVიV ძველაზე ხშირად საშვილოსნოს ტანის პროლიფერაციული მიომები გვხვდება 35,38 წV ქალებში და შეადგენს ძველა შემთხვევის ნახევარზე ბევრად მეტსI 30,34 წლის პაციენტები სიხშირით შეადგენს ერთ მეოთხედსI ხოლო 25,26 წლის პაციენტები კი გვხდება შედარებით იშვიათადV

საშვილოსნოს ტანის პროლიფერაციული მიომების ერთკვანყიანი და მრავალკვანყიანი ფორმები გვხვდება თანაბარი სიხშირითV მათ შორის ერთკვანყიანი 49I13?,ში (36 შემთხვევა) და მრავალკვანყიანი , 50I68?,ში (37 შემთხვევა)V ავადმდოფის ასაკის გათვალისწინებით ერთკვანყიანი და მრავალკვანყიანი მიომების სიხშირე არის მოცემულ მეორე დიაგრამაზეV

ერთკვანყიანი და მრავალკვანყიანი პროლიფერაციული მიომების სიხშირე  
ავადმძოფის ასაკის გათვალისწინებით

დიაგრამა 2



+ , საშვილოსნოს მიომით დაავადებული 25,29 წV პაციენტები

++ , საშვილოსნოს მიომით დაავადებული 30,34 წV პაციენტები

+++ , საშვილოსნოს მიომით დაავადებული 35,38 წV პაციენტები

თითქმის ძველა შემთხვევაში პაციენტების კლინიკაში შემოსვლის მიზეზი  
არის გაყლიერებული და გახანგრყლივებული სისხლისდენები ,  
ჯიპერპოლიმენორეაI რომელიც შეადგენს 67I12?,ს (49 შემთხვევა)V  
შემთხვევათა 24I66?,ში (18 შემთხვევა) აღინიშნება ჯიპერმენორეაI ხოლო  
8I22?,ში (6 შემთხვევა) მენსტრუაციული ციკლი დარღვეული არ არისV  
პაციეტებიდან მხოლოდ სამმა მიაკითხა კლინიკას მას შემდეგ რაც თვითონ  
იგრყნო მუცელის ღრუში მკვრივი წარმონაქმნიV აღნიშნულ გარემოებას ზაზს  
ვუსვამთ იმდენადI რამდენადაც პაციენტებმა ექიმს მიაკითხეს სიმსივნის  
აქტიური ზრდის ფაზაშიV

ჯისტოლოგიურად მიომის კვანყებში აღინიშნება მიოციტების  
პროლიფერაცია კვანყის პერიფერიაზე სისხლყარღვების ირგვლივI ზრდის  
ზონები ალაგ მკაფიოდ არის გამოხატული V კვანყის ცენტრალური ნაწილი

უპირატესად წარმოდგენილია მიოციტების დიფუზური პროლიფერატებითI  
სტრომა ასეთ შემთხვევებში გაიშვიათებულია (ფოტო II 2)V

ულტრასტრუქტურულად აღინიშნება პიკნოზი და მკვეთრი ვაკუოლიზაცია (ფოტო 3)I ერთეულ შემთხვევაში კვანების უპირატესად ცენტრალურ ნაწილში აღინიშნება ნეკრობიოზი და ნეკროზი (ფოტო 4)V

საშვილოსნოს ტანის პროლიფერაციული მიომებით დაავადებული რეპროდუქციული პერიოდის პაციენტებიდან ოპერაციის შემდეგ აღებულ ქირურგიულ მასალაში საკვერცხებში მიმდინარე პათოლოგიური ცვლილებების მიხედვით ჯორმონდამოკიდებული სტრუქტურების ჯიპერპლაზია (ფოლიკულური ცისტებისI თეკოამატოზისI სტრომის ჯიპერპლაზიის სახით) აღინიშნება 63I01?,ში (46 შემთხვევა)I სეროზულკედლიანი ცისტომა 2I74?,ში (2 შემთხვევა)I ძვითელი სხეულის პათოლოგია კი 36I99?,ში (27 შემთხვევა)V

როგორც აღმოჩნდაI საკვერცხის ქსოვილის ჯორმონდამოკიდებული სტრუქტურების ჯიპერპლაზია ხშირია და შეადგენს ძველა შემთხვევის თითქმის ორ მესამედსV კვანების ზომების მიხედვით კი იგი ხშირია ერთკვანებიან მიომებში და შეადგენს 57I10? (32 შემთხვევა)I მრავალკვანებიან მიომებში კი შეადგენს 42I9?,ს (24 შემთხვევა)V

ჩვენს მიერ შესწავლილი საშვილოსნოს ტანის პროლიფერაციული მიომით დაავადებული პაციენტებიდან ძვითელი სხეულის პათოლოგია აღნიშნება 36I99?,ს (27 შემთხვევა)V მათ შორის არასრულფასოვანი ძვითელი სხეული აღინიშნება 62I96?,ში (17 შემთხვევა)I ხოლო ლუთეინური ცისტები , 37I04?,ში (10 შემთხვევა)V

კვანების რაოდენობის მიხედვით ძვითელი სხეულის პათოლოგია გამოხატულია ცხრილშიV

ძვითელი სხეულის პათოლოგია საშვილოსნოს  
პროლიფერაციული მიომით დაავადებულ ქალებში

ცხრილი .1

ქალის ასაკი	25,29 წV		30,34 წV		35,38 წV	
	ერთ, კვანყიანი	მრავალ, კვანყიანი	ერთ, კვანყიანი	მრავალ, კვანყიანი	ერთ, კვანყიანი	მრავალ, კვანყიანი
ძვითელი სხეულის პათოლოგია						
არასრულფასოვანი ძვითელი სხეული	2		2	4	2	7
ლუთეინური ცისტა	1	1		2	2	4

ძვითელი სხეულის პათოლოგია 25,29 წლის ასაკის პაციენტებში აღინიშნება 66I67?,ში (4 შემთხვევა)I 30,34 წV პაციენტებში 36I4?,ში (8 შემთხვევა) და 35,38 წლის პაციენტებში 33I33?,ში (15 შემთხვევა)V კვანყების ზომების მიხედვით კი ზემოხსენებული პათოლოგია ხშირია მრავალკვანყიან მიომებში და შეაღგენს 66I67?,ს (18 შემთხვევა) ერთკვანყიან მიომებში კი შეაღგენს 33I33?,ს (9 შემთხვევა)V უნდა აღვნიშნოთI რომ ძვითელი სხეულის პათოლოგიის დროს შემთხვევათა 62I96?,ში (17 შემთხვევა) აღინიშნება სისხლჩაქცევები ძვითელ სხეულშიV

ჯისტომორფოლოგიური კვლევის შედეგად საკვერცხებში ზემოხსენე, ბულ ესტრადიოლდამოკიდებულ სტრუქტურების ცვლილებებთან პარალელურად აღმოჩენილია სხვა თანმხლები პათოლოგიური პროცესი% 2 შემთხვევაში აღინიშნება სტრომის ჯიპერპლაზიაI 2,ში ფოლიკულომაI 9,ში ენდომეტრიოიდული ცისტებიI 7,ში ზედაპირული სეროზული პაპილომაI 4 შემთხვევაში , აპოპლექსია საკვერცხის სტრომაშიV

საშვილოსნოს ტანის პროლიფერაციული მიომის დროს საკვერცხების ჯისტოლოგიურიI ჯისტოქიმიურიI ელექტრონულ,მიკროსკოპული და მორფომეტრიული კვლევის საფუფულზე გამოიძო ყირთადად ორი მიმარ,

თულება% პირველი , დიდი უპირატესობით ფოლიკულური აპარატის დისგენეზია და მეორე , ძვითელი სხეულის დისგენეზია

#### 4V2V1V საშვილოსნოს ტანის პროლიფერაციული მიომების დროს საკვერცხების ფოლიკულური აპარატის მორფოფუნქციური ცვლილებები

ესტრადიოლდამოკიდებული სტრუქტურების ცვლილების სიხშირს და ხასიათის შესახებ ინფორმაცია მოცემულია ცხრილში .10V

საკვერცხის ჯორმონდამოკიდებული სტრუქტურების ცვლილებების ხასიათი  
საშვილოსნოს ტანის პროლიფერაციული მიომით დაავადებულ ქალებში

ცხრილი 10

საკვერცხის ცვლილებები ავადმოფის ასაკი	ფოლიკულური ცისტა	წვრილ, ცისტურ ი გადა, გვარება	ცისტურად ატერე, ზიული ფოლიკ ულები	ტეკო, მატოზი	ფოლიკ ულომა	სტრომი ს ჯიპერ, პლაზია
25,29 წV	2			2		
30,34 წV	10	2	2	4		
35,38 წV	16	3	9	7	2	2
ჰამი	28	5	11	13	2	2

ასაკის მიხედვით ფოლიკულური ხასიათის ცისტები და ჯორმონდამოკიდებული სტრუქტურების ჯიპერპლაზია 25,29 წლის პაციენტებში სულ 6 პაციენტიდან აღენიშნება ორსI ეVიV შემთხვევათა ერთ მესამედს და შეადგენს 33I33?,სV უნდა აღვნიშნოთI რომ ამ ორივე შემთხვევაში ფოლიკულურ ცისტასთან ერთად აღინიშნება ტეკა ინტერნის ჯიპერპლაზიაV 30,34 წV ასაკის 22 პაციენტიდან საკვერცხის ზემოხსენებული ცვლილებები აღენიშნება 14,სI ეVიV ორ მესამედს და შეადგენს 63I64?,სV მათ შორის უნდა აღვნიშნოთI რომ ტეკა ინტერნას ჯიპერპლაზია აღინიშნება 4 შემთხვევაშიV 35,36 წV ასაკის 45 პაციენტიდან ფოლიკულური ცისტები და

ჯორმონდამოკიდებული სტრუქტურების ჯიპერპლაზია აღმოაჩნდა 28 პაციენტს I ეVიV ნახევარს და შეადგენს 62I22?, სV მათ შორის ფოლიკულური ხასიათის ცისტებიდან ტეკა ინტერნას ჯიპერპლაზია თან ახლდა შვიდს I სტრომის ჯიპერპლაზია ორს და ფოლიკულომა ორს (ცხრილი 2)V როგორც აღმოჩნდა I ფოლიკულური ხასიათის ცისტების და მათთან ერთად ჯორმონ, დამოკიდებული სტრუქტურების ჯიპერპლაზია საშვილოსნოს ტანის პროლიფერაციული მიომით დაავადებულ ქალებში ხშირია 35,38 წლის და 30,34 წV პაციენტებში V რაც შეეხება 25,29 წV პაციენტებს I აქ სიხშირით გამოირჩევა ძვითელი სხეულის პათოლოგია I რასაც განვიხილავთ მომდევნო თავში V

რაც შეეხება საკვერცხების ზემოხსენებული პათოლოგიის დროს სხვა თანმხლები პათოლოგია მოცემულია ცხრილში 11V

### საკვერცხის სხვა პათოლოგიური ცვლილებები

ცხრილი 11

საკვერცხის ცვლი, ლებები ასაკი	ენდომეტროიდული ცისტები	ზედაპირული პაპილომა	ცისტომა
25,29 წV			
30,34 წV	2		
35,38 წV	9	7	3
ჰამი	11	7	3

ჩატარებული კვლევის შედეგად გამოირკვა I რომ 25,38 წV პაციენტების საკვერცხები ხასიათდება ცვლილებებით I რომლებიც საძოველთაოდ მიღებული შეფასების მიხედვით დასახელებული ორგანოს დისგენეზიას გამოხატავს V სახელდობრI ძველა შემთხვევაში საკვერცხის სტრომა წარმოდგენილია თეკა

ქსოვილით (ფოტო 5I 6)I რომელიც ზშირად მიკროთეკომებსაც წარმოქმნის V განიცდის ჯიპერპლაზიას V ულქტრასტრუქტურულად თეკა უპრედების აქტივაცია მათი ბირთვების ქრომატინი თავმოძრილია პერიფერიაზე მემბრანების ახლოსI ნუკლეოპლაზმაში აღინიშნება ნათელი უბნებიI სტრომა მათ გარშემო ჯიპერპლაზიურიაI შეიცავს დიდლი რაოდენობით კოლაგენურ ბოჭკოებს (ფოტოტ 7,8)V ამ ფონზე იშვიათია ჯიალინიზებული ანუ თეთრი სხეულები (ფოტო 9I 10I 11)V ზემოხსენებული თეკა ქსოვილის უპრედების მცირე ნაწილი შეიცავს სუდანოფილურ ლიპიდებს (ფოტო 12)V რომელიც მათი ჯორმონის მორფო,

ლოგიურ ექვივალენტს წარმოადგენს V მოხსენებული იმას მიუთითებს I რომ თეკა უპრედების უმცირესობა ჯორმონულად აქტიურია და სპეციფიკურ ფუნქციას ასრულებს V მიუხედავად იმასაI რომ თეკა ქსოვილში ჯორმონების ექვივალენტი სუდანოფილური ლიპიდების შემცველი უპრედები მცირე რაოდენობით ვლინდებაI მაინც ჯიპერპლაზიებული თეკა ქსოვილის მიერ ჯორმონების პროდუქცია უფრო ჭარბი იქნებაI ვიდრე ნორმალურ საკვერცხეში (კიდევაცI რომ თეკა ქსოვილის ძველა ჯორმნის სინთეზით ხასიათდებოდეს)V

ამგვარადI ჩვენს მიერ ჩატარებული გამოკვლევები უჩვენებსI რომ დისგენეზიურ საკვერცხეებში თეკა ქსოვილის ჯიპერპლაზიას თან ახლავს მეტი ჯორმონული აქტივობაI ვიდრე ნორმული საკვერცხეების თეკა ქსოვილსI მიუხედავად იმისაI რომ ამ უკანასკნელში სუდანოფილური ლიპიდები ვლინდება თითქმის ძველა თეკა უპრედშიV გასათვალისწინებელიაI რომ დისგენეზიური საკვერცხეების ჯიპერპლაზიებული თეკა ქსოვილის ის ნაწილიI რომელიც სულფანილურ ლიპიდებს არ შეიცავს აუცილებლად გარკვეულ ფუნქციას ასრულებს და არ არის გამორიცხულიI რომ მათშიც ხდებოდეს ჩვენთვის უცნობიI თუნდაც ანომალური ნივთიერებებისI მათ შორის ჯორმონების სინთეზიV

ნორმულ საკვერცხეში როგორც უკვე ცნობილია მუდმივად მიმდინარეობს პრიმორდიული ფოლიკულების მომწიფებაI რომლებიც ქერქოვან შრეში განლაგებული არიან მცირე ჰგუფების სახითV საშვილოსნოს მიომით დაავადებულ ქალებში კი ისინი დისგენეზური საკვერცხეების პირობებში განიცდიან განსაკუთრებულ სიმცირეს (ფოტო 13)V საკვერცხეების ტოტალური ეკვატორული სერიული მიკროტომით მიღებულ ანათლებში გამოვლინდაI რომ თითოეულ ანათალში გაფანტულად გვხვდება ერთი ან ორი პრიმორდიული ფოლიკულიV არსებული პრიმორდიული ფოლიკულების ნაწილი გამოფენილია კუბური ეპითელიუმითI რომლებშიც ბირთვი პოლარიზებულია და ფუყეზეა მოთავსებულიI ნაწილი ფოლიკულებისა გამოფენილია დაბალიI კუბური ან ბრტმელი ეპითელიუმით და შეიცავს არაპოლიარიზებულ ცენტრალურად მდებარე ბირთვსV კვერცხუპრედებიI რომლებიც კუბური ეპითელიუმით გამოფენილ ფოლიკულებშიაI მკვეთრად არის გამოძოფილი ეპითელიუმიდან კვერცხუპრედის გარსის კონტურების სიმკვეთრის გამო (ფოტო 14)V

ასეთი კვერცხუპრედის ბირთვის გარსიც აგრეთვე მკვეთრი კონტურებით განისაზღვრება ციტოპლაზმისაგანV ციტოპლაზმა ეოზინოფილურად ჯომოგენურიI ბირთვი მკრთალი ბაზოფილური და ჯომოგენურია კარიოპლაზმაში ქრომატინის თანაბარი განაწილების გამოV იმ ფოლიკულებშიI რომლებიც დაბალი კუბური ან ბრჭყელი ეპითელიუმით არის გამოფენილი კვერცხუპრედი მდებარეობს ცენტრალურადV გარსს არ აქვს მკვეთრი კონტურები და ამიტომ კვერცხუპრედი არ არ არის გამიპნული გამომფენი ეპითელისაგანV ასევე არამკვეთრი კონტურებით ხასიათდება ბირთვიც (ფოტო 15)V ციტოპლაზმა მკრთალი ეოზინოფილურიაI ნაზი მარცვლოვანიI ბირთვი მკრთალი ბაზოფილური ჯომოგენურიI მდებარეობს ექსცენტრულადV ეს კვერცხუპრედი და მთლიანად ფოლიკულები ჩვენს მიერ მიჩენულია დისტროფიისI ნეკრობიოზის მდგომარეობაში მძოფ ფოლიკულებადI რომლებსაც შემდგომი განვითარების ანუ ზრდის ნიშნები დაკარგული აქვთ (ფოტო 18I 19)V

გამოვლენილ პრიმორდულ ფოლიკულათა შორის არის ერთეული მზარდი პირველადი ფოლიკულიV თავდაპირველად იწმება კუბური ფორმის გრანულოზური უპრედების პრიზმულ ფორმებში გადასვლა და ოოციტი იზრდება ზომაში ანუ წარმოიქმნება პირველადი ფოლიკულიV

ამდენადI ფოლიკულები ზრდის სხვადასხვა ფაზაში იმძოფება% ფოლიკულები ორ ან სამ შრედ ირგვლივ განლაგებული კუბური ეპითელიუმითI ფოლიკულები ხუთ ან ათ შრედI აგრეთვე ირგვლივ განლაგებული კუბური ეპითელიუმითI რომელთა ნაწილს აქვს მიღებული გრანულოზური უპრედების თვისებებიV ასეთი ფოლიკულები ბორბლისებრი ფოლიკულების შთაბეჭლილებას ტოვებს და მათში მოთავსებული კვერცხუპრედი არ ხასიათდება მკვეთრი კონტურებითI ამიტომ არ არის მკვეთრად გამიპნული ეპითელოიუმიდანV მათი ციტოპლაზმა მკრთალი ეოზინოფილურიაI ნაზმარცვლოვანი და აქვთ ექსცენტრული მდებარეობაV მკრთალი

ბაზოფილური ბირთვით იქმნება შთაბეჭდილებაI რომ ამ ეVVV ბორბლისებრ  
ფოლიკულებში კვერცხუპრედი ნეკრობიოზის მდგომარეობაშიაV

აღნიშნულს ადასტურებს ისიც I რომ ერთეული ბორბლისებრი ფოლიკული დეზორგანიზაციის ფაზაში I როდესაც კვერცხუპრედი ლიზისის მდგომარეობაშია და მასში არის ბირთვის კარიოლიზისის ნიშნები V ეVიV კვერცხუპრედი დანეკროზებულიაI ხოლო ფოლიკულის მრავალრიგად დალაგებული ეპითელიუმი I რომლებიც დეზორგანიზაციას განიცდის I აგროვე შეიცავს დანეკროზებულ კუბურ ეპითელოიუმს და გრანულოზურ უპრედებს (ფოტო 16I 17)V ზოგიერთ შემთხვევაში ზემოხსენებულთან ერთად ვლინდება მწიფე გრაფის ბუშტუკიც I მაგრამ ეს ბუშტუკი არ მდებარეობს საკვერცხის მფარავი სეროზული გარსის ქვეშ I შეიცავს დანეკროზებულ და დეზორგანიზებულ კვერცხეპრედს V ამასთან ფოლიკულის ბორცვში არ არის ექსნერის სხეულაკები და გრანულოზურ უპრედთა უმრავლესობა დისტროფიის და ნეკროზის მდგომარეობშია V

ამასთან ერთად საკვერცეში არის სხვადასხვა ზომის ერთ ან რამდენიმე ცისტი V იმ შემსვევაში I სადაც ცისტების რიცხვი ხუთს აღწევს გამოხატულია პოლიცისტოზი V ისინი გამოფენილია ერთშრიანი გაბრტბელებული ეპითელიუმით I ხოლო ცისტების შიგთავსი ზოგპერ კოლოიდის სიმკვრივის I ზოგპერ კი თხიერი ეოზინოფილური მასაა V

ზემოაღნიგნული კვლევა იყლევა საფუფველს იმის შესახებ I რომ საკვერცხის დისგენეზიის პირობებში ფოლიკულები შემდეგნაირად არის წარმოდგენილი %

I V პრიმორდული ფოლიკულების რიცხვი მცირეა I მათი ნაწილი ნეკრობიოზის მდგომარეობაშია და ხდება მათი ატრეზია V ნაწილი ფოლიკულების იზრდება I მაგრამ მათგან არ ხდება გრააფის ბუშტუკის ჩამოძალიბება ისინი წმვეტენ ზრდას განვითარების სხვადასხვა სტადიაში (ფოტო 21) და განიცდის ნეკროზს და დეზორგანიზაციას V

2V ზოგპერ მათგან ვითარდება ფოლიკულური ცისტები (ფოტო 22) I შედარებით იშვიათად ხდება გრააფის ბუშტუკების ჩამოძალიბება I მაგრამ ისიც

არ აღწევს თავის განვითარების ბოლო გასკდომის სტადიას V ვითარდება კვერცხუპრედის ნეკროზი და მათ ადგილას ძალიბდება დიდი ზომის ცისტა (ფოტო 23I 24I 25I 26)V

შესაბამისად ამ ჰგუფის საკვერცხებში აღინიშნება შიგნითა თეკა გარსის ჯიპერპლაზია რობოსომების და პოლისომების ჯიპერპლაზიით I ენდოპლაზმის გაგანიერებული ცისტერნებით და ბირთვის ეუქრომატიზაციით (ფოტო 27)V უკანასკნელის საფუყველზე მიმდინარეობს ესტრიოლის და ესტროგენების სინთეზიI რაც იწვევს გლუკი კუნთის უპრედების გამრავლების ინტენსიფიკაციას და კეთილთვისებიანი სიმსივნური კერების ჩამოძალიბებასV

3V ხშირად ჩვენ შემთხვევაში გრააფის ბუშტუკის ან გრააფის ბუშ, ტუკისგან განსხვავებული ფოლიკულური ცისტის კედელში აღინიშნება გრანულოზურ უპრედოვანი გარსის ჯიპერპლაზია (ფოტო 28)I ულტრასტრუქტურულად აღინიშნება ენდოპლაზმური ბადის გაგანიერებული ცისტერნებიI რიბოსომების და პოლისომების ჯიპერპლაზიით და ბირთვის ეუქრომატინიზაციით (ფოტოტ 29) რის გამოც მოხსენებული გარსი გასქელებულია და შეიცავს ექსნერის სხეულაკების დიდ რაოდენობასI მათ შორის აუზების სახით წარმოდგენილი დიდი ზომის ექსნერის სხეულაკებით (ფოტო 31II 31)V

ამავე ჰგუფის რიგ შემთხვევებში აღინიშნება გრააფის ბუშტუკის ტრასნფორმაცია მენსტრუაციის ძვითელ სხეულადV მაგრამ ძვითელი სხეულის პერიფერიაზე უხვად არის შერჩენილი გრანულოზური უპრედებიI რაც იმას ნიშნავსI რომ გრააფის ბუშტუკის გასკდომის შემდეგ არ ხდება სრულფასოვანი ძვითელი სხეულის წარმოქმნა შერჩენილი გრანულოზურუპრედოვანი გარსის ფუნქციურ,ჯორმონული აქტივობის გამოV

ზემოხსენებული ძვითელი სხეულის უპრედები მცირე ზომისააV აღინიშნება კარიოპიკნოზი V ჩვენ კვლევაში აღებულია ისეთი შემთხვევებიI სადაც ციკლის მიხედვით ძვითელი სხეული უნდა ძოფილიძო მე,2 ფაზის პირველი კვირის დასასრულის შესაბამისიI ეVიV 7,8 დღეV ამ პერიოდისთვის კი ძვითელი სხეული აღწევს თავისი სტრუქტურული და ფუნქციური აძვავების

ფაზას V ამ დროისათვის დამთავრებულია გრანულოზური უპრედების  
ლუთეინიზაცია V

ჩვენ შემთხვევაში გრანულოზური უპრედები არ განიცდიან სრულფასოვან ლუთეინიზაციას და ადგილი აქვს გრანულოზური უპრედების პერსისტენციას (ფოტო 32I 33I 34) აღინიშნება არათანაბარი ლუთეინიზაცია და ვრცელი სისხლჩაქცევები (ფოტო 36I 37I 38)V ერთეული გრანულოზური უპრედები განიცდიან არათანაბარ ლუთეინიზაციასI რის შედეგადაც ულტრასტრუქტურუად დიფერენცირდება უმწიფარიI ხოლო უფრო იშვიათად მწიფე გრანულოციტი (ფოტო 40V უდტრასტრუქტურულად შიდა თეკა შრის უპრედებში აღინიშნება აქტივაცია ბირთვის მემბრანის ღრმა ინვაგინალიზაციებითI ბირთვის ფორების გაგანიერებითI ენდოპლაზმური ბადის გაგანიერებითI რიბოსომების და პოლისომების ჯიპერპლაზიით (ფოტო 35)V აღნიშნულიდან გამომდინარე ნათლად ჩანსI რომ ძალიბდება არასრულფასოვანი ძვითელი სხეული არასრულფასოვანი ლუთეინიზაციითV ერთეულ შემთხვევებში კი რჩება შთაბეჭდილებაI რომ ძვითელ სხეულში წარმოქმნისთანავე იწმება მისი რეგრესიI ანუ უკუგანვითარებაV ულტრასტრუქტურულად აღინიშნება პიკნოზური ბირთვები კოლაგენური კოლაგენური ბოჭკოების პროლიფერაციით (სურV 41I 42I 43I 44)V ორივე შემთხვევაში ადგილი აქვს ძვითელი სხეულის ფუნქციურ უკმარისობასI ეVიV იქმნება პროგესტერონის დეფიციტიV ამ შემთხვევაში ძვითელ სხეულში ჯისტოქიმიურად აღმოჩენილია სუდანოფილური ლიპიდების არსებობა (ფოტო 46)I რაც ადასტურებს რომ შერჩენილ ტეკა, გრაანულოზურ კომპლექსში გრუელდება ესტროგენების სინთეზიV

ჩვენ მასალაზე პროლიფერაციული მიომების დროს ათ შემთხვევაში აღინიშნება ლუთეინური ცისტებიV როგორც ცნობილიაI ლუთეინური ცისტები წარმოიქმნება სოლიტარული ფოლიკულური ცისტის კედელში უპრედების ლუთეინიზაციის შემდეგI ამ დროს ცისტის შიგნითა ზედაპირი ძვითელი ფერისააV ლუთეინური ცისტები აზასიათებს ორსულობას და ვითარდება სისხლში ქორიალური გონადოტროპინის მაღალი კონცენტრაციის გამოV

უკანასკნელი ვლინდება მაშინI როდესაც ტროფობლასტური ავადმძოფობის ან  
მრავალწლიანობის პირობებში ნაძოფის ქსოვილების მიერ არ ხდება მათი  
აღეპვატური ათვისებაV

ლუთეინური ცისტები რეგრესს განიცდის ორსულობის შეწმვეტის შემდეგ V მათი სპონტანური რეგრესი შეიყლება გაგრეულდეს ექვსი თვეI ამ პერიოდში დამახასიათებელია ანდროგენების გაყლიერებული პროდუქცია და შესაბამისად ვლინდება ვირილიზაციის სიმპტომიV ლიტერატურული მონაცემებით ცნობილია აგრეთვე ლუთეინური ცისტების იატროგენული ფორმებიI რაც ძალიბდება ოვულაციის პროცესის არაადეკვატური ეკზოგენური სტიმულაციითV

საკვერცხების ცისტური წარმონაქმნებიდან არსებობს კიდევ ცისტური ძვითელი სხეულიI რომელიც ნორმალური ძვითელი სხეულის ანატმიურ ვარიანტს წარმოადგენსI ამოფენილია ფიბროზული ქსოვილით და გამოხატულია გრანულოზო , თეკა ლუთეინური უპრედებითV ჩვენ შემთხვევებში ლუთეინური ცისტები გამოხატავს ან აბორტის მოვლენას ან ვითარდება ოვულაციის შემდეგ ძვითელი სხეულის ნაადრევი რეგრესის ფონზე განვითარებული დისტროფიულ,ნეკროზული პროცესების დაჩქარების შედეგადV ძველა შემთხვევაში აღვილი აქვს პროგესტერონის დეფიციტისV ამასთან თუ გავითვალისწინებთI რომ ზოგ შემთხვევაში დამახასიათებელია ანდროგენების სტიმულაციაI უკანასკნელი ესტრადიოლის სინთეზის წინამორბედს წარმოადგენსV

- 3) ჯისტოლოგიურიI ჯისტოქიმიური და ელექტრონომიკროსკოპული კვლევის საფუძველზე შეიყლება ითქვასI რომ საშვილოსნოს ტანის პროლიფერაციული მიომების დროს რეპროდუქციული პერიოდის ქალებში საკვერცხებში აღინიშნება შემთხვევათა უმრავლესობაში დამახასიათებელი ფოლიკულური აპარატის დისგენეზია და ტეკა, გრანულოზური კომპლექსის ჯიპერპოლაზიითI რაც შესაბამისად აყლიერებს ესტროგენების სინთეზს და იქმნება ჯიპერსესტროგენემიაV
- 4) შემთხვევათა უმცირესობაში ძალიბდება არასრულფასოვანი ძვითელი სხეული ან ლუთეინური ცისტებიI რის ფონზეც ძალიბდება

პროგესტერონის მკვეთრი დეფიციტი და ყლიერდება ესტროგენების  
სინთეზიV

4V3V ფოლიკულის შიდა თეკა გარსის მიკრორფოლოგიური თავისებურებანი  
საშვილოსნოს ტანის პროლიფერაციული მიომების დროს

როგორც ზემოთ იძო აღნიშნულიI საშვილოსნოს ტანის პროლიფერაციული  
მიომის შემთხვევათა 60I27?,ში 25,38 წV ქალების საკვერცხებში  
გამოვლინებულია ფოლიკულური ცისტები და თეკომატოზებიV  
დასახელებული ცისტების რაოდენობა საშუალოდ სამი ან ოთხიაI ზოლო მათი  
დიამეტრი 115 სმ,ის ფარგლებშიაV ზემოთ ისიც იძო აღნიშნულიI რომ ეს  
საკვერცხები არ წარმოადგენს თანდაძოლი დისგენეზის და მასთან  
დაკავშირებული პოლიცისტოზის გამოხატულებასV ამგვარადI ჩვენს მიერ  
გამოკვლულია შემთხვევებიI როდესაც ნორმალური განვითარების  
საკვერცხებში ფოლიკულების ზრდისI მომწიფებისI ოვულაციის დარღვევის  
ეპიზოდები აღმოჩნდებაI როგორც ჩანს საშივლოსნოს ტანში მიომების  
აღმოცენება და განვითარება მიმდნარეობს ფოლიკულების ზრდისა და  
ფუნქციის დარღვევის პარალელურადV ამიტომ როგორც ზემოთ (იხილე თავი  
3) არის აღნიშნული კვლევის ერთ,ერთი ამოცანა გახდა ფოლიკულების  
მორფოლოგიური და ფუნქციური მდგომარეობის გამოკვლევა საშვილოსნოს  
პროლიფერაციული მიომების დროს რეპროდუქციული პერიოდის ქალებშიV

ჩატარებული კვლევის შედეგად გამოირკვაI ორი მწიფე ფოლიკულისI  
გრააფის ბუშტუკების და ცისტურად გარდაქმნილი გრააფის ბუშტუკების  
თითო შემთხვევის თითო ფოლიკულის 100 მხედველობის ველში საშუალო  
დიამეტრის მაჩვენებლი 1,115 სმ,ია ანუ მკმV დიამეტრს შედაგენსV ამათგან  
შიდა თეკა გარსის საშუალო მაჩვენებელი 30I85 მკმ,იაI მათ შორის მინიმალური  
დიამეტრი 4I7 მკმ,იაI მაქსიმალური , 57 მკმV ამ პირობებში ვარიაციული  
რიგიდან გამოძოფილია 10 კლასი (იხილე ცხრილი 12I მრუდი 33)I რომელთაგან

+ კლასს წარმოადგენს ფოლიკულების რეგიონები I რომლებშიც შიდა თეკა გარსის სისქე 4I7,14I7 მკმ,ს უდრის I ++, ს წარმოადგენს რეგიონები I რომლებშიც შიდა თეკა გარსის სისქე 14I7,19I4 მკმ,ს უდრის I +++ კლასს შედაგენს რეგიონები 19I4,24I1 მკმ,ის დიამეტრის მქონე შიდა თეკა გარსით I +: კლასს 24I1, 22I8 მკმ დიამეტრის სისქის I : კლასს 28I8,33I5 მკმ დიამეტრის I :+ კლასს 33I5, 38I2 მკმ დიამეტრის I :+++ კლასს 38I2,42I9 მკმ ლიამეტრის I :+++ კლასს 42I9, 47I6 მკმ დიამეტრის I +; კლასს , 47I6,52I3 მკმ დიამეტრის და ; კლასს შეადგენს რეგიონები 52I3,57 მკმ დიამეტრის მქონე შიდა თეკა გარსით V აღნიშნული კლასებიდან პირველი სამი კლასი არის თეკა გარსის სისქის მცირე მაჩვენებელი I მე,4,დან მე,8 კლასის ჩათვლით საშუალო I მე,9,10 კლასები კი შიდა თეკა გარსის სისქის მაღალი მაჩვენებელი V

ცისტური ფოლიკულის შიდა თეკა გარსის სისქე საშვილოსნოს ტანის

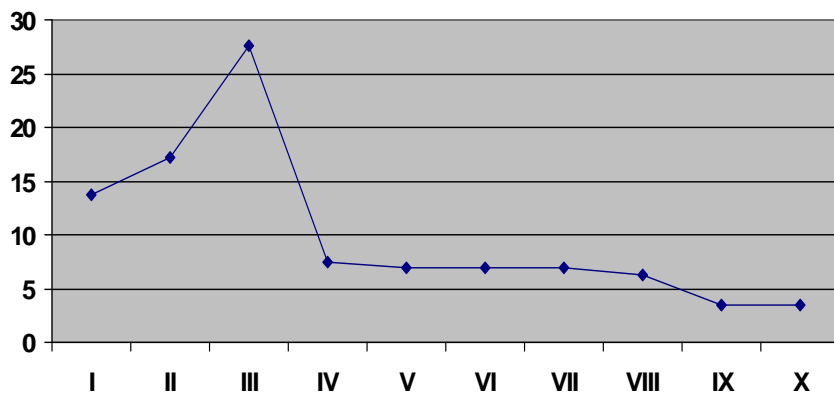
მიომების დროს (მკმ)

ცხრილი 12

რიგი	კლასები	ფოლიკულის შიდა თეკა გარსის სისტე 100 მხედვ V ველიდან
+	4I7,14I7	48 , 13I79?
++	14I7,19I4	60 , 17I24?
+++	19I4 , 24I1	96 , 27I59?
+:	24I1 , 28I8	26 , 7I47?
:	28I8 , 33I5	24 , 6I9?
:+	33I5 , 38I2	24 , 6I9?
:++	38I2 , 42I9	24 , 6I9?
:+++	42I9 , 47I6	22 , 6I32?
:+++	42I9 , 47I6	22 , 6I32?
+:;	47I6 , 52I3	12 , 3I45?

;	52I3 , 57	12 , 3I45?
---	-----------	------------

ცისტური ფოლიკულის შიდა თეკა გარსის სისქე საშვილონოს მიომების დროს  
მრუდი 33



მოხსენებულიდან ირკვევაI რომ დასახელებული კლასებიდან სისხშირით პირველ ადგილზეა მე,3 კლასის რეგიონებიI სადაც შიდა თეკა გარსის სისქე 19I4,24I1 მკმ,იაV ეს კლასი მოდურია და ძველა რეგიონის 27I59?,ს წარმოადგენსV მე,2 ადგილს სიხშირით იჭერს მე,2 კლასის რეგიონებიI რომლებშიც თეკა გარსის სისქე 14I7,19I4 მკმ,ს უდრისV ასეთი სისქის მქონე შიდა თეკას რეგიონები 17I24?,ს წარმოადგენსV მე,3 ადგილი სიხშირით უჭირავს პირველი კლასის რგეიონებსI რომელთა სისქე 4I7,14I7 მკმ,ია და ამ კლასის რგეიონების სიხშირე 13I79?,ით არის წარმოდგენილიV

ამგვარადI გამოკვლეული ფოლიკულების შიდა თეკა გარსი თითქმის 3/5, იაI ეVიV ნახევარზე ბევრით მეტი (58I72?) ხასიათდება სისქითI რომელიც პირველ სამ კლასშიაI ანუ 4I7,24I1 მკმ,ის ფარგლებშიაV ამ კლასებს პირობითად ვუწოდებთ შიდა თეკა გარსის სისქის დაბალი მაჩვენებლების მქონე

რეგიონების ამსახველ კლასებს V შემდეგი მე, 4I 5I 6I 7I 8 კლასების მაჩვენებლებით დახასიათებული რეგიონები ერთნაირი სიხშირით არის წარმოდგენილი და შესაბამისად , 7I47?, სI 6I9?, სI 6I9?, სI 6I9?, სI 6I32?, ს შეადგენენ V ერთად ასეთი სისქის მქონე რეგიონები შეადგენს 1/3, ზე მეტს , 34I38?, სV ამ კლასებს ჩვენ აგრეთვე პირობითად ვუწოდებთ ცისტური ფოლიკულის შიდა თეკა გარსების საშუალო სისქის გამომხატველ მაჩვენებელს V

ვარიაციული რიგიდან გამოძოფილ კლასებს შორის მე, 8 კლასს წარმოადგენს რგეიონები I რომლებშიც შიდა თეკა გარსის სისქე 47I6, 52I3 მკმ, ია და მეათე კლასს რეგიონები I რომლებშიც შიდა თეკა გარსის სისქე 52I3, 57 მკმ, ის უდრის V თითოეული ამ კლასის გამომხატველი რეგიონები შეადგენს 6I9?, სV

ჩვენ მიერ ცისტური ფოლიკულების კვლევის პარალელურად ჩატარდა ნორმალური ფოლიკულის მორფომეტრიული კვლევა V მასალა აღებული იძო სამედიცინო ექსპერტიზის კათედრიდან I გამოძენებული იძო 28, 56 წლის ქალების საკვერცხები V

როგორც გამოკვლევის შედეგებიდან ჩანს I ნორმალური გრააფის ბუშტუკის I ფოლიკულის კედლის სიქე შეადგენს საშუალოდ 0I7, II2 სმ, სV

შიდა თეკა გარსის სისქის საშუალო მავენებელი უდრის 19I1 მკმ, სI მათ შორის მინიმალური დიამეტრი 4I7 მკმ, სI მაქსიმალური დიამეტრი კი 33I5 მკმ V ამ პირობებში ვარიაციული რიგიდან გამოძოფილია 5 კლასი (იზილე ცხრილი 13I მრუდი 34) I რომელთა პირველ კლასს წარმოადგნს ნორმული ფოლიკულების რგეიონები I რომლებშიც შიდა თეკა გარსის სიქე 4I7, 14I7 მკმ, ს უდრის I ++, ს წარმოდაგენს რეგიონები I რომლებშიც შიდა თეკა გარსის სისქე 14I7, 19I4 მკმ, ს უდრის I +++, ს წარმოადგენს რგერონები I რომლებშიც შიდა თეკა გარსის სისქე 14I7, 19I4 მკმ, ს უდრის I +++, ს 19I4, 24I1 მკმ I +:, ს 24I1, 28I8 მკმ და : კლასს

წარმოადგენს რეგიგნები I რომლებშიც შიდა თეკა გარსის სისქე 28I8,33I5 მკმ,ს უდრის V

მოხსენებული კლასებიდან სიხშირით პირველ ადგილზეა და ნახევარზე მეტს , 53I68?,ს შეადგენს მე,3 კლასის 19I4,24I1 მკმ მაჩვენებლებით წარმოდგენილი შიდა თეკა გარსის რეგიონებიV სიხშირით მეორე ადგილზეა და 1/4,ზე მეტს 28I42?,ს შეადგენს ++ კლასის 14I7,19I4 მკმ,ის მქონე რეგიონებიV ამგვარადI თითქმის ერთნაირი სიხშირით გვჩვდება პირველ და მეოთხე კლასები და შესაბამისად პირველი კლასი შეადგენს 9I47?,ს და მე,4 კლასი 6I31?,ს (4I7,14I7 მკმ და 24I1,28I8 მკმ)V იშვიათად მე,5 კლასის დიამეტრით 28I8, 33I5 მკმ,ის მქონე რეგიონებიI რომელიც შეადგენს 2I10?,სV

ამგვარადI ნორმის პირობებში ნორმალური გრააფის ბუშტუკის შიდა თეკა გარსის სისქე დაბალი მაჩვენებლით ხასიათდება და ასეთი რეგიონების სიხშირე რეგიონების 4/5,ზე მეტს 9I57?,ს შეადგენსV მხოლოდ 8I43?,ით არის წარმოდეგილი შიდა თეკა გარსის საშუალო მაჩვენებლების მქონე რეგიონებიV  
შიდა თეკა გარსის სისქე (მკმ) ნორმალური საკვერცხის ნორმულ

#### ფოლიკულებში

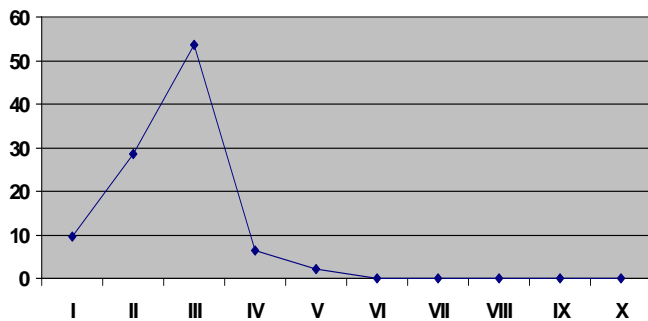
ცხრილი 13

რიგი	კლასები	ფოლიკულის შიდა თეკა გარსის სისქე <sup>100 მხედვV ველიდან</sup>
+	4I7,14I7	9I47?
++	14I7,19I4	28I42?
+++	19I4 , 24I1	53I68?
+:	24I1 , 28I8	6I31?
:	28I8 , 33I5	2I10?
:+	33I5 , 38I2	,
:++	38I2 , 42I9	,
:+++	42I9 , 47I6	,

:+++	42I9 , 47I6	,
+;	47I6 , 52I3	,
;	52I3 , 57	,

შიდა თეკა გარსის სისქე ნორმული საკვერცხის ნორმულ ფოლიკულში

მრუდი 34



გასათვალისწინებელია განსხვავება I რომელიც არსებობს ჩვენ მიერ გამოვლენილ ცისტურად გარდაქმნილი გრააფის ბუშტუკების კედლების სისქესა და გვამური მასიდან ამოკვეთილი საკვერცხების გრააფის ბუშტუკების შიდა თეკა გარსის სისქის მაჩვენებლებს შორის V

შედარების საფუყველზე ირკვევა I როგორც ცისტურად გარდაქმნილი I ისე ნორმალურ გრააფის ბუშტუკებში შიდა თეკა გარსში დიდ უმრავლეობას შეადგენს სისქის დაბალი მაჩვენებლის მქონე რეგიონები I მაგრამ ასეთი რეგიონების სიხშირე გრააფის ბუშტუკებში 1/5, პერ უფრო ხშირია ნორმალურ გრააფის ბუშტუკებში I ვიდრე ცისტურად გარდაქმნილში V საშუალო მაჩვენებლის მქონე რეგიონები 3, პერ უფრო ხშირია ცისტური ფოლიკულები შიდა თეკა გარსში I ვიდრე ნორმულ გრააფის ბუშტუკებში V ისიც უნდა აღინიშნოს I რომ შიდა თეკა გარსის საშუალო რეგიონები ცისტურ ბუშტუკებში წარმოდგენილია მე, 4, 5, 6, 7, 8 კლასებით I ხოლო ნორმულ გრააფის ბუშტუკებში მხოლოდ მე, 4, 5 კლასებით V

რაც შეეხება შიდა თეკა გარსის სისქის მაღალი ნიშნის გამომხატველი მე, 9, 10 კლასების გრააფის ბუშტუკებში ასეთი კლასის რეგიონებში I ისევე

როგორც საშუალო სისქის მაჩვენებელი მე,6,7,8 კლასის რეგიონები გრააფის ბუშტუკებში საერთოდ არ არისV

ძოველივე ზემოთწარმოდგენილი იმას უჩვენებსI რომ საშვილოსნოს ტანის მიომების დროს საკვერცხის ცისტურად გარდაქმნილ ფოლიკულების შიდა თეკა გარსი გაცილებით უფრო სქელიაI ვიდრე ნორმალურ გრააფის ბუშტუკშიV

ჯისტოლოგიური გამოკვლევის საფუყველზე დადგინდაI რომ ნორმალური გრააფის ბუშტუკის შიდა თეკა გარსის უპრედები წარმოდგენილია მცირე ზომის თითისტარის ფორმის ბირთვების შემცველი შედარებით მეჩერად განლაგებული თეკა უპრედებითV ამ უპრედების მნიშვნელვანი ნაწილი შეიცავს სუდანფილურ ლიპიდებსI რომლებიც წარმოდგენილია უპირატესად წვრილი წვეთების სახითI რომლებიც მოთავსებულია უპირატესად ბირთვების სიახლოვეს არსებულ პერიკარიულ სივრცეშიV

ცისტურად განდაქმნილი გრააფის ბუშტუკის შიდა თეკა გარსის უპრედების დიდი უმრავლესობა ზომებით 1/5,ჰერ ან 2,ჰერ დიდიაI ვიდრე ნორმული გრააფის ბუშტუკის ეს უპრედებიI ერთმანეთთან მჭიდროდ მდებარეობენ იმდენადI რომ თხელ ანათალშიI რომლებიც თეკა უპრედების ერთ შრედ არის წარმოდგენილიI ექსტრაცელულური მაქტრიქსი ყნელად ვლინდებაI განსაკუთრებით მნიშვნელოვანია ის გარემოებაI რომ ცისტურად გარდაქმნილი ბუშტუკების თეკა გარსის თითქმის ძველა უპრედი შეიცავს სუდანფილური ლიპიდების საშუალო ზომის წვეთებსI რომლებიც დიფუზურად ავსებს თეკა უპრედის ციტოპლაზმასV

როგორც ცნობილიაI ესტრადიოლიS რომლის სინთეზიც შიდა თეკა უპრედებში ხდება ცხიმოვანი მჟავების ტრიგლიცერიდების და ეVწV ნეირტრალური ცხიმების შემცველი ჯორმონიაI რომელთა გამოვლინებაც ქსოვილში წითელი სუდანით ხდებაV ამგვარადI ზემოთ მოხსენიებული

სუდანოფილური ლიპიდები ესტრიოლის მარკერად ითვლება და მისი რაოდენობა ექვივალენტურია ესტრიოლის რაოდენობისაV

აქედან გამომდინარეI სუდანფილური ლიპიდების შემცველობის სხვადასხვა მაჩვენებელი შიდა თეკა გარსის უპრედებში გრააფის ბუშტუკს და ცისტურად გარდაქმნილ ბუშტუკს შორის განსხვავებულია და ეს განსხვავება მდგომარეობს მასშიI რომ ცისტურად გარდაქმნილი ბუშტუკის შიდა თეკა გარსის თითქმის ძველა უპრედი შეიცავს სუდანოფილურ ლიპიდებსI ეVიV ესტრიოლს და ძველა ასეთი უპრედის ციტოპლაზმა გადავსებულია დასახელებული ლიპიდებითI ხოლო გრააფის ბუშტუკის შიდა თეკა გარსის მნიშვნელოვანი ნაწილი (როგორც ცისტურშიI ისე ნორმაში) შეიცავს სუდანოფილური ლიპიდების წვრილი წვეთების სახითI რომლებიც არ ავსებენ თეკა უპრედის ციტოპლაზმასV ძოველივე ზემოთქმულის საფუყველზე უნდა გაკეთდეს მნიშვნელოვანი დასკვნა%

223d საშვილონოს ტანის მიომების დროს ცისტურად გარდაქმნილი გრააფის ბუშტუკის კედლის შიდა თეკა გარსი გასქელებულია და ის ერთნახევარპერ უფრო სქელიაI ვიდრე ნორმალური გრააფის ბუშტუკის შიდა თეკა გარსიV

224d ცისტურად გარდაქმნილი გრააფის ბუშტუკის შიდა თეკა გარსი შეიცავს ესტრიოლის მორფოლოგიურ ექვივალენტს სუდანოფილურ ლიპიდების გაცილებით მეტ რაოდენობასI ვიდრე ნორმული გრააფის ბუშტუკის შიდა თეკა გარსიV

225d ცისტურად გარდაქმნილი ბუშტუკის თეკა გარსის მეტი სისქე და მასში სუდანოფილური ლიპიდების მეტი რაოდენობის არსებობა ნორმალური გრააფის ბუშტუკის შიდა თეკა გარსთან შედარებით მიუთითებსI რომ ცისტურად გარდაქმნილი გრააფის ბუშტუკის შიდა თეკა გარსში უფრო ინტენსიურია ანდროგენების სინთეზიV

## 4V4V ცისტურად გაგანიერებული ბუშტუკების გრანულოზური უპრედების მოცულობა

ჩატარებული გამოკვლევების შედეგად გამოირკვაI რომ ცისტურად გაგანიერებული ბუშტუკების გრანულოზური შრის სისქის საშუალო მაჩვენებელი ტოლია 44I2 მკმ, სV მათ შორის მინიმალური მაჩვენებელია 19I4 მკმI მაქსიმალური, 69 მკმV გრანულოზური შრის უპრედების მოცულობის საშუალო მაჩვენებელი ტოლია 196I48 მკმ<sup>3</sup>V მათ შორის მოცულობის მიმნაილური მაჩვენებელი ტოლია 1I36 მკმ<sup>3</sup>, ისI მაქსიმალური ტოლია 391I6 მკმ<sup>3</sup>, ისV მიღებული ვარიაციული რიგიდან გამოიძო 10 კლასი% +I ++I +++I +:I :+I :++I :+++I +; და ; კლასებიV + კლასს შეადგენს გრანულოზური უპრედებიI რომელთა მოცულობა ტოლია 1I36,40I42 მკმ<sup>3</sup>, ისI ++ კლასს შეადგენენ გრანულოზური უპრედები მოცულობით 40I42,79I26 მკმ<sup>3</sup>I +++ კლასს, 79I26, 118I32 მკმ<sup>3</sup>, ისI +: კლასს 118I32,157I38 მკმ<sup>3</sup>, ისI : კლასს 157I38,196I44 მკმ<sup>3</sup>, ისI :+ კლასს, 196I44,235I5 მკმ<sup>3</sup>, ისI :++ კლასს 235I5,274I56 მკმ<sup>3</sup>, ისI :+++ კლასს, 274I56,313I62 მკმ<sup>3</sup>, ისI +; კლასს 313I62,352I68 მკმ<sup>3</sup>, ის და ; კლასს შეადგენენ გრანულოზური უპრედებიI რომელთა მოცულობა ტოლია 352I68,3916 მკმ<sup>3</sup>, ის (ცხრილი 14I მრუდი 35)V

+ კლასში შემავალი გრანულოზური უპრედებიI რომელთა მოცულობა ტოლია 1I36,40I62 მკმ<sup>3</sup>, ის ჩაითვალა მცირე ზომის უპრედებადV ++ და +++ კლასში შემავალი გრანულოზური უპრედებიI რომელთა მოცულობა ტოლია 40I42,118I32 მკმ<sup>3</sup>, ისI ჩაითვალა საშუალო ზომის უპრედებადV +:I :+ კლასში შემავალ გრანულოზური უპრედებიI რომელთა მოცულობა ტოლია 118I32,235I5 მკმ<sup>3</sup>, ისI ჩაითვალა შედარებით დიდი ზომის უპრედებადV :++,:+++,+; და ; კლასში შემავალი გრანულოზური უპრედებიI რომელთა მოცულობა ტოლია (235I5,3916) მკმ<sup>3</sup>, ისI ჩაითვალა დიდი ზომის უპრედებადV

ჩამოთვლილი კლასებიდან მოდურია და სიხშირით პირველ ადგილზეა  
საშუალო ზომის +++ კლასის უპრედები მოცულობით 79I26,118I32 მკმ<sup>3</sup> ,  
42I87?V

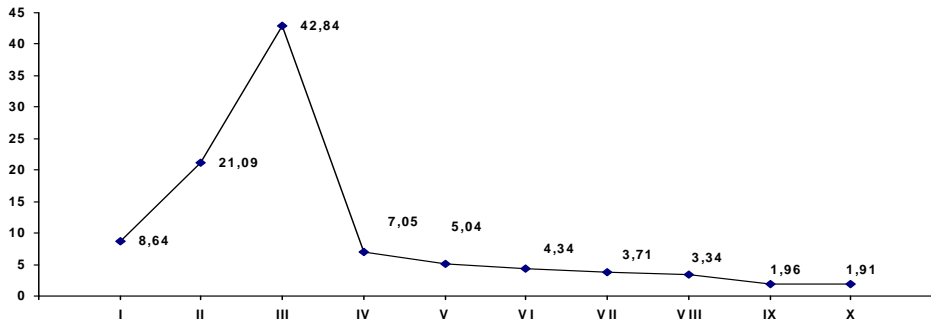
ცისტურად გაგანიერებულიბუშტუკის  
გრანულოზური უპრედების მოცულობა

ცხრილი 14

რიგი	კლასები	გრანულოზური უპრედების მოცულობა
+	II36 , 40I42	163 , 8I64?
++	40I42 , 79I26	398 , 21I09?
+++	79I26 , 118I32	809 , 42I87?
+;	118I32 , 157I38	133 , 7I05?
:	157I38 , 196I44	96 , 5I07?
:+	196I44 , 235I5	82 , 4I34?
:++	235I5 , 274I56	70 , 3I71?
:+++	274I56 , 313I62	63 , 3I34?
+;	313I62 , 352I68	37 , II96?
;	352I18 , 39I16	36 , II91?

ცისტურად გაგანიერებული გრააფის ბუშტუკების გრანულოზური უპრედების  
მოცულობა

მრუდი .35



სიხშირით მეორე ადგილზეა ++ კლასის საშუალო ზომის უპრედები მოცულბით 40I42,79I26 მკმ<sup>3</sup> და შეადგენს 21I09?,სV დანარჩენ კლასებში თანაბრად და თანდათანობით იკლებს გრანულოზური უპრედების სიხშირეV აქედან + და +: კლასში გრანულოზური უპრედებიI რომელთა მოცულობაა 16I36, 40I42 მკმ<sup>3</sup> და 118I32,157I38 მკმ<sup>3</sup> შეადგენენ 8I64? და 7I05?,სX :I :+I :++ და :+++ კლასებში გრანულოზური უპრედებიI რომელთა მოცულობა შესაბამისად არის 157I38,196I44 მკმ<sup>3</sup>I 196I44,235I5 მკმ<sup>3</sup>I 235I5,274I56 მკმ<sup>3</sup>I 274I56,313I62 მკმ<sup>3</sup> შეადგენენ შესაბამისად 5I07?I 4I34?I 3I71? და 3I34?,სV +; და ; კლასებში გრანულოზური უპრედებიI რომელთა მოცულობა ტოლია 313I62,352I8 მკმ<sup>3</sup>,ს და 352I68,391I6 მკმ<sup>3</sup>,ს სიხშირით არის მკვეთრად შემცირებული 1I96? და 1I91?V

ჩატარებული გამოკვლევის შედეგად გამოირკვაI რომ ცისტურად გაგანიერებულ ბუშტუკებში გრანულოზური უპრედების ნახევარზე ბევრად მეტს , 63I96?,ს შეადგენს ++ და +++ კლასის საშუალო ზომის უპრედებიX 16I48?,ს ანუ ერთ მეხუთედზე ცოტა ნაკლებს შეადგენს +:I : და :+ კლასის შედარებით დიდი ზომის უპრედებიX მცირე რაოდენობით არის :++,:+++,+;; კლასის დიდი ზომის გრანულოზური უპრედები და შეადგენს 10I82?,სV მცირე რაოდენობით არის აგრეთვე + კლასის მცირე ზომის უპრედები და შეადგენს 8I64?,სV

პარალელურად კონტროლის მიზნით გამოვიყვლიეთ ნორმული ფოლიკულის გრანულოზური უპრედების მოცულობაV საშუალო მაჩვენებელი არის 59I78 მკმ<sup>3</sup>V მათ შორის მინიმალური მაჩვენებელი 1I36 მკმ<sup>3</sup>,I მაქსიმალური

118I32 მკმ<sup>3</sup>, V მიღებული ვარიაციული რიგიდან გამოიძო 3 კლასი% +I ++I +++V 1 კლასს შედაგენენ გრანულოზური უპრედები I რომელთა მოცულობა ტოლია II36,40I42 მკმ<sup>3</sup>, I ++ კლასი შეადგენს გრანულოზური უპრედები მოცულობით 40I42,79I26 მკმ<sup>3</sup>, I +++ კლასს, გრანულოზური უპრედები მოცულობით 79I26, 118I32 მკმ<sup>3</sup>, (ცხრილი 15I მრუდი 36)V

ჩამოთვლილი კლასებიდან მოდურია და სიხშირით პირველ ადგილზეა მცირე ზომის + კლასის უპრედები მოცულობით II36,40I42 მკმ<sup>3</sup>, და ტოლია 58I89?, სI სიხშირით მეორე ადგილზეა საშუალო ზომის ++ კლასის უპრედები მოცულობით 40I42,79I26 მკმ<sup>3</sup> და ტოლია 23I89?V სიხშირით მესამე ადგილზეა საშუალო ზომის +++ კლასის უპრედები მოცულობით 79I26, 118I32 მკმ<sup>3</sup> და ტოლია 17I22?, ისV

ჩატარებული გამოკვლევის შედგად გამოირკვა I რომ ნორმული საკვერცხის ნორმული ფოლიკულის გრანულოზური უპრედების ნახევარზე მეტი 58I89? წარმოდგენილია მცირე ზომის უპრედებით I დანარჩენი 41? შეადგენს საშუალო ზომის ++ და +++ კლასის უპრედებს V

### ნორმალური გრააფის ბუშტუკის გრანულოზური უპრედების მოცულობა

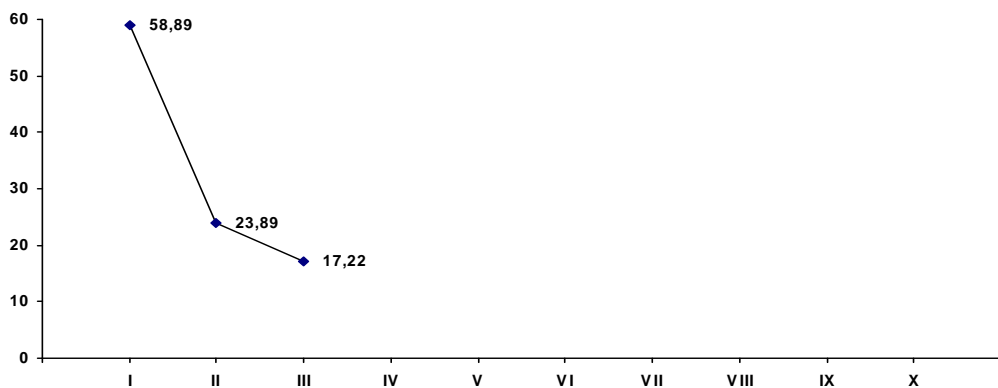
ცხრილი 15

რიგი	კლასები	გრანულოზური უპრედების მოცულობა
+	II36 , 40I42	106 , 58I89?
++	40I42 , 79I26	43 , 23I89?
+++	79I26 , 118I32	31 , 17I22?
+;	118I32 , 157I38	,
:	157I38 , 196I44	,
:+	196I44 , 235I5	,
::++	235I5 , 274I56	,

:+++	274I56 , 3I3I62	,
+;	3I3I62 , 352I68	,
;	352I18 , 39I6	,

ნორმალური გრააფის ბუშტუკების გრანულოზური უპრედების მოცულობა

მრუდი .36



#### 4V4V2V გრანულოზური უპრედების ბირთვების პლოიდობის მაჩვენებლები საშვილოსნოს ტანის მიომების დროს

ოპერაციულ მასალაში (საშვილოსნოს ტანის მიომით დაავადებული 73 გამოკვლეული პაციენტიდან) საკვერცხებში 26 შემთხვევაში აღმოჩნდა მოზარდი ან გრააფის ბუშტუკის სტადიაში მძოფი ფოლიკულიV გამომდინარე იქიდანI რომ ფოლიკულების გამომფენ გრანულოზურ უპრედებში მთავრდება ესტრადიოლის სინთეზის პროცესიI ხოლო ესტრადიოლიI როგორც დღეს საბოლოოდ გადაწყვეტილიაI არის ჯორმონიI რომლის რაოდენობის მატება აპირობებს მიობლასტების კეროვან ინტენსიურ გამრავლებასI რასაც მოჯდვება მიომის ჩამოძალიბებაV ჩვენ ვისარგებლეთ ზემოხსენებული დამთხვევით და მიომის პირობებში გამოვლენილი მზარდ ფოლიკულსა და გრააფის ბუშტუკებში განვსაზღვრეთ გრანულოზური უპრედების გამრავლების აქტივობაI რადგან თუ გამოკვლეულ გრანულოზურ უპრედთა

შორის საშვილოსნოს ტანის მიომების დროს აღმოჩნდება დასახელებული უპრედების გამრავლების უფრო მაღალი პოტენციალი I ვიდრე მიომების გარეშე შემთხვევებში V მაშინ კიდევ უფრო მეტად შეიყლება მტკიცება იმისა I რომ საშვილოსნოს ტანის მიომები ესტრადიოლდამოკიდებული სიმსივნეებია V ასეთი გამოკვლევების ჩატარებას სჭირდებოდა მოსამზადებელი მუშაობა იმის გამოსავლენად I თუ როგორია გრანულოზური უპრედების გამრავლების მაჩვენებლი მოზარდ ფოლიკულსა და გრააფის ბუშტუკში მიომების არ არსებობის შემთხვევაში V ასეთი ეტალონი უნდა შეგვექმნა იმიტომ I რომ ხელმისაწვდომ ლიტერატურაში ვერ ვნახეთ ცნობები გრანულოზური უპრედების გამრავლების პოტენციალის კვლევის შედეგების შესახებ V საჭირო იძო საკუთარი ეტალონის შემუშავება I ვინაიდან ასეთი მასალის მიღება გასაგები მიზეზების გამო ოპერაციულ მასალაში შეუყლებელია I ამიტომ ჩვენ მიერ მასალა აღებულია სასამართლო ექსპერტიზის ბიუროში გაკვეთილი ახალი ტრავმისაგან სწრაფად გარდაცვლილი 28,40 წ V ასაკის 11 ქალისაგან I რომლებსაც არ ჯქონდათ არც საშვილოსნოს და არც საკვერცხების პაოლოგია და რომლებშიც აღმოჩნდა 9 შემთხვევაში გრააფის ბუშტუკი I 2 შემთხვევაში მოზარდი ფოლიკული V

გრანულოზური უპრედების ბირთვების პლოიდობის მაჩვენებლების განსაზღვრისათვის საჭირო იძო პერიფერიულ სისხლში არსებული მცირე ზომის ლიმფოციტებში დნმ,ის რაოდენობის განსაზღვრა V ამ მიზნით როგორც ოპერაციული I ისე სექციური მასალისაგან დამზადებულ ფოლგენის რეაქციით მიღებულ ანათლებში არსებულ სისხლის მიღების სანათურის სისხლში TAS

Laits აპარატით განსაზღვრული იძო 25 მწიფე ლიმფოციტის პლოიდობაV გამოირკვაI რომ დასახელებულ ლიმფოციტებში დნმ,ის რაოდენობის საშუალო მაჩვენებელია 0I1I პეV (2n) დასახელებული ციფრი მიჩნეულია მცირე ზომის მწიფე ლიმფოციტების დნმ,ის დიპლოიდური რაოდენობის მაჩვენებლის ეტალონადV

ჩატარებული კვლევის შედეგად გამოირკვაI რომ სექციური მასალის გრააფის ბუშტუკებსა და მოზარდ ფოლიკულში ერთნაირია დიპლოიდური და ტეტრაპლოიდური ბირთვების შემცველი გრანულოზური უპრედების რაოდენობაV დიპლოიდური ბირთვების რაოდენობა შეადგენს 92?,სV ტეტრაპლოიდური ბირთვების რაოდენობაI რომელშიც დნმ შეადგენს 0I22 პVეV უდრის 4?,სV (1 და 3) n,ის მაჩვენებლებით დახასიათებული ლიმფოციტები ერთად წარმოადგენდა 8?V

სექციური მასალიდან მიღებული საკვერცხების მოზარდ და მწიფე გრააფის ბუშტუკებში დიპლოიდური 0I1I პეV დნმ,ის რაოდენობით დახასიათებელი ბირთვები შეადგენს 88?,სI 8?,ით არის წარმოდგენილი ტეტრაპლოიდური ბირთვების შემცველი გრანულოზური უპრედებიV გრანულოზური უპრედების ბირთვების მოცულობის განსაზღვრამ გამოარკვიაI რომ სექციურ მაალაში მოზარდ და გრააფის ბუშტუკის გრანულოზური უპრედების ბირთვების გრააფის ბუშტუკის საშუალო მაჩვენებელი უდრის 14I8 მკმ<sup>3</sup>,სV მინიმური 38 მკმ<sup>3</sup>,სI მაქსიმური 39I16 მკმ<sup>3</sup>,სV ვარიაციული რიგიდან გამოძოფილია 10 კლასიI რომელთაგან მცირე ზომის ბირთვების შემცველ კლასებად მივიჩნიეთ მე,3,4 კლასებიI რომლბშიც ბირთვების მოცულობა 79I 26 , 157I38 მკმ<sup>3</sup>,იაV საშუალო ზომის კლასებად მიჩნეულია მე,5,6,7 ჰემიფის კლასებიI რომლებსაც მიეკუთვნება 157I38,274I56 მკმ<sup>3</sup>,ს მოცულობის მქონე ბირთვებიV მე,8,9,10 კლასში შემავალი ბირთვებიI რომელთა მოცულობა 274I56, 39I16 მკმ<sup>3</sup>,ის ტოლიაI მიეკუთვნეა დიდი ზომის ბირთვებსV

გრანულოზური უპრედების ბირთვების მოცულობის მაჩვენებლებისა და პლოიდობის მაჩვენებლების შეადრებამ გამოარკვიაI რომ სექციურ მასალაში საშუალო ზომის ბირთვებიI რომლებშიც დნმ,ის რაოდენობა 2 და 3,ით განისაზღვრებაI შეადგენს 92?,სI დიდი ზომის ბირთვებიI რომლებშიც დნმ,ის რაოდენობა 0122 პVეV ანუ 4 ი,ით განისაზღვრება და შეადგენს 8?,სV

თუ გავითვალისწინებთI რომ ტეტრაპლური ბირთვები დნმ,ს გაორმაგებული რაოდენობის შემცველიაI ხოლო დნმ,ის გაორმაგების დროს ანუ მტოზის ციკლში ჩართვის პროცესში უპრედის ზომები დიდიაI სრულიად ნათელიაI რომ ჯიპერდიპლოიდური ანუ ტეტრაპლოიდური და საშუალო მოცულობის ბირთვები ერთი და იგივეა და გრანულოზურ უპრედებში ბირთვებიI რომელთა მოცულობა 157I38 , 235I5 მკმ<sup>3</sup>,ის ტოლიაI წარმოადგენს დიპლოიდურს და შეადგეს 88?,სV ხოლო ტეტრაპლოიდური ანუ მიტოზის ციკლში ჩართული ბირთვების რაოდენობაM რომელთა მოცულობაც 274I56, 39I16 მკმ<sup>3</sup>,ის ტოლიაI შეადგინა 8?V

ოპერაციული მასალის კვლევის შედეგად გამოირკვაI რომ 26 შემთხვევიდან 18,ში ერთდოულად არის გამოვლენილი მოზარდი ფოლიკული და გრააფის ბუშტუკიI 8 შემთხვევაში მხოლოდ გრააფის ბუშტუკი 4,5 გააქტივებული პრიმორტული ფოლიკულითI რომელთა შორისაც დომინანტი ფოლიკულის იდენტიფიკაცია არ მოხერხდაV გრანულოზური უპრედების ზომები და მათი ბირთვების პლოიდობის მაჩვენებელი მოზარდ ფოლიკულებსა და გრააფის ბუშტუკებში ერთნაირი სიხშირით გამოვლინდა (რამოდენიმე შემთხვევაში განსხვავება იძო  $\pm$  1 ან 2)V ასეთი იდენტურობის გამო ბირთვების გრანულოზური უპრედების ბირთვების მოცულობა და პლოიდობის მაჩვენებლების ცალ,ცალკე წარმოდგენა წინამდებარე ნაშრომში ფორმალური იქნებოდა და ამიტომ ზედმეტიაV აღნიშნულის გამო ოპერაციული მასალის კვლევის შედეგების ოპერაციულ მასალაში მზარდი ფოლიკულსა და გრააფის

ბუშტუკის გრანულოზური უპრედების ბირთვების მოცულობის და პლოიდობის განსაზღვრის შედეგები წარმოდგენილია ერთადV

ჩატარეული კვლევის შედეგად გამოირკვა ოპერაციულ მასალაში მოზარდ და ზრდასრული ფოლიკულის დიპლოდური ბირთვების მაჩვენებელი 78?,იაI ტეტრაპლოიდური , 19?V

თუ დავუშვებთI რომ 3n-ით დახასიათებელი ბირთვები ჯიპერდიპლოი, დურია და ტეტრაპლოიდურად ტრანსფორმაციის ფაზაშიაI მაშინ ისიც დაუშვათI რომ ჯიპერდიპლოიდურ ბირთვებს შეიცავს გრანულოზური უპრედების 22? ანუ ამ უპრედების თითქმის 1/5V გრანულოზური უპრედების ბირთვების მოცულობის განსაზღვრის საფუყველზე ირკვევაI რომ საშუალო ზომის უპრედებიI რომელთა მოცულობაც 157I38,274I56 მკმ<sup>3</sup>,ია დიპლოიდურ უპრედებს ესადაგება და არ ახასიათებს მიტოზის ციკლში ჩართვის მორფოლოგიური ნიშნებიI ხოლო დიდი ზომის გრანულოზური უპრედებიI რომელთა მოცულობა 2355,39I16 მკმ<sup>3</sup>,იაI დნმ,ის რაოდენობა 0I22,ია და ახასიათებს მორფოლოგიურად ტეტრაპლოიდურობის ნიშნებიV

ამგვარადI საშვილოსონს ტანში მიომების არსებობის დროს საკვერცხეში მოზარდ და გრააფის ბუშტუკის გრანულოზური უპრედების გამრავლების პოტენციალი მაღალია და გამრავლებადი უპრედები შეადგენს ძველა დასახელებული უპრედის 1/4,სV

ზემოთ წარმოდგენილი მონაცემების შედარება სხვა ავტორების მონაცემებთან სამწუხაროდ შეუყლებელი ზღებაI რადგან როგორც უკვე ვთქვითI გრანულოზური უპრედების გამრავლების პოტენციალი ანუ პლოიდობის განსაზღვრა დღემდე არავის უწარმოებიაV მიუხედავად ამისაI გამომდინარე იქედანI რომ მიომების გამომწვევი ესტრადიოლის ჭარბი რაოდენობა შეიყლება წარმოიქმნას მხოლოდ გრანულოზური უპრედების ჯიპერფუნქციის შემთხვევაში ჩვენს მიერ ჩატარებული კვლევის შედეგები პირველიაI რომელიც ფაქტობრივად მძარ საფუყველს უქმნის დებულებას იმის

თაობაზეI რომ მიომები ესტრადიოლამოკიდებული სიმსივნეებიაV ჩვენ მიერ მიღებული შედეგებს დიდი მნიშვნელობა ეყლევა უკანასკნელი თაობის პაციენტების ექოსკოპიური კვლევის პირობებშიI რადგან უახლესი ექოსკოპის შედეგები ავლენს ფოლიკულის მდგომარეობას მისი პერსისტენციის რეალობსI დომინანტური მოზარდი ფოლიკულების თავისებურებებსI ერთდროულად რამოდენიმე დომინანტური ფოლიკულის და ძველა ამ მონაცემის ეკვივალენტია ჩვენ მიერ გრანულოზური უპრედების კვლევის შედეგებიV

I V საშვილოსნოს მიომების დროს მოზარდი და გრააფის ბუშტუკის უპრედების გამრავლების პოტენციალი 215,ჰერ მაღალია ანალოგიურ მაჩვენებლებთან შედარებითI რომლებიც ახასიათებს მოზარდ და გრააფის ბუშტუკის საშვილოსნოს ტანში მიომების არარსებობის შემთხვევაშიV

2V ჩვენ მიერ გამოვლენილი ფაქტი გრანულოზურ უპრედებში ბირთვების პლოიდობის მაღალი მაჩვენებლების შესახებ მიუთითებს ამ უპრედების ჯიპერფუნქციასI რაც ესტრადიოლის გაყლიერებული სინთეზის ეკვივალენტურიაV

#### 4V5V ცისტურად გაგანიერებულ ბუშტუკებში ექსნერის სხეულაკების მოცულობა

ჩატარებული მორფომეტრული გამოკვლევის შედეგად გამოირკვაI რომ ცისტურად გაგანიერებულ გრააფის ბუშტუკებში ექსნერის სხეულაკების მოცულობის საშუალო მაჩვენებელი უდრის 1698 მკმ<sup>3</sup>,სV მათ შორის მინიალური 108 მკმ<sup>3</sup>,სI მაქსიმალური 3290 მკმ<sup>3</sup>,სV მიღებული ვარიაციული რიგიდან გამოძოფილია 10 კლასი% +I ++I +++I +:I :+I :++I :+++I +; და ;V + კლასს შეადგენს ექსნერის სხეულაკებიI რომელთა მოცულობა არის 108,426I2 მკმ<sup>3</sup>I ++ კლასს ექსნერის სხეულაკები , 426I2,744I4 მკმ<sup>3</sup> მოცულობითI +++ კლასს

744I4,1068I6 მკმ<sup>3</sup>,ითI +: კლასს 1068I6,1380I8 მკმ<sup>3</sup>,ითI : კლასს 1380I8 , 1699 მკმ<sup>3</sup>, ითI :+ კლასს 1699,2017I2 მკმ<sup>3</sup>,მთI :++ კლასს 2017I2 , 2335I4 მკმ<sup>3</sup>,ითI :+++ კლასს 2335I4,2653I6 მკმ<sup>3</sup>,ითI +; კლასს 2653I6,297I8 მკმ<sup>3</sup>,ითI ; კლასს კი შეადგენენ ექსრნერის სხეულაკები 297I8,3290 მკმ<sup>3</sup>,ით მოცულობითV

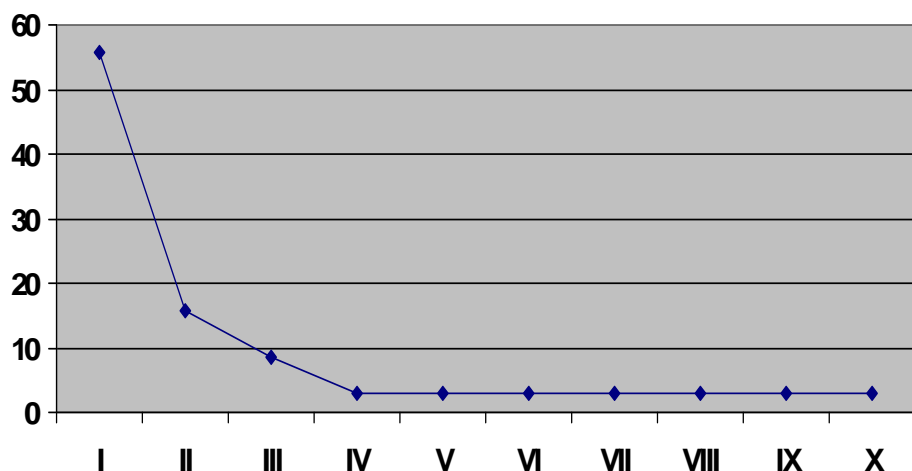
ჯისტოლოგიურიI ელექტრონული მიკროსკოპით და მორფომეტრიული კვლევის შედეგად კლასები შეფასდა შემდეგნაირად% + კლასში შემავალი ექსნერის სხეულაკებიI რომელთა მოცულობა 108,426I2 მკმ<sup>3</sup> ჩაითვალა მცირე ზომირს სხეულაკებადX ++ და +++ კლასში შემავალი ექსნერის სხეულაკებიI რომელთა მოცულობა 426I2,1068 მკმ<sup>3</sup>,ია ჩაითვალა საშუალო ზომის სხეულაკებადX +:I :+ კლასის სხეულაკები მოცულობით 1068I6,2017I2 მკმ<sup>3</sup> შეფასდა შედარებით დიდი ზომის სხეულაკებადX :+:I :+++:I +; და ; კლასის ექსენერის სხეულაკები კიI რომელთა მოცულობაა 2017I2,3290 მკმ<sup>3</sup> შეფასდა დიდი ზომის სხეულაკებად (ცხრილი 16 და მრუდი 37)V

ჩამოთვლილი კლასებიდან მოდურიაI სიხშირით პირველ ადგილზეა და შეადგენს ნახევარზე მეტს , 55I71?,ს + კლასის მცირე ზომის ექსნერის სხეულაკებიI რომელთა მოცულობა ტოლია 108,426I2 მკმ<sup>3</sup>,ისV

ცისტურად გაგანიერებულ გრაფის ბუშტუკის გრანულოზურ  
შრეში ექსნერის სხეულაკების მოცულობა

რიგი	კლასები	ექსნერის სხეულაკების მოცულობა მკმ <sup>3</sup> , ში
+	108,426I2	468 , 55I71?
++	426I2,744I4	132 , 15I71?
+++	744I4,1062I6	72 , 8I57?
+:	1062I6,1380I8	24 , 2I86?
:	1380I8,1699	24 , 2I86?
:+	1699,2017I2	24 , 2I86?
:++	2017I2,2335I4	24 , 2I86?
:+++	2335I4,2653I6	24 , 2I86?
+;	2653I6,2971I8	24 , 2I86?
;	2971I8,3290	24 , 2I86?

ცისტურად გაგანიერებული გრაფის ბუშტუკების გრანულოზურ შრეში  
ექსნერის სხეულაკების მოცულობა



სიხშირით მე,2 ადგილზეა ++ კლასის ექსნერის სხეულაკები მოცლობით 426I2,744I4 მკმ<sup>3</sup> და შეადგენს 15I71?,სV სიხშირით მე,3 ადგილზეა +++ კლასის ექსნერის სხეულაკები მოცულობით 744I4,1062I6 მკმ<sup>3</sup> და შეადგენს 8I57?,სV დანარჩენ კლასებში +:I :I :+I :++I :+++I +; და ; არის გაერთიანებული ერთნაირი სიხშირის მქონე ექსნერის სხეულაკები მოცულობით% +; კლასში 1062I6,1380I8 მკმ<sup>3</sup>I : კლასში 1380I8,1699 მკმ<sup>3</sup>I :+ კლასში 1699,2017I2 მკმ<sup>3</sup>I :++ კლასში 2017I2, 2335I4 მკმ<sup>3</sup>II :+++ კლასში 2335I4,2653I6 მკმ<sup>3</sup>I +; კოასში 2653I6,2971I8 მკმ<sup>3</sup>I და ; კლასში 2971I8,3290 მკმ<sup>3</sup> ექსნერის სხეულაკებიV

ჩატარებული გამოკვლევების შედეგად გამოირკვაI რომ ცისტურად გაგანიერებული ბუშტუკების გრანულოზურ შრეში ექსნერის სხეულაკებს შორის ნახევარზე მეტს , 55I71?,ს შეადგენს + კლასის მცირე ზომის სხეულაკებიI 24I29?,ს ანუ ერთ მეოთხედს შეადგენს ++,+++ კლასების საშუალო ზომის ექსნერის სხეულაკებიVI ხოლო დანარჩენი შედარებით დიდი და დიდი ზომის ექსნერის სხეულაკები გვხვდება თანაბარი სიხშირითV

ჩვენ მიერ პარალელურად ცისტური ფოლიკულების გრანულოზურ შრეში ექსნერის სხეულაკების მოცულობის გაზომვა ჩატარდა გვამური მასალიდან აღებულ ნორმულ საკვერცხებში ნორმული ფოლიკულების და გრააფის ბუშტუკის გრანულოზური შრის ექსნერის სხეულაკების მოცულობის კვლევაV როგორც გამოკვლევებიდან ჩანსI ნორმული ბუშტუკის ექსნერის სხეულაკების საშუალო მოცულობა უდრის 585I3 მკმ<sup>3</sup>,სV მათ შორის მინიმალური მაჩვენებელი ტოლია 108 მკმ<sup>3</sup>,ისI მაქსიმალური მაჩვენებელი ტოლია 1062I6 მკმ<sup>3</sup>,ისI მიღებული ვარიაციული რიგიდან გამოძოფილია 3 კლასი% +I ++ და +++ კლასებიV + კლასს შეადგენს ნორმული ბუშტუკების ექსნერის სხეულაკები მოცულობით 108 , 426I2 მკმ<sup>3</sup>I ++ კლასს , 426I2,744I4 მკმ<sup>3</sup>,ისI +++ კლასს 744I4,1068I6 მკმ<sup>3</sup>,ის მოცულობის მქონე ექსნერის სხეულაკები (ცხრილი 17I მრუდი 38)V

ჩამოთვლილი კლასებიდან მოდურიაI სიხშირით პირველ ადგილზეა და შეადგენს თითქმის სამ მეოთხედს 14I42?,ს + კლასის მცირე ზომის ექსნერის სხეულაკებიI რომელთა მოცულობა ტოლია 108 , 426I2 მკმ<sup>3</sup>,ისV სიხშირით მეორე ადგილზეა და შეადგენს ერთ მეოთხედს 30I8?,ს ++ კლასის საშუალო ზომის ექსნერის სხეულაკებიI რომელთა მოცულობა 426I2,744I4 მკმ<sup>3</sup>,ის ტოლიაV უმცირესი რაოდენობით არის +++ კლასის საშუალო ზომის ექსნერის სხეულაკები და შეადგენს 4I8?,სI რომელთა მოცულობა ტოლია 744I4,1068I6 მკმ<sup>3</sup>,სV

გამოკვლევით დადგინდაI რომ ნორმული ბუშტუკის ექსნერის სხეულაკები არის თითქმის სამ მეოთხედში , 64I4?,ში მცირე ზომისI ხოლო 35I6?,შიI ეVიV შემთხვევათა ერთ მესამედზე მეტში , საშუალო ზომის უპრედებიV

გასათვალისწინებელია ის სხვაობაI რომელიც არსებობს ცისტურად გარდაქმნილი გრააფის ბუშტუკების ექსნერის სხეულაკებსა და გვამური მასალიდან ამოკვეთილი ნორმული საკვერცხეების გრააფის ბუშტუკის ექსნერის სხეულაკების მაჩვენებლებს შორისV

შედარების საფუფველზე ირკვევა როგორც ცისტურად გარდაქმნილიI ისე ნორმული გრააფის ბუშტუკების ექსნერის სხეულაკების მოცულობა შემოიფარგლება დაბალი მაჩვენებლებითV

ნორმული ფოლიკულასI გრააფის ბუშტუკების ექსნერის  
სხეულაკების მოცულობა

ცხრილი 17

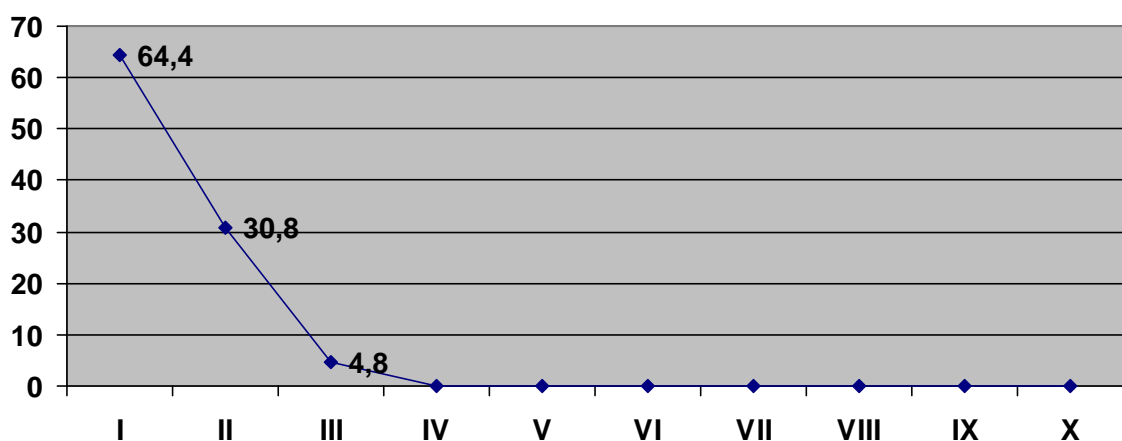
რიგი	კლასები	ექსნერის სხეულაკების მოცულობა მკმ <sup>3</sup> ,ში,
+	108,426I2	67 , 64I4?
++	426I2,744I4	32 , 30I81?
+++	744I4,1068I6	5 , 4I8?
+:	1068I6,1380I8	,

:	1380I8,1699	,
:+	1699,2017I2	,
:++	2017I2,2335I4	,
:+++	2335I4,2653I6	,
:+++	2335I4,2653I6	,
+;	2653I6,2971I8	,
;	2971I8,3290	,

ნორმული ფოლიკულის I გრააფის ბუშტუკის გრანულოზურ შრეში

ექსნერის სხეულაკების მოცულობა

მრუდი 38



ცნობილია I რომ ექსნერის სხეულაკები შეიცავენ გრანულოზური უპრედების სეკრეტს I სეკრეტის შემაღვენლობის თვალსაზრისით დადგენილია I რომ მასში უპირატესი რაოდენობით არის ესტრადიოლი I ეVიV ჯორმონი I რომლის სინთეზის მთავარ ადგილად მიჩნეულია გრანულოზური უპრედები V

ექსნერის სხეულაკები ფაქტობრივად წარმოადგენენV უუპრედო რეგიონებს I მხოლოდ ჯორმონის შემცველ რეგიონებსV ეს რეგიონები მკრთალი ეოზინოფილური მასის სახით არის წარმოდგენილი I რომელში წშირად ვლინდება ლიპიდოგენური წვეთებიV

აღნიშნული უკრედო რეგიონების ირგვლივ თითქმის კანონზომიერად წრიულად არის განლაგებული გრანულოზური უკრედებიV შეიყლება პირიქითაც ითქვასI რომ გრანულოზური უკრედების ჰემოფილური ცენტრში გროვდება ზემოხსენებული მკრთალი ეოზინოფილური სეკრეტიV პირველი უფრო ასახავს ჭეშმარიტებას თუ მეორე არსებითი ის არისI რომ სტრუქტურულად , ჯისტოლოგიური თვალსაზრისით ისინი წარმოადგენს როზეტების მსგავს მორფოლოგიურ ელემენტებსV ფაქტობრივად ექსნერის სხეულაკები ჩნდება გრააფის ბუშტუკების მომწიფების პერიოდში და მათი რაოდენობა თანდათან იმატებს ოვულაციის პერიოდის დადგომამდეV ნორმის პირობებში ექსნერის სხეულაკების ფართობი მერძეობს  $100 \text{ მკმ}^2$   $1000 \text{ მკმ}^2$ , ის ფარგლებშიV ჩვენს ვარიაციულ რიგში ექსნერის სხეულაკების ფარობთის მინმაილური მაჩვენებელი უდრის  $108 \text{ მკმ}^2$ , სI მაქსიმალური მაჩვენებელი  $106216 \text{ მკმ}^2$ , სV ამათგან თითქმის სამ მეოთხედს ,  $6414?$ , ს შეადგენს ექსნერის სზეულაკების პირველი კლასის მაჩვენებლებიI რომელთა მოცულობა უდრის  $108,42612 \text{ მკმ}^3$ , სV დანარჩენი ერთი მეოთხედი წარმოდგენილია ++ და +++ კლასებითI რომელთა შორის  $3516?$ , ით  $42612 \text{ მკმ}^3$ ,  $74414 \text{ მკმ}^3$  მქონე ექსნერის სხეულაკებიV და მხოლოდ  $418?$ , ს წარმოადგენს  $74414,106216 \text{ მკმ}^3$  მოცულობის მქონე სხეულებიV ამგვარადI ნორმაში ექსნერის სხეულაკების მაჩვენებლები დაბალია (პირველი სამი კლასით შემოიფარგლება)I რაც როგორც ჩანს ( $108, 106216 \text{ მკმ}^3$ ) გამოხატავს გრააფის ბუშტუკის გრანულოზური უკრედების ნორმალურ ფუნქციონასV

საშვილოსნოს ტანის მიომების დროს ფოლიკულების სისტემის გრანულოზური უკრედების გარსშიI რომელიც როგორც ზემოთ იძო აღნიშნული საკმაოდ სქელია და უფრო სქელიI ვიდრე ნორმალურ გრააფის ბუშტუკშიI ექსნერის სხეულაკების მოცულობის მაჩვენებლები წარმოდგენილია  $10 \text{ კლასით} \% +I ++I +++I +:I :I :+I :++I :++I +;I ;$  და არა

მხორლოდ პირველი სამი კლასითI როგორც ეს ნორმალურ გრააფის ბუშტუკშიაV

ცისტურად გარდაქმნილი გრააფის ბუშტუკებშიც ექსნერის სხეულაკები უმრავლესობა წარმოდგენილია ოთხი მეხუთედით , 70I9?V მაგრამ განსხვავებით ნორმალური გრააფის ბუშტუკებისგან თითქმის თანაბარი რაოდენობით არის მე,4,დან მე,8,მდე კლასის ექსნერის სხეულაკებიI რომელთა მოცულობაც 1062I6,3290 მკმ<sup>3</sup>,ია 20?,ს შეადგენსV განსაკუთრებით მნიშვნელოვანია +; და ; კლასის მაჩვენებლების ქმონე 2653I07,3290 მკმ<sup>3</sup>,ის ფარგლებშიაI რომელთა სიხშირე 6?,მდე (5I72?) აღწევსV ამ მაღალი მაჩვენებლების პირობებში ფოლიკულური ცისტების კედლების გრანულოზურ, უჰრელოვან გარსში მკრთალი ეოზინოფილური ჯომოგენური მასის აუზებიაI რაც დამახასიათებელად უნდა ჩაითვალოს საშვილოსნოს ტანის მიომების დროს ცისტურად გარდაქმნილი ფოლიკულებისათვისV აღნიშნულს ადასტურებს ის გარემოებაI რომ ძველა გამოკვლეულ ფოლიკულურ ცისტაში ერთი ან ორი მაინც არის დიდი ზომის თუ მოცულობის მაღალი მაჩვენებლების მქონე ექსნერის სხეულაკიV თუ ვირწმუნებთ იმასI რომ ექსნერის სხეულაკები გრანულოზური უჰრელების სეკრეტიაI რომელიც ესტრადიოლს შეიცავსI რაც უკვე საძოველთაოდ არის აღიარებულიI მაშინ უნდა ვირწმუნოთ ისიცI რომ დიდი მოცულობის მქონე ექსნერის სხეულაკების შემცველობა ფოლიკულის ცისტის კედელში მიუთითებს ესტრადიოლის ჯიპერპროდუქციას მოხსენებულ ცისტებშიI ხოლო რადგან ნორმალურ გრააფის ბუშტუკში შედარებით დიდი და დიდი მაჩვენებლების მქონე ექსნერის სხეულაკები არ ვლინდებაI მაშინ სრულიად სარწმუნოაI რომ ცისტურად გარდაქმნილი გრააფის ბუშტუკები არ წარმოადგენს უმოქმედო წარმონაქმნისI რომელშიც პარენქიმა ატროფიას განიცდის როგორც ეს სხვადასხვა ორგანოთა პირკვლებსა და მათ სადინარებში ხდებაI ეVწV რეტენციული ცისტების ჩამძალიბების დროსI არამედ გრააფის ბუშტუკისგან განვითარებულ ცისტებში ხდება ფოლიკულის არა უფუნქციო

ნაშთის შერჩენა, რეტენცია I არამედ გრააფის ბუშტუკის ისეთ ცისტად გარდაქმნა I რომელშიც პარენქიმა პროლიფერაციას განიცდის I ის მოცულობაში იმატებს I აქტიურად ფუნქციობს და შესაბამისად ნორმალურ გრააფის ბუშტუკთან შედარებით უფრო მეტი რაოდენობის სეკრეტის , ესტრადიოლის სეკრეციას აწარმოებს I რაც დამახასიათებელად ითვლება სიტუაციისათვის I რომელიც წინ უყღვის მიომის აღმოცენებას V ამგვარად ჩვენ მიერ ჩატარებული კვლევის შედეგად გამოლენილია მნიშვნელოვანი ფაქტი ესტრადიოლის ჭარბი რაოდენობის პროდუქციის ერთ, ერთი წმაროს მორფოლოგიური სუბსტრატის სახით V

ზემოხსენებულის საფუყველზე შეიყლება გამოტანილი იქნეს შემდეგი დასკვნა %

222d საშვილოსნოს ტანის პროლიფერაციული მიომების დროს გრააფის ბუშტუკებიდან წარმოქმნილ ცისტებში I რომელთა კედლის გარნულოზურუჟრედოვანი გარსი უფრო სქელია I ვიდრე ნორმალური გრააფის ბუშტუკის გრანულოზურ უჟრედოვანი გარსი V ექსნერის სხეულაკების 20? (20I02?) ანუ ერთი მეხუთედი არის საშუალო და დიდი ზომის I რომელთა მსგავსი ზომის ექსნერის სხეულაკები ნორმალურ გრააფის ბუშტუკებში არ ვლინდება V

223d გამომდინარე იქედან I რომ ექსნერის სხეულაკები ესტრადიოლის შემცველია I არ შეიყლება არ მივიჩნიოთ ესტრადიოლის ჭარბი პროდუქციის ერთ, ერთ მნიშვნელოვან წმაროდ V

საშვილოსნოს ტანის მიომების დროს გრააფის ბუშტუკებიდან განვითარებული ცისტების კედლის ჯისტოლოგიური და მორფომეტრიული კვლევის საფუყველზე გამოვლინდა I რომ დასახელებული ცისტების კედელში მიმდინარეობს შიდა თეკა გარსში პროლიფერაცია მათში სეკრეტის I კერყოდ I ანდროგენების ჯიპერპროდუქციით V პარალელურად გრყელდება

გრანულოზური უპრედების პროლიფერაციაცI რომელშიც ხდება ესტრიოლიდან ესტრადიოლის წარმოქმნაV როგორც ჩანსI თეკა გარსის უპრედებისა და გრანულოზური უპრედების პროლიფერაცია ერთმანეთის ექვივალენტურიI რაც დასტურდება ექსნერის სხეულაკების წარმოქმნითI რომელთა ერთი მეხუთედიც გაცილებით უფრო დიდი ზომის არისI ვიდრე ნორმალურ გრააფის ბუშტუკებშიI ხოლო მათი თითქმის 6? (5I72?) „აუზებით“ არის წარმოდგენილიV

ზემოაღნიშნული წარმოადგენს საშვილოსნოს მიომების დროს არსებული ჯიპერესტროგენემისI კერყოდI ჯიპერესტრადიოლემიის მორფოლოგიური სუბ, სტრატის ძველაზე მნიშვნელოვანი რგოლის მორფოლოგიურ გამოხატულებასV ეს დებულება მით უფრო მნიშვნელოვანიაI რომ მსგავსი ფაქტის შესახებ მონაცემები ჩვენ მიერ მოყიებულ ლიტერატურაში მითითებული არ არისV

4V6V ფოლიკულმასტიმულებელი და მელუთეინიზებელი ჯორმონების I  
ესტრადიოლისა და პროგესტერონის რაოდენობის განსაზღვრა საშვილოსნოს  
პროლიფერაციული მიომით დაავადებულ  
+ ჰგუფის ქალებში

ჩვენ მიერ შესწავლილია საშვილოსნოს პროლიფერაციული მიომის დროს  
ფოლიკულმასტიმულებელი და მალუთეინიზებელი ჯორმონების I  
ესტრადიოლის და პროგესტერონის რაოდენობა პერიფერიულ სისხლში  
მენსტრუაციული ციკლის მე,20 დღეზეV

გამოკვლევა ჩატარდა 30 შემთხვევაშიV სისხლის აღება წარმოებდა დღის  
ერთსა და იმავე დროზე 11 სთზ,ზე (ცხრილი 8)V

დადგინდაI რომ რეპროდუქციულ პერიოდში მენსტრუაციული ციკლის მე,  
20 დღეზეI ფოლიკულმასტიმულაციები ჯორმონის დონე შეესაბამება ნორმის  
ზედა ზღვარს და ჭოლია  $12165 \pm 0154$  U/l.

მალუთეინიზებელი ჯორმონი არის მომატებული და შეადგენს  $22175 \pm 1143$   
U/lV ესტრადიოლის კონცენტრაცია საშვილოსნოს პროლიფერაციული მიომის  
მქონე რეპროდუქციული პერიოდის ქალებში შეადგენს  $01281 \pm 0112$  nmol/lV

პროგესტერონის რაოდენობის შეფასებისას აღმოჩნდაI რომ იგი ნორმასთან  
შედარებით მკვეთრად არის დაქვეითებულია და შეადგენს%  $01947 \pm 0127$  nmol/lV

ფოლიკულომასტიმულებელი და მალუთეინიზებელი ჯორმონების  
ესტროგენის და პროგესტერონის რაოდენობა სისხლში საშვილოსნოს  
პროლიფერაციული მიომით დაავადებულ რეპროდუქციული ასაკის ქალებში

### ცხრილი 8

გამოსაკვლევი	ჯორმონების რაოდენობა	
	პერიფერიულ სისხლში ნორმაში (ერთეულებში)	რეპროდუქციული პერიოდი
ფოლიკულმას, ტიმულებელი	2-12 opt 3-5 ovul 10-20 U/l	12,65±0,54
ესტრადიოლი	0,2=0,9 opt - 0,4-0,5 ovul 0,8-1,2 nmol/l	0,281±0,12
მალუთეინი, ზებელი	2-12, opt 3-5, ovul 20-50 U/l	22,75±1,43
პროგესტერონი	+ ფაზა $314\pm210$ ++ ფაზა $34\pm10$ ovul 3-15 nmol/l	0,947±0,27

ჩვენი კვლევიდან გამომდინარეI მივიღეთ შემდეგი დასკვნები%

- 4) საშვილოსნოს პროლიფერაციული მიომით დაავადებულ რეპროდუქციული პერიოდის ქალებში არასრულფასოვანი ძვითელი სხეულის დროს მენსტრუაციული ციკლის მე,20 დღეზე ადგილი აქვს ფოლიკულომასტიმულებელი და მალუთეინიზებელი ჯორმონების მაღალი კონცენტრაციის შენარჩუნებას და ორივე ჯორმონი აღწევს ოვულაციის დროს არსებულ პიკის ზღვარსV
- 5) საშვილოსნოს მიომით დაავადებულ ქალებში მენსტრუაციული ციკლის მე,20 დღეზე მეკვეთრად დაბალია პროგესტერონის კონცენტრაციაI ხოლო ესტრადიოლი ინარჩუნებს ნორმის ქვედა ზღვარსV

6) პროგესტერონის დეფიციტის მიხედვით თუ ვიმსპელებთ I ეVიV ოვულაციის  
შემდეგ ნაცვლად ძვითელი სხეულის ლუთეინიზაციისა სწრაფად იწმება  
რეგრესის ფაზაI რასაც მოძვება პროგესტერონის მკვეთრი დეფიციტიI რის  
გამოც მენსტრუაციული ციკლის ორივე ფაზა (მეორე ფაზაში მიუხედავად  
ესტრადიოლის ნორმული მაჩვენებლებისა) ასტიმულირებს პროლიფერაციულ  
და ჯიპერპლაზიურ პროცესებსI ეVიV ადგილი აქვს შეფარდებულ

ჯიპერესტროგენემიასV

4V7V ბვითელი სხეულის უპრედების მოცულობა  
მიომით დაავადებულ ქალებში

ბვითელი სხეულის უპრედების მოცულობის საშუალო მაჩვენებელი უდრის 1583 მკმ<sup>3</sup>V მათ შორის მოცულობის მინიმალური მაჩვენებელი ტოლია 37 მკმ<sup>3</sup>, ისI ხოლო მაქსიმალური , 3133 მკმ<sup>3</sup>,ისV მიღებული ვარიაციული რიგიდან გამოძოფილია 10 კლასი% +I ++I +++I +:I :I :+I :++I :+++I +; და ;V

+ კლასში შემავალი ლუთეინური უპრედებიI რომელთა მოცულობა ტოლია 37,350 მკმ<sup>3</sup>,ის ჩაითვალა მცირე ზომის უპრედებადV ++ და +++ კლასის უპრედები მოცულობით (350,976)მკმ<sup>3</sup> ჩაითვალა საშუალო ზომის უპრედებადV +:I :I :+ კლასში შემავალი ლუთეინური უპრედები მოცულობით (976,1915)მკმ<sup>3</sup>I ჩაითვალა შედარებით დიდი ზომის უპრედებადV :++I :+++I +; და ; კლასის უპრედები მოცულობით (1915,3133) ჩაითვალა დიდი ზომის უპრედებადV

+ კლასში გაერთიანებულია მცირე ზომის უპრედებიI ++ და +++ კლასებში , საშუალო ზომისX +:I :+ კლასებში შედარებით დიდი ზომის და :++I :+++I +; და ; კლასებში კი გაერთიანებულია დიდი ზომის უპრედებიV + კლასს შეადგენს ბვითელი სხეულის უპრედები მოცულობით 37,350 მკმ<sup>3</sup>V ++I +++ და +: კლასის უპრედები შესაბამისად მოცულობებით (350,663)მკმ<sup>3</sup>I (663,976)მკმ<sup>3</sup>I (976, 1289)მკმ<sup>3</sup> არ აღინიშნებაV :I :+I :++I :+++I +; და ; კლასის უპრედები შესაბამისი მოცულობებით (1289,1602)მკმ<sup>3</sup>I (1602,1915)მკმ<sup>3</sup>I (1915,2228)მკმ<sup>3</sup>I (2228,2541)მკმ<sup>3</sup>I (2541,2854)მკმ<sup>3</sup> და (2854,3133)მკმ<sup>3</sup> , კი აღინიშნება თანაბარი სისშირით და ბველა კლასში მისი რაოდენობა ტოლია 2I63?,ისV

ჩამოთვლილი კლასებიდან მოდურია და სისშირით პირველ ადგილზეა მცირე ხომის + კლასის უპრედები მოცულობით 37,350 მკმ<sup>3</sup> და შეადგენს 84I21?, ს (ცხრილი 18I მრუდი 39)V

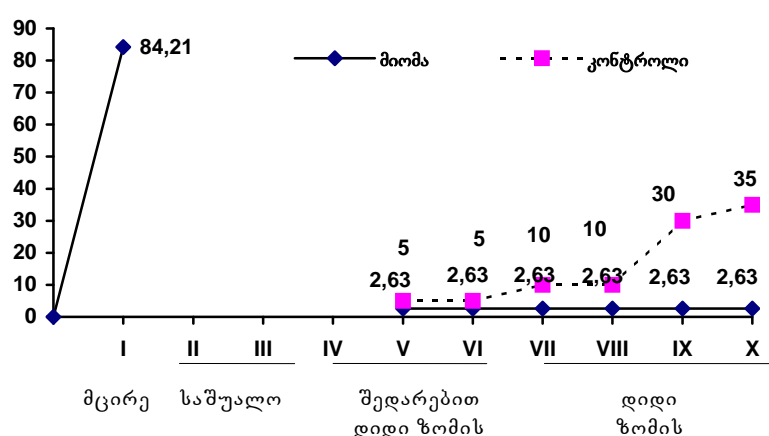
ძვითელი სხეულის უპრედების მოცულობა მიომით დაავადებულ ქალებში და  
საკონტროლო ჰგუფში (მიღის დარღვეული ორსულობის დროს)

ცხრილი 18

კლასი	კლასების ფასი	რაოდენობა ?, ში	
		მიომით დაავადებულ ქალებში	კონტროლი
+	37,350	8412?	
++	350,663		
+++	663,976		
+:	976,1289		
:	1289,1602	2163?	5?
:+	1602,1915	2163?	5?
:++	1915,2228	2163?	5?
:+++	2228,2541	2163?	5?
+;	2541,2854	2163?	5?
;	2854,3133	2163?	5?

ძვითელი სხეულის უპრედების მოცულობა საშვილოსნოს მიომით  
დაავადებულ ქალებში

გრუდი 39



სიხშირით მეორე ადგილზეა დიდი ზომის :++I :++I +; და ; კლასის უპრედები მოცულობით (1915,3133)მკმ<sup>3</sup> და 10152?,სV სიხშირით მესამე ადგილზეა შედარებით დიდი ზომის :I :+ კლასის უპრედები მოცულობით (1289,1915)მკმ<sup>3</sup> და შეადგენენ 5126?,სV

როგორც ცნობილიაI ლუთეინური უპრედები მიიღება ოვულაციის შემდეგ გრანულოზური უპრედების გარდაქმნის შედეგად და ბევრად უფრო დიდია მოცულობითI ვიდრე საწმისი გრანულოზური უპრედებიV

ჩვენ მასალაზე საშვილოსნოს მიომით დაავადებული რეპროდუქციული პერიოდის ქალების საკვერცხებიდან აღებული არასრულფასოვანი ძვითელი სხეულის უპრედების ოთხ მეზუთედზე მეტიI გაერთიანებულია მცირე ზომის (37,350)მკმ<sup>3</sup> მოცულობით + კლასში და შეადგენენ 84I21?,სV უნდა აღვნიშნოთI რომ ამ პაციენტების საკვერცხებში გრანულოზური უპრედების ზომები მერძეობს (1136,39116)მკმ<sup>3</sup> მოცულობითV +,დან ; კლასის ჩათვლითV ამდენადI ძვითელი სხეულის უპრედები შეიყლება ითქვასI რომ (თითქმის ერთი მეზუთედის გარდა) ოვულაციის შემდეგ არ განიცდის სრულფასოვან ტრანსფორმაციას და თუ გრანულოზური უპრედები ათივე კლასში (მცირეI საშუალოI შედარებით დიდი და დიდი ზომის უპრედების სახით) მერძეობს (1136, 39116)მკმ<sup>3</sup> მოცულობითI ოვულაციის შემდეგ მათგან წარმოშობილი არასრულფასოვანი ძვითელი სხეულის უპრედების უმრავლესობაI ოდნავ იცვლება ზომებში და გაერთიანებულია ძვითელი სხეულის უპრედების + კლასში მოცულობით (37,350)მკმ<sup>3</sup>I რომელიც წარმაოდგენენ მცირე ზომის უპრედებსV მხოლოდ ერთეული გრანულოზური უპრედები თუ აღწევს ზრდასრული ძვითელი სხეულის უპრედებამდეV

ის შემთხვევებიI სადაც გაკეთებული იძო საშვილოსნოს ამპუტაცია დანამატთან ერთად არასწორი კლინიკური დიაგნოზითI ძვითელი სხეულის

მოცულობის საშუალო მაჩვენებელი ტოლია  $2211 \text{ მკმ}^3/\text{V}$  მათ შორის მინიმალური მაჩვენებელი ტოლია  $1289 \text{ მკმ}^3/\text{V}$  მაქსიმალური  $3133 \text{ მკმ}^3/\text{V}$

+,: კლასების ჩათვლით უპრედები მოცულობით  $37,1289 \text{ მკმ}^3$  არ აღინიშნებაV : და :+ კლასის უპრედები შესაბამისად მოცულობით ( $1289,1602$ ) მკმ<sup>3</sup> და ( $1602,1915$ )მკმ<sup>3</sup> აღინიშნება თანაბარი სიხშირით და ორივე კლასში ცალ, ცაკლკე მისი რაოდენობა ტოლია  $5?/\text{V}$  :++ კლასში ძვითელი სხეულის უპრედები მოცულობით ( $1915,2228$ )მკმ<sup>3</sup> შეადგენს  $10?/\text{V}$  :+++ კლასში , მოცულობით ( $2228,2541$ )მკმ<sup>3</sup>  $15?/\text{V}$  +; კლასში , ( $2541,2854$ )მკმ<sup>3</sup>  $30?/\text{V}$  და ; კლასში უპრედები მოცულობით ( $2854,3133$ )მკმ<sup>3</sup> შეადგენს  $35?/\text{V}$  , ერთ მესამედზე მეტსV

ჩამოთვლილი კლასებიდან მოდურია და სიხშირით პირველ ადგილზეა ; კლასის ( $2854,3133$ )მკმ<sup>3</sup> მოცულობის დიდი ზომის ძვითელი სხეულის უპრედები და შეადგენს  $35?/\text{V}$  სიხშირით მეორე ადგილზეა დიდი ზომის ( $2541,2854$ )მკმ<sup>3</sup> მოცულობის უპრედები და შეადგენს  $15?/\text{V}$  დანარჩენი :+I :+ და : კლასის უპრედები წარმოადგენენ უმცირესობასV

საშვილოსნოს ტანის მიომის დროს მენსტრუაციული ძვითელი სხეულის ბირთვების მოცულობის განსაზღვრისათვის აუცილებელი იძო საკონტროლო მაჩვენებლის დადგენაცV ამიტომ ჩვენს მიერ ძვითელი სხეულის ბირთვების მოცულობა გამოანგარიშებულია ციფრებიდანI რომლებიც მიღებულია საშვილოსნოს ტანის გაურთულებელი მიომისა და შეწმვეტილი საშვილოსნოს გარე ორსულობის შემდეგV სულ მიღებულია 10 ვარიაციული რიგიI რომელშიც მინიმალური მაჩვენებელი  $11104 \text{ მკმ}^3/\text{V}$  მაქსიმალური მაჩვენებელი  $29314 \text{ მკმ}^3/\text{V}$  ვარიაციული რიგიდან მიღებულია 10 კლასი , +I ++I +++I +:I :+I :++I :++I +; და ;V + კლასს შეადგენს ძვითელი სხეულის ბირთვებიI რომელთა მოცულობა

უდრის V 11I04,39I6 მკმ<sup>3</sup>,სI ++ კლასით წარმოდგენილია ბირთვები I რომელთა  
მოცულობაც უდრის 39I6,67I8 მკმ<sup>3</sup>,სV +++ კლასი დაიკავა ბირთვებმა I  
რომელთა მოცულობა 67I8,96 მკმ<sup>3</sup>,იაV +: კლასს შეადგენენ 96,124I2 მკმ<sup>3</sup>,ის  
მოცულობის მქონე ბირთვები V : კლასის ბითრვები არის 124I2,152I4 მკმ<sup>3</sup>,ის  
მოცულობის მქონე I :+ კლასის , 152I4,180I6 მკმ<sup>3</sup>,ის მოცულობის მქონე I :++  
კლასის არის 180I6,208I8 მკმ<sup>3</sup>,ის მოცულობის მქონე I :+++ კლასის არის 208I237  
მკმ<sup>3</sup> მოცულობის მქონე I +; კლასი 237,265I2 მკმ<sup>3</sup>,ის და ; კლასში შედის  
ბირთვები I რომელთა მოცულობაც შეადგენს 265I2,293I4 მკმ<sup>3</sup>,სV

დასახელებული კლასები ჩვენ მიერ პირობითად მიჩნეულია +,++ კლასის  
ბირთვები მცირე ზომის ბირთვებად I +,: კლასის ბირთვები საშუალო ზომის  
ბირთვებად I :+,:+++ კლასის ბირთვები შედარებით დიდი ზომის ბირთვებად I +;;;  
კლასის ბითრვები დიდი ზომის ბირთვებად V

წარმოდგენილი მონაცემების ანალიზის საფუყველზე ირკვევა I რომ  
ძვითელი სხეულის ბითრვები საშვილოსნოს მიომის დროს მცირე ზომის  
კლასებშია განთავსებული V ეVიV ძველაზე მცირე ზომის 11I04,39I6 მკმ<sup>3</sup>,ის  
მოცულობის მქონე ბირთვები I რომლებიც 58I37?,ით არის წარმოდგენილი I  
მეორე ადგილზეა სიხშირით +++ კლასის ბითრვები I რომელთა მოცულობა  
უდრის 67I8,96I მკმ<sup>3</sup>,ს და შეადგენს 25?,სV მესამე ადგილზეა ++ კლასის  
ბირთვები I რომელთა მოცულობა შეადგენს 39I6,67I8 მკმ<sup>3</sup>,ს და წარმოდგენილია  
16I7?,ით (ცხრილი 19)V

საკონტროლო ჰესუფში ძვითელი სხეულის ბირთვების მოცულობა  
წარმოდგენილია საშუალო ზომის +,: კლასებით I შედარებით დიდი ზომის :+,  
:+++ კლასებით და დიდი ზომის +;; კლასებით V დასახელებულ კლასებს შორის  
მოდურია საშუალო ზომის : კლასის ბირთვები I რომელთა მოცულობაც უდრის

124I2,152I4 ბკბ<sup>3</sup>,სI ეს კლასი წარმოდგენილია 33I3?,ით ანუ ძველა ბირთვის  
ერთი მესამედიაV

ძვითელი სხეულის ბირთვების მოცულობა

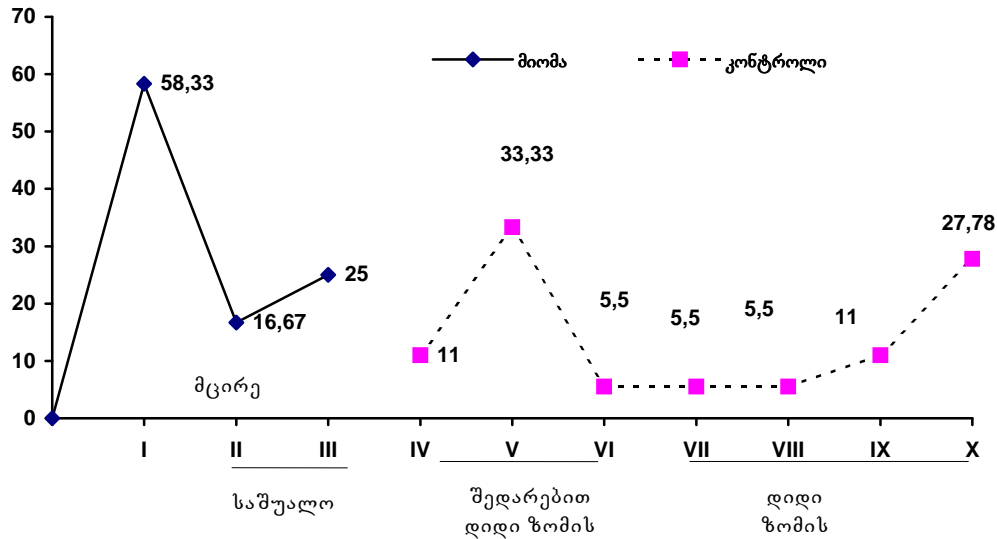
ცხრილი 19

.	კლასები	საშვილოსნოს მიომა	დარღვეული ორსულობა
+	11I4,39I62	58I33?	
++	39I62,67I82	16I67?	
+++	67I82,96I02	25?	
+:	96I02,124I2		11?
:	124I2,152I4		33I33?
:+	152I4,180I6		5I55?
:++	180I6,208I8		5I55?
:+++	208I8,237		5I55?
+:;	237,265I2		11?
;	265I2,293I4		27I78?

ძვითელი სხეულის ბირთვების მოცულობა საშვილოსნოს მიომით

დაავადებულ ქალებში და კონტროლში

გრული 40



მეორე ადგილზე სიხშირით არის დიდი ზომის ; კლასის 265I2,293I4 მკმ<sup>3</sup>,ის მოცულობის მქონე ბირთვები და შეადგენს 27I8?,სI ანუ ერთ მეოთხედზე მეტსV ამგვარადI ძვითელი სხეულის უპრედთა სამი მეხუთედი 60I1? არის საშუალო და დიდი ზომის ბირთვებიV 16I8?,ს შეადგენს შედარებით დიდი ზომის ბითრვებიI რომელთა მოცულობაც არის 124I2,237 მკმ<sup>3</sup>V 22? ანუ ერთ მეხუთედზე ცოტა მეტი ძვითელი სხეულის ბირთვებისა წარმოდგენილია საშუალო 96,124I2 მუმ<sup>3</sup>, ის მოცულობის და დიდი ზომის 237,265I2 მკმ<sup>3</sup>,ის მქონე ბირთვებითV საინტერესოაI რომ :+I :++ და :+++ კლასის ბირთვები ერთნაირი სიხშირით არის წარმოდგენილიVI თითოეული მაგთანი შეადგენს 5I5?,სV ერთნაირი სიხშირით არის :+ და +; კლასის ბირთვები და თითოეული მათგანი შეადგენს 11?,სV

ამგვარადI ჩატარებული კვლევის შედეგად გაირკვაI რომ მენსტრუაციული ძვითელი სხეულის უპრედები შეიცავს მხოლოდ მცირე ზომის , +,+++ კლასის ბითრვებსI ხოლო შეწვეტილი საშვილოსნოს გარეშე ორსულობის დროს ძვითელი სხეულის ბითრვების მოცულობა ვარიაბელურია და წარმოდგენილია +:I :I :+I :++I :+++I +;I ; კლასის ბითრვებითV მათ შორის არ არის მცირე ზომის +I ++ და +++ კლასის ბირთვებიV ვარიაბელობის ფონზე მოდურია საშუალო

ზომის +;: კლასის ბირთვები I რომელთა რაოდენობაც ერთად 4413?, ის ჭოლია VI  
ზემოხსენებულიდან გამომდინარე ნათელია I რომ გაურთულებელი  
საშვილოსნოს მიომის დროს მენსტრუაციული ძვითელი სხეულის ბირთვები  
უფრო მცირე ზომისაა I ვიდრე საშვილოსნოს გარე ორსულობის დროს  
ორსულობის ძვითელი სხეულის ბირთვები V

საშვილოსნოს ტანის პროლიფერაციული მიომით დაავადებულ ქალებში  
ძვითელი სხეულის უპრედებისა და მათი ბირთვების მოცულობის დაბალი  
მაჩვენებლები კონტროლთან შედარებით ადასტურებს თეკალუთეინური და  
გრუნულოზოლუთეინური უპრედების განვითრების შეფერხებას V  
მენსტრუაციული ციკლის მე, 20 დღეზე (რომელიც შეესაბამება ძვითელი  
სხეულის ძვავილობის სტადიას) ძვითელ სხეულში შერჩენილი მცირე  
მოცულობის მქონე გრანულოზური უპრედების არსებობა ადასტურებს  
არასრულფასოვანი ძვითელი სხეულის არსებობას V

## თავი :

5V1V ეპრ სიგნალების განსაზღვრა საშვილოსნოს მიომით დაავადებულ  
რეპროდუქციული პერიოდის ქალების საკვერცხებში მიომეტრიუმში და  
მიომის კვანძები

ცხრილი 20

მიომეტრიუმი და მიომის კვანძის პარამაგნიტური ცენტრები

	მიომეტრიუმი	მიომა
Mn <sup>2+</sup>	3210±314	47±216
Fe <sup>2+</sup>	58±117 ΔH=	100±213 ΔH= P<0,001
NO	2613±215	1513±115
Hb NO	,	+

მიომის და მიომეტურიმის პარამაგნიტური ცენტრების შედარებითი  
ანალიზის შედეგად გამომდინარეობსI რომ მიომის ქსოვილში მკვეთრად  
იზრდება Mn<sup>2+</sup> შემცველი დაბალმოლეკულური კომპლექსების  
კონცენტრაციაV როგორც ცნობილია Mn<sup>2+</sup> სხვა ცვალებადვალენტოვანი  
მეტალთა იონების მსგავსად ფენტონის და ჯაბერ,ვაისის რეაქციების აქტიური  
მონაწილენი არიან და ამ გზით განაპირობებენ ორგანიზმში (ქსოვილში)  
თავისუფალრადიკალური რეაქციების ინტენსიფიკაციას (ცხრილი 20)V

ცხრილიდან აგრეთვე ჩანსI რომ მიომის ქსოვილში მკვეთრად  
მომატებულია რკინის იონების (Fe<sup>2+</sup>) შემცველობაV ამასთან აღსანიშნავიაI  
რომ თუ მიომეტრუმის ქსოვილში თავისუფალი რკინის ეპრ სიგნალის (g=2,02)  
ნახევარგანი ΔH=250 ჯს-ის თолიაI მიომის ქსოვილში აღნიშნული სიგნალის  
ნახევარგანი ვიწროვდება და შეადგენს ΔH= 20 ჯსV მიომეტრიუმში  
რეგისტრირებული ეპრ სიგნალი g=2,02 ΔH=250 ჯს ჩვენ შეგვიყლია  
მივაკუთვნოთ ფერიტინშეკავშირებულ რკინასV ეს სიგნალი ზშირად

რეგისტრირდება სხვადასხვა ქსოვილების ეპრ სპექტრებში ნორმასა და პათოლოგიის დროს და შესაყლოა ასახავს ქსოვილში ფერიტინში შეკავშირებული რკინის კონცენტრაციას V როგორც ცნობილია I სხვადასხვა ლიგანდები და მათ შორის ასკორბინის მჟავა I წძალბადის ზეჟანგი  $H_2O_2$  ზელს უწმობენ ფერიტინიდან ორვალენტიანი რკინის გამოსვლას და  $Fe^{2+}$  დაბალმოლეკულური კომპლექსების წარმოქმნას V ეს ნაერთი ხასიათდება ეპრ სიგნალით  $g=2,20$ ;  $\Delta H= 20$  ჯს ანუ შეგვიყლია დავასკვნათ I რომ მიომის ქსოვილს მიომეტრიუმისაგან განსხვავებით ახასიათებს ფერიტინიდან განთავისუფლებული რკინის იონების  $Fe^{2+}$  სიჭარბე ( $P<0,001$ ) I რომლებიც  $Mn^{2+}$  იონებთან ერთად თავისუფალრადიკალური ჟანგვისა და ლიპიდების ზეჟანგური ჟანგვის მყლავრი პრომოტორები არიან და ზელს უწმობენ მიომის ქსოვილში ოქსიგენური სტრესის განვითარებას I რაც დასტურდება ლიტერატურული მონაცემებით (Foksinski et al., 2000; Chiou F, Hu M.O.L., 1999).

ამას გარდა I მიომეტრიუმის და მიომის ქსოვილში შესწავლილია თავისუფალი აზოტის ოქსიდის შემცველობა I როგორც ცხრილში მოძვანილი მონაცემებიდან გამომდინარეობს I თუ მიომეტრიუმის ქსოვილში თავისუფალი  $NO_2$ -ს ეპრ სიგნალის ინტენსივობა წარმოადგენს  $26I3\pm2I5$  მმ/მგ I მიომის ქსოვილში ამ სიგნალის ინტენსივობა მკვეთრად მცირდება  $15I3$  მმ/მგ (40?,ით) V

**5V2V  $Mn^{2+}$ -I  $Fe^{2+}$  - იონების და  $NO$ -ს ეპრ სიგნალები საკვერცხეებისძვითელ  
სხეულში და ფოლიკულის ცისტის კედელში საშვილოსნოს მიომით  
დაავადებული ქალების**

როგორც ცნობილიაI საკვერცხე ჯორმონდამოკიდებული ორგანოაI რომელიც გამოიმუშავებს ჯორმონებს ესტრდიოლს და პროგესტერონსV ამ ჯორმონების შემცველობაზეა დამოკიდებული გენიტალური აპარატის ციკლური ფიზიოლოგიური ცვლიებებიV

აგრეთვეI ცნობილიაI რომ საშვილოსნოს მიომა წარმოადგენს ჯორმონდამოკიდებულ სიმსივნესI რომელიც ვითარდება ჯიპერესტროგენემიის საფუყველზეV ჯიპერესტროგენემიის საფუყველს ქმნის საკვერცხის ფოლიკულური აპარატის ცვლილებები და ამასთან არასრულფასოვანი ძვითელი სხეულის არსებობაV სადღეისოდ არსებულ შრომებში ნაკლებად არის წარმოდგენილი საშვილოსნოს მიომების დროს საკვერცხის ფოლიკულური აპარატისI მათ შორის თეკა გარსისI გრანულოზური უპრედებისI ექსნერის სხეულაკებისI გრანულოზური უპრედების პლოიდობის მაჩვენებელი და ძვითელი სხეულის უპრედების მორფომეტრიული ცვლილებების ხასიათიV ჩენს მიერ ჩატარებულ კვლევაში ზემოხსენებული პარამეტრები არის განსაზღვრულიV კერყოდI როგორც უკვე იძო აღნიშნული აღმოჩნდაV

გარდა ზემოხსენებულისაI ჩვენთვის მნივშნელოვანია ჯიპერესტროგე, ნემიის დროს მეტაბოლიზმის ხასიათის და მისი ცვლილებების შეფასებაV ჩვენ მიერ შესწავლილი იქნა  $Mn^{2+}$ -I  $Fe^{2+}$ -იონების და  $NO$ -ს ეპრ სიგნალები I ფოლიკულას კედლებში და ძვითელ სხეულში საკვერცხის სხვადასხვა პათოლოგიის დროსV

+ ჰერცოგი გაერთიანდა არასრულფასოვანი ძვითელი სხეულის მქონე შემთხვევები და დადგინდა ძვითელი სხეულის ქსოვილის  $Mn^{2+}$ ,  $Fe^{2+}$  და  $NO$ -ს ეპრ სიგნალებიV

++ ჰერცოგი შევიდა ნორმალური საკვერცხეები ნორმალური ძვითელი სხეულითV დადგინდე ზემოხსენებული ეპრ სიგნალებიV

+++ ჰერცოგი შევიდა ფოლიკულური ცისტის მქონე საკვერცხეები და დადგინდა ფოლიკულური ცისტის კედელში  $Mn^{2+}$ ,  $Fe^{2+}$  და  $NO$ -ს ეპრ სიგნალებიV

$Mn^{2+}$ ,  $Fe^{2+}$  და  $NO$ -ს შემადგენლობა ნორმულ და არასრულფასოვან ძვითელ

სხეულში საშვილოსნოს მიომით დაავადებულ ქალებშიV

#### ცხრილი .1

საკვერცხე	არასრულფასოვანი ძვითელი სხეული			ნორმალური ძვითელი სხეული		
	$Mn^{2+}$	$Fe^{2+}$	$NO$	$Mn^{2+}$	$Fe^{2+}$	$NO$
ეპრ სიგნალები	$23 \pm 1134$	$4416 \pm 2103$	$2313 \pm 1126$	$1616 \pm 0163$	$2414 \pm 1130$	$20 \pm 0183$
ძვითელი სხეული						

როდესაც შევადარეთ ერთმანეთს საშვილოსნოს მიომით დაავადებულ ქალებში არასრულფასოვანი ძვითელი სხეულის მქონე საკვერცხეების ეპრ საექტებიI ძვითელ სხეულში  $Mn^{2+}$ ,  $Fe^{2+}$  და  $NO$ -ს ეპრ სიგნალების ინტენსივობაI აღმოჩნდა შემდეგი (ცხრილი 21)% არასრულფასოვან ძვითელ სხეულში ნორმული ძვითელი სხეულთან შედარებით მკვეთრად იმატებს  $Mn^{2+}$  ( $P < 0,001$ ) და  $Fe^{2+}$  ( $P < 0,001$ ) იონების ეპრ სიგნალებიV  $NO$  კი იმატებს ( $P < 0,02$ ) შედარებით მცირედV

$Mn^{2+}$ ,  $Fe^{2+}$  იონების და NO-ს ეპრ სიგნალები ფოლიკულური

### ცისტის კედელში

ცხრილი 22

საკვერცხე	$Mn^{2+}$	$Fe^{2+}$	NO
ფოლიკულური	$100 \pm 319$	$90 \pm 2173$	,
კისტის კედელი			

რაც შეეხება საშვილოსნოს მიომით დაავალებულ ქალებსI იმ შემთხვევებშიI სადაც საკვერცხეებში აღინიშნება ფოლიკულური კისტების არსებობაI აღმოჩნდაI რომ  $Mn^{2+}$  და  $Fe^{2+}$  იონების კონცენტრაცია მკვეთრად იმტებსV

NO-ს ეპრ მაჩვენებლები ფოლიკულური კისტის კედელში კი არ იქნა აღმოჩენილიV

ამრიგადI არასრულფასოვან ძვითელ სხეულში და უფრო მეტად კი ფოლიკულური ცისტის კედელში  $Mn^{2+}$  და  $Fe^{2+}$  იონების ეპრ სიგნალების მკვეთრი მატება ნიშნავს მემბრანული სტრუქტურების მთლიანობის დარღვევასV NO-ს უმნიშვნელო რაოდენობა კი ამ ნაერთის წარმოქმნის ინტენსივობაზე ან სწრაფ გარდაქმნაზე მიუთითებსV

5V3V ზღვის გოჭის მიომეტრიუმში და საკვერცხებში  $Mn^{2+}$ ,  $Fe^{2+}$  იონების და

პარამაგნიტური ცენტრების ცვლილებები ესტრადიოლით დატვირთვის

პირობებში

ზღვის გოჭის მიომეტრიუმში ეპრ სპექტრომეტრიული ცვლილებები

ესტრადიოლით დატვირთვის დროს

ჰგუფები	$Mn^{2+}$	$Fe^{2+}$	NO
კონტროლი	$10 \pm 0.13$	,	$14.17 \pm 0.193$
5,ჰერადი	$11 \pm 0.142$	,	$21.14 \pm 1.21$
10,ჰერადი	$15.01 \pm 0.19$	,	$21.19 \pm 1.19$

როგორც ცხრილიდან ჩანს I ზღვის გოჭების ესტრადიოლით 5,ჰერადი დატვირთვის დროს მიომეტრიუმში  $Mn^{2+}$  იონების ეპრ სიგნალის ინტენსივობა მცირედ იმატებს (რაც არ არის სარწმუნო)I აზოტის უანგის შემადგენლები კი იმატებს 46?,ით ( $P<0,001$ ). (ცხრილი 22)V

ესტრადიოლის 10,ჰერადად გაზრდილი დოზით დატვირთვის შემთხვევაში ზღვის გოჭის მიომეტრიუმში  $Mn^{2+}$ -იონების შემადგენლობა ნორმასთან შედარებით იზრდება 50?,ით ( $P<0,001$ ), თავისუფალი აზოტის ოქსიდის შემადგენლობა მომატებულია 46?,ით ( $P<0,001$ ).

როდესაც შევადარეთ ზღვის გოჭების მიომეტრიუმში მიმდინარე ცვლილებები ესტრადიოლით 5,ჰერადადი და 10,ჰერადი დატვირთვის პირობებში აღმოჩნდაI რომ  $Mn^{2+}$ -იონები 10,ჰერადი დატვირთვის დროს 5, ჰერადთან შედარებით საგრძნობლად იმატებს ( $P<0,001$ ), აზოტის ოქსიდის შემცველობა კი უცვლელი რჩება ( $P<0,01$ ).

5V4V საკვერცხის პარამაგნიტური ცენტრების ცვლილებები

საკვერცხის პარამაგნიტური ცენტრების ცვლილებები ესტროგენებით

დატვირთვის შემდეგ

ცხრილი .24

	$Mn^{2+}$	$Fe^{2+}$	NO
კონტროლი	$410 \pm 015$	,	$5 \pm 015$
5,ჰერ	$11 \pm 215$	,	$15 \pm 018$
10,ჰერ	$11 \pm 210$	,	$30 \pm 112$

ცხრილში მოძვანილია პარამაგნიტური ცენტრების ცვლილებები ზღვის გოჭების ესტროგენებით 5,ჰერადი და 10,ჰერადი დატვირთვის შემდეგ V როგორც ცხრილიდან გამომდინარეობს კონტროლში საკვერცხის ეპრ სპექტრში რეგისტრირებულია  $Mn^{2+}$ -I  $Fe^{2+}$ -იონების და აზოტის ჟანგის ეპრ სიგნალებიV ზღვის გოჭების ესტროგენებით 5,ჰერადი დატვირთვის შემდეგ აზოტის ჟანგის ეპრ სიგნალის ინტენსივობა 3,ჰერ იზრდება საკონტროლო მაჩვენებლებთან შედარებითI ხოლო  $Mn^{2+}$ -იონების ეპრ სიგნალის ინტენსივობა იზრდებოდა 217,ჰერV

ზღვის გოჭების ესტროგენებით 10,ჰერადი დატვირთვის შემდეგ აზოტის ჟანგის ეპრ სიგნალის ინტენსივობა იზრდებოდა 6,ჰერ საკონტროლო მაჩვენებლებთან შედარებითI მომატებული იძო აგრეთვე  $Mn^{2+}$ -იონების ეპრ სიგნალის ინტენსივობაV

როგორც ცნობილიაI ესტროგენები ასტიმულირებენ ინდუცირებული NO სინთაზას (iNOS) აქტივობასV მაშასადამე NO ეპრ სიგნალის ინტენსივობის მომატება ესტროენების დატვირთვის შემდეგ ამ ჯორმონების iNOS მასტიმულირებელი მოქმედებითაა განპირობებულიV  $Mn^{2+}$  იონების ეპრ

სიგნალის მომატება საკერცხის ქსოვილში კი მემბრანული სტრუქტურების რღვევის მაუწმებელიაV ანუ შეგვიყლია დავასკვნათI რომ ზღვის გოჭების ესტროგენებით დატვირთვის დროს საკერცხის ქსოვილში ადგილი აქვს აზოტის ჟანგის სინთეზის ინტენსიფიკაციას და მემბრანული სტრუქტურების მთლიანობის დარღვევასV

## თავი :+

### საკუთარი შედეგების შეჯამება და განსკა

საკითხის ლიტერატურის საფუყვლიანი შესწავლის საფუყველზე ნათლად ჩანს I რომ საშვილოსნოს ტანის მიომების არსისI აღმოცენების მიზეზებისI განვითარებისI მკურნალობის შესახებ ფუნდამენტური პველევებია ჩატარებულიV რაც მთავარიაI დადგენილია საშვილოსნოს მიომების აღმოცენების ჯორმონალური ბალანსის დარღვევის ფონიV დადგენილია კანონზომიერებანი თავის ტვინის დიდი ჯემისფეროების ქერქისI ქერქვეშა კვანძებისI განსაკუთრებით ჯიპოთალამუსის ჯიპოფიზთან განუძრელ კავშირში მძოფი ბირთვებისI ნეირო, და ადენოჯიპოფიზის უპრედთა ცალკეული პოპულაციებისI ფარისებრი და თირკმელზედა ჰირკვლებისI პარაგანგლიებისI ნერვული სისტემისI სიმპატიკური და პარასიმპატიკური განძოფილებების ურთიერთდამოკიდებული „ჯარმონიული“ ფუნქციობა ჯორმობალანსის არსებობისთვისV აქედან გამომდინარეI გასაგებია თუ რა გრყელია ჯორმონული ბალანსის უზრუნველმძოფელი მრავალრგოლოვანი ჰაჭვიV

ზემოჩამოთვლილთა შორის ჩვენ სპეციალურად არ დავასახელეთ საკვერცხებიI რადგან ნერვული და ენდოკრინული სისტემის ზემოხსენებული განძოფილებების ერთობლივი და თანმიმდევრული ფუნქციობის ასახვის ტერმინალს საკვერცხები წარმოადგენსV

საკვერცხები არის „აღმასრულებელი“ ორგანოI რომელმაც უნდა წარმოქმნას ჯორმონების ის რაოდენობაI რომელიც ქალის ორგანიზმის სასქესო ფუნქციასI დაI რაც მთავარიაI რეპროდუქციულ სისტემას განაპირობებსV

მიუხედავად ზემოდასახალებული ნერვულ, ენდოკრინული „ჰაჭვისა“ ქალის მთავარი ჯორმონების □ ესტეროგენების (ესტრონისა და ესტრადიოლის სახით)I გესტაგენების (პროგესტერონის სახით) უმეტესი ნაწილი საკვერცხებში არის წარმოდგენილი და ამიტომ ჯორმონული ბალანსის თუ

დისბალანსის რეალიზაციას განაპირობებს საკვერცხები I მათი ფოლიკულური აპარატი და ძვითელი სხეული V

საშვილოსნოს ტანის მიომების ჯორმონდამოკიდებულიბის აღიარება სწორედ საკვერცხების დასახელებული ჯორმონების რაოდენობის ცვლილებების გამოვლინებით დაიწმო და შემდეგ ათეული წლების განმავლობაში მიმდინარეობს ინტენსიური კვლევა იმის თაობაზე I თუ რომელი ჯორმონის რაოდენობის ცვლილებაზეა დამოკიდებული საშვილოსნოს ტანში მიომის აღმოცენება V არ გავიმეორებთ ამ საკითხის შესახებ აზრთა სხვადასხვაობის ცვლილებას წლების მანყილზე I აღვნიშნავთ მხოლოდ იმას I რომ უკვე თითქმის 15 წელია ითვლება I რომ საშვილოსნოს ტანის მიმების აღმოცენება ჯორმონული ბალანსის დარღვევის იმ შემთხვევაში ხდება I როდესაც ქალის ორგანიზმში იწმება და სტაბილიზდება ესტრადიოლის სიჭარბე და დასახელებული ჯორმონის ეს სიჭარბე ხორციელდება საკვერცხებში ესტრადიოლის გაყლიერებული სინთეზით V

2000 წელს გამოქვემნებული აVგVსავიცკის გVსავიცკის მონოგრაფიაში ნაჩვენებია ექსპერიმენტული კვლევის შედეგები I რომლის პირობებშიც ესტრადიოლის გარედან შეძვანამ განაპირობა საშვილოსნოს ტანში (რქებში) მიომის აღმოცენება I მისი შემდგომი განვითარებით ესტრადიოლის მაღალი ტიტრის სტაბილიზაციის პირობებში და მიომის რედუქცია მიობლასტების პროლიფერაციის შეწმვეტა სისხლში ესტრადიოლის რაოდენობის ნორმალიზაციის შემდეგ V

ამ ექსპერიმენტულმა მიღწევებმა დაადასტურა საშვილოსნოს ტანის მიომების აღმოცენება ჯორმონული ბალანსის დარღვევის ისეთ შემთხვევაში I როდესაც საკვერცხებში ესტრადიოლის სინთეზის ფუნქცია არის გაყლიერებული და ესტრადიოლის რაოდენობა იმატებს (მომატებულია) I როგორც მთლიანად სისხლში I ისე მცირე მენტის ღრუს აუზში V

მეცნიერებისა და ტექნიკის განვითარების მონაპოვარი I რომელიც მოლეკულურ, იონურ ბიოლოგიასა და პათოლოგიას ეხება I ბუნებრივია I ახალ მოთხოვნებს უძენებს საერთოდ ავადმბოფობების და მათ შორის საშვილოსნოს მიომების კვლევისა და მკურნალობის საქმეს V აღნიშნულიდან გამომდინარე I რა თქმა უნდა I ზემოხსენებული ეVიV მოლეკულურ, იონური შედგენილობის პოზიციიდან ხელახლა გამოსაკვლევია საკვერცხის ძველა შემადგენელი სტრუქტურა და ახალი I უფრო სწორი წარმოდგენის მიღება მასზე თუ როგორ უნდა შეფასდეს დღეს საკვერცხის სტრუქტურებში არსებული მოლეკულურ, იონური ცვლილებების არსებობა საშვილოსნოს ტანში მისი აღმოცენებისთვის V

ამ თვალსაზრისით მნიშვნელოვანია საკვერცხების ძველა სტრუქტურულ, ფუნქციური შემადგენლის მდგომარეობის გარკვევა % 1V ფოლიკულების I მისი გამომფენი გრანულოზური უპრედების I მასში არსებულ კვერცხუპრედთა I გრანულოზურ უპრედებს შორის არსებული ექსნერის სხეულაკების I ფოლიკულის შიგთავსის V 2V ფოლიკულის გარეთა გარსის ანუ შიდა თეკა გარსის (theca interna). 3V თეკა ქსოვილის V 4V პრიმორდიული და გააქტივებული ანუ მზარდი ფოლიკულების V 5V ძვითელი სხეულის V სწორედ ამიტომ გადავწმვიტეთ საკვერცხების მდგომარეობის I კერყოდ I მორფოლოგიურ, ფუნქციური თავისებურებების გამოკვლევა საშვილოსნოს ტანის პროლიფერაციული ტიპის მიომების დროს V

საშვილოსნოს მიომის შესწავლა და ამ პირობებში საკვერცხის მორფოლოგიური ცვლილებების დახასიათება ჩვენს მიერ ნაწარმოებია პერინატოლოგიისა და მეანობა, გინეკოლოგის ს/კ ინსტიტუტის ქირურგიული და მორფოლოგიური განძოფილების 1981, 90 წლის ნაოპერაციები და გამოკვლეული მასალებზე დაძრდნობით V მთელი მასალა დაიძო 4 ჰეთად ასაკის მიხედვით % რეპროდუქციული I პრემენოპაუზის I მენოპაუზის და პოსტმენოპაუზის პერიოდები V ცალკეულ ასაკობრივ ჰეთადებში იძო ერთკვანყიანი და

მრავლკვანყიანი შემთხვევებისგან შემდგარი ქვეპეტუფებიV თითოეული ქვეპეტუფი დაძოფილი იძო მიომის ზომების მიხედვით 4 სმ, მდე დიამეტრისI 8 სმ, მდე და 8 სმ, ზე მეტი დიამეტრის კვანყოვან მიომებადV საკვერცხის ციკლის მიხედვით კი გამოიძო 2 ჰეტუფი □ ანოვულაციური და ოვულაციურიV ცალკეული ჰეტუფებიI როგორც ანოვულაციურიI ისე ოვულაციური დაიძო ქალის ასაკისI მიომის კვანყების რაოდენობისა და ზომების მიხედვით ქვეპეტუფებადV

საარქივო მასალის კვლევის შედეგად დადგინდაI რომ% ლოკალიზაციის მიხედვით ძველაზე ხშირია კვანყების სუბმუკოზური მდებარეობაI რომელიც მთელ მასალაში გვხვდება 53I6?, შიI მათ შორის რეპროდუქციულ პერიოდში, 63I6?, შიI პრემენოპაუზაში, 47I6?, შიI მენოპაუზაში, 50?, ში და პოსტმენოპაუზაში, 50?, შიV საკვერცხის ციკლის მიხედვით კვანყების სუბმუკოზური ლოკალიზაცია უფრო მაღალია ოვულაციური ციკლის (63?) პირობებშიV თუ გავითვალისწინებთ სუბბაზალურად მდებარე ფაშარ ქსოვილში უხვ ვასკულარიზაციას და ამასთან ავტორთა შეხედულებას საშვილოსნოს მიომის განვითარების შესახებ სისხლყარღვთა კედლის ან სისხლყარღვთა ირგვლივ განლაგებული ზრდის ზონებიდანI მაშინ გასაგები ხდება კვანყების სუბმუკოზური ლოკალიზაციის უპირატესობა ძველა ასაკობრივ ჰეტუფშიV ამასთანI ოვულაციური ციკლის პირობებში მიომის კვანყების სუბმუკოზური ლოკალიზაციის მაღალი სიხშირე გამოწვეული უნდა იძოს სეკრეციულ ფაზაში სუბბაზალურად სპირალური არტერიების სიუხვითV აღნიშნული შეხედულების სასარგებლოდ ლაპარაკობს მკვლევართა მოსაზრება პროგესტერონის ეფექტის შესახებ სუბმუკოზური ლოკალიზაციის კვანყების ზრდაშიV

კვანყების რაოდენობის მიხედვით ბევრად ჭარბობს მრავალკვანყოვანი მიომების სიხშირე პრემენოპაუზაში (59I1?)I მენოპაუზაში (65I9?) და პოსტმენოპაუზაში (69?)V საკვერცხის ციკლის მიხედვით კი მრავალკვანყიანი

მიმების სიხშირე სამივე ასაკობრივ ჰგუფში მაღალია ანოვულაციური ციკლის დროს და შესაბამისად პრემენოპაუზაში ტოლია 62?,ისI მენოპაზაში 62I5?,ისI და პოსტმენოპაუზაში □ 72I2?,ისV გამომდინარე ზემოხსენებულიდან შეიყლება დავასკვნათI რომ ამ ასაკობრივ ჰგუფებში მიომის პათოგენეზში მნიშვნელოვანია ლატენტურად მიმდინარე ოვარული დისფუნქციის როლი და მისი მორეციდივე ხასიათიV

რეპროდუქციულ პერიოდში როგორც ერთკვანყიანიI ისე მრავალკვანყიანი მიომები არის თითქმის თანაბარი სიხშირით% მათ შორის მრავალკვანყიანი , 51?,შიI ერთკვანყიანი , 49?,შიV საკვერცხის ციკლის მიხედვით აგრეთვე მრავალკვანყიანი მიომების სიხშირე ინარჩუნებე მცირედ უპირატესობას% მათ შორის ოვულაციური ციკლის დროს მათი სიხშირე ტოლია 52I7?,ისI ხოლო ანოვულაციური ციკლისი პირობებში 50I8?,ისV აღნიშნულის საფუყველზე შეიყლება ვიმსპელოთ რეპროდუქციული პერიოდის ქალებში მწვავე დისჯორმონული ფონის არსებობაზე და როგორც ანოვულაციურიI ისე ოვულაციური ციკლის დროს არსებული დარღვევების მნიშვნელოვან როლზე მიომის პათოგენეზშიV ეს დარღვევები ყირითადად წარმოდგენილია ფოლიკულური აპარატის და ძვითელი სხეულის დისგენეზითI რომელიც როგორც ანოვულაციისI ისე ოვულაციის პირობებში მთავრდება მწვავე ჯიპერესტროგენემის ჩამოძალიბებითV

კვანყების ზომების მიხედვით მთელ შესწავლილ მასალაზე დაძრდნობითI ძველა ასაკობრივ ჰგუფში მკვეთრად იმატებს 8 სმ,მდე დიამეტრის მიომების სიხშირე მათ შორის მრავალკვანყიანი მიომების უპირატესობითV 4 სმ,მდე დიამეტრის მიომების რაოდენობა შემცირებულიაI მათ შორის უპირატესობით სარგებლობს მრავალკვანყიანი მიომებიV 8 სმ,ზე დიდი დიამეტრის კვანყოვანი მიომების სიხშირე ასევე მთლიან მასალაზე შემცირებულია ძველა ასაკობრივ ჰგუფში მათ შორის მაღალია ერთკვანყიანი მიომების სიხშირეV ეს კანონზომიერება უცვლელი რჩება ძველა ასაკობრივ ჰგუფში და არ

ემორჩილება საკვერცხის ციკლს და სხვა თანმხლებ მოვლენებს V ზემოაღნიშნულის საფუყველზე შეიყლება გაკეთდეს დასკვნაI რომ 4 სმ,მდე დიამეტრის მიომები ყირითადად პროლიფერაციული ტიპისაა ან ემთხვევა მიომის კვანძის აქტიურ ზრდის პერიოდს და მიეკუთვნება სწრაფმზარდ პროცესებსI რომლებიც მწვავე დისჯორმიული ფონით მიმდინარეობს და ამიტომ მაღლე გადადის ამ ზომებიდანV 8 სმ,მდე დიამეტრის მიომების სიხშირის მაღალი მაჩვენებელი მათ შორის მრავალკვანძიანი ფორმების მომატება მეტძველებს პროცესის გაქრონიულებაზე (სხვადასხვა კომპენსატორული მექანიზმის ზარჲზე) და ლატენტური პერიოდების სასარგებლოდI როელსაც ახასიათებს რეციდივებიV

ფოლიკულური ხასიათის ცისტები რეპროდუქციულ პერიოდში იმატებს თანაბარი სიხშირით როგორც ერთკვანძიანI ისე მრავალკვანძიან სხვადასხვა ზომის მიომებში უპირატესად ანოვულაციური ციკლის დროსV ხოლო პრემენპაუზაშიI მენოპაუზაში და პოსტმენპაუზაში მათი სიხშირე მაღალია ერთკვანძიან მიომებში უპირატესად ანოვულაციური ციკლის დროსV ეს კანონზომიერება ვრცელდება მიომის კვანძების ზომების მიხედვითაცI როგორც 4 სმ,მდე და 8 სმ,მდეI ისე 8 სმ,ზე ზემოთ დიამეტრის კვანძოვანი მიომების დროსV აღნიშნულის საფუყველზე შეიყლება ვივარაუდოთ საშვილოსნოს მიომით დაავადებულ ქალებში% ანოვულაციური ციკლის უპირატესობაზე როგორც ფოლიკულური აპარატის დისგენეზის შედეგზეX ამასთანI რეპროდუქციულ პერიოდში საკვერცხის დისფუნქციის განსაკუთრებულ სიმყიმეზე და მიომის ზრდის მაღალ პოტენციალზეX ხოლო დანარჩენ ასაკობრივ ჰგუფებში ერთკვანძიანი მიომების დროს ფოლიკულური აპარატის დისგენეზის მაღალი მაჩვენებელი ძველა ზომის მიომებში უფრო ხშირად მიუთითებს მწვავე ან პროლონგირებულიI უწმვეტიI გახანგრყლივებულიI მდგრადი დისფუნქციური ჯიპერესტროგენების არსებობაზეX აღნიშნულ ასაკობრივ ჰგუფებში მრავალკვანძოვანი მიომებში შედარებით ერთკვანძიანთან

ფოლიკულური აპარატის დისგენეზიის სიხშირის შედარებით დაბალი მაჩვენებელი (სხვადასხვა ზომის მიომებში) კი მიუთითებს საკვერცხის დისფუნქციის ზანგრყლივ ქრონიკულ ზასიათზეI რომელსაც თან ახლავს რემისიული ანუ მშვიდი მოსვენებითი პერიოდები ჯორმონალური ჯომეოსტაზის მხრივ და გამწვავებებით ჯიპერესტროგენებით რაც იწვევს ძველა არსებული მიომატოზური კვანყების ზრდასთან ერთად ახალი კვანყის წარმოქმნასაცV

მიომის შემთხვევებში პათოლოგიური მენსტრუაციული ციკლი აღინიშნება 75I6?,შიX მათ შორის რეპროდუქციულ პერიოდში 72I2?,შიI პრემენპაუზაში 79I8,შიI მენოპაუზაში 74I6?,ში და პოსტმენპაუზაში 76?,შიX კვანყების რაოდენობის მიხედვით მისი სიხშირე თითქმის თანაბარია და ერთკვანყიანი მიომების დროს აღინიშნება 81I8?,ში და მრავალკვანყიანი მიომების დროს 82II?X კვანყების ზომების მიხედვით ხშირია 8 სმ,მდე დიამეტრის მიომების დროს ძველა ასაკობრივ ჰგუფშიI ხოლო 4 სმ,მდე და 8 სმ,ზე მეტი დიამეტრის მქონე კვანყოვანი მიომების დროს შედარებით კლებულობს ძველა ასაკობრივ ჰგუფშიV

პათოლოგიური მენსტრუაციული ციკლიდან ხშირია ჯიპერპოლიმენორეა (43I5?)I მეორე ადგილზეა ჯიპერმენორეა (34I5?) და მესამეზეა ციკლური სისხლდენა (21I9?)V

ვენი კვლევის საფუყველზე შეიყლება ვივარაუდოთ პათოლოგიური მენსტრუაციული ციკლის და საშვილოსნოს მიომის განვითარების საერთო მეანიზმების არსებობაზეV რაც შეეხება სისხლდენის ზანგრყლივობასI იგი დამოკიდებულია კვანყების ზომიებისI რაოდენობის და მათი ლოკალიზაციის შედეგად გაზრდილ ენდომეტრიუმის ფართობზეV სსარქივო მასალის ფონზე რეპოდუქციულ პერიოდში არსებულმა მწვავე დისჯარმონიულმა ფონმა და უკანასკნელი წლების მანყილზე ამ ასაკში მიომის ზრდამ გამოიწვია ჩვენი არჩევანი სწორედ ამ ასაკბრივი ჰგუფის პაციენტებზეV

ექოსკოპიური კვლევის დროს დადგინდა რომ პროლიფერაციული ტიპის მიომებში აღინიშნება მკვეთრად გამოხატული პერიფერიული ვასკულარიზაცია და კვანყის შიდა სისხლის ნაკადის რეზისტენტობის ინდექსის დაბალი მაჩვენებელი I ფერადი დოპლენოგრაფიული კარტირების მიხედვით (რეზისტენტობის ინდექსი პშბ0ბ56)V კვანყებში ადგილი აქვს ფიბროზული ქსოვილის შემცირებასV

მიომის კვანყის მაღალი პროლიფერაციული აქტივობის დროს რეპროდუქციული პერიოდის ქალებში საკვერცხეში დადგინდა მულტიფოლიკულოზი 23I3?,შიI კისტოზური ძვითელი სხეული , 16I67?,შიI არასრულფასოვანი ძვითელი სხეული 10?,შიI 6I67?,ში , ჯიპერანდროგენემიაI ხოლო 30?,ში , ნორმა და 13I33?,ში , ლუთეინიზებული ძვითელი სხეულიV

საკვერცხის კვლევის მნიშვნელოვან რგოლს საშვილოსნოს მიომით დაავადებულ ქალებში წარმოადგენს ჯორმონალური სარკის შესწავლა ლუთეინურ ფაზაში მენსტრუალური ციკლის მე,20 დღეზეV

მალუთეინიზებელი ჯორმონიI რომელიც მენსტრუაციული ციკლის მე,20 დღისთვის უნდა განიცდიდეს თანდათანობით შემცირებასI იგი აღწევს მაღალ დონეს და თითქმის ისეთივეა როგორც ოვულაციის დროსV

პოსტოვულაციურ პერიოდში პროგესტერონის დონე მკვეთრად ეცემაV ესტროგენების კონცენტრაცია კი რჩება ნორმის ქვედა ზღვარის შესაბამისი დოზითV

გამომდინარე ზემოსენებულიდან შეიყლება ითქვასI რომ საშვილოსნოს პროლიფერაციული მიომით დაავადებული რეპროდუქციული ასაკის ქალებში არასრულფასოვანი ძვითელი სხეულის დროს ვითარდება პროგესტერონის დეფიციტის ფონზე შეფარდებითი ჯიპერესტროგენემიაV

როგორც ცნობილიაI ესტროგენების სინთეზში მნიშვნელოვან როლს თამაშობს ფერმენტი 17 $\beta$  ჯიპეროქსიდსტეროიდ დეჯიდროგენაზაV ამ ფერმენტის + ტიპი დალოკალებულია გენეტიკურად მე,17 ქრომოსომაშიI

წარმოადგენს გრანულოზური უპრედების ყირითად ფერმენტს და მონაწილეობს არააქტიური ესტრონიდან ესტრადიოლის წარმოქმნაშიI უკანასკნელი იწვევს ფოლიკულის მომწიფებასV ++ ტიპის ფერმენტი დალოკალებულია განეტიკურად მე,16 ქრომოსომაშიI ყირითადად მოთავსებულია პეროქსისომებში და იწვევს ესტრადიოლის დაუანგვას ესტრონადV აღნიშნული პროცესი შეფერხებულია პროგესტერონის დეფიციტის პირობებშიI რის გამოც ესტრადიოლი გვევლინება მუდმივად აქტიური სახით და იყლევა შეფარდებით ჯიპერესტროგენემიასV

ამ მიზნით მნიშვნელოვანია ესტრადიოლის ანტიოქსიდანტური მექანიზმების და მათი პრეოვულაციურ ფოლიკულზე მოქმედების შესწავლაV ექსპერიმენტშიI როდესაც დაქვეითებული იძო ესტრადიოლის პროდუქცია სპეციალური ქიმიური ინჯიბიტორებითV ამას მოჯძვა ლიპიდური პეროქსიდაციის გაყლიერება ფოლიკულებშიI ტესტროსტერონის აკუმულაცია და გრანულოზური უპრედების დეფიციტი მათი პროლიფერაციის შემცირებით და აპოპტოზის გაზრდითI ასეთ ფოლიკულებს მოჯძვა ლუთეოციტების ფუნქციის დაქვეითებაV ეVიV პრეოვულატორული ფოლიკულის არაადექვატური ექსპოზიცია ესტრადიოლთან განაპირობებს გრანულოზურ, ლუთეინურ უკმარისობას (დგტვ თბვე უე ფდბ 1999)V მკვლევართა მოსაზრებით ესტრადიოლი თრგუნავს ოქსიდაციური სიტრესით გამოწვეულ აპოპტოზსV ოქსიდაციური სტრესით გამოწვეული უპრედის აპოპტოზი იწვევს კორპუს ლუთეუმის რეგრესიას და ფოლიკულის ატრეზიის ერთ, ერთი მექანიზმია (ქგკვწსრ ცმლბ 1998)V

ზემოხსენებულიდან გამომდინარე ნათელი ხდებაI თუ რა დიდია ესტრადიოლის როლი ფიზიოლოგიის პირობებშიV სწორედ ოქსიდაციური სტრესით გამოწვეული აპოპტოზი შეიყლება იძოს მიზეზი ძვითელი სხეულის ნაადრევი რეგრესიისა მვავილობის სტადიის გარეშე რასაც ზოგპერ ადგილი

აქვს საშვილოსნოს პროლიფერაციული მიომით დაავადებულ ქალებში რომელთაც ახასიათებთ ძვითელი სხეულის პათოლოგია V

ესტროგენების უდიდესი მნიშვნელობა აქვს ოქსიდაციური სტრესის თვალსაზრისით (სრგტპ თმსძ უე ფდბ 1999 ჟ სგუკაფ უე ფდბ 1996 ჟ სფვუტფთ თმუე ფდბ 1995 ჟ ტშთთშტუტ შძ უე ფდბ 1995 ჟ იუსლუკ იძაძ უე ფდბ 1993 ჟ თსრფდდ პძიძ უე ფდბ 1992 ჟ თგპშტრ ტძ უე ფდბ 2002) V ესტროგენები აფერხებს ოქსიდაციური სტრესით გამოწვეულ ენდოთელური უპრედების აპოპტოზს (თგვწრ ტძ უე ფდბ 2001 ჟ ცფთთქფტტ თძ უე ფდბ 2991 ჟ მშკვშთ ფძ უე ფდბ 2000) V ესტროგენების ანტიოქსიდანტურობა აღემატება ვიტამინ უ,ს ანტიოქსიდურ ეფექტს (ფლტმფ იძ უე ფდბ 2001) V

სიმსიგნური ზრდის პროცესში ოქსიდაციური ჟანგვის ინტენსიფიკაციას აქვს უდიდესი მნიშვნელობა V მეტალთა გარდამავალი ჰგუფის  $\text{Mg}^{2+}$  და  $\text{Ca}^{2+}$ , იონები წარმოადგენენ თავისუფალრადიკალური ჟანგვის ყლიერ პრომოტორებს V  $\text{Mg}^{2+}$ , იონები აუცილებელია მიტოქონდრიული სუპეროქსიდდისმუტაზის ფუნქციონაციისთვის I ის იონები ხელს უწმობს ჯიდროლაზების და კარბოქსილაზების აქტივაციას და ქმნის აქტიურ კომპლექსებს დაბალ მოლეკულურ ნივთიერებებთან V  $\text{Mg}^{2+}$ , შემცველი კომპლექსების ეპრ სიგნალების გამოჩენა მემბრანული სტრუქტურების დაზიანებასა და სუპეროქსიდდისმუტაზის ინაქტივაციაზე მიუთითებს V

ეპრ სპექტრში შეიყლება გამოვლინდეს ჯემოგლობინისა და აზოტის ოქსიდის ნაერთის რი, ტრ და ორვალენტიანი რკინის  $\text{Ca}^{2+}$ , ეპრ სიგნალებიც I რაც ჟანგვა, აღდგენითი პროცესების ღრმა დარღვევაზე და მემბრანების შეუქცევად დაზიანებაზე მიუთითებს V

მიომის კვანყებში მიომეტრიუმთან შედარებით მკვეთრად არის მომატებული  $\text{Mg}^{2+}$ , შემცველი დაბალმოლეკულური კომპლექსების და  $\text{Ca}^{2+}$ , იონის კონცენტრაცია V

ზღვის გოჭებზე ჩვენს მიერ ჩატარებულ ექსპერიმენტში ესტრადიოლით მზარდი დოზების დატვირთვისას თანდათან დოზების ზრდასთან ერთად იმატებს  $\text{Mg}^{2+}$ , იონების კონცენტრაცია V ხოლო **ტრ**, ს კონცენტრაცია აღარ იზრდება რაც შეესაბამება ჩვენს მიერ მიომის კვანუში დადგენილ ცვლილებებს V

ჩვენ დავადგინეთ აგრეთვე მიომის კვანუში **ტრ**, ს დაბალი კონცენტრაცია შედარებით მიომეტრიუმთან V აღნიშნული ადასტურებს მიომის ქსოვილში თავისუფალრადიკალური ჟანგვისა და ლიპიდების ზეჟანგური ჟანგვის გაყლიერების ხარჯზე ოქსიდაციური სტრესის განვითარებას V ეVიV ესტროგენები მხოლოდ ნორმაში გამოირჩევიან ანტი ოქსიდანტური თვისებით I ჯიპერესტროგენემიის დროს პირიქით, ადგილი აქვს გაუკულმართებულ პროცესებს რის საფუყველზეც მოშლილია ესტრადიოლის ეფექტი ანტიოქსიდანტური თვისებით და **ტრ**, ს რეგულირებით I რაც ჯიპერესტროგენემისათან ერთად ზდება სიმსივნის პროლიფერაციული ზრდის მიზეზი V

ვინაიდან საკვერცხეში ადგილი აქვს როგორც ფოლიკულური აპარატის და ძვითელი სხეულის დისგენეზიას I ჩვენთვის მნიშვნელოვანი იძო აგრეთვე საკვერცხეში ეპრ სპეტრომეტრული კვლევა V

საკვერცხებში I სადაც დამახასიათებელი იძო ფოლიკულური აპარატის დისგენეზია შიდა თეკას და გრანულოზური შრის ჯიპერპლაზით და ფოლიკულური ცისტების გაჩენით ჩვენ  $\text{Mg}^{2+}$ , იონების და **ტრ**, ს ეპრ სიგნალები გამოვიკვლიეთ ცისტის კედელში და საკვერცხის სტრომაში V აღმოჩნდა I რომ საკვერცხის სტრომაში მკვეთრად იმატებს  $\text{Mg}^{2+}$ ,  $\text{Ca}^{2+}$ , იონების ეპრ სიგნალები და ნორმასთან შედარებით იკლებს **ტრ**, ს კონცენტრაცია V ცისტის კედელში კი ბევრად უფრო დიდია  $\text{Mg}^{2+}$ ,  $\text{Ca}^{2+}$ , იონების ეპრ სიგნალები I რაც შეეხება **ტრ**, ს I იგი არ აღმოჩნდა V ზღვის გოჭებზე ექსპერიმენტში ესტრადიოლით დატვითრვისას იზრდება  $\text{Mg}^{2+}$ ,

იონების ეპრ სიგნალი I ხოლო შემდგომ ესტრადიოლის დოზების გაზრდისას უცვლელი რჩება V ტტ, ეპრ სიგნალები კი მატულობს მზარდი დოზების შესაბამისად V

ძოველივე ხსენებული მიუთითებს ოქსიდაციური სტრესის განვითარებაზე და მემბრანული სტრუქტურების რღვევაზე V

ზემოაღნიშნულიდან გამომდინარე I თუკი საკვერცხის სტრომაში რომელიც წარმოდგენილია ჯიპერპლაზიური თეკა უპრედებით და თვით ფოლიკულური ცისტის კედელში მიმდინარეობს ესტროგენების გაყლიერებული სინთეზი და უშუალოდ ცისტაში ჭარბად არის დაგროვილი ეს სეკრეტი I რატომ ყლიერდება ოქსიდაციური სტრესი \*

ამრიგად I საშვილოსნოს პროლიფერაციული მიომის დროს საკვერცხების ფოლიკულური აპარატის მოლეკულურ, იონური წონასწორობისა და ბიოფიზიკური კვლევის შედეგად დადგინდა საშვილოსნოს მიომის განვითარების ესტრადიოლის წარმოების პათოგენეზის მოლეკულურ, იონური საფუყველი V დადგინდა ოქსიდაციური სტრესის როლი როგორც საშვილოსნოს მიომის განვითარებაში I ისე საკვერცხეში მიმდინარე ჯიპერპლაზიურ პროცესებში V

შემდეგი მნიშვნელოვან მოვლენას I რომელიც დღემდე ნაკლებადაა გაშუქებული ლიტერატურაში წარმოადეგენს მენსტრუაციული ძვითელი სხეულის თავისებურებით საშვილოსნოს ტანის მიომების დროს V

ჩატარებული კვლევის შედეგების ანალიზის საფუყველზე ირკვევა I რომ საშვილოსნოს მიომების დროს გრანულოზური უპრედების გამრავლების მაღალი პოტენციალი და ესტრადიოლის სინთეზის გაყლიერება წარმოადგენს ოვულაციის დამთრგუნველ ფაქტორს და აფერხებს ოვულაციის შემდეგ გრანულოზური უპრედების ტრანსფორმაციას ძვითელი სხეულის უპრედებად V

ფიზიოლოგიურად როგორც უკვე აღვნიშნეთ სრულფასოვანი ძვითელი სხეული ძალიბდება მაშინ I როდესაც პრეოვულატორულ ფოლიკულში

ძალიბდება გრანულოზური უპრედების ადექვატური რიცხვი I რომლებიც შეიცავენ ლუტეოჯორმონის მაღალ კონცენტრაციას ეVიV ლჯ კონცენტრაცია აღწევს პიკსV ოვულაციის შემდეგ კვერცხუპრედის გადმოსროლის შემდეგ ფოლიკულის ღრუში სწრაფად ხდება კაპილარების წარმოქმნა და ჩაზრდაV გრანულოზურ უპრედებში წმდება მიტოზი და გამრავლება და იწმება ლუთეინიზაციაI იზრდება ლუთეოციტების ციტოპლაზმა მოცულობაში და ხდება მათში ლიპიდური ჩანართების მომატებაV ამდენად ძვითელი სხეულის ზომაში მომატება მიმდინარეობს გრანულოზური უპრედების მოცულობაში მომატების და ლუთეინიზაციის ხარჯზეV ძვითელი სხეულის აძვავების სტადიაში ციკლის 22,ეI 23,ე დღეს გონადოტროპინების ზეგავლენით ლუტეოციტები სულ უფრო მეტ პროგესტერონს გამოძოფენV ამავე დროს ხდება ესტროგენების პროდუქცია და თანაც იმაზე მეტი ვიდრე ფოლიკულური ფაზის გვიან ეტაპზეV პროგესტერონის ზეგავლენით ესტრადიოლი გარდაიქმნება ესტრონადV პროგესტერონი თავის მხრივ ამუსრუჭებს ჯიპოფიზის მიერ გონადოტროპინების სეკრეციასV ამრიგადI ძვითელი სხეულის აქტივაციის დროს ქვეითდება ლუტროპინიის და მალუტენინიზებელი ჯორმონების პროდუქციაV გონადოტროპინების შემცირების გამო ციკლის 24, 26,ე დღეზე იწმება ძვითელი სხეულის უკუგანვითარებაV

საშვილონსოს მიომით დაავადებულ ქალებში ოვულაციის შემდეგ ფერხდება გრანულოზური უპრედების ტრანსფორმაცია ძვითელი სხეულის უპრედებთანI რაც ბუნებრივიაI ცვლის ძვითელი სხეულის ფიზიოლოგიური განვითარების ტემპსV ამასთან ერთადI არაადექვატურ პირობებში წარმოქმნილი ლუტეოციტები სიცოცხლის უუნაროაI საკმაოდ ხშირად ვლინდება მათი ნეკროზიI რომელიც ზოგჯერ იკავებს საკმაოდ ვრცელ უბანს და არა იშვითად ამასთან ერთვის სისხლჩაქცევები ძვითელ სხეულში და თავად საკვერცხის სტრომაშიV

აქედან გამომდინარეI ლუტეოციტების დეფიციტის გამო ქვეითდება პროგესტერონის სინთეზიV წარმოქმნილი ესტროგენი არ განიცდის ესტრონად გარდაქმნას პროგესტერონის დეფიციტის გამოV იგი რჩება აქტიური ფორმის სახითV თავის მხრივI პროგესტრონის დეფიციტის გამო არ ხდება გონადოდტროპინების სეკრეციის დამუხრუჭებაV ასეთ პირობებში იმატებს ლუტროპული პროდუქცია რაც ნათლად ჩანს საშვილოსნოს მიომით დავადებული ძვითელი სხეულის პათოლოგიის მქონე ქალებში ჯორმონალური სარკის შეფასების დროს მენსტრუაციული ციკლის მე,20 დღეზე აღებულ სისხლშიV კერყოდI ასეთ ემთხვევებში ყლიერ დაბალია პროგესტერონის კონცენტრაციაI ესტრადიოლი არის ნორმის ზედა ზღვარზეI ხოლო ლუტროპინის კონცენტრაცია მკვეთრად მომატებულიაV

ამ პირობებში იქმნება არასრულფასოვანი ძვითელი სხეულიI ზოგპერ კი ძვითელი სხეულის რეგრესი იწმება ძვავილობის სტადიის გარეშე ან ადგილი აქვს ცისტოზური ძვითელი სხეულის განვითარებასV გესტაგენების დეფიციტი და დისბალანსი იწვევს პათოლოგიური მენსტრუაციული ციკლის ჩამოძალიბებასV არასრულფასოვანი ძვითელი სხეულის პირობებში გესტაგენების დეფიციტი ამოკლებს მენსტრუაციულ ციკლს და ნაადრევად იწვევს მენსტრუაციასI ისე რომ საშვილოსნოს ტანის მიომების დროს შემოკლებული მენსტრუაციული ციკლის მიზეზი არასრულფასოვანი ძვითელი სხეულის განვითარებააI რომელსაც თან ახლავს ფოლიკულის გრანულოზური უპრედების მაღალი აქტივობაV არ არის იშვიათი მენსტრუაციული ციკლის დარღვევის მქონე ვარიანტიI როდესაც არასრულფასოვანი ძვითელი სხეულის არსებობის გამო პროგესტერონის დეფიციტი არ არის ისეთი ყლიერიI როგორც ზემოთ უკვე აღწერილ შემთხვევებშიV ასეთ შემთხვევებში არასრულფასოვანი ძვითელი სხეულის ფუნქცია გრყელდება და მისი ისეთი დეფიციტიI რომელსაც უნდა მოჯდეს ენდომეტრიუმში ფუნქციური შრის იშემია შედარებით გვიან ან ტალღისებურად ვითარდებაV ამას მოჯდება ასეთ შემთხვევებში ძალიბდება

გახანგრყლივებული მენსტრუაციული ციკლის ჩამოძალიბება თვიურის დაგვიანებით და წმვეტილი ხასიათის პერიოდული სისხლდენებითV ძვითელი სხეულის არასრულფასოვნებას ამტკიცებას მათი უფრო გამრავლების დაბალი პოტენციალის არსებობა და უპრედების მოცულობის სიმცირეV გარდა ამისაI ძვითელი სხეულის ეპრ სპექტრომეტრული კვლევით ასეთ შემთხვევებში დადგინდა  $\text{Mg}^{2+}$  და  $\text{Ca}^{2+}$ , იონების მაღალი კონცენტრაცია ნორმასთან შედარებითI მცირედი მატება აღინიშნება **ტრ,ს** ეპრ სიგნალებისV ექსპერიმენტში ესტროგენების მზარდი დოზებით დატვირთვის შემდეგ ზღვის გოჭის საკვერცხებში დადგინდა  $\text{Mg}^{2+}$  და  $\text{Ca}^{2+}$ , იონების და **ტრ,ს** ეპრ სიგნალების მატებაV ამდენად როგორც მიომით დაავადებულ ქალის ძვითელ სხეულში ნანახი ცვლილებებითI ისე ექსპერიმენტში მტკიცდება ოქსიდაციური სტრესის არსებობაI რაც მემბრანული სტრუქტურების რღვევის მაჩვენებელიაV

არასრულფასოვანი ვითელის სხელის დროს დადგენი შეფარდებით ჯიპერესტროგენემიის დროს ესტროგენების ნორმის ქვედა ზღვარზეაI რის გამოც ისინი ვერ ავლენენ ანტიოქსიდაციურ თვისებებსI იმატებს ოქსიდაციური სტრესი საკვერცხის არასრულფასოვან ძვითელ სხეულშიV ამგვარადI ძვითელი სხეულის მრავალფაქტორულმა გამოკვლევამ მოგვცა საშუალება დაგვედგინა მენსტრუაციული ციკლის დარღვევის მოლეკულური და ბიოფიზიკურ, ქიმიური საფუძველი საშვილოსნოს მიომის დროსV

შემდეგი მნიშვნელოვანი ფაქტია კანონზომიერებაI რომელიც ჩვენს მიერ არის გამოვლენილი მდგომარეობს საკვერცხის თეკა გარსის ჯიპერპლაზიაშიV მიომის გამოკვლეულ ხშირ შემთხვევაში საკვერცხებში აღინიშნება თეკა ქსოვილის ინტენსიური ჯიპერპლაზიაI მიკროთეკომების წარმოქმნაV მათ მიერ ხდება ეVწV პროგნოზირებული თეთრი სხეულების ჩანაცვლება და ამიტომ საშვილოსნოს ტანის მიომების დროს შემცირებულია საკვერცეებში მათი რაოდენობა და შესაბამისად მოცულობითი წილიV

მნიშვნელოვანიაI რომ პროლიფერაციული თეკა ქსოვილი ხასიათდება ჯორმონული აქტივობით მისი უპრედები ლიპიდების შემცველი ჯორმონების მარკერია და შესაბამისად მონაწილეობს ესტროგენების სინთეზშიV

ჩვენს მიერ გამოვლენილია პრიმორდიული ფოლიკულების შედარებითი სიმცირე და ამ ფონზე მენსტრუაციული ციკლის დაწმების დროს ერთდროულად პრიმორდული ფოლიკულების უფრო მეტი რიცხვის გააქტივება ვიდრე ნორმის პირობებშიV ამასთან ექოსკოპიურმა გამოკვლევებმა გამოავლინაI რომ საშვილოსნოს მიომების დროს ერთროულად არის ორი იმ ზომის ფოლიკულურიI რომელთაგან ორივეს შეიყლება დომინანტი ფოლიკული ეწოდოსV ფოლიკულების რაოდენობის სიმცირის თაობაზე მითითებულია ზემოთ საკვერცხების ჯისტოლოგიური თავის აღწერისასI სადაც გამოძოფილია ქალთა ჰემილი რომელთაც საკვერცხების დისგენეზის ფონზე აღმოუცენდათ საშვილოსნოს ტანის მიომებიV

ისმის კითხვაI აქვს თუ არა მნიშვნელობა საკვერცხების დისგენეზის საშვილოსნოს ტანში მიომების განვითარებისთვისV ამ კითხვაზე პასუხი სიყნელეს წარმოადგენსV ვინაიდან საკვერცხის დისგენეზია ჩვენს მიერ დაღვენილია შემთხვევათა მხოლოდ ?,შიI სადღეისოდ არ არის ცნობილი ძველა ის ინფორმაციული მიმართულებანიI რომლებითაც ჯორომონგამძოფი ორგანოები უკავშირდებიან ერთმანეთსV ამიტომ ჩვენ არც დაგვიძენებია მიზნად მიომის კაზური გენეზისის გამოკვლევაI როგორც ზემოთ უკვე იძო აღნიშნული ჩვენ მიზანს შეადგენდა საკვერცხებში მიმდინარე ის მოლეკულურ,იონური პროცესებიI რომლებით წინ უყღვის და თან ერთვის საშვილოსნოს მიომის განვითარებას და რომელთა ცოდნა დიდ გამოძენებას პოვებს მიომების საპროფილაქტიკო და სამკურნალო საშუალებათა ყიების საქმეშიV

## დასკვნები

- 1) საშვილოსნოს ტანის პროლიფერაციული სტრუქტურის მქონე მიომის დროს რეპროდუქციული პერიოდის ქალებში საკვერცხები შემთხვევათა უმრავლესობაში ხასიათდება ფოლიკულური აპარატის დისგენეზითI ფოლიკულური ხასიათის ცისტების მაღალი სიხშირით და ჯორმონდამოკიდებული სტრუქტურების ჯიპერპლაზითV განსაკუთრებით ხშირია თეკა ინტერნასა და გრანულოზური შრის ჯიპერპლაზიაI რომლის შედეგად ადგილი აქვს ესტრადიოლის სინთეზის ინტენსიფიკაციას და ჯიპერესტროგენემიასV საშვილოსნოს ტანის პროლიფერაციული მიომების დროს აღინიშნება აგრეთვე თეკა ექსტერნას ჯიპერპლაზიაI ზოგპერ მიკროთეკომების ჩამოძალიბებითV
- 2) ესტროგენების სინთეზის გაყლიერებას საკვერცხეში გამოხატავს ჯიპერპლაზირებული თეკა ქსოვილის უპრედების დიდი უმეტესობის დატვირთვა სუდანოფილური ლიპიდებითI გრანულოზური უპრედების გამრავლების პოტენციალის და ესტროგენების შემცველი ექსნერის სხეულაკების მოცულობითი წილის ზრდაV
- 4) საშვილოსნოს ტანის პროლიფერაციული მიომების დროს რეპროდუქციული პერიოდის ქალებში ა) საკვერცხების ფოლიკულების დისგენეზიაI მათი გამომფენი გრანულოზურ უპრედებში სეკრეტის სინთეზის გაყილიერებით და ბ) ძვითელი სხეულის დისგენეზია მასში ნაადრევი რეგრესიის განვითარებით არის ისეთი ჯორმონული დისბალანსის მორფოლოგიური გამოხატულებაI რომელსაც მოჯდება პერიფერიულ სისხლში ან მცირე მენტის აუზის სისხლში ესტროგენების მკვეთრი სიჭარბე და გესტაგენების შედარებითი ნაკლებობაI რაც განაპირობებს საშვილოსნოს ტანში მიომის

ჩამოძალიბებას I მის ზრდას და მენსტრუაციული ციკლის დარღვევას V ეს ცვლილებები გამოხატულია პირველ შემთხვევაში ჯორმონების აბსოლუტურI და მეორე შემთხვევაში შეფარდებით მაჩვენებლებშიV

- 5) საშვილოსნოს პროლიფერაციული მიომების დროს მენსტრუაციის ციკლის დარღვევა გამოიხატება ა) არასრულფასოვანი ძვითელი სხეულითI რომელსაც ძვითელი სხეულის პერსისტენცის გამო თან სდევს შემოკლებული ან გახანგრყლივებული მენსტრუაციული ციკლიI რომლის დროს საშვილოსნოს ლორწოვან გარსში აღინიშნება ფოლიკულური ფაზის დასაწმისიV ბ) ფოლიკულების დისგენეზითI რომელიც შეიყლება გამოვლინდეს შემოკლებული ერთაზიანიI ანოვულაციური ან ოვულაციური ციკლით და გახანგრყლივებული ერთი ფაზით მიმდინარე ციკლითI რომელსაც თან სდევს მენსტრუაციული ციკლის ძვითელი სხეულის ეფექტის დასაწმისიV საშვილოსნოს ტანის ლორწოვანი გარსის მოხსენიებული ცვლილებები შეიყლება გამოძენებული იძოს მიომების კლინიკური დიაგნოზის დადგენისათვისX
- 6) საშვილოსნოს პროლიფერაციული მიომების დროს განვითარებული ცვლილებები ექოსკოპიურად შეიყლება განსხვავებულად გამოვლინდეს მარპენა და მარცხენა საკვერხეებში ფოლიკულებსა და ძვითელ სხეულშიI რაც სრულიად კანონზომიერიაI თუ გავითვალისწინებთI რომ ფოლიკულების პათოლოგია ვლინდება ერთდროულად ორივე საკვერცხეშიI მაშინI როდესაც ძვითელი სხეულის პათოლოგია ჩვეულებრივ ვითარდება მხოლოდ ერთ საკვერცხეშიV
- 7) საკვერცხის ფოლიკულის ექოსკოპიური ცვლილებები ვლინდებაI როგორც% პოლიცისტოზიI სხვადასხვა ხანდაზმულობის ცისტების არსებობითI მრავლობითი ფოლიკულების ზრდითV არასრულფასოვანი ძვითელი სხეული ხასიათდება ცისტების არსებობით და მისი რეგრესიისთვის დამახასიათებელი ცვლილებების ნაადრევი გამოვლენითV

- 8) პროლიფერაციული მიომების ექოსკოპია დოპლეროგრაფიით იყლევა მიომებში მიმდინარე ცირკულაციის პროცესების თავისებურებების დადგენის და მიომატოზური პოცესის პროგნოზირების შესაყლებლობასV მიომის შემთხვევათა უმეტესობაში ცენტრალურ ნაწილებში აღილი აქვს ვენურ ჯიპერემიას სისხლის სტაზითI რომლის პერიფერიაზე აღინიშნება უპირატესად არტერიული ჯიპერემიაV ამ ლოკალიზაციის არტერიული ჯიპერემია ძოველთვის ემთხვევა მიომის მოცულობის მატებას მისი ზრდის მაღალ პოტენციალსI აქედან გამომდინარეI ზემოხსენებული მაჩვენებლების მნიშვნელობა აქვსV მიომის მკურნალობის სტრატეგიისა და ტაქტიკის განსაზღვრაშიV
- 9) საშვილოსნოს მიომის კეთილთვისებიანობის ერთ,ერთი გამოხატვა არის მისი ნელი ზრდაI რომელიც გარკვეული ციკლურობით □ რემისიებით ხასიათდება და ამიტომ თუ მუცლის ღრუს ორგანოებთან ურთიერთობაში დისკომფორტს არ ქმნის ასეთი მიომების ოპერაციული რადიკალური მკურნალობა კორექციას საჭიროებს მიომის კვანყის ზრდის ფაქტორის გათვალისწინებითV სხვა საქმეა სუბმუკოზური ლოკალიცაზის მიომებიI რომლებიც ძველა შემთხვევაში დამოუკიდებლად სიმსივნის ზომისაგან შეუყლიათ მეტრორაგიის გამოწვევაV
- 10) საშვილოსნოს მიომით დაავადებულ ქალებში როგორც საარქივო მასალის ისე საკუთარი კვლევის მიზედვით ზშირია ჯიპერპოლიმენორეაI სიზშირით მეორე ადგილზეა ჯიპერმენორეაI აციკლური სისხლდენა კი შედარებით იშვიათიაV ქალის ასაკისI საკვერცხის ციკლისI კვანყების ზომებისI რაოდენობის და ამასთან მათი ლოკალიზაციის გათვალისწინებით აღმოჩნდაI რომ პათოლოგიური მენსტრუაციული ციკლის ჩამოძალიბებაI და მიომის განვითარება ხასიათდება საერთო მექანიზმებით რაც გამოიხატება ესტროგენების ქრონიკულიI აბსოლუტური და შეფარდებითი სიჭრაბითV სისხლდენის ხანგრძლივობა და დაკარგული სისხლის რაოდენობა კი

კორელაციაში იმბოფება კვანყების სხვადასხვა ლოკალიზაციის I მათი ზომების და რაოდენობის შედეგად ღრუს ლორწოვანის გაზრდილ ფართობთანV

- 11) საშვილოსნოს მიომის ზომების (მოცულობის) დიდი ვარიაბელობის პირობებშიI განურჩევლად ასაკისა და საკვერცხის ციკლის ხასიათისაI ძველაზე ხშირია 8სმ,მდე დიამეტრის მიომებიI მეორე ადგილზეა სიხშირის მხრივ 4 სმ,ის დიამეტრის მიომებიI იშვითაია აგრეთვე 8 სმ,ზე მეტი მოცულობის მიომებიI რომელიც თითქმის ისეთივე სიხშირით ხასიათდებაI როგორც მცირე ზომის (4 სმ,მდე) მიომებიV ასეთი თანხვდომა ქმნის შთაბეჭდილებასI რომ 4 სმ,მდე დიამეტრის მიომები ზრდის მაღალი პოტენციალით ხასიათდება და ხშირად აღწევს 8 სმ,მდე რაც უნდა ჩაითვალოს მიომის მაქსიმალურ ზომადV 8 სმ,ზე უფრო დიდი ზომის მიომების იშვიათობა უნდა აიხსნას პირველ რიგში იმითI რომ დიდი ზომის მიომები გვხვდება უფროსი ასაკის ქალებში პრემენპაზისI მენოპაუზის ან პოსტმენპაუზის შემდეგI ამ ასაკობრივ ჰეთეროგენურ როდესაც ქალის ორგანიზმში ესტროგენული აქტივობა შედარებით ნაკლებია და წარმოადგენს სუსტი ყალის სტიმულატორს მიომეტრიუმის და თვით მიომის უპრედების რეცეპტორებისთვისV

არ არის გამორიცხულიI რომ რაც უფრო უფუნქციოა მიომეტრიუმი დიდი ზომის მიღწევის შემდეგI მით უფრო ნაკლებია კვანყში უპრედების პროლიფერაციაV მაგრამ ასეთ პირობებში უპრედების გამრავლება იწმება საშვილოსნოს კუნთოვანის სხვა რეგიონებშიI რითაც უნდა აიხსნას მრავლობითი მიომის სიხშირე მოზრდილი ასაკის ქალებშიV გარდა ამისაI შესაყლებელია პათოლოგიური ფაქტორებიI რომლებიც აპირობებენ ჯიპერესტროგენემიას და მიომის აღმოცენების და განვითარების ლიკვიდაციას განიცდის პრემენპაუზასა და სიცოცხლის უფრო ზემო ასაკობრივ ასპექტშიV

- 12) უზპ მეთოდით კვლევის შედეგად გამოირკვაI რომ პროლიფერაციული მიომების დროს ვითარდება ცვლილებათა მთელი კომპლექსი% ირღვევა მემბრანული სტრუქტურების მთლიანობაI ითრგუნება და ფერხდება მიტოქონდრიული ელექტრონული ტრანსპორტიI ხდება ჟანგბადის თავისუფალი რადიკალების დიდი რაოდენობით წარმოქმნა და ლიპიდების ზეჟანგვის პროცესის ინტენსიფიკაცია □ ცვლილებათა მთელი დასახელებული კომპლექსი კიდევ უფრო აყლიერებს მეტაბოლიზმის დარღვევას და ჯორმონულ დისბალანსსI რაც აპირობადებს მანკიერი წრის წარმოქმნას და თავის მხრივI ხელს უწმობს მიომების განვითარებასV
- 13) ნორმაში მყლავრი ანტიოქსიდანტური თვიებების მატარებელი ესტროგენის სიჭარბე იწვევს ჯორმონულ დისბალანსს და პათოლოგიურ ცვლილებათა მთელ კომპლექსსI რასაც მოჯძვება ანტიოქსიდანტური მექანიზმების რღვევაI და მიომას განვითარების მექანიზმში ჯიპერესტროგენემიასთან ერთად წამდვანი ხდება ოქსიდაციური სტრესიI რაც იწვევსI უპრედთა პროლიფერაციული აქტივობის ზრდა და ჯორმონული დისბალანსიV

## ՑԱՐԾԵՑՈՒՑՈ ՀՈՒԹԵՐԱՔՇՆԱ

1. Автандилов Г.Г. Медицинская морфометрия. М.: "Медицина", 1990, 378 с.
2. Адамян Л.В., Зурабян Э.Р., Торганова И.Т., Алексеева М.Л. Состояние мочевыделительной и эндокринной систем у больных доброкачественными опухолями матки и придатков. // Акуш. и гинекология. - 1984. №4. - С. 19-20.
3. Аксенова Т.А. Гистохимические исследования некоторых ферментов в ткани миом матки. // Акуш. и гинекология. - 1969. - №10. - С. 55-59.
4. Аксенова Т.А. Содержание гликогена и нейтральных мукополисахаридов в миоме матки. // Акуш. и гинекология. - 1973. - №1. - С. 16-18.
5. Алешин Б.В. Гипоталамическая регуляция половой функции. // Акуш. и гинекология. - 1973. - №10. - С. 3-8.
6. Алиева Э.А., Пленичникова Т.Я., Гаспаров А.С. Патофизиология синдрома поликистозных яичников. // Акуш. и гинекология. - 1989. - №4. - С. 3-5.
7. Анастасьева И.В., Лысинскин В.В., Ладыгина Г.В., Гизатулин З.Я. Влияние радонотерапии на гормональную функцию яичников у больных миомой матки. // Физич. факторы в компл. лечени специфич. эндокрин. нарушений у женщин. - Пятигорск, 1986. - С. 78-82.
8. Аракелянц А.Б., Бакулова Л.П. Особенности гормонального баланса у больных миомой матки. // Соб. медицина. - 1978. - №8. - С. 140-144.
9. Арсеньева М.Г., Кононова Е.С., Савченко О.Н., Тепанов Г.С. Выделение эстрогенов у больных миомой матки. // Акуш. и гинекология. - 1967. - №4. - С. 36-40.

10. Аскерханова Э.Р., Омарова С.М. Основные показатели гемодинамики у больных миомой матки и алиментарным ожирением. // Акуш. и гинекология. - 1982. - 32. - С. 49-52.
11. Бадеева Ф.С. Гиперпластические изменения эндометрия у больных синдромом склерокистозных яичников. // Факт. риска гиперпласт. процессов репродукт. системы женщин. - Рига, 1985. - С. 8-10.
12. Балицкий К.П., Векслер И.Г., Виницкий В.Б. Нервная система и противоопухолевая защита. - Киев, 1983. - 255 с.
13. Басин Б.Л., Щеребатенко Г.Т. Некоторые вопросы лечения миомы матки. // Акуш. и гинекология. - 1972. - №4. - С. 20-24.
14. Бенедиков И.И. К вопросу о кровообращении и температуре в матке при фибромах . // Акуш. и гинекология. - 1962. - №2. С. 73-76.
15. Бенедиков И.И. Вопросы профилактики и лечения больных фибромой матки. // Акуш. и гинекология. - 1974. - С. 12-17.
16. Бенедиков И.И., Зайков С.А. К вопросу о функциональном состоянии печени и экскреции эстрогенов у больных фибромиомой матки. // Вопросы гинекологии и эндокринологии. - Свердловск, 1966. - С. 63-65.
17. Бенедиков И.И., Тронь Н.А. Экскреция гонадотропных гормонов у больных фибромиомой матки. // Акуш. и гинекология. - 1973. - №1. - С. 13-16.
18. Богданович М., Давидюк В. Показатели водно-солевой пробы у больных миомой матки. // куш. и гинекологичя. - 1973. №1. - С. 19-20.
19. Богинская Л.Н. Реография органов малого таза у больных миомой матки. // Акуш. и гинекология. - 1972. №4. - С. 35-39.
20. Бодяжина В.И. О барьерах механизмах половой системы женщин. // Акуш. и гинекология. - 1980. - №1. - С. 5-7.
21. Боровская В.Д., Суточные колебания кожной температуры у больных миомой матки. // Акуш. и гинекология. - 1974. 12. - С. 37-44.

22. Ботвин М.А., Сидорова И.С., Зиневич А.Н. и др. Электрические характеристики акупунктурных точек при доброкачественных и злокачественных опухолях матки. // Акуш. и гинекология. - 1989. №4. С. 27-30.
23. Бохман Я.В. Рак тела и матки. - Кишинев - Штинца. 1972.
24. Бохман Я.В. Ранняя диагностика рака матки // 4-ая Всес. конференция онкологов. - Вильнюс, 1975. - С. 21-25.
25. Бохман Я.В. Миома матки // руководство по онкогинекологии - М. 1989. - С. 63-65.
26. Бохман Я.В. Патогенез гормонозависимых опухолей репродуктивной системы. // Руководство по онкологии. - М. 1989. - С. 32-47.
27. Бохман Я.В., Абрамов В.П., Волкова А.Т. и др. Факторы, влияющие на возникновение рака тела матки и организация профилактических обследований. // Эпидемиол. аспекты проф. и ранней диагност. злокачественных опухолей женских половых органов. - Тбилиси, 1977. - С. 127-130.
28. Бохман Я.В., Баскаков В.П., Колесов А.Б. Онкологические аспекты эндометриоза. // Акуш. и гинекология. - 1979. - №10. С. 47-49.
29. Бохман Я.В., Волкова А.Т., Зельдовия Д.Р. и др. Патологические и биологические подходы к раннему выявлению и лечению рака тела матки. // 3-й Всес. съезд онкологов. - Ташкент: Медицина, 1979.
30. Бохман Я.В., Юдковская И.Л., Волкова А.Т. Активное выявление гиперпластических процессов и рака эндометрия у больных миомой матки. - // Вопр. реабил. при миоме матки / Под ред. Е.М. Вихляевой. - М. 1978. - С. 53-64.
31. Бохман Я.В., Юдковская И.Л., Волкова А.Г., Вишневский Н.С. Активное выявление и лечение гиперпластических процессов

- эндометрия у больных миомой матки. // Акуш. и гинекология. - 1980. - №4. - С. 43-45.
32. Бохман Я.В., Ткешелашвили В.Т., Вишневский А.С., Волкова А.Т. Миома матки в пре- и постменопаузе как маркер онкогинекологической патологии. // Акуш. и гинекология. - 1987. - №7. - С. 12-16.
33. Брехман Г.И. Миома матки и экспериментальная патология. // Акуш. и гинекология. - 1978. - №6. - С. 19-23.
34. Брехман Г.И., Миронов А.А. Ультраструктурная характеристика микроциркуляции в опухолевых узлах лейомиомы матки. // Акуш. и гинекология. - 1983. - №9. - С. 65-67
35. Бродский В.Я., Урываев И.В. леточная полиплоидия. - Пролиферация и дифференцировка. - М., Наука, 1981. - 259 с.
36. Брумштейн Л.М. Ведение ольных миомом матки с нарушением питания в опухоли. // Акуш. и гинекология. - 1988. №4. - С. 3132.
37. Быковская Л.Н. Метаболизм эстрогенов у женщин при фибромиомах матки. // акуш. и гинекология. - 1959. - 1959. №5. С. 86-94.
38. Быковская Л.И. Функция печени, щитовидной железы и яичников у больных миомом матки. // Здравоохран. Белоруссии. - 1978. - №6. С. 32-35.
39. Василевская Л.Н. Гипоталамо-гипофизарно-яичниковые взаимоотношения при сочетании дисгормональных гиперплазиях матки и молочных желез. // Акуш. и гинекология. - 1971. - №9. С. 10-12.
40. Василевская Л.Н. Современные аспекты патогенеза и лечения больных миомой матки. // Миома матки (некоторые вопр. патол. клиник, диагностики и лечения) / Под ред. Л.Н.Василевской. - М., 1979. - С. 3-13.
41. Василевская Л.Н., Бассалык Л.С., Кузьмина З.М. и др. Содержание прогестерона и его рецепторов у больных миомой матки. // Миома

- матки (некоторые вопросы патологии клиники, диагностики и лечения) / Под. ред. Л.Н.Василевской. - М., 1979. - С. 26-30.
42. Василевская Л.Н., Бассалык, Муравьева Н.И. Рецепторы эстрогенов в миометрии больных миомой матки. // Миома матки (Некоторые вопросы патол. клиники, диагностики и лечения) / Под ред. Л.Н.Василевской. - М., 1979. - С. 22-25.
43. Василевская Л.Н., Бассалык, Фукс М.А. и др. Рецепторы стероидных гормонов и характер развития миомы матки. // Акуш. и гинекология. - 1982. - №2. - С. 46-49.
44. Васильченко Н.П., Кашия Г.Ш. Состояние микроциркуляции в шейке матки. // Акуш. и гинекология. - 1989. №4. С. 24-27.
45. Васильченко Н.П., Мовчан С.И. Особенности течения заживления при быстром росте миомы матки // Миома матки. - М. 1979. - С. 63-65.
46. Вихляев Е.М. Принципы ведения больных миомой матки. // Акуш. и гинекология. - 1971. - №9. - С. 3-10.
47. Вихляева Е.М., Бохман Я.В. Системный подход к обоснованию факторов и формированию групп риска гормонзависимых опухолей. // Факт. риска гиперпл. процессов репродуктивной системы женщины. - Риге, 1985. - С. 57-58.
48. Вихляева Е.М., Василевская Л.Н. Миома матки. - М.: медицина, 1981. - 159 с.
49. Вихляева Е.М., Паллади Ф.А. Патогенез, клиника и лечение миомы матки. - Кишинев: Штиинца, 1982. - 300 с.
50. Вихляева Е.М., Соколова З.П., Афонина Л.И. и др. Особенности гормональных соотношений в процессе роста и развития миомы матки. // Вопр. реабилитации при миоме матки // Под ред. Е.М.Вихляевой. - М., 1978. - С. 31-36.
51. Волкова О.В. Структура и регенерация функции яичников. - М.: Медицина, 1970.

52. Волкова А.А., Шпитальник В.Л. Состояние мочевивящих путей у больных миомой матки // Акуш. и гинекология. - 1974. - №4. - С. 69-70.
53. Гайцхоко В.С. Структурная организация биологического окисления и сопряженных процессов. // механизмы интеграции. клеточного обмена. - Л. , 1967. С. 101-166.
54. Герасимович Г.И. Диспансерное обслуживание женщин после хирургического лечения по поводу миомы матки. // Вопр. хирургич. лечения больных миомой матки. - Самарканд. 1980. - С. 81-82.
55. Гиллерсон АюБ., Соловьева Л.А. // Тр. 8-го Международного противоракового конгресса, - М., 1963. - т. 5. С. 375-377.
56. Гребенников Е.П., Гречанчук Л.В., Кузнецов О.К. Распределение микроэлементов во внутренних половых органах женщин в норме и при фибромиомах матки. // Акуш. и гинекология. - 1974. №12. - С. 44-48.
57. Григорьев М.Ю., Нармухамедова Р.Б. Особенности гонадотропной функции у больных миомой матки. // Миома матки: некоторые вопросы патог. клиники, диагностики и лечения / Под. ред. Л.Н.Васильевской. - М., 1979. - С. 13-17.
58. Грязнова И.М., Макаров О.В., Арион В.Я., Епейкина Т.Н. Т-активная в комплексном лечении больных доброкачественных опухолями яичников. // Акуш. и гинекология. - 1987. №7, - С. 28-31.
59. Гуртовая Н.Б., Орлова В.Г. Синдром лютенизации неовулировавшего фолликула. // Акуш. и гинекология. - 1982. - №2, - С. 7-9.
60. Далмане А.Р. Функциональная морфология яичников млекопитающих: Автореф. дис.... докт. мед. наук. - Рига, 1967.
61. Даниленко В.И., Малазхов Р.В., Ягубов А.С. Морфология лейомиом матки. Акушерство и гинекология, 2005, 3, 30-32 с.

62. Девойно Л.В., Ильюченок Р.Ю. Моноаминергические системы в регуляции иммунных реакций: (Серотонин, Дофамин). - Новосибирск, 1983.
63. Дильтман В.М. Старение, климакс и рак. - Л.: Медицина, 1968.
64. Донат И., Йиркалова В. Особенности продукции гонадотропных гормонов гипофиза в периоде постменопаузы. // Акуш. и гинекология. - 1982. №2. - С. 41-43.
65. Донат Й., Йиркалова В. Особенности гонадотропной функции гипофиза и секреции половых стероидов яичников в период постменопаузы. // Акуш. и гинекология. - 1984. №2. - С. 15-17.
66. Дондукова Т.М., Кац Е.И. О клинико-патогенетических вариантах роста и развития миомы матки // Акуш. и гинекология. - 1980. - №1. - С. 21-23.
67. Дондукова Т.М., Кац Е.И. нейроэндокринные нарушения у больных миомой матк. // Нейроэндокр. наруш. в акушер. и гинекологии. - Казань, 1981. - С. 54-55.
68. Железнов Б.И. Некоторые итоги изучения проблемы пред-рака эндометрия. // Акуш. и гинекология. - 1978. - №3. - С. 10-17.
69. Железнов Б.И. Характеристика и трактовка изменений эндометрия и яичников при миомах матки // Акуш. и гинекология. - 1980. - №1. - С. 37-40.
70. Железнов Б.И., Беляева Л.А. Влияние прогестерона и норэпистерона на содержание ДНК в органных культурах гиперпластически измененного эндометрия. // Акуш. и гинекология. - 1981. - №4. - С. 31-34.
71. Железнов Б.И., Брумштейн Л.М. Морфофункциональная характеристика матки при дистрофических изменениях и некрозе лейомиомы // Акуш. и гинекология. - 1990. №2. - С. 21-24.

72. Железнов Б.И., Васильченко Н.П., Фириченко В.И., Арутюнян Г.К. Трактовка морфологических изменений в тканях и органах репродуктивной системы после радикальных операций по поводу лейкомиомы матки // Акуш. и гинекология. - 1990. - №5. - С. 66-68.
73. Журавлева Т.Б. Соединительнотканые опухоли морских свинок вызванные введением эстрогенов. // Архив патологии. - 1964. №6. - С. 65-72.
74. Журавлев Т.Б., Прочуханова Р.А., Иванова Г.В. и др. Функциональная морфометрия нейроэндокринной системы. - Л. 1976. - 193 с.
75. Ельцов-Стрелков В.И., Орлова В.Г., Грозовская Л.В. Диагноз и лечение пациентов с типичной формой поликистозных яичников. // Акуш. и гинекология. - 1985. - №2. - С. 11-13.
76. Зайдиева Я.З. Об использовании синтетических прогестеронов в процессе диспансерного ведения больных миомой матки. // Вопр. реабил. при миоме матки. - М.. 1978. - С. 82-87.
77. Зайратиянц О.В., Сидорова И.С., Леваков С.А., Левин Е.М., Опаленов К.В. Особенности морфогенеза и ангиогенеза лейомиомой матки. Архив патологии. - М. Медицина. 2005, том. 67, №3, с. 29-31.
78. Закиров И.З., Молдавский М.И., Ицекзон А.М. Некоторые показатели и клеточные иммунитета при миоме матк. // Акуш. и гинекология. - 1987. №7. С. 21-23.
79. Захарова Н.Н. К вопросу об этиологии кровотечений при миомах матки. // Акуш. и гинекология. - 1966. №7. - С. 57-63.
80. Зеленицкая В.С. Современные представления об эндокринной функции яичников в норме и при патологии. // Пробл. эндокринологии. - 1986. - Т. 32. №6, - С. 72-79.
81. Зудикова С.И. Аутоиммунные процессы у больных миомой матки. // Акуш. и гинекология. - 1980. №1. - С. 29-30.

82. Зудиков С.И. Характер обменных биогенных вминов у больных миомой матки. // Акуш. и гинекология. - 1987. №7. - С. 19-21.
83. Зудиков С.И., Пономарева Л.А. Обмен эстрогенов у больных фибромуиомой матки. // Акуш. и гинекология. - 1981. - №4. - С. 22-24.
84. Зыкин В.И. Эхографическая характеристика миомы матки. // Акуш. и гинекология. - 1984. - №4. - С. 25-26.
85. Ирд Е.А. Фолликулярная кисти яичника и дисгормональные опухоли. - Л.: Медицина, 1966. - 119 с.
86. Ищенко И.Г., Мищенко А.Л., Ландерховский Ю.Д., Жова Л.С. Изменения в системе гемостаза при аномальных маточных кровотечениях и миоме матки в перименопаузальном возрасте. // Акуш. и гинекология. - 1993. - №6. - С. 54-57.
87. Каландарова Н.А. К вопросу о функции половых желез у женщин детородного возраста, страдающей миомой матки. // Акуш. и гинекология. - 1965. - №5. С. 46-51.
88. Каплан А.Л. Рентгенотерапия фибромуиом матки. М., 1954.
89. Каримов Х.Х., Трубникова Л.И., Трубникова В.С. Особенности гормональной активности яичников и содержание альдостерона в крови больных миомой матки // Акуш. и гинекология. - 1981. - №4. - С. 9-12.
90. Кац Е.И. К функциональной лценке состояния гипоталамо-гипофизарной и лимбической систем у больных миомой матки. // Акуш. и гинекология. - 1974. - №10. - С. 9-12.
91. Кватер Е.И. Гормональная диагностика и терапия в акушерстве и гинекологии. - М. Медгиз, 1961. - 359 с.
92. Кейлин С.Л. Вопросы патогенеза кровотечений у больных миомой матки. // Акуш. и гинекология. - 1972. - №4. - С. 39-42.
93. Килимник М.А. Особенности артериального кровоснабжения матки при миомах: Дисс.... канд. мед. наук. - Красндар, 1986. 190 с.
94. Кленцкий Я.С. Миома матки. - Алма-ата: азахстан, 1966. - 235 с.

95. Ковальская Г.Б. функциональная морфология яичников при экспериментальном гиперэстерогенезе: Автреф. дисс... канд. мед. наук. Л. 1973.
96. Коган Е.А., Игнатова И.М., Уманян А.Л., Сидорова И.С. Соотношение процессов пролиферации и апоптоха в разных гистологических типах лейомиомы матки. Архив патологии. М. Медицина 2005, т. 67, №4, с. 32-36.
97. Коренева Г.П., Шикаева Ф.В. Системный анализ функциональных проявлений защитных специфических и неспецифических реакций организма. - М., 1980. - С. 104-106.
98. Коренев И.П. Системный анализ функциональных проявлений защитных специфических и неспецифических реакций организма. - М., 1980. - С. 106-107.
99. Краевская И.С. Рак яичников. - М.: Медицина 1978. - 159 с.
100. Крылова Н.В., Кулик В.М., Кривеный Н.А., Нумец Л.В. Актуальные вопросы нарушений гемодинамики и регуляции микроциркуляции в клинике и эксперименте. - М., 1984. - С. 37-41.
101. Кудрявцева М.М., Скиперов В.П. Гемокоагулирующие и фибринолитические свойства тканей матки при миоматозном перерождении. // Акуш. и гинекология. - 1980. - №1. - С. 54-55.
102. Кузин В.Ф., Стрижанов А.К. Выбор оптимальной терапии генитального эндометриоза с помощью ЭВМ. // Акуш. и гинекология. - 1979. - №5. - С. 39-41.
103. Купрянова Е.М. Содержание прогнандиола в моче у больных с дисфункциональным кровотечением при наличии фибромиомы матки. // Клинико-морфолого-гормональные параллели при дисфункциональных маточных кровотечениях. - М., 1960. С. 115-124.
104. Курский М.Д., Бакшев Н.С. Биохимические основы механизма действия серотонина. - Киев: Еаукова думка 1974. - 296 с.

105. Ланчинский В.И., Ищенко А.И., Илларионкин С.Н. Генетика и молекулярная биология мимомы матки. Акуш. и гинек. 2004. №2. с. 14-17.
106. Леваков С.А. Варианты развития миомы матки (простая и пролиферирующая). Дис. д-ра мед. наук. - М., 2001.
107. Лендау Я.М., Карапушин В.П. К вопросу о ведении больных фибромиомой матки. // Акуш. и гинекология. - 1972. - №4. - С. 27-29.
108. Ландеховская Ю.Д. Гемодинамические нарушения у больных миомой матки. // Акуш. и гинекология. - 1978. - №6. - С. 5-10.
109. Лебедев А.А. Дисфункциональные маточные кровотечения. - М.: медгиз, 1960. - С. 5, 118.
110. Ленинджер А.А. Митохондрия. - М.: Мир, 1966. - 316 с.
111. Ленинджер А.А. Биохимия. - М.: Мир, 1974. - С. 616-618.
112. Лесакова А.С. Клиническая морфологическая и гормональная характеристика яичников при миоме матки у женщины. // Акуш. и гинекология. - 1965. - №4. - С. 106-111.
113. Лесакова А.С., Широкинская О.Н. Сравнительная оценка кольпоцитогормональных и клинико-гистологических данных у больных миомой матки. // Акуш. и гинекология. - 1967. - №4. - С. 41-46.
114. Лесакова А.С. Миома матки. М.: Унив. Дружбы народов им. П.Лумумбы, 1971. - 128 с.
115. Лесакова А.С. Принципиальные положения патогенетической профилактики и терапии (в основном оперативной) миомой матки. // Акуш. и гинекология. - 1974. - №4. - С. 8-12.
116. Лисица Г.П., Розентул Э.Б., Абрамов А.А. и др. Вопросы хирургического лечения больных миомой матки. - Самарканд, 1980. - С. 14-16.

117. Мазитов И.М. Сравнительная характеристика уровневая эстрогеновых гормонов при миомах матки. // Нейроэнд. нарушения в акуш. и гинекологии. - Каазань, 1981. - С. 58-59.
118. Мазитов И.М. Эстрогенные гормоны при миомах матки. // нейроэндокринных наруш. в акуш. и гинекологии. Казань. 1981. - С. 54-55.
119. Мазитов И.М., Мингалеева Л.М. Клинико-статистические аспекты миомы матки. // Казан. мед. журн. - 1978. - №6. С. 52-55.
120. Мазитов И.М., Нефедов В.П. Морфологическая характеристика эндометрия при миомах матки. // Нейроэндокр. наруш. в акуш. и гинекологии. - Казань, 1981. - С. 74-76.
121. Мазитов Н.Н., Петрушева А.С. Факторы риска развития рака эндометрия при миоме матки. // Вопр. онкологии. - 1985. - т. 31, №6. - С. 60-64.
122. Мамаева Г.М. Гистоструктура яичников у больных с гиперпластическими процессами эндометрия. // Акуш. и гинекология. - 1986. - №7. - С. 42-44.
123. Мартыш Н.С., Гасан-Джалалова С.А., Латыпова Н.Х. Эхографический контроль лечения миомы матки у девушек. // Ультразвуковая диагн. в гинекол., акуш. и неопатологии. - Вильнюс, 1987. - С. 32-33.
124. Маусымбаева Н.Б. Опыт лечения синтетическими прогестинами климактерических кровотечений у больных миомой матки. // Здравоохран. азахстана. - 1978. - №4. - С. 75-78.
125. Милку Ш.М., Мустер А.Д. Эндокринология фетального периода развития. // Гинекол. эндокринология. - София, 1973. - С. 1-30.
126. Мовчан С.М. Клиника миомы матки у женщин в периоде менопаузы. // Акуш. и гинекология. - 1969. - №10. - С. 51-55.

127. Мовчан С.И., Иванова И.С. Морфологические изменения в яичниках у больных миомой матки в период менопаузы. // Миома матки: некоторые вопр. патог. клиники, диагностики и лечения / Под ред. Л.Н.Василевской. - М., 1979. - С. 68-71.
128. Молжанинова Е.В., Ищенко И.М., Вишневская Т.М. Концентрация нуклеиновых кислот и свободных аминокислот в ткани при фибромиомах. // Акуш. и гинекология. - 1972. - №4. - С. 42-43.
129. Науменко Е.в., Попова Н.К. Серотонин и мелатонин в регуляции энокирнной системы. - Новосибирск, 1975.
130. Оглоблин Л.Л. Особенности гомеостаза у женщин с опоменореей. // Акуш. и гинекология. - 1987. - №11. - С. 61-62.
131. Олай-Гберевбие Ф.Ч.Л., Мартыш Н.С., Пшеничникова Т.Е. Диагностическое значение лапароскопии и ультразвукового сканирования при бесплодии и олигоменорее. // Акуш. и гинекология. - 1985. - №2. - С. 40-41.
132. Оловссон М., Бурлев В.А., Волков Н.И. и др. Клеточная пролиферация, апоптоз и рецепторы к стероидным гормонам у больных с мимомой матки. Акуш. и гинек. 2005, №4, с. 23-28.
133. Павлович В.Г. Капиллярная сеть и нервные структуры миометрия при фиброме матки: Автореф. дисс... канд. мед. наук. - Л., 1974.
134. Паллади Г.А., Ткаченко В.Т. Гормональное соотношение у больных миомой матки. // Вопр. реабил. при миоме матки. / Под. ред. Вихляевой. - 1978. - С. 42-46.
135. Паллади Г.А., Ткаченко В.Т., Брежнева Н.В. Консервативная терапия больных миомой матк. - Кишинев: Штиница, 1986. - 166 с.
136. Пашкова В.С., Ерохин Ю.А. Влияние андрогенов и гистагенов на миому матки. // Акуш. и гинекология. - 1991. №1. - С. 7-9.
137. Персянинов Л.С. Фибромиомы матки и их лечение. // Акуш. и гинекология. - 1972. - №4. - С. 3-8.

138. Петрова Е.Н. Гистологическая диагностика заболеваний матки. - М.: Медгиз, 1964. - С. 1-25.
139. Роинченко А.А. К вопросу о тромбоцитах и яицеклеточной активности крови при функциональных маточных кровотечениях. // Акуш. и гинекология. - 1962. - №6. - С. 75-79.
140. Сабсай М.И., Блувштейн Э.П. Гистологическая характеристика эндометрия у больных внутренним эндометриохом матки. // Генитальный эндометриоз. - Горький, 1980. - С. 11-14.
141. Савельева Г.М. Методы диагностики предрака эндометрия. // Акуш. и гинекология. - 1978. - №3. - С. 17-20.
142. Савицкий Г.А. и соавт. Миома матки. СПб: "ЭЛБИ", 2000, - 236 с.
143. Савицкий Г.А., Иванова Р.Д., Свечникова Ф.А. Роль локальной гипергормонемии в патогенезе темпа прироста массы опухолевых узлов при миоме матки. // Акуш. и гинекология. - 1983. №4. - С. 13-16.
144. Савицкий Г.А., Морозов В.В., Свечникова Ф.А. Опухолевый фактор при миоме матки (миома матки как активный компонент системы опухоль-матка). // Акуш. и гинекология. - 1980. - №1. - С. 35-37.
145. Савицкий Г.А., Морозов В.В., Свечникова Ф.А., Иванова Р.Д. К патогенезу роста миомы матки. // Акуш. и гинекология. - 1981. - №4. - С. 13-15.
146. Савицкий Г.А., Савченко О.Н., Секретарева Е.Д. и др. Локальная гормонемия матки и рецепторы стероидных гормонов. // Акуш. и гинекология. - 1985. - №2. - С. 19-22.
147. Савицкий Г.А., Савицкий А.Г. Миома матки. СПб. 2003.
148. Савченко О.Н. Гормоны яичника и гонадотропные гормоны. Л.: Медицина, ленинград. отд., 1967. - 270 с.
149. Селезнева Н.Д., Адамян Л.В., Анашкина Г.А. и др. Состояние репродуктивной системы больных доракачественными опухолями матки

- и придатков // Соврем. аспекты репродукт. функции женщины. - М. 1983. - С. 116-125.
150. Селезнева Н.Д., Сорокина М.И., кузьмина Л.Н. и др. Динамика содержания некоторых электролитов в крови и моче у больных миомой матки до, во время и после операции. // Акуш. и гинекология. - 1971. - №9. - С. 18-21.
151. Семенов В.В., Китаев, Никитин А.И., Иванова Р.Д. Ультраструктурное изучение процесса атрезии фолликулов яичников человека при некоторых нарушениях репродуктивной функции. // Акуш. и гинекология. - 1983. - №2. - С. 18-20.
152. Семенов И.И. Морфологические изменения нервного аппарата яичников при миоме матки. // Акуш. и гинекология. - 1970. №2. - С. 44-46.
153. Серов В.В., Журавленва Т.Б., Василевский Л.Н., Мальникова Н.Г. Морфогенез миом матки. // Акуш. и гинекология. - 1973. - №1. С. 3-8.
154. Сидорова И.С. иома матк и беремнность. - М.: медицина, 1985. - 190 с.
155. Сидорова И.С., Левакова С.А. Возможности эхографии и цветового доплеровского картирования в диагностике простой и пролиферирующей миомой матки. Акушерство и гинекология. 2003. №5, с. 31-33.
156. Сидорова И.С., Коган Е.А., Унанян А. Миома матки (современные проблемы этиологии, патогенеза, диагностики и лечения). Под ред. И.С.Сидоровой. - М., 2002, - с. 113-127.
157. Сидорова И.С., Капустика И.Н., Леваков С.А. Цветовое доплеровское картирование у больных миомой матки. Акуш. и гинек. 1999, т. 7, №4, с. 308-311.

158. Сираков М. Някои аспекти поликистозната болест на ячниците в пубертено-юношеската възраст. // // Акуш. и гинекология. - 1986. №2. - С. 76-80.
159. Слепов М.И., Новоуспенская И.З. Функция коры надпочечников и щитовидной железы у больных миомой матки. // Акуш. и гинекология. - 1967. - №9. - С. 17-20.
160. Смольяников Л.В., Uranova E.B. Патологанатомическая диагностика оухолей человека. - М., 1982. - С. 233-273.
161. Сметник В.П. и соавт. Неоперативная гинекология 1998, Москва МИА 590 с.
162. Соснова Е.А. Роль щитовидной железы в системе репродукции женщин. // Акуш. и гинекология. - 1989. - №4. - С. 6-10.
163. Соффер Л., Дорфман Р., Гебрилов Л. Надпочечные железы человека. - М."медицина", 1966, - 490 с.
164. Союнов М.А. Диагностика узловатой формы внутреннего эндометриоза. // Факторы риска гиперпл. процессов репродукт. сист. женщины. - Рига, 1985. - С. 63-65.
165. Стafeева Е.Н. О результатах хирургического лечения миом матки по данным ближайших и отдаленных наблюдения. // Вопр. диагн. тер. и восстановит. хирург. в акуш. гинекол. клинике. - Л., 1970. - С. 176-184.
166. Стекольщикова О.Д. О нарушении периферического метаболизма половых стероидов при ожирении. // Акуш. и гинекология. - 1983. - №9. - С. 15-17.
167. Табачкин Б.И. Гиперплазии эндометрия, факторы риска их развития и возможной малигнизации. // Факт, риска гиперпласт. проц. репродукт. системы женщины. - Рига, 1985. - С. 66-67.
168. Табакман Ю.Ю., Щербакова Л.И., Хаим Б.М. Показания к исследованию эндометрия у больных миомой матки. // Миома матки. - М., 1979, - С. 97-98.

169. Талина И.С. Пролакитнсекретирующая функция гипофиза у больных миомой матки. // Акуш. и гинекология. - 1980. - №1. - С. 23-26.
170. Талина И.С., Соколова З.П., Фанченко Н.Д. Гонадотропная функция гипофиза у больных миомой матки. // Акуш. и гинекология. - 1978. - 6. - С. 10-15.
171. Тебелев Б.Г. Особенности гемодинамики очагов малого таза больных миомой матки в преклиматерическом и климатерическом периодах. // Акуш. и гинекология. - 1981. №4. - С. 20-21.
172. Тимошенко Л.В., Горобец Е.И., Калужная В.Н. К вопросу показаний к консервативно-пластиическим операциям при фибромиомах матки. // Вопр. хирургич. лечения больных миомой матки. - Самарканд, 1980. - С. 47-48.
173. Тихомиров А.Л., Казанцев И.А. Некоторые количественные морфологические критерии роста миомы матки. // Акуш. и гинекология. - 1981. №4. - С. 16-20.
174. Тубникова Л.И. Особенности гонадотропной активности гипофиза у больных миомой матки. // Вопр. реабил. при миоме матки. / Под ред. Е.М. Вихляевой. - М., 1978. - С. 39-42.
175. Тубникова Л.И. Гонадотропная функция гипофиза у больных миомой матки с различной секреторной активностью яичников. // Акуш. и гинекология. - 1981. - №4. - С. 5-9.
176. Тубникова Л.И. Тиреотропная активность гипофиза и содержание трийодтиронина и тироксина в крови больных миомой матки. // Акуш. и гинекология. - 1981. - №7. - С. 12-15.
177. Уварова Е.В. Особенности преморбидного фона у больных миомой матки. // Акуш. и гинекология. - 1978. - №6. - С. 15-18.
178. Уварова Е.В., Яковлева А.Н., Поликарпов С.И. Вопросы наследственности и миома матки. // Акуш. и гинекология. - 1980. - №1. - С. 26-29.

179. Уварова Х.С., Кабзан Н.Е. Преморбидный фон больных миомой матки подвергшихся хирургическому лечению // Вопр. хирургич. лечения больных миомой матки. - Самарканд, 1980. - С. 101-103.
180. Уткин Ю.К. Частота рецидива фолликулярных и лютейновых кист после хирургического лечения. // Акуш. и гинекология. - 1983. - №4. - С. 51-51.
181. Уткин В.М., Захарова Н.Н. Об оперативном лечении миомы матки. // Акуш. и гинекология. - 1973. - №4. - С. 24-27.
182. Фанченко Н.Д., Адашян Л.В., Минина Л.С., Хельмунд К. Состояние эстроген- и прогестеронрецепторных систем эндометрия при доброкачественных опухолях матки и яичников. // Акуш. и гинекология. - 1987. - №7. - С. 26-28.
183. физиология эндокринной системы. // Под ред. Баранова В.Г. - ЪЛ. Наука, Ленинград. отд., 1979. - 679 с.
184. Фогам Э.Г. Функциональное состояние центральной нервной системы у больных миомой матки. : Дисс. ... канд. мед. наук. - Минск, 1986. 289 с.
185. Хакимова С.Х. К вопросу об эндокринном генезе миомы матки. // Вопр. реабил. при миоме матки. / Под ред. Е.М.Вихляевой. - М., 1978. - С. 36-39.
186. Хамидов Д.Х., Войткевич А.А., Этиген Л.Е., Рябченко В.П. Надпочечная железа. // Функцион. морфол. овариальной железы. - Ташкент: Фан, 1974.
187. Хашукоева А.З., Грязнова Б.И., Головистикова И.Н. и др. // Регуляция иммунного гомеостаза. - Л., 1982. - С. 243-244.
188. Хватов Б.П. О строении и функциональных изменениях яичников домашних млекопитающих и человека. // Тр. Крымского мед. ин-та. - 1970. т. 44. С. 55-60.

189. Хесин Р.Б. Биохимия цитоплазмы, М.: Изд. АМН СССР, 1960. - 289 с.
190. Хефтман Э. Биохимия стероидов. М.: Мир., 1970.
191. Хмельницкий О.К. Функциональная морфология яичников. // Патоморф. диагност. гинекология заболеваний. - Санкт-Петербург, 1994. - С. 335-354.
192. Чанс Б. Регуляторные механизмы клетки. М.: Мир. - 1964. - С. 360-480.
193. Шелест В.Н. Гипертрофия гладкомышечных клеток, как элемент патогенеза быстрого роста узла миомы. // Акуш. и гинекология. - 1987, №7, - С. 16-19.
194. Шилко А.Н. генеративная функция больных миомой матки: автореф. дисс... канд. мед. наук. - Минск, 1984. - 19 с.
195. Шилко А.Н. Роль генеративной функции женщины в этиологии миомы матки. // Акуш. и гинекология. Минск, - 1981. - С. 126-131.
196. Шинкарева Л.Ф., Сабса М.И. О клиническом течении и принципах диагностики внутреннего эндометриоза. // Генитальный эндометрий. - Горький, 1980. - С. 58-65.
197. Юдаев Н.. Биохимия стероидных гормонов коры надпочечников. Медгиз. 1956. - 155 с.
198. Яковлева И.А., Кукута Б.Г. - Фибромиома матки. - 1976. - С. 36-41.
199. Якубович Д.В., Кондриков Н.И. Структурно-функциональные особенности эндометрия больных миомой матки на ранних этапах выявления опухоли и при лечении норстероидами. // Акуш. и гинекология. - 1980. - №4. - С. 41-42.
200. Яценко Л.А. Нарушение конъюгации эстрогенов у женщин, больных инфекционным гепатитом. // Акуш. и гинекология. - 1969. - №10. - С. 35-38.

201. Abdalla M.J., Osmium M.J., Bayad .A. et al. Endocrine profil patients with uterine fibromyomata // Arch. Gynecol. - 1985. - Vol. 237. - P. 387.
202. Abeille J.P. Ovaries macropolykystiques et kystes fonctionnels a repetition // Contracept. fertill. sex. - 1984. - Vol. 12, N10. - P. 1165-1169.
220. Aizenstein R., ilbor A.C., Aizenstein S. CT and MRI of uterine lipoleiomyoma // Gynecol. Oncol. - 1991. - Vol. 40, N3. - P. 274-276.
221. Andersson S. et al. Physiology and molecular genetics of 17 beta-hydroxysteroid dehydrogenases. Steroids. 62(1): 143-7, 1997 Jan.
222. Andersson S. et al. The molecular biology of androgenic 17 beta-hydroxysteroid dehydrogenases. Journal of Steroid Biochemistry. Molecular Biology. 53(1-6): 37-9, 1995 Jun.
223. Armstrong D.T., Greep R.O. Failure of deciduomal response to uterine trauma, and effe\cts of LH upon estrogen secretion in rats with ovaries luteinized by exogenous gonadotropins // Endocrinology. - 1965. - Vol. 76, N2. - P. 246-256.
224. Akova B., Surmen-Gur E., Gur H. et al. Exercise-induced oxidative stress and muscle performance in healthy women: role of vitamin E Suppl;ementation and endogenous oestradiol. European J. of Applied Phisiology 2001. Jan-Feb 84(1-2):141-7.
224. Ayyagari R.R., Khan-Dawood F. Human corpus lueum: Presence of epidermal growth factor receptors and binding characteristics // Amer. J. Obstet. Gynecol. - 1987. - Vol. 156, N4. - P. 942-946.
225. Baird D.T., Backstrom T., Mc Neilly A.S. et al. Effect of enucleation of the corpus luteum at different stages of the luteal phase of the human menstrual cycle on subsequent follicular development // J. Reprod. Fertil. - 1984. - Vol. 70, N2. - P. 615-624.
226. Baratz M., Gitstein S.Z., David M.P. et al. Papillary cystadenofibroma of the endometrium// Acta Obstet. Gynecol. Scand. - 1980. - Vol. 59. - P. 467-470.

227. Becker B.F. et al. Possible significance of free oxygen radicals for reperfusien injury. Zeitschrift fur Kardiologie. 82 Suppl. 5:49-58, 1993.
228. Behl C. et al. The female sex hormone oestrogen as neuroprotectant: activities at variuos levels. Novartis Foundation Symposium. 230:221-34, discussion. 234-8, 2000.
229. Bjersin L. On the morphology and endocrine function of granulosa cells in ovarian follicles and corpora lutea. Biochemical, histochemical and ultrastruictural studies on the porcine ovary with special reference to steroid hormone synthesis // Acta Endocrinol. - 1967. - Vol. 56, Suppl. 125. - P. 23.
230. Blaha G.C., leavitt W.W. The distribution of ovarian 5-3b hydroxysteroid dehydrogenase activity in the golden hamster during the estrous cycle, pregnancy and lactation // Biol. Reprod. - 1970. - Vol. 3, N3. - P. 362-368.
231. Bolck P. Pathology of uterine myoma // Arch Gynaek. - 1961. - Bd. 195. - P. 166-177.
- 232.
233. Borghi L., Bianchini E. Miosi stromale endolinfatica dell utero. Presentazione di un caso // Minerva Ginecol. - 1993. - T. 45, N12. P. 627-631.
234. Bouin P. Les deux glandes a secretion interne de l'ovaire: la glande interstitielle et le'corps jaune // rev. Med. - 1992. - N. 34. -P. 465-472.
235. Boyers S.P., Luborsky J.L., De Chermey A.H. Usefulness of several measurements of serum follicle stimulating hormone, luteinizing hormone and estradiol in patients with premature ovarian failure // Fertil. Steril. - 1988. - Vol. 50, N3-4. -P. 408-412.
236. Cadena S. et al. Vitamin E protects guinea pig Liver from lipid peroxidation without depressing levels of antioxidants. International J. of Biochemistry, Cell Biology. 27(11):1175-81, 1995, Nov.

237. Casey M.L. et al. 17 beta-Hydroxysteroid dehydrogenase type 2: chromosomal assignment and progestin regulation of gene expression in human endometrium. *J. of Clinical Investigation.* 94(5):2135-41, 1994 Nov.
238. Channing C.P. Progesteron biosynthesis by equine granulosa cells growing in tissue culture // *Nature.* - Vol. 210, N5042. - P. 266.
239. Chung S.C. et al. Effect of exercise during the follicular and luteal phases on indices of oxidative stress in healthy women. *Medicine & Science in Sport & Exercise.* 31(3):409-19, 1999 Mar.
240. Chion J.F., Hu M.L. Elevation lipid peroxidation and disturbed antioxidant enzyme activities in plasma and erythrocytes of patients with uterine cervicitis and miom. *Clin. Biochem* 1999, v. 32, p. 189-192.
240. Conley G.L. Current obstetric and gynecologic diagnosis and treatment. London, 1982. - 245 p.
241. Cook C.L., rao V., Yussman M.A. Plasma gonadotropin and sex steroid hormone levels during early, midfollicular and midluteal phases of women with luteal phase defects // *fertil. steril.* - 1989. - Vol. 40, N1/2. - P. 45-48.
242. Davies J., Davenport G.R., Horris J.L. et al. Histochemical studies of hydrogenase activity in mammalian reproductive tissues // *Endocrinology.* - 1966. - Vol. 78, N4. - P. 667-671.
243. de Brux J. Insuffisance luteale. // *Gynecologia.* - 1986. - Vol. 37, N4. - 269-266.
244. Deichert U., Hackeloer B.J., Stuerm G. et al. Das corpus luteum im ultraschallbild und seine endokrine Funktion // *Geburtsh. Frauenheilk.* - 1987. - Bd. 47, N5. - P. 308-315.
245. Dencers C., Kobet M. et al. Expression of cyclooxygenase-2 is an independent prognostic factor in human ovarian carcinoma. *Am. J. Pathol.* 2002, v. 160, N3, p. 893-904.
245. Devroey P., Temmerman M., Noaktgeboren N. et al. Utilisation des gonadotrophines d'origine menopausique et chorinique dans le traitement du

- syndrome du follicule non-romp // ontracept. fertil. Sex. - 1984. - Vol. 12, N10. - P. 1131-1135.
246. Donner J., Wagenbergh M., Casanas-Roux F. et al. Sndrome du follicule luteinise non rompu et endometriose experimentale chez la ping // J. Gynecol. bstet. Biol. Reprod. - 1984. - Vol. 1, N7, -P. 871-876.
247. Enders A.C. Observation on the fine structure of lutein cells // J. Cell. Biol. - 1962. - Vol. 12, N1. - P. 101-113.
248. Falsk B. Site of production of oestrogen in rat ovary as studied in microtransplants // Acta Physiol. Scand. - 1959. - Vol. 47, Suppl. 163. - P. 101.
249. Feinberg R. The stromal theca cell and postmenopausal endometrial adenocarcinoma // Cancer. - 1969. - Vol. 24, N1. -P. 32-39.
250. Feinberg R., Thecosis: A study of diffuse stromal thecosis of the ovary and superficial collagenization with follicular cysts // Obstet. Gynecol. 1963. - Vol. 21, N6. -P. 687-700.
251. Fowler E.H., Feldman M.K. Histochemical demonstration of hydroxysteroid dehydrogenase activity in the mature canine ovary // Gen. Comp. Endocrinol. - 1960. - Vol. 14, N3. - P. 484-490.
252. Friedman A.J., Daly M., Juneau-Norcross M. et al. Recurrence of myomas after myomectomy in women pretreated with leuprolide acetate depot or placebo // Fertill. Steril. 1992. - Vol. 58, N1. - P. 205-208.
253. Fukuda M., Shimizi T., Fukuda K. et al. transvaginal hysterosonography for differential diagnosis between submucous and intramural myoma // Gynecol. Obstet. Invest. - 1993. - Vol. 35, N4. - P. 236-239.
254. Gamamoto T. et al. estrogen biosynthesis in leiomyoma and myometrium of the uterus // Horm. Metabol. Res. - 1984. - Vol. 16. - 678-679.

255. Gavaller I. Beitrage zur Klarung der pathologischen Bedeutung der Ovarialfunktion anhand von Beobachtungen bei gynakologicahen operationen // Z. Geburtsh. Gynaek. - 1968. - Bd. 168. - P. 300-309.
256. Glikoskala O., Hauppila A., Rajala T. Pituitary gonadotropins and prolactin in patients with endometrial cancer. Fibroids or ovarian tumors // Brit. J. Obstet. Gynaec. - 1979. - Vol. 86, N11. - P. 901-904.
257. Gokdeniz R., Ozon S. et al. GnRH agonist decreases endothelial nitric oxide synthase expression in leiomyoma. Inf J. Gynec obst. 2000, v. 70, p. 347-352.
257. Gougeon A. Influence des variations hormonales cycliques sur la croissance folliculaite dans l'ovaria humain // Contracept. Fertil. Sex. - 1984. - Vol. 12, N4. -P. 615-620.
258. Greep R.O., van Dyke H.B., Chow B.F. Gonadotropine of swine pituitary. I. Various biological effects of purified (FSH) and pure metakentrin (JCSH) // Endocrinology. - 1942. - Vol. 30, N5. - P. 635-649.
259. Guerra L. et al. The effect of oxygen free radicals on calcium current and dihydropyridine binding sites in guinea-pig ventricular myocytes British J. of Pharmacology. 118(5):1278-84, 1996 Jul.
260. Guraia S.S. Interstitial gland tissue of mammalian ovary // Acta Endocrinol. - 1973. - Vol. 72, Suppl. 171. - P. 27.
261. Hamori M., Szendei G., Kovacs L., Somos P. Zusammenhang zwischen Prolaktinamia und dem Syndrom der polyzystischen Ovarien // Zbl. Gynak. - 1987. - Vol. 109, N8. -P. 481-486.
262. Heaty D.L., Schenken R.S., Lynch A. et al. Pulsatile progesterone Secretion: Its relevance to clinical evaluation of corpus luteum function // Feril. Steril. - 1984. - Vol. 41, N1/2. -P. 114-121.
263. Hernandes I. et al. - 17 beta-estradiol prevents oxidative stress and decreases blood pressure in ovariectomized rats. American J. of

Physiology - Regulatory Integrative & Comparative Physiology. 279(5):R 1599-605, 2000 Nov.

264. Hertig A.T. Aging ovary: preliminary note // J. Clin. Endocrinol. - 1944. - Vol. 4, N3. - P. 581-582.
265. Huang-Ngoc Minh, Smadja A., Orcel L., Corbiere J.F. Reflexions a proposde l'association frquente des kystes endometriosiques de l'ovaire en voie de formation et du corps jaune // Ginecologie. - 1983. - T. 34, N4. - P. 339-346.
266. Ito A., Sato W., Hirakawa S., Mori Y. Characterization of androgenbildung protein in the human ovarian capsule and its changes by polycystic ovarian disease // Gynecol. Obstet. Invest. - 1985. - Vol. 20, N3. - P. 149-157.
267. Laatikainen T., Salminen K., Virtanen T., Apter D. Plasma  $\beta$ -endorphin,  $\beta$ -lipotrophin and corticotropin in polycystic ovarian disese // Europ. J. Obstet. Gynecol. - 1987. - Vol. 24, N4. - P. 327-333.
268. Ledger W.L., Thomas E.J., Browning D. et al. Suppression of gonadotropin secretion does not reverse premature ovarian failure // Brit. J. Obstet. Gynecol. - 1989. - Vol. 96, N2. - P. 196-199.
269. Lee Ch. S. Luteal phase defects // Obstet. Gynecol. Surv. - 1987. - Vol. 42, N5. - P. 267-274.
270. Lew M.W., Katt E.L., Rodgers K.E., Di Zerega G.S. Alteration of follicle-regulatory protein levels in human reproductive disorders: Anovulation // Obstet. Gynecol. - 1987. - Vol. 70, N2. - P. 157-162.
271. Limon M. Etude histologique de la glande interstitielle de l'ovarie // Arch. Anat. Microsc. - 1902. - T. 5, N2. - P. 155-190.
272. Liukhonens S., Koskimies A.J. et al. Diagnosis of luteinized unruotured follicle syndrome by ultrasound // Fertility a. Steril. - 1984. - Vol. 41, N1/2. -P. 26-30.

273. Lukaszewska J.H., Greenwald G.S. Progesteron levels in the cyclic and prenant hamster // Endocrinology. - 1970. - Vol. 86, N1. - P. 109.
274. Lund S.A. et al. Mitogenic and antioxidant mechanisms of estradiol action in preovulatory ovine follicles: relevance to luteal function. Biology of Reproduction 61(2): 388-92, 1999 Aug.
275. Macdonald G.J., Armstrong D.T., Greep R.O. Stimulation of estrogen secretion from normal rat corpora lutea by luteinizing hormone // Endocrinology. - 1966. - Vol. 79, N2. -P. 289-293.
276. Mackay E.V., Beischer N.. et al. Illustrated textbook of gynecology. - Sydney: W.B.Saunders, 1983. - 496 p.
277. Manau D. et al. Circulatory dysfunction in asymptomatic in vitro fertilization patients relationship with hyperestrogenemia and activity of endogenous vasodilators. J. of clinical endocrinology metabolism. 1998. May 83(5): 1489-93.
278. Marchino G.L., Baccarini G., Zacchao F. et al. La sindrome da luteinizazione follicolare // Minevra ginecol. - 1988. - T. 40, N9. -P. 505-510.
279. Mattigly R.F., Huang W.Y. Steroidogenesis of the menopausal and postmenopausal ovary // Amer. J. Obstet. Gynecol. - 1962. - Vol. 103, N5. - P. 679-693.
280. Mclucas B. Hyskon complications in hysteroscopic surgery // Obstet. Gynecol. Surg. - 1991. - Vol. 46, N4. - P. 196-200.
281. Meswerdt W., Kranzfelder D. Gegenwartige Gesichtspunkte zur Epidemiologie und Atiologie des Korpuskarzinomas // Med. Klin. - 1980. - Bd. 75, N11. - P. 28-38.
282. Mierzwinski R., Matysiak M., Wasilowski A. et al. spotistnienie miesniakow macicy z innymi procesami chorobowymi macicy i przydatkow // Ginek. pol. - 1978. - Vol. 49, N9. - P. 775-780.

283. Mignot M.H., Drexhage H.A. et al. Premature ovarian failure. Consideration of cellular immunity defects // Europ. J. Obstet. Gynecol. - 1989.
284. Mignot M.H., Schoemaker J., Klengeld M. et al. Premature ovarian failure. The association with autoimmunity // Europ. J. Obstet. Gynecol. - 1989. Vol. 30, N1. - P. 59-66.
285. Mori H., Matsumoto K. Development of the secondary interstitial gland in the rabbit ovary // J. Anat. - 1973. - Vol. 116, N3. - P. 417-430.
286. Mori Y., Hasumi F., Ito A. et al. Collagen and glycosaminoglycans in the human ovarian capsule with polycystic ovarian disease // Gynecol. Obstet. Invest. - 1984. - Vol. 18, N5. - P. 244-254.
287. Mossan H.W., Duke K.L. Comparative morphology of the mammalian ovary. Univ. of Wisconsin Press, Madison, London, 1973.
288. Motta P., Takeva ., Bourneva V. A histochemical study of 5- $3\beta$ -hydroxysteroid dehydrogenase activity in the interstitial cells of the mammalian ovary // Experientia. - 1980. - Vol. 26, N10. - P. 1129-1129.
289. Mueck A.O. et al. Estradiol inhibits LDL oxidation: do the progestins metroxyprogesterone acetate and norethisterone acetate influence this effect? - Clinical Experimental Obstetrics & Gynecology. 25(1-2): 26-8, 1998.
290. Murdoch W.S. Inhibition by oestradiol of oxidative stress-induced apoptosis in pig ovarian source. Journal of reproduction & Fertility 1998. Sep. 114(1): 127-30.
291. Nissinen E. et al. Antioxidant properties of nitecapone are potentiated by glutathione. Biochemistry, molecular Biology International. 35(2):387-95, 1995 Feb.
291. Novak E.B., oldberger B., Jones G., Toole R.V. Enzyme histochemistry of the menopausal ovary association with

292. Persky A.M. et al. Protective effect of estrogens against oxidative damage to heart and skeletal muscle in vivo and in vitro. experimental Biology & Medicine. 223(1):59-66, 2000 Jan.
293. Philips R.P. Diagnosis: Benign epithelioid leimyoma of uterus (Plexiform pattern) // Pathology. - 1979. - Vol. 11. -P. 702-703.
294. Pincus G. The biosynthesis of adrenal steroids // Ann. N.Y. Acad. Sci. - 1955. - Vol. 61, N2. - P. 283-290.
295. Polson D.W., Wadsworth J. et al. Polycystic ovaries: common finding in normal women // Lancet. - 1988. - Vol. 1, N8590. -P. 870-872.
296. Poulhes J. Traitment des fibromes uterine par les progestatifs // Bordeaux med. - 1973. - Vol. 11, N15. - P. 1317-1322.
297. Pugeat M., Lejeune H. et al. Insuffisance luteale et elevation de la "sex binding" proteine par demegestone // Roy. franc. Gynecol. Obstet. - 1988. - Vol. 83, N7-9. -P. 495-498.
298. Quattropani S.KL. Morphogenesis of the ovarian interstitial tissue in the neonatal mouse // Anat. Rec. - 1973. - Vol. 177, N4. - P. 569-583.
299. Rauzamo L. Estrogen replacement therapy and endometrial carcinoma // Front. Hormone Res. - 1978. - Vol. 5. -P. 117125.
300. Ryan K.J., Petro Z. Steroid biosynthesis by humanovarian granulosa and thecal cells // J. Clin. Endocrinol. Metabol. - 1966. - Vol. 26, N1. -P. 46-52.
301. Salomon-Bernard J. Syndrome des ovaires micropolykystiques chez les adolescentes // Gynecologie. - 1988. - T. 39, N2. - P. 105-108.
302. Sasano H. et al. 17-beta-hydroxysteroid dehydrogenase in human breast and endometrial carcinoma. Oncology. 59 Suppl. 1:5-12, 2000.
303. Short R.V. Steroid in the follicular fluid and the corpus luteum of the mare. A "two-cell type" theory of ovarian steroid synthesis // J. Endocrinol. - 1962. - Vol. 24, N1. - P. 59-63.
304. Sohal R.S. et al. Mitochondrial production of pro- oxidants and cellular senescence. Mutation Research. 275(3-6):295-304, 1992 Sep.

305. Soules M.B. Luteal phase deficiency. An underdiagnosed and overtreated reproductive endocrine disorder // *Obstet. Gynecol. Clin. amer.* - 1987. - Vol. 14, N4. -P. 865-886.
306. Strauss J.F., Stambaugh R.L. Ovarian dehydrogenase activities during pregnancy in the rabbit // *Proc. exp. Soc. Biol. Med.* - 1972. - Vol. 140, N4. -P. 1143-1147.
307. Sugino N. et al. Nuclear factor-kappa Bis required for tumor necrosis factor-alpha-induced manganese superoxide dismutase expression in human endometrial stromal cells. *J. of Clinical Endocrinology. Metabolism.* 87(8):3845-50, 2002 Aug.
308. Sudoch H., Toba K., Akishita M. et al. Estrogen prevents oxidative stress-induced endothelial cell apoptosis in rats. *Circulation.* 2001 Feb. 6. 103(5):724-9.
308. Tamaya T., Motoyama T., Ohno Y. et al. estradiol-17 $\beta$ progesteron and 5-dihydrotestosterone receptors of uterine myometrium and myoma in the human subject // *J. Steroid. Biochem.* - 1979. - Vol. 10, N6. - P. 615-622.
309. Tamaya T., Tsurusaki J., Ohno Y. et al. Productive indicator for response to a progesteron indicator in human uterine adenocarcinomas. *Abstracts IX World Congr. Gynecol. Obstet.* - Tokyo, 1979. - Vol. 43. -P. 94.
310. Tamura T., Kitawaki J., Yamamoto T. et al. Immunohistochemical localization of 17 alpha-hydroxilase C 17-20 Liase and aromatase cytochrome P-450 in polycystic human ovaries // *J. endocrin.* - 1993. - Vol. 139, N3. - P. 503-509.
311. Varkauf B.S. Myomectomy for fertility enhancement and preservation // *Fertil. Steril.* - 1992. - Vol. 58, N1. - P. 1-15.
312. Virdis A. et al. Mechanisms responsible for endothelial dysfunction associated with acute estrogen deprivation in normotensive women. *Circulation.* 101(19):2258-63, 2000 May 16.

313. Wakatsuki A. et al. Different effects of oral conjugated equine estrogen transdermal estrogen replacement therapy on size and oxidative susceptibility of lowdensity dipoprotein particles in postmenopausal women. *Circulation*. 106(14):1771-6, 2002 oct.1.
314. Walsh B.A. et al. 17 beta-estradiol reduces glycoxidative damage in the artery wall. - *Arteriosclerosis. Thrombosis & Vascular. Biology*. 19(4):840-6, 1999, Apr.
315. Wassmann S. et al. Endothelial dysfunction and oxidative stress during deficiency in spontaneously hypertensive rats. *Circulation*. 103(3):435-41, 2001. Jan 23.
316. Wilson E.A., Yang F., rees E.D. Estradiol and progesterone bilding in uterine leiomyomata and in normal uterine tissues // *Obstet. Gynecol.* - 1980. - Vol. 55, N1. - P. 20-24.
317. Wittlinger H. Epidemiology of endometrial hyperplasia and adenocarcinoma // *Fortschr. Med.* - 1976. - Vol. 94. - S. 1479-1484.
318. Woll E., Herbig A., Smith G.V., Johnson L.C. the ovary in endometrial carcinoma, with notes on the morphological history of the aging ovary // *Amer. J. Obstet. Gynecol.* - 1948. - Vol. 56, N4. - P. 617-633.
319. Ying Y.K., Daly D.C., randoph J.F. et al. Ultrasonographic monitoring of follicular growth for luteal phase defects // *fertil. Steril.* - 1987. - Vol. 48, N3-4. - P. 433-436.
320. Yoshimura Y., Tada Sh. Oda T. et al. Direct inhibitory ovarian effect of prolactin in the process of ovulation // *Acta obstet. gynecol.* - 1989. - Vol. 41, N1. - P. 83-89.
321. Zorn J.R., McDonough P.G. et al. Salivary progesterone as an index of the luteal function // *fertil. Steril.* - 1984. - Vol. 41, N1/2. - P. 248-253.

ფოტო IV ჯემატოქსილინ, ეოზინი 120;

ფოტო 1V ჯემატოქსილინ, ეოზინი 400;

ფოტო 3V ელექტრონოგრამა 100V000;

ფოტო 4V ჯემატოქსილინ, ეოჭინი 120;

ფოტო 5V ჯემატოქსილინ, ეოჭინი 120;

ფოტო 6V ჯემატოქსილინ, ეოზინი 120;

ფოტო 7V ელექტრონოგრამაV 100000;

ფოტო 8V ელექტრონოგრამაV 100000;

ფოტო 9V ჯემატოქსილინ, ეოზინი 120;

ფოტო 10V ჯემატოქსილინ, ეოზინი 120;

ფოტო 11V ჯემატოქსილინ, ეოზინი 120;

ფოტო 12V სუდან +++ 200;

ფოტო 13V ჯემატოქსილინ, ეოზინი 120;

ფოტო 14V ჯემატოქსილინ, ეოზინი 400;

ფოტო 15V ჯემატოქსილინ, ეოზინი 400;

ფოტო 16V ჯემატოქსილინ, ეოზინი 400;

ფოტო 17V ჯემატოქსილინ, ეოზინი 120;

ფოტო 18V ჯემატოქსილინ, ეოზინი 120;

ფოტო 19V ჯემატოქსილინ, ეოზინი 120;

ფოტო 20V ჯემატოქსილინ, ეოზინი 120;

ფოტო 21V ჯემატოქსილინ, ეოზინი 280;

ფოტო 22V ჯემატოქსილინ, ეოზინი 280;

ფოტო 23V ჯემატოქსილინ, ეოზინი 200;

ფოტო 24V ჯემატოქსილინ, ეოზინი 280;

ფოტო 25V ჯემატოქსილინ, ეოზინი 280;

ფოტო 26V ჯემატოქსილინ, ეოზინი 280;

ფოტო 27V ელექტრონოგრამა 100000 ;

ფოტო 28V ჯემატოქსილინ, ეოზინი 280;

ფოტო 29V ელექტრონოგრამა 100000;

ფოტო 30V ჯემატოქსილინ, ეოზინი 400;

ფოტო 31V ჯემატოქსილინ, ეოზინი 400;

ფოტო 32V ჯემატოქსილინ, ეოზინი 280;

ფოტო 33V ჯემატოქსილინ, ეოზინი 280;

ფოტო 34V ჯემატოქსილინ, ეოზინი 280;

ფოტო 35V ელექტრონოგრამა 100000;

ფოტო 36V ჯემატოქსილინ, ეოზინი 280;

ფოტო 37V ჯემატოქსილინ, ეოზინი 280;

ფოტო 38V ჯემატოქსილინ, ეოზინი 280;

ფოტო 39V ელექტრონოგრამა 100000;

ფოტო 40V ელექტრონოგრამა 100000;

ფოტო 41V ელექტრონოგრამა 100000;

ფოტო 42V ჯემატოქსილინ, ეოზინი 400;

ფოტო 43V ჯემატოქსილინ, ეოზინი 400;

ფოტო 44V ელექტრონოგრამა 100000;